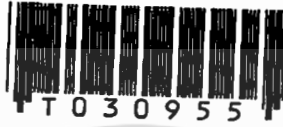


การออกแบบระบบต่อลงดินของสถานีไฟฟ้าด้วยคอมพิวเตอร์  
COMPUTER AIDED DESIGN FOR SUBSTATION GROUNDING



นายบัณฑิต พิทักษ์วงศ์  
MR. BUNTOON PHITHAKWONG

วิทยานิพนธ์นี้เป็นส่วนหนึ่งของการศึกษาตามหลักสูตรปริญญาวิศวกรรมศาสตรมหาบัณฑิต

ศท.

30955  
2541

สาขาวิชาวิศวกรรมไฟฟ้า

บัณฑิตวิทยาลัย

: สถาบันเทคโนโลยีพระจอมเกล้าเจ้าคุณทหารลาดกระบัง

พ.ศ. 2541

ISBN 974-622-182-5

ลิขสิทธิ์ของบัณฑิตวิทยาลัย สถาบันเทคโนโลยีพระจอมเกล้าเจ้าคุณทหารลาดกระบัง

เอกสารนี้เป็นเอกสารที่สงวนไว้สำหรับการใช้งานเพื่อการศึกษาเท่านั้น ไม่อนุญาตให้นำไปใช้ประโยชน์ด้านการค้า  
ไม่ว่ากรณีใดๆทั้งสิ้น อีกทั้งห้ามมิให้ตัดแปลงเนื้อหา และต้องอ้างอิงถึงเจ้าของเอกสารทุกครั้งที่มีการนำไปใช้

**COMPUTER AIDED DESIGN FOR SUBSTATION GROUNDING**



**A THESIS SUBMITTED IN PARTIAL FULFILLMENT  
OF THE REQUIREMENT FOR THE DEGREE  
MASTER OF ENGINEERING IN ELECTRICAL ENGINEERING  
SCHOOL OF GRADUATE STUDIES  
KING MONGKUT'S INSTITUTE OF TECHNOLOGY LADKRABANG**

**1998**

**ISBN 974-622-182-5**

เอกสารนี้เป็นเอกสารที่สงวนไว้สำหรับการใช้งานเพื่อการศึกษาเท่านั้น ไม่อนุญาตให้นำไปใช้ประโยชน์ด้านการค้า  
ไม่ว่ากรณีใดๆทั้งสิ้น อีกทั้งห้ามมิให้ดัดแปลงเนื้อหา และต้องอ้างอิงถึงเจ้าของเอกสารทุกครั้งที่มีการนำไปใช้



**Thesis Title**      Computer Aided Design for Substation Grounding  
**Student**            Mr.Buntoon    Phithakwong  
**Thesis Advisor**    Assoc.Prof.Sulee    Banjongjit  
**Level of Study**    Master of in Electrical Engineering  
                                 King Mongkut's Institute of Technology Ladkrabang  
**Year**                1998

### Abstract

The best design of a grounding system is to make safe that the human and the protective device can work accurately in both usual time and ground fault time. The design of a grounding system for a substation will be consider of soil resistivity, mest voltage, touch voltage, and step voltage that are considerably important factor in safety of the person who works in the substation. Thus, this thesis presents the design of the grounding system have some inportant parameter such as equal and unequal spaced grid, ground rod. In a substation use of a plastic sheet below the layer of crushed rock increases the grounding resistance of the foot. Which a new method can decrease the number of conductors of an unequally spaced grid. It also uses 30-40 percents less grounding grid material, safe and economical design. This presents the design a compact easily used software program which is developed to be most practical.

## กิตติกรรมประกาศ

การจัดทำวิทยานิพนธ์ในครั้งนี้สำเร็จลุล่วงไปได้ด้วยดี เพราะได้รับความกรุณาจากท่านรองศาสตราจารย์ ศุภี บรรจงจิตร ซึ่งได้ให้คำปรึกษาและแนะนำเกี่ยวกับข้อมูลต่าง ๆ โดยตลอด ผู้วิจัยรู้สึกซาบซึ้งในความอนุเคราะห์จากท่าน และขอกราบขอบพระคุณเป็นอย่างสูง

ผู้วิจัยขอกราบขอบพระคุณรองศาสตราจารย์ ดร.กอบชัย เดชหาญ อาจารย์สมนึก ญาติปราโมทย์ อาจารย์วิษณุ กอพักคณินทร์ ที่กรุณาได้ให้คำแนะนำแนวทางในการทำวิทยานิพนธ์ จึงขอกราบขอบพระคุณเป็นอย่างสูง

ขอขอบพระคุณ บริษัท ศรีอุทอง จำกัด ที่ได้กรุณาแนะนำข้อมูลในการออกแบบ รวมทั้งคุณเมธัส นันก้อน ที่ให้ความช่วยเหลือเกี่ยวกับโปรแกรม ตลอดจนคุณ อำพรธม พิทักษ์วงศ์ ที่ให้กำลังใจต่อผู้เขียนอย่างใกล้ชิดตลอดเวลา

คุณค่าและประโยชน์อันพึงมีจากวิทยานิพนธ์ฉบับนี้ ผู้วิจัยขอบแต่ผู้มีพระคุณทุกท่าน

บัณฑิต พิทักษ์วงศ์

## สารบัญ

หน้า

บทคัดย่อภาษาไทย.....	I
บทคัดย่อภาษาอังกฤษ.....	II
กิตติกรรมประกาศ.....	III
สารบัญ.....	IV
สารบัญตาราง.....	VI
สารบัญภาพ.....	VII
บทที่	
1 บทนำ.....	1
2 ทฤษฎีและหลักการออกแบบระบบต่อลงดิน.....	4
2.1 หลักการพิจารณาและการออกแบบระบบต่อลงดิน.....	4
2.2 นิยามเกี่ยวกับศักดาไฟฟ้า.....	4
2.3 จีดจำกัดเกี่ยวกับกระแสที่ไหลผ่านร่างกายมนุษย์.....	7
2.4 ความต้านทานของร่างกายมนุษย์.....	8
2.5 วงจรจำลองการเกิดอุบัติเหตุ.....	9
3 การโรยหินกรวดบนพื้นผิวดิน.....	13
3.1 เกณฑ์ความปลอดภัยของแรงดันสัมผัสและแรงดันช่วงก้าว.....	18
3.2 การพิจารณาไฟฟ้าเมฆและศักดาไฟฟ้าช่วงก้าว.....	19
3.3 การประมาณค่าความยาวของตัวนำที่ใช้อย่างน้อยที่สุด.....	21
3.4 การหาความต้านทานของระบบต่อลงดิน.....	22
3.5 การหาความต้านทานจำเพาะของดิน.....	23
3.6 การหาขนาดของตัวนำกริด.....	33
3.7 การหากระแสกริดสูงสุด.....	37
3.8 การใช้แผ่นพลาสติก ใต้อุปกรณ์ในชั้นของดิน.....	40
3.9 แนวทางใหม่ของการลดจำนวนตัวนำกริด.....	42

## สารบัญ (ต่อ)

หน้า

บทที่

4	การคำนวณและการออกแบบ.....	49
4.1	สรุปขั้นตอนและการออกแบบระบบต่อลงดิน.....	50
4.2	ตัวอย่างการคำนวณ.....	55
4.3	ตัวอย่างการคำนวณและการออกแบบระบบการต่อลงดิน.....	60
5	ผลของการออกแบบระบบต่อลงดิน.....	68
5.1	ตัวอย่างการคำนวณโดยคิดผลของการโรยหินกรวดแต่ไม่ใส่แผ่นพลาสติก.....	69
5.2	ตัวอย่างการคำนวณ เมื่อใส่แผ่นพลาสติก.....	73
5.3	ส่วนของโปรแกรมการออกแบบระบบต่อลงดิน.....	81
5.4	ผลลัพธ์ของการออกแบบที่แสดงหน้าจอ.....	85
5.5	ตัวอย่างการคำนวณและออกแบบระบบการต่อลงดิน grounding grid ขนาด 220 V.....	104
5.6	ตัวอย่างการคำนวณและออกแบบระบบการต่อลงดินเมื่อใส่แผ่นพลาสติก.....	109
5.7	แนวทางใหม่การลดจำนวนตัวนำตะแกรงกริด.....	112
5.8	รูปแบบทั่วไปของโปรแกรมและผลลัพธ์ของการออกแบบที่แสดงหน้าจอ.....	116
6	สรุปผลของการวิจัยและข้อเสนอแนะ.....	135
	บรรณานุกรม.....	136
	ภาคผนวก.....	138
	ประวัติผู้เขียน.....	151

## สารบัญตาราง

ตารางที่

หน้า

1. แสดงค่าเฉลี่ยของความต้านทานจำเพาะของดิน.....	23
2. แสดงค่าคงที่ของวัสดุ.....	36
3. แสดงค่า Decrement Factor.....	38
4. แสดงถึงรัศมีสมมูลย์ของตัวนำรูปทรงกระบอก.....	41
5. แสดงความสัมพันธ์ระหว่าง $b$ กับ $k$ .....	46
6. ตารางทดสอบหาค่าความต้านทานของดิน.....	61
7. ตารางทดสอบหาค่าความต้านทานของดิน.....	80



## สารบัญภาพ

ภาพที่	หน้า
1. ระบบการต่อลงดินและตัดดาไฟฟ้าเมื่อเกิดการลัดวงจรลงดิน.....	5
2. สภาวะการเกิดช็อตเมื่อเกิดลัดวงจรลงดิน.....	6
3. แสดงการเกิด External Transferred Potential.....	7
4. แสดงวงจรจำลองการเกิดอุบัติเหตุ.....	10
5. กราฟแสดง Function $F(X)$ Versus $X$ and Reflection Factor $K$ .....	14
6. กราฟแสดง Reduction Fator $C_r$ .....	15
7. แสดงชั้นหินกรวดบนสถานีไฟฟ้าย่อย.....	16
8. กราฟแสดงการแปรเปลี่ยนของค่าความต้านทานจำเพาะของดินเมื่อมีความชื้น.....	24
9. กราฟแสดงการแปรเปลี่ยนของค่าความต้านทานจำเพาะของดินกับอุณหภูมิเมื่อมีความชื้นในดิน 18.6%.....	25
10. กราฟแสดงค่าความต้านทานแผ่กระจายของดินเมื่อใช้แท่งกราวด์แบบแท่ง.....	27
11. กราฟแสดงค่าความต้านทานแผ่กระจายของแท่งกราวด์แบบเส้น.....	28
12. ลักษณะของการฝังแท่งกราวด์ในการวัดค่าความต้านทานจำเพาะของดินของ Wenner...30	
13. การวัดความต้านทานดิน แบบ 4 จุด.....	30
14. การต่อกราวด์รื้อพร้อมกับกราวด์กริด.....	32
15. (ก) แสดงแผ่นโลหะที่ใช้แทนเท้าบนผิวของพื้นเรียบ.....	41
(ข) แสดงอิเล็กทรอนิกส์ทรงกระบอกวางไว้จุดกึ่งกลางของพลาสติก.....	41
16. แสดงพื้นที่ตะแกรงกริดที่มีระยะสมมาตรและไม่สมมาตร.....	42
17. แสดงถึงการแผ่กระจายของกระแสที่ตัวนำ.....	43
18. แสดงให้เห็นถึงการเกิดความต่างศักย์.....	43
19. แสดงให้เห็นถึงการเกิดความต่างศักย์.....	43
20. แสดงระยะของกราวด์กริดที่ไม่สามารถ.....	44
21. แสดงความสัมพันธ์ระหว่าง $Sik$ และ $I$ กับ $k$ .....	45

## สารบัญภาพ (ต่อ)

หน้า

22. แสดงความสัมพันธ์ระหว่าง $b$ กับ $k$ .....	45
23. แผนภูมิขั้นตอนการออกแบบวิธีการเดิมกับแนวทางใหม่.....	54
24. ลักษณะการฝังกราวด์กริดและกราวด์รีด.....	68
25. ลักษณะการฝังแผ่นพลาสติก, กราวด์กริดและกราวด์รีด.....	73
26. แสดงหน้าต่างหลักของโปรแกรม.....	85
27. แสดงหน้าต่างค่าคงที่ต่าง ๆ ในกรณีคิดผลของโรยหินกรวด.....	86
28. แสดงหน้าต่างค่าคงที่ต่าง ๆ ในกรณีเพิ่มแผ่นพลาสติก.....	86
29. แสดงหน้าต่างการคำนวณหาพื้นที่ของสถานีไฟฟ้าย่อย.....	87
30. แสดงหน้าต่างการคำนวณหาความต้านทานจำเพาะของดิน.....	89
31. แสดงหน้าต่างการคำนวณหาความต้านทานของระบบกราวด์.....	90
32. แสดงหน้าต่างการคำนวณหาขนาดของตัวนำกริด.....	91
33. แสดงหน้าต่างการคำนวณหากระแสที่ไหลผ่านร่างกายมนุษย์.....	92
34. แสดงหน้าต่างการคำนวณหาความต้านทานรวมในกรณีคิดผลของการโรย หินกรวด.....	93
35. แสดงหน้าต่างการคำนวณหาความต้านทานรวมในกรณีเพิ่มแผ่นพลาสติก.....	94
36. แสดงหน้าแรงดันไฟฟ้าในกรณีคิดผลของการโรยหินกรวด.....	95
37. แสดงหน้าต่างแรงดันไฟฟ้าในกรณีเพิ่มแผ่นพลาสติก.....	96
38. แสดงหน้าต่างกระแสกริดสูงสุด.....	97
39. แสดงหน้าต่างการหาค่าแฟกเตอร์.....	98
40. แสดงหน้าต่างการหาค่าแรงดันไฟฟ้าเมฆ และแรงดันไฟฟ้าช่วงก๊าว.....	99
41. แสดงหน้าต่างการตรวจสอบค่าสุดท้ายว่าปลอดภัย (ในกรณีคิดผลของการ โรยหินกรวด).....	100
42. แสดงหน้าต่างการตรวจสอบค่าสุดท้ายว่าปลอดภัย (ในกรณีเพิ่มแผ่นพลาสติก).....	101
43. แสดงหน้าต่างการตรวจสอบค่าสุดท้ายว่าไม่ปลอดภัย.....	101
44. แสดงหน้าต่างให้ใส่ค่าที่ต้องการเปลี่ยนแปลง (ในกรณีที่ผลลัพธ์ที่ได้ไม่ปลอดภัย)....	102

## สารบัญภาพ (ต่อ)

หน้า

45. แสดงหน้าตาंतरการออกแบบจากโปรแกรม.....	103
46. แสดงผลการออกแบบตะแกรงกริด.....	115
47. แสดงหน้าตาंतरการคำนวณหาพื้นที่ และขนาดของตัวนำ.....	117
48. แสดงหน้าตาंतरการคำนวณหาศักดาไฟฟ้า ในกรณีไม้ใส่แผ่นพลาสติก.....	118
49. แสดงหน้าตาंतरการคำนวณหาความต้านทานกราวด์กริด.....	119
50. แสดงหน้าตาंतरการคำนวณหา Grid Potential Rise.....	120
51. แสดงหน้าตาंतरการคำนวณหา Mesh & Step.....	121
52. แสดงหน้าตาंतरการเช็คค่าความปลอดภัยหรือไม่ปลอดภัย.....	122
53. แสดงหน้าตาंतरการคำนวณหาศักดาไฟฟ้า ในกรณีใส่แผ่นพลาสติก.....	123
54. แสดงหน้าตาंतरการคำนวณหาความต้านทานกราวด์กริด.....	124
55. แสดงหน้าตาंतरการคำนวณหา Grid Potential Rise.....	125
56. แสดงหน้าตาंतरการคำนวณหา Mesh & Step.....	126
57. แสดงหน้าตาंतरการเช็คค่าความปลอดภัยหรือไม่ปลอดภัย.....	127
58. แสดงหน้าตาंतरการคำนวณหาศักดาไฟฟ้าในกรณีใส่แผ่นพลาสติก.....	128
59. แสดงหน้าตาंतरการคำนวณหาความต้านทานกราวด์กริด.....	129
60. แสดงหน้าตาंतरการคำนวณหา Grid Potential Rise.....	130
61. แสดงหน้าตาंतरการคำนวณหา Mesh & Step.....	131
62. แสดงหน้าตาंतरการเช็คค่าความปลอดภัยหรือไม่ปลอดภัย.....	132
63. แสดงหน้าตาंतरการหาระยะระหว่างตัวนำกริด.....	133
64. แสดงหน้าตาंतरการหาระยะระหว่างตัวนำกริด.....	133
65. แสดงหน้าตาंतरการหาระยะระหว่างตัวนำกริด.....	134
66. แสดงหน้าตาंतरความสัมพันธ์ระหว่างค่า b และ k.....	134

# บทที่ 1

## บทนำ

ระบบต่อลงดินของสถานีไฟฟ้าย่อมมีไว้เพื่อให้กระแสลัดวงจรลงดิน ( Ground fault ) ที่เกิดขึ้นไหลลงดินได้สะดวก ในขณะที่เกิดการลัดวงจรจะทำให้เกิดความต่างศักย์ไฟฟ้าหรือแรงดันไฟฟ้าเกิดขึ้นภายในและบริเวณรอบ ๆ สถานีไฟฟ้าย่อย ถ้าผลของความต่างศักย์ไฟฟ้าทำให้เกิดกระแสไฟฟ้าผ่านร่างกายของมนุษย์(ซึ่งอาจจะเป็นระหว่างเท้าทั้งสองข้างหรือระหว่างมือกับเท้า)ที่อยู่ในบริเวณนั้นสูงกว่าค่ากระแสที่มนุษย์ยอมรับได้ ผลอันนี้อาจทำให้เกิดอาการช็อค หรือเสียชีวิตได้ นอกจากนี้ผลของความต่างศักย์ที่เกิดขึ้นอาจทำให้อุปกรณ์ป้องกันต่าง ๆ ทำงานผิดพลาดได้

การออกแบบระบบต่อลงดินของสถานีไฟฟ้าย่อยได้ถูกพัฒนามาตามลำดับ โดยใช้มาตรฐาน IEEE-80(1986) และต่อมาได้มีการค้นคว้าวิจัยเพิ่มเติม จึงมีการปรับปรุงมาตรฐานดังกล่าวออกมาเป็น ANSI/IEEE Std.80-1986 [1] ซึ่งเป็นมาตรฐานที่ยอมรับกันโดยทั่วไปการออกแบบระบบต่อลงดินที่มีความต้านทานต่ำมาก ๆ อาจไม่ได้หมายถึงว่าจะมีความปลอดภัยสูงกว่าระบบการต่อลงดินที่มีความต้านทานสูงกว่าเสมอไป ควรจะเน้นเกี่ยวกับการออกแบบที่มีความปลอดภัยและประหยัดวัสดุอุปกรณ์

### ความเป็นมาและความสำคัญของปัญหา

การออกแบบระบบต่อลงดินของสถานีไฟฟ้าย่อมมีตัวแปรที่สำคัญเกี่ยวข้องกับการออกแบบหลายประการคือขนาดของตัวนำ, ความลึกของตะแกรง, ขนาดของตะแกรง, จำนวนร่องตาข่าย, ความหนาของชั้นหินกรวด รวมไปถึงศักดาไฟฟ้าสัมผัส และศักดาไฟฟ้าช่วงก้าวที่เป็นเกณฑ์ ในความปลอดภัยของบุคคลที่ทำงานแต่บางครั้งก็ไม่ได้ตามเกณฑ์ที่ต้องการ ในวิทยานิพนธ์นี้เป็นการนำเอาแผ่นพลาสติกฝังได้ชั้นหินกรวด เพื่อเพิ่มความต้านทานที่เท้าในบางจุดของสถานีไฟฟ้าย่อยให้มีความปลอดภัยมากขึ้น โดยการลดความหนาของชั้นหินกรวดเป็นการประหยัดวัสดุและค่าใช้จ่าย

### ความมุ่งหมายและวัตถุประสงค์ของการศึกษา

ในการศึกษาที่ใช้แผ่นพลาสติกใส่เพิ่มเข้าไปนั้น จุดประสงค์ก็เพื่อต้องการที่จะทราบว่าเกิดค่าความต้านทานที่เท้าของบุคคลมากน้อยเพียงใด อีกทั้งจะทำให้เกิดความปลอดภัยได้หรือไม่ ซึ่ง

วัตถุประสงค์ทั้งหมดนี้อาจจะมีการพัฒนาการออกแบบระบบต่อลงดินในอนาคตต่อไป

เอกสารนี้เป็นเอกสารที่สงวนลิขสิทธิ์และสงวนลิขสิทธิ์ของเอกสารนี้ไว้เพื่อใช้ในการศึกษาและวิจัยเท่านั้น ไม่สามารถนำเอกสารนี้ไปเผยแพร่หรือทำซ้ำโดยไม่ได้รับอนุญาตจากเจ้าของเอกสาร

## สมมติฐานของการศึกษา

ในการศึกษาโดยใช้แผ่นพลาสติก ฟังได้ชั้นหินกรวดนั้นยังมีค่าตัวแปรที่ต้องนำมาพิจารณาอีก เช่น ค่าความต้านทานจำเพาะของหินกรวด, ค่าความต้านทานจำเพาะของดิน, ความหนาของชั้นหินกรวด ในการศึกษานี้ ตามมาตรฐานของชั้นหินกรวดคือ 0.8 - 0.15 เมตร แต่เมื่อใส่แผ่นพลาสติก ซึ่งจะต้องมีความหนาไม่น้อยกว่า 0.15 ม.ม และมีความสูงจากแผ่นพลาสติกถึงหินกรวดประมาณ 0.2 เมตร โดยอ้างอิงบทความวิจัยของ Thapar และ Ziad โดยใช้แผ่นพลาสติกที่ทำมาจากวัสดุประเภทโพลีเอธิลีน, เพอร์มาลอน, พีวีซี หรือนีโอพรีน ฟังได้ชั้นหินกรวด การใช้แผ่นพลาสติกสามารถช่วยลดค่าศักดาไฟฟ้าสัมผัสได้

## ขอบเขตของการศึกษา

ในการออกแบบระบบต่อลงดินจะเป็นการพิจารณาพื้นที่ของสถานีไฟฟ้าอยู่รูปร่างสี่เหลี่ยมจตุรัส และรูปร่างสี่เหลี่ยมผืนผ้า โดยมีแท่งตัวนำประกอบด้วย ซึ่งในการศึกษานี้จะพิจารณาใส่แผ่นพลาสติกเฉพาะสถานีไฟฟ้าอยู่ที่มีลักษณะรูปร่างสี่เหลี่ยมผืนผ้า โดยจะนำเอาแผ่นพลาสติกใส่ไว้ในร่องตะแกรงกริด อีกทั้งการเสนอแนวทางใหม่เพื่อลดจำนวนตัวนำกริด

## ขั้นตอนของการศึกษา

ควรจะต้องรู้ข้อมูลเกี่ยวกับสถานีไฟฟ้าอยู่ที่จะนำมาพิจารณา เช่น พื้นที่ของสถานี ความต้านทานจำเพาะของดิน (โดยการสุ่มวัดหาความต้านทานของดิน) โดยจะมีขั้นตอนในการพิจารณาอยู่ 12 ขั้นตอน ซึ่งบางครั้งค่าต่าง ๆ ที่ได้มานั้นต้องผ่านการคำนวณมาก่อนถึงจะนำมาเขียนโปรแกรมการออกแบบระบบต่อลงดินได้

## ข้อตกลงเบื้องต้น

ในการออกแบบระบบต่อลงดินของวิทยานิพนธ์ฉบับนี้ เป็นการใส่แผ่นพลาสติกฟังได้ชั้นของหินกรวด เพื่อเพิ่มความต้านทานที่เท้าของบุคคลที่ทำงานอยู่ในสถานีไฟฟ้าอยู่บางจุดเท่านั้น และเป็นการลดค่าศักดาไฟฟ้าสัมผัสมีความปลอดภัยมากขึ้น อีกทั้งเป็นการประหยัดวัสดุ

## ความจำกัดของการศึกษา

การออกแบบระบบต่อลงดินนั้นมีข้อจำกัดในการศึกษา คือไม่สามารถที่จะไปวัดหาค่าความต้านทานของดิน ในพื้นที่ของสถานีไฟฟ้าอยู่จริง ๆ ได้ แต่มีข้อมูลบางอย่างที่ได้มาจาก การออกแบบในพื้นที่จริงของสถานีไฟฟ้าอยู่ปัจจุบัน

เอกสารนี้เป็นเอกสารที่สงวนไว้สำหรับการใช้งานเพื่อการศึกษาเท่านั้น ไม่อนุญาตให้นำไปใช้ประโยชน์ด้านการค้า ไม่ว่ากรณีใดๆทั้งสิ้น อีกทั้งห้ามมิให้ดัดแปลงเนื้อหา และต้องอ้างอิงถึงเจ้าของเอกสารทุกครั้งที่มีการนำไปใช้

## วิธีดำเนินการวิจัย

วิธีที่ใช้ศึกษาค้นคว้าในวิทยานิพนธ์ฉบับนี้ เป็นการวิจัยเอกสาร หรือบทความที่มีอยู่แล้ว รวมทั้งเก็บข้อมูลจากหน่วยงานต่าง ๆ เช่น การไฟฟ้าฝ่ายผลิตแห่งประเทศไทย บริษัทศรีอุทอง จำกัด รวมไปถึงการวิเคราะห์ข้อมูลที่ได้จากการออกแบบไปแล้ว แต่ข้อมูลหลักที่ใช้ในการพิจารณาออกแบบระบบต่อลงดินนั้นได้มาจาก ANSI/IEEE Standard 80, 1986



เอกสารนี้เป็นเอกสารที่สงวนไว้สำหรับการใช้งานเพื่อการศึกษาเท่านั้น ไม่อนุญาตให้นำไปใช้ประโยชน์ด้านการค้า  
ไม่ว่ากรณีใดๆทั้งสิ้น อีกทั้งห้ามมิให้ดัดแปลงเนื้อหา และต้องอ้างอิงถึงเจ้าของเอกสารทุกครั้งที่มีการนำไปใช้

## บทที่ 2

### ทฤษฎี และหลักการออกแบบระบบต่อลงดิน

#### วัตถุประสงค์ของการออกแบบระบบต่อลงดิน

1. เพื่อเป็นทางผ่านของกระแสไฟฟ้าไหลลงดินได้สะดวก ทั้งในภาวะที่เกิดกระแสสูงผิดปกติเนื่องจากปรากฏการณ์ฟ้าผ่า หรือกระแสลัดวงจรไหลลงดินในระบบเองให้ไหลลงดินได้อย่างรวดเร็ว โดยไม่กระทบต่อการทำงานของอุปกรณ์ป้องกัน และเครื่องมือต่าง ๆ
2. เพื่อให้อุปกรณ์ป้องกันไฟฟ้าที่อยู่ในสถานีไฟฟ้าย่อยสามารถรับรู้ถึงกระแสไฟฟ้าลัดวงจรลงดินที่เกิดขึ้นในระบบจำหน่าย
3. เพื่อให้แน่ใจว่ามีความปลอดภัยต่อคนที่อยู่ใกล้เคียงกับระบบต่อลงดิน จะไม่ได้รับอันตรายหรือช็อก

#### 2.1 หลักการพิจารณาการออกแบบระบบต่อลงดิน พอสรุปได้ดังนี้

- 2.1.1 ศึกษาแบบแปลนของสถานีไฟฟ้าและตำแหน่งที่ตั้งของอุปกรณ์ไฟฟ้าต่าง ๆ
- 2.1.2 สำนัวจาค่าความต้านทานจำเพาะของดิน.
- 2.1.3 หาค่ากระแสไฟฟ้าลัดวงจรลงดินสูงสุด และเวลาที่กระแสลัดวงจรไหลในระบบ
- 2.1.4 หาขนาดของตัวนำกริดจากกระแสลัดวงจร
- 2.1.5 หาศักดาไฟฟ้าสัมผัส และศักดาไฟฟ้าช่วงก้าวที่มนุษย์จะทนได้โดยไม่เกิดอันตราย
- 2.1.6 กำหนดกระแสกริดสูงสุด
- 2.1.7 วางแนวการฝังตัวนำกริดให้ครอบคลุมพื้นที่ของสถานีไฟฟ้าย่อยทั้งหมด
- 2.1.8 คำนวณหาค่าความต้านทานของระบบกราวด์
- 2.1.9 คำนวณหาศักดาไฟฟ้าสัมผัสสูงสุดที่เกิดขึ้น

#### 2.2 นิยามศักดาไฟฟ้าที่พบบ่อยในการออกแบบระบบต่อลงดิน

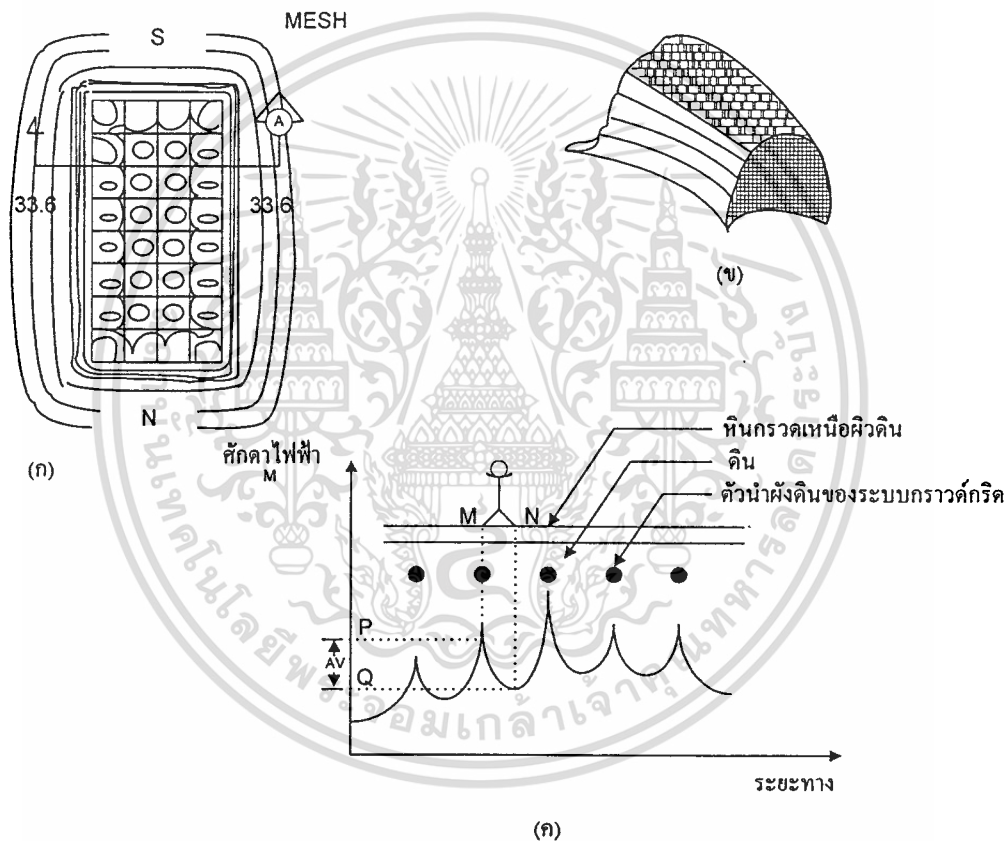
ขณะเกิดการลัดวงจรจะทำให้เกิดความต่างศักด์์ขึ้นที่ผิวดินบริเวณสถานีไฟฟ้าย่อย โดยศักดาไฟฟ้าต่าง ๆ นิยามได้ดังนี้

ศักดาไฟฟ้าที่ปรากฏขึ้นที่ตะแกรงต่อลงดิน (Grid Potential Rise ; GPR) คือแรงดันไฟฟ้าหรือความต่างศักย์ไฟฟ้าสูงสุดที่เกิดขึ้นที่ระบบต่อลงดิน (เมื่อเทียบกับศักดาไฟฟ้าของดินที่อยู่ไกล

ไม่ว่ากรณีใดๆทั้งสิ้น อีกทั้งห้ามมิให้ตัดแปลงเนื้อหา และต้องอ้างอิงถึงเจ้าของเอกสารทุกครั้งที่มีการนำไปใช้

จากสถานีไฟฟ้าย่อย) สักดาไฟฟ้านี้มีค่าเท่ากับผลคูณกระแสไฟฟ้าที่มากที่สุดที่ไหลผ่านตะแกรงต่อลงดิน ( $I_g$ ) กับความต้านทานของตะแกรงต่อลงดิน ( $R_g$ )

สักดาไฟฟ้าช่วงก้าว (Step Voltage ;  $E_s$ ) คือแรงดันไฟฟ้าหรือความต่างศักย์ที่ผิวดินระหว่างจุด 2 จุด ที่มีระยะห่างกันหนึ่งเมตรหรือประมาณหนึ่งช่วงก้าวของมนุษย์ โดยไม่มีส่วนอื่นของร่างกายสัมผัสกับอุปกรณ์หรือดิน



รูปที่ 1 แสดงระบบการต่อลงดินและสักดาไฟฟ้าเมื่อเกิดการลัดวงจรลงดิน

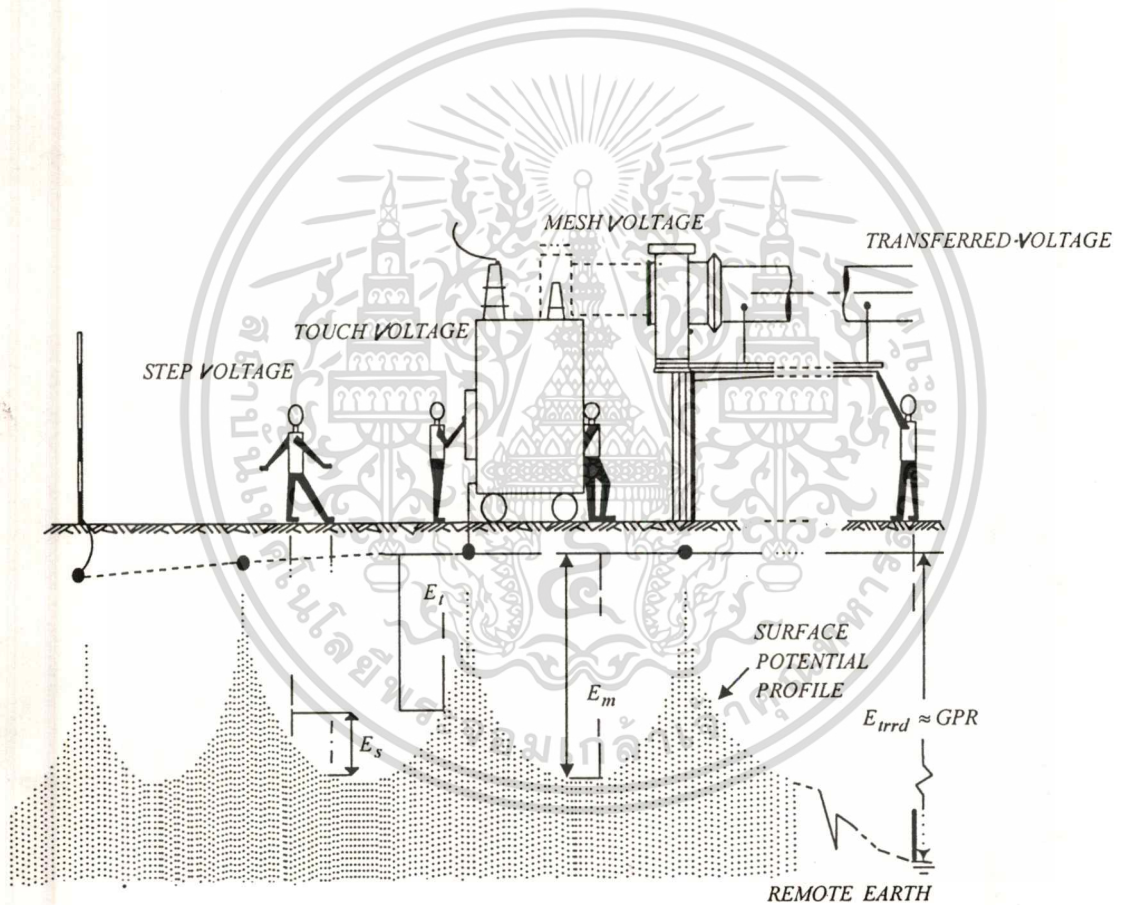
- ก) ระบบกราวด์กริดและเส้นสมศักย์ทั้งภาพในและรอบ ๆ
- ข) แนวเส้นสมศักย์ 3 เมตร (equipotential contour)
- ค) สักดาไฟฟ้าที่จุดต่าง ๆ ตามแนวตัดขวาง A ในรูปที่ ก)

เอกสารนี้เป็นเอกสารที่สงวนไว้สำหรับการใช้งานเพื่อการศึกษาเท่านั้น ไม่นิยมนำไปใช้ประโยชน์ด้านการค้า ไม่ว่าจะกรณีใดๆทั้งสิ้น อีกทั้งห้ามมิให้ดัดแปลงเนื้อหา และต้องอ้างอิงถึงเจ้าของเอกสารทุกครั้งที่มีการนำไปใช้

ศักดาไฟฟ้าสัมผัส (Touch Voltage ;  $E_t$ ) คือแรงดันไฟเข้าหรือความต่างศักย์ไฟฟ้าระหว่างระบบต่อลงดินกับจุดที่มนุษย์ยืนอยู่และมือไปสัมผัสกับโครงสร้าง หรือเปลือกของอุปกรณ์ที่ต่อลงดิน

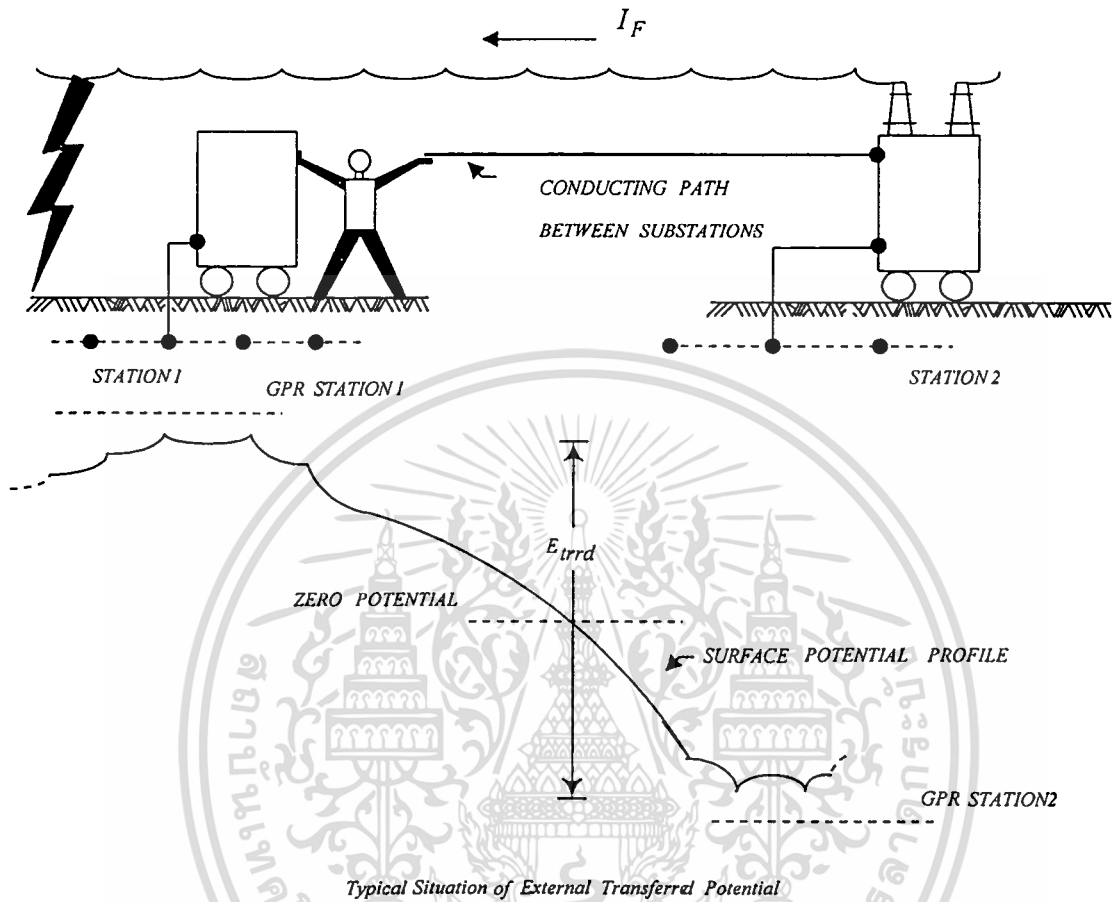
ศักดาไฟฟ้าเมช (Mesh Voltage ;  $E_m$ ) คือแรงดันสัมผัสสูงสุดที่เป็นไปได้ภายในร่องตาข่ายของตะแกรงต่อลงดิน

ศักดาไฟฟ้าทรานสเฟอร์ (Transferred Voltage ;  $E_{trrd}$ ) คือแรงดันไฟฟ้าหรือความต่างศักย์ไฟฟ้าที่เข้ามาหรือออกจากสถานีไฟฟ้าย่อย ซึ่งเป็นกรณีย่อยกรณีหนึ่งของศักดาไฟฟ้าสัมผัส



รูปที่ 2 แสดงสภาวะการเกิดช็อกเมื่อเกิดลัดวงจรลงดิน

เอกสารนี้เป็นเอกสารที่สงวนไว้สำหรับการใช้งานเพื่อการศึกษาเท่านั้น ไม่อนุญาตให้นำไปใช้ประโยชน์ด้านการค้า ไม่ว่าจะกรณีใดๆทั้งสิ้น อีกทั้งห้ามมิให้ดัดแปลงเนื้อหา และต้องอ้างอิงถึงเจ้าของเอกสารทุกครั้งที่มีการนำไปใช้



รูปที่ 3 แสดงการเกิด External Transferred Potential

### 2.3 ชีตจำกัดของกระแสที่ไหลผ่านร่างกายมนุษย์

ขนาดของกระแสที่มีผล หรือเป็นอันตรายต่อร่างกายในระดับต่างๆที่ความถี่ 50-60 Hz ดังนี้

- 1 mA จุดเริ่มต้นรู้สึกว่ามีกระแสไหลผ่าน ค่านี้อาจเพิ่มขึ้นทั้งนี้ขึ้นอยู่กับสภาพร่างกาย เพศ และน้ำหนัก
- 1-6 mA ยังสามารถควบคุมกล้ามเนื้อได้ยังไม่ทำให้เกิดอันตราย
- 9-25 mA รู้สึกเจ็บปวดเกิดอาการเกร็งจนไม่อาจสลัดมือจากตัวนำได้
- 100-300 mA หัวใจทำงานล้มเหลวกล้ามเนื้อหัวใจไม่สามารถสูบฉีดโลหิตได้

ขนาดกระแสที่มีผลต่อร่างกายมนุษย์จำเป็นต้องพิจารณาถึงช่วงเวลาที่กระแสไหลผ่านร่างกายด้วย ขนาดของกระแสที่ไม่ทำให้เกิดอันตรายต่อร่างกายถึงขั้นหัวใจทำงานผิดปกติในช่วงระยะเวลาสั้น ๆ คือประมาณ 0.03-3 วินาที โดยมีความน่าจะเป็น (probability) 95% ซึ่งมีค่าความสัมพันธ์กับค่าพลังงานที่ร่างกายได้รับเข้าไป ดังสมการ

$$I_B^2 \cdot t_s = S_b \quad \dots\dots\dots (2.1)$$

เมื่อ  $I_B$  = กระแสที่ไหลผ่านร่างกาย (A)

$t_s$  = ช่วงเวลาที่กระแสไหลผ่าน (sec)

$S_b$  = พลังงานที่สะสมในร่างกายมนุษย์เมื่อได้รับกระแส ( $W_s$ )

จากสมการที่ (2.1) สามารถเขียนให้อยู่ในรูปกระแสได้ดังนี้

$$I_B = \frac{\sqrt{S_b}}{\sqrt{t_s}} \quad \dots\dots\dots (2.2)$$

ร่างกายมนุษย์โดยเฉลี่ยทั่ว ๆ ไปที่มีน้ำหนักประมาณ 50 ก.ก. จะมีความน่าจะเป็น 99.5% ที่จะปลอดภัยเมื่อได้รับพลังงานสะสม 0.0135  $W_s$  ดังนั้นจากสมการที่ (2.2) จะเขียนใหม่ได้

$$I_B = \frac{0.116}{\sqrt{t_s}} \quad \text{สำหรับคนที่มีน้ำหนัก 50 ก.ก.} \quad \dots\dots\dots (2.3)$$

สำหรับมนุษย์ที่มีน้ำหนักประมาณ 70 ก.ก. ซึ่งได้จากการทดลองกับสัตว์ที่ขนาดหัวใจใกล้เคียงมนุษย์ในช่วงเวลาไม่เกิน 3 นาที โดยมีค่าพลังงานสะสม 0.0246  $W_s$  จะได้สมการ

$$I_B = \frac{0.157}{\sqrt{t_s}} \quad \text{สำหรับคนที่มีน้ำหนัก 70 ก.ก.} \quad \dots\dots\dots (2.4)$$

#### 2.4 ความต้านทานของร่างกายมนุษย์ (Resistance of the Human Body)

ในสภาวะปกติร่างกายมนุษย์จะมีค่าความต้านทานประมาณ 500-3000 โอห์ม ทั้งนี้ขึ้นอยู่กับค่าความชื้นว่ามีค่ามากน้อยเพียงไร ซึ่งจะทำให้ค่าความต้านทานเปลี่ยนไป ความต้านทานร่างกายเอกสารนี้เป็นเอกสารที่สงวนไว้สำหรับการใช้งานเพื่อการศึกษาเท่านั้น ไม่อนุญาตให้นำไปใช้ประโยชน์ด้านการค้า ไม่ว่ากรณีใดๆทั้งสิ้น อีกทั้งห้ามมิให้ดัดแปลงเนื้อหา และต้องอ้างอิงถึงเจ้าของเอกสารทุกครั้งที่มีการนำไปใช้

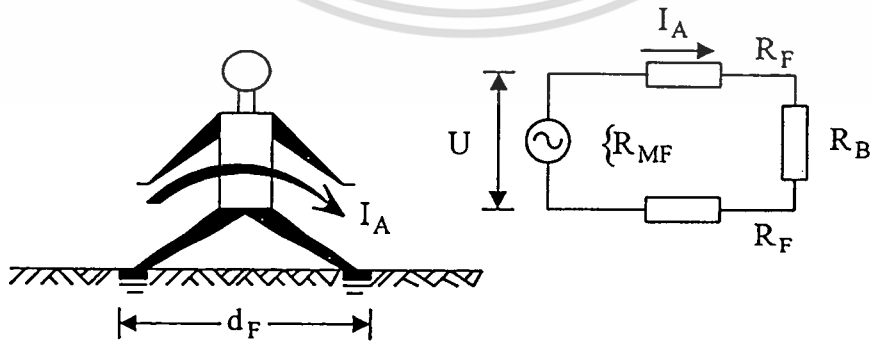
มนุษย์ที่ใช้ในการออกแบบระบบต่อลงดินหรือในการวิเคราะห์ ไม่ว่าจะเป็นกระแสลับหรือกระแสตรงที่ไหลผ่านร่างกายมนุษย์ ความต้านทานของร่างกายมนุษย์จะให้ผลเป็น Non-inductive Resistance ซึ่งการวัดความต้านทานระหว่างอวัยวะต่าง ๆ ของร่างกายมนุษย์จะได้ค่าที่ไม่ค่อยจะแน่นอนขึ้นอยู่กับหลายองค์ประกอบ IEEE Std. 80-1986 ได้กำหนดค่าความต้านทานของร่างกายมนุษย์ จากมือถึงเท้าทั้งคู่และจากมือถึงมือ หรือจากเท้าถึงเท้าอีกข้างหนึ่งเท่ากับ 1000 โอห์ม

$$R_B = 1000 \text{ โอห์ม} \dots\dots\dots(2.5)$$

อันตรายที่จะเกิดต่อมนุษย์เมื่อมีกระแสลัดวงจรไหลลงระบบต่อลงดินของสถานีไฟฟ้าย่อยเกิดขึ้นใน 2 ลักษณะไม่ว่าจะเกิดเนื่องจากสัคคาไฟฟ้าระหว่างก๊าว สัคคาไฟฟ้าสัมผัส สัคคาไฟฟ้าเมฆ หรือสัคคาไฟฟ้าทรานเฟอร์ คือการไหลของกระแสผ่านร่างกายจากเท้า-เท้าลงดิน และการไหลของกระแสผ่านจากมือ - เท้าลงดิน องค์ประกอบที่ต้องพิจารณาเพื่อให้ขนาดกระแสที่ไหลผ่านร่างกายมีขีดจำกัดจนไม่เป็นอันตรายถึงชีวิตก็คือ ความต้านทานของร่างกายและความต้านทานของพื้นดินที่เท้ายืนอยู่ ผลของการโรยหินกรวดบนพื้นสถานีไฟฟ้าย่อย และความลึกของการฝังระบบต่อลงดินที่มีต่อความต้านทานของเท้ากับดิน

**2.5 วงจรจำลองการเกิดอุบัติเหตุ**

สภาวะการเกิดอุบัติเหตุหรือการช้อคภายในหรือบริเวณรอบ ๆ สถานีไฟฟ้าย่อย สามารถเขียนเป็นวงจรจำลองได้ 2 อย่าง คือวงจรแสดงกระแสไหลระหว่างเท้าถึงเท้า และวงจรแสดงกระแสไหลระหว่างมือถึงเท้า แสดงดังรูปที่ 4ก และ 4ข



รูปที่ 4ก. แสดงภาพจำลองกระแสไหลระหว่างเท้าถึงเท้าเนื่องจากสัคคาไฟฟ้าระหว่างก๊าว

เอกสารนี้เป็นเอกสารที่สงวนไว้สำหรับการใช้งานเพื่อการศึกษาเท่านั้น ไม่นอนุญาตให้นำไปใช้ประโยชน์ด้านการค้า ไม่ว่าจะกรณีใดๆทั้งสิ้น อีกทั้งห้ามมิให้ดัดแปลงเนื้อหา และต้องอ้างอิงถึงเจ้าของเอกสารทุกครั้งที่มีการนำไปใช้

$$d_F = 1 \text{ เมตร}$$

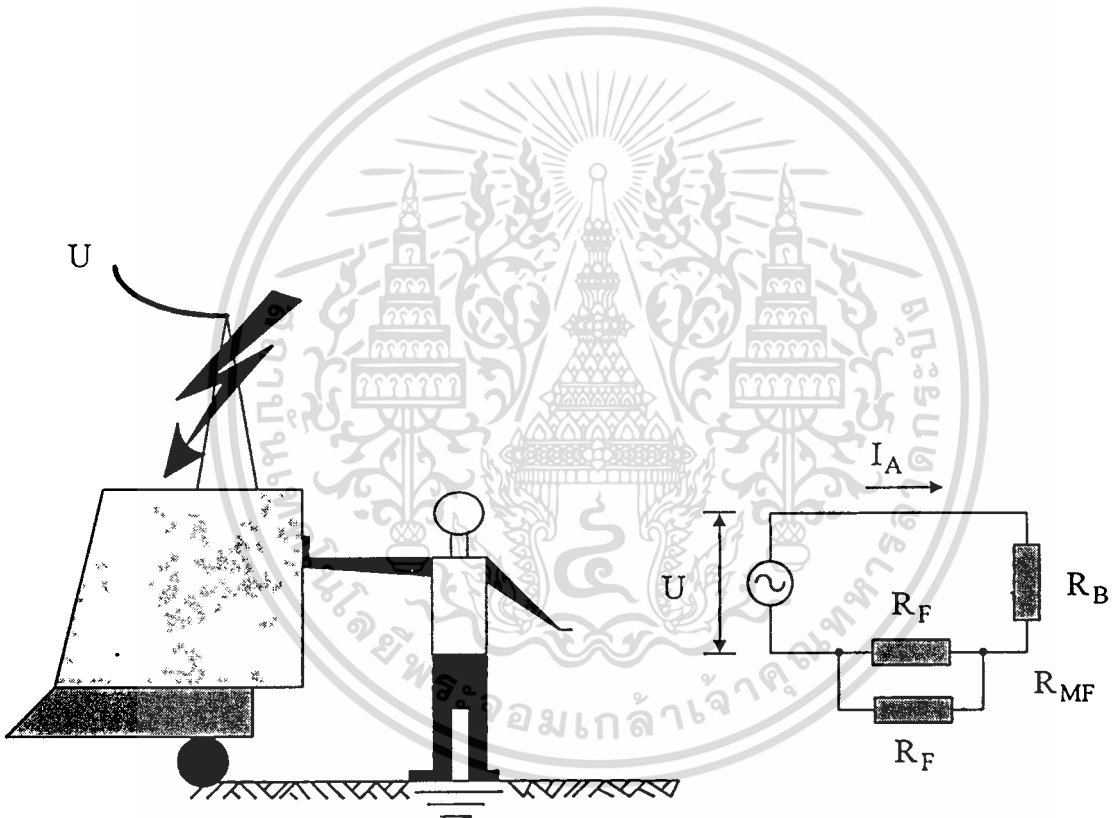
$$R_T = R_B + 2R_F - 2R_{MF}$$

$$I_A = \frac{U}{R_T}$$

$$R_B = 1000 \text{ โอห์ม}$$

เมื่อ  $I_A =$  The current of accidental circuit

$R_T =$  The total resistance of accidental circuit



$$R_A = R_B + \frac{1}{2}(R_F + R_{MF})$$

รูปที่ 4ข. แสดงภาพจำลองกระแสไหลระหว่างมือถึงเท้าเนื่องจากศักดาไฟฟ้าสัมผัส

รูปที่ 4 แสดงวงจรจำลองการเกิดอุบัติเหตุ

เอกสารนี้เป็นเอกสารที่สงวนไว้สำหรับการใช้งานเพื่อการศึกษาเท่านั้น ไม่อนุญาตให้นำไปใช้ประโยชน์ด้านการค้า  
ไม่ว่ากรณีใดๆทั้งสิ้น อีกทั้งห้ามมิให้ดัดแปลงเนื้อหา และต้องอ้างอิงถึงเจ้าของเอกสารทุกครั้งที่มีการนำไปใช้

ความต้านทานรวมของร่างกาย ของวงจรจำลองการเกิดอุบัติเหตุสามารถเขียนได้ดังสมการ

ความต้านทานรวมเนื่องจากกระแสไหลระหว่าง เท้า-เท้า

$$R_{TS} = R_B + 2(R_F - R_{MF}) \text{ โอห์ม} \dots\dots\dots(2.6)$$

ความต้านทานรวมเนื่องจากกระแสไหลระหว่างมือ-เท้า

$$R_{TP} = R_B + \frac{1}{2}(R_F + R_{MF}) \text{ โอห์ม} \dots\dots\dots(2.7)$$

- เมื่อ
- $R_B$  = ความต้านทานของร่างกายมนุษย์
  - $R_F$  = ความต้านทานที่ไหลผ่านเท้าแต่ละข้างกับดินหรือผิวหน้าดิน
  - $R_{MF}$  = ความต้านทานร่วม (Mutual) ระหว่างเท้าทั้งสองข้าง (ปกติมีค่าน้อยมากจึงไม่พิจารณาผลอันนี้)

$R_T$  จะขึ้นอยู่กับ  $R_B$  และ  $R_F$  (footing resistance) โดยทั่วไปเท้าของมนุษย์จะมีลักษณะคล้ายกับแผ่นจานโลหะตัวนำ(Conducting metallic Disk) และจะมีความต้านทานเหนี่ยวนำระหว่างเท้าทั้งสอง (Mutual Resistance) ดังสมการ

$$R_F = \frac{\rho}{4b} \dots\dots\dots(2.8)$$

$$R_{MF} = \frac{\rho}{2\pi d_F} \dots\dots\dots(2.9)$$

- เมื่อ
- $\rho$  = ค่าความต้านทานจำเพาะของดิน (โอห์ม-เมตร)
  - $R_F$  = ค่าความต้านทานที่เท้าแต่ละข้างกับดิน
  - $R_{MF}$  = ค่าความต้านทานเหนี่ยวนำระหว่างเท้าทั้งสอง
  - $b$  = รัศมีสมมุทธ์ของเท้า (เมตร)
  - $d_F$  = ระยะห่างระหว่างเท้า (เมตร)

ค่าความต้านทานของเท้าทั้งสองข้างเมื่อเป็นแบบอนุกรมและขนานคือ

$$R_{2FS} = 2(R_F - R_{MF}) \quad \dots\dots\dots(2.10)$$

$$R_{2FP} = \frac{1}{2}(R_F + R_{MF}) \quad \dots\dots\dots(2.11)$$

เมื่อ  $R_{2FS}$  = ความต้านทานใต้เท้าทั้งสองเมื่อเป็นแบบอนุกรม

$R_{2FP}$  = ความต้านทานใต้เท้าทั้งสองเมื่อเป็นแบบขนาน

จากสมการที่(2.10) และ(2.11) ซึ่งอาจจะคิดโดยประมาณว่ารัศมีมีทางผ่านโลหะกลมที่สมมุติแทนเท้าของคนเราแต่ละข้างมีค่าเท่ากับ 0.083 เมตร และไม่คิดค่าความต้านทานร่วม (Mutual resistance) เนื่องจากมีค่าน้อยดังนั้นค่าความต้านทานของพื้นดินใต้เท้าทั้งสองข้างในแบบอนุกรมและแบบขนานสามารถเขียนในรูปของสภาพความต้านทานจำเพาะ  $\rho$  ได้ ดังสมการ

$$R_{2FS} = 6\rho \quad \dots\dots\dots(2.12)$$

$$R_{2FP} = 1.5\rho \quad \dots\dots\dots(2.13)$$

ดังนั้นจึงทำให้ค่าของ  $R_{TS}$  และ  $R_{TP}$  ได้ดังสมการ

$$R_{TS} = R_B + 2R_F = R_B + 6\rho \quad \dots\dots\dots(2.14)$$

$$R_{TP} = R_B + \frac{1}{2}R_F = R_B + 1.5\rho \quad \dots\dots\dots(2.15)$$

### บทที่ 3

#### การโรยหินกรวดบนพื้นผิวดิน

##### ผลของพื้นผิวที่ชั้นบนเป็นหิน (Effect of a Thin Surface Layer of Crush Rock)

เนื่องจากความต้านของร่างกายมนุษย์ต่ำเกินไป ( $R_b = 1000$  โอห์) ทำให้กระแสไหลผ่านร่างกายได้มาก การลดกระแสทำได้โดยการเพิ่มความต้านทานระหว่างเท้าของผู้ปฏิบัติงานในสถานีไฟฟ้าย่อยกับพื้นดินให้สูงขึ้น ในทางปฏิบัติจะโรยหินกรวดหนาประมาณ 0.08-0.15 เมตร บนพื้นผิวดินเพื่อลดการระเหยความชื้นภายในดิน และนอกจากนี้จะทำให้ลดจำนวนตัวนำในระบบต่อลงดินให้น้อยลงได้ ความต้านทานจำเพาะของหินกรวดคิดเฉลี่ยประมาณ 3000 โอห์ม-เมตร

จากสมการที่ (2.8) และ (2.9) เราพิจารณาดินที่มีความต้านทานจำเพาะเป็นแบบ uniform แต่โดยทั่วไปพื้นของสถานีไฟฟ้าย่อยมักจะเป็น 2 ชั้น (Two Layer) คือ ชั้นล่างจะเป็นดิน ชั้นบนจะเป็นหินกรวด ซึ่งจะมีค่าความต้านทานจำเพาะต่างกัน เพราะฉะนั้นการหาค่า  $R_F$  และ  $R_{MF}$  จึงแตกต่างกัน HEPPE R.J. ได้วิเคราะห์ไว้ว่าในกรณีที่ผลจากการโรยหินกรวดจะได้ดังสมการ

$$R_F = \frac{\rho_s}{4b} F(X_1) \quad \dots\dots\dots(3.1)$$

$$R_{MF} = \frac{\rho_s}{2\pi d_F} F(X_2) \quad \dots\dots\dots(3.2)$$

ซึ่งค่า  $F(X)$  จะเป็น function ที่ขึ้นอยู่กับระยะห่างของเท้า และสัมพันธ์กับค่าความต้านทานจำเพาะของดิน และหินกรวดที่โรยชั้นบนด้วย

$$F(X) = 1 + 2 \sum_{n=1}^{\infty} Q \quad \dots\dots\dots(3.3)$$

$$Q = \frac{K^n}{\sqrt{1 + (2nX)^2}} \quad \dots\dots\dots(3.4)$$

$$K = \frac{\rho - \rho_s}{\rho + \rho_s} \quad \dots\dots\dots(3.5)$$

เมื่อ  $\rho_s$  = ความต้านทานจำเพาะของหินกรวด (Crush Rock Resistivity) (โอห์ม - เมตร)

$\rho$  = ความต้านทานจำเพาะของดิน (Soil resistivity) (โอห์ม - เมตร)

เอกสารนี้เป็นเอกสารที่สงวนไว้สำหรับการใช้งานเพื่อการศึกษาเท่านั้น ไม่อนุญาตให้นำไปใช้ประโยชน์ด้านการค้า

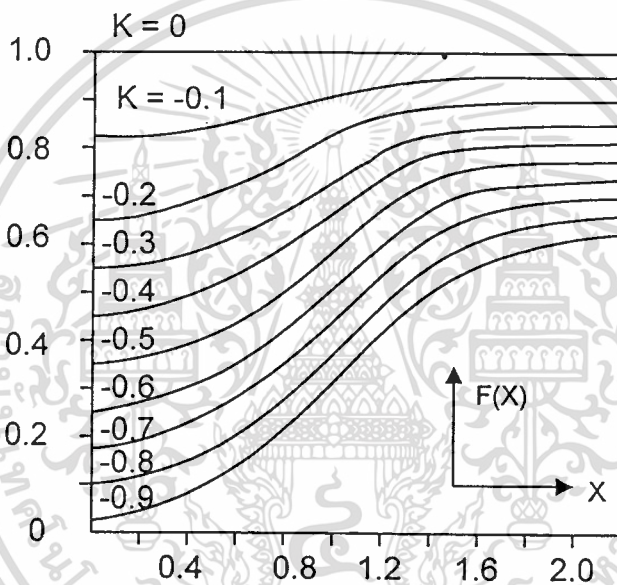
ไม่ว่ากรณีใดทั้งสิ้น อีกทั้งห้ามมิให้คัดลอกและต้องอ้างอิงถึงเจ้าของเอกสารทุกครั้งที่มีการนำไปใช้

$$X = X_1 = \frac{h_s}{b} \text{ สำหรับ } R_F$$

$$X = X_2 = \frac{h_s}{d_F} \text{ สำหรับ } R_{MF}$$

เมื่อ  $h_s$  = ความหนาของหินกรวดที่โรยบนผิวดิน (เมตร)

ค่าของ  $F(X)$  จะมีความสัมพันธ์โดยตรงกับค่า  $K$  ซึ่งจะวิเคราะห์โดยใช้โปรแกรมคอมพิวเตอร์ โดยดูได้จากรูปที่ 5



รูปที่ 5 แสดงค่า Function  $F(X)$  Versus  $X$  and Reflection Factor  $K$ .

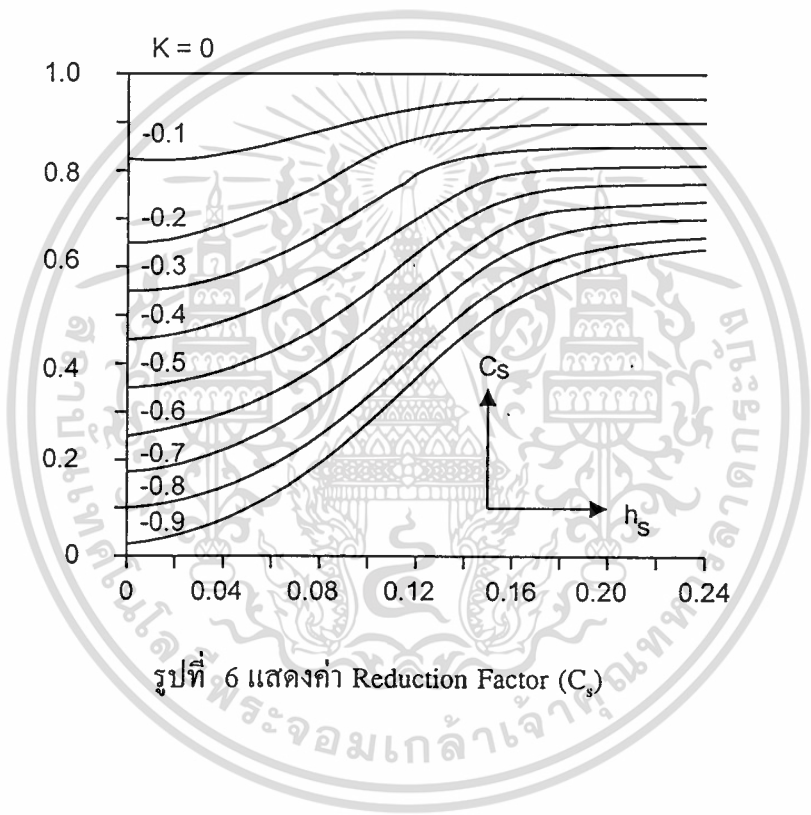
จากสมการที่ (2.12) และ (2.13) การกำหนดค่า  $R_{2FS}$  และ  $R_{2FP}$  เราตัดค่า mutual resistance ออกเพื่อให้สมการง่ายขึ้น สำหรับหินที่มีพื้น 2 ชั้น (Two Layer) และให้  $b$  มีค่าโดยประมาณ 0.083 เมตร จะได้สมการดังนี้

$$R_{2FS} = 6C_s(h_s, K) \rho_s \dots\dots\dots(3.6)$$

$$R_{2FP} = 1.5C_s(h_s, K) \rho_s \dots\dots\dots(3.7)$$

เมื่อ  $C_s$  = Reduction factor เนื่องจากการโรยหินกรวด และจะมีค่าเท่ากับ 1 ถ้าความต้านทานจำเพาะของดินเท่ากับความต้านทานจำเพาะของหินกรวด

$C_s$  = จะมีความสัมพันธ์กับค่า  $K$  และความหนาของชั้นหินกรวด  $h_s$  ดังรูปที่ 6



ความต้านทานรวมของร่างกายและเท้าถึงดิน ในกรณีคิดผลของการโรยหินกรวด สามารถเขียนเป็นสมการได้ดังนี้

$$R_{TS} = R_B + 6C_s \rho_s \quad \text{ความต้านทานรวมระหว่างเท้า} \quad \dots\dots\dots(3.8)$$

$$R_{TP} = R_B + 1.5C_s \rho_s \quad \text{ความต้านทานรวมระหว่างมือกับเท้า} \quad \dots\dots\dots(3.9)$$

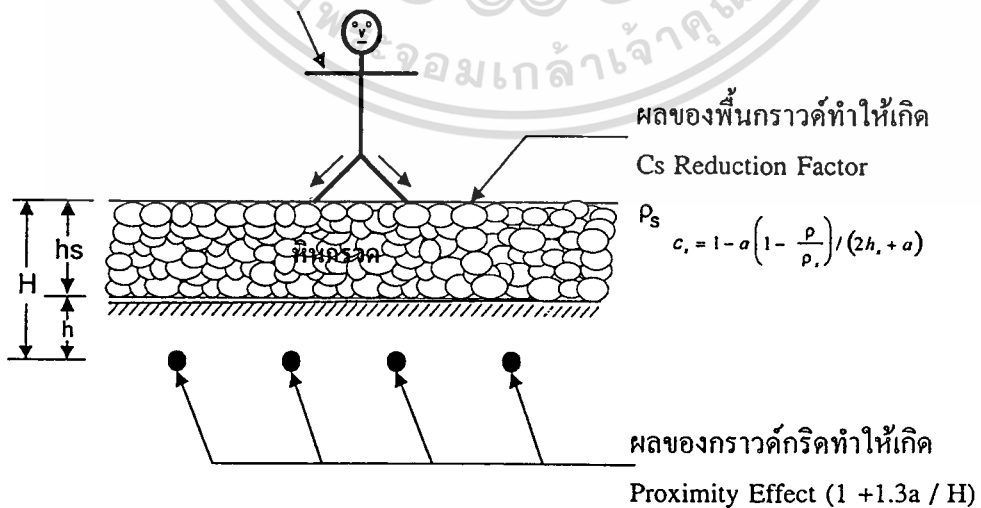
โดยค่า  $C_s$  จะประมาณค่าได้ดังนี้

$$C_s = \frac{1 - \frac{\rho}{\rho_s}}{1 - a \left[ \frac{\rho}{2h_s + a} \right]} \quad \text{สำหรับความลึกของหินกรวด} \quad \dots\dots\dots(3.10)$$

$0 \leq h_s \leq 0.3048$  เมตร

$$C_s = \frac{1 - \frac{\rho}{\rho_s}}{1 - a \left[ \frac{\rho}{2h_s - a} \right]} \quad \text{สำหรับความลึกของหินกรวด} \quad \dots\dots\dots(3.11)$$

$h_s > 0.3048$  เมตร



รูปที่ 7 แสดงชั้นหินกรวดบนสถานีไฟฟ้าย่อย

เมื่อ	$C_s$	=	Reduction factor เนื่องจากการโรยหินกรวด
	$h_s$	=	ความหนาของหินกรวด (เมตร)
	$a$	=	0.106 เมตร ซึ่งได้มาจากการแทนที่ด้วยครึ่งทรงกลม รัศมี $a$ แทนที่จะแทนด้วยแผ่นโลหะกลมรัศมี 0.083 เมตร
	$\rho$	=	ความต้านทานจำเพาะของดิน (โอห์ม - เมตร)
	$\rho_s$	=	ความต้านทานจำเพาะของหินกรวด (โอห์ม - เมตร)

ความต้านทานรวมของร่างกายและเท้าถึงดิน ในสมการที่ (3.8) และ (3.9) คิดผลของการโรยหินกรวดเข้าไปแล้วแต่ไม่ได้คิดผลเนื่องจากมีระบบกรวดกริดฝังอยู่ใต้ดิน กรวดกริดที่อยู่ในดินซึ่งมีศักดาไฟฟ้าสูงกว่าศักดาไฟฟ้า ณ จุดที่ยืนอยู่ ทำให้กระแสไหลผ่านร่างกายลงในดินได้ยากขึ้นนั่นคือ การฝังกรวดกริดลึกลงไปในดิน (Grid proximity, P) จะทำให้ความต้านทานมีค่าเพิ่มขึ้นเล็กน้อย คือ

$$P = 1 + 1.3 \left[ \frac{a}{(h + h_s)} \right] ; a = 0.106 \dots\dots\dots(3.12)$$

$$\text{ดังนั้น } R_{TS} = R_B + 6C_s \rho_s \left[ 1 + \frac{1.3a}{H} \right] \text{ สำหรับความต้านทานระหว่างเท้า } \dots\dots\dots(3.13)$$

$$R_{TP} = R_B + 1.5C_s \rho_s \left[ 1 + \frac{1.3a}{H} \right] \text{ สำหรับความต้านทานระหว่างมือกับเท้า } \dots\dots\dots(3.14)$$

เมื่อ	$H$	=	$h + h_s$
	$H$	=	ความลึกของกรวดกริดใต้ระดับผิวบนสุด (เมตร)
	$h$	=	ความลึกของกริดจากผิวดิน (เมตร)
	$h_s$	=	ความหนาของหินกรวด (เมตร)

### 3.1 เกณฑ์ความปลอดภัยของแรงดันสัมผัสและแรงดันช่วงก้าว

#### (Step and Touch Voltage Criteria)

การพิจารณาถึงขนาดกระแสที่ไหลผ่านร่างกายมนุษย์ โดยไม่ทำให้เป็นอันตรายถึงชีวิต และความต้านทานของร่างกายเท่าถึงดินในพื้นที่สถานีไฟฟ้าย่อย ค่าศักดาไฟฟ้าระหว่างก้าวและศักดาไฟฟ้าสัมผัสสูงสุดที่ไม่เป็นอันตรายต่อชีวิตมนุษย์ได้จากสมการ ดังนี้

$$E_{step} = (R_B + R_{2FS})I_B \quad \dots\dots\dots(3.15)$$

$$E_{touch} = (R_B + R_{2FP})I_B \quad \dots\dots\dots(3.16)$$

โดย  $R_B = 1000$  โอห์ม จะได้ว่า

สำหรับน้ำหนัก 50 กก.

$$E_{step50} = \left[ R_B + 6C_s(h_s, K) \rho_s \left( 1 + \frac{1.3a}{H} \right) \right] \frac{0.116}{\sqrt{t_s}} \quad \dots\dots\dots(3.17)$$

$$E_{touch50} = \left[ R_B + 1.5C_s(h_s, K) \rho_s \left( 1 + \frac{1.3a}{H} \right) \right] \frac{0.116}{\sqrt{t_s}} \quad \dots\dots\dots(3.18)$$

สำหรับน้ำหนัก 70 กก.

$$E_{step70} = \left[ R_B + 6C_s(h_s, K) \rho_s \left( 1 + \frac{1.3a}{H} \right) \right] \frac{0.157}{\sqrt{t_s}} \quad \dots\dots\dots(3.19)$$

$$E_{touch70} = \left[ R_B + 1.5C_s(h_s, K) \rho_s \left( 1 + \frac{1.3a}{H} \right) \right] \frac{0.157}{\sqrt{t_s}} \quad \dots\dots\dots(3.20)$$

ระบบต่อลงดิน หรือกราวด์กริดของสถานีไฟฟ้าย่อยที่ติดตั้งให้ศักดาไฟฟ้าระหว่างก้าวและศักดาไฟฟ้าสัมผัสสูงสุดที่เกิดขึ้นได้ในสถานีไฟฟ้าย่อยต้องมีค่าต่ำกว่าค่าวิกฤติของศักดาไฟฟ้าระหว่างก้าวในสมการที่ (3.17) หรือ (3.19) และศักดาไฟฟ้าสัมผัสในสมการที่ (3.18) หรือ (3.20)

เอกสารนี้เป็นเอกสารที่สงวนไว้สำหรับการใช้งานเพื่อการศึกษาเท่านั้น ไม่อนุญาตให้นำไปใช้ประโยชน์ด้านการค้า ไม่ว่าจะกรณีใดๆ ทั้งสิ้น อีกทั้งห้ามมิให้ดัดแปลงเนื้อหา และต้องอ้างอิงถึงเจ้าของเอกสารทุกครั้งที่มีการนำไปใช้

ตามลำดับ ศักดาไฟฟ้าสัมผัสสูงสุดที่เกิดขึ้นในสถานีไฟฟ้าย่อย คือ ศักดาไฟฟ้าเมช (Mesh Voltage)

3.2 การพิจารณาศักดาไฟฟ้าเมชและศักดาไฟฟ้าช่วงก้ำวที่เกิดขึ้นในสถานีไฟฟ้าย่อย

ศักดาไฟฟ้าเมช ( $E_m$ ) และศักดาไฟฟ้าช่วงก้ำว( $E_s$ )ที่เกิดขึ้นในสถานีไฟฟ้าย่อยสามารถคำนวณได้โดยตรงจากระบบกราวด์ ดังนั้นการออกแบบกราวด์จะปลอดภัยได้เมื่อ  $E_s < E_{step}$  และ  $E_m < E_{touch}$  การคำนวณ  $E_m$  และ  $E_s$  สามารถคำนวณได้ดังนี้ (โดยสมมติว่าเมชแต่ละเมชเป็นสี่เหลี่ยมจตุรัส แต่กริดไม่จำเป็นต้องเป็นสี่เหลี่ยมจตุรัส

$$E_m = \frac{\rho K_m K_i I_G}{L} \dots\dots\dots(3.21)$$

$$E_s = \frac{\rho K_s K_i I_G}{L} \dots\dots\dots(3.22)$$

$K_m$  = mesh voltage factor

$$K_m = \frac{1}{2\pi} \left[ \ln \left( \frac{D^2}{16hd} + \frac{(d+2h^2)}{8Dd} - \frac{h}{4d} \right) + \frac{k_{ii}}{k_h} \ln \frac{8}{\pi(2n-1)} \right] \dots\dots(3.23)$$

$K_{ii}$  = 1 สำหรับกริดที่มีแท่งตัวนำอยู่รอบ ๆ หรืออยู่ตามมุมของกริด หรือมีแท่งตัวนำอยู่รอบ ๆ และภายในกริด

$$K_{ii} = \frac{1}{(2n)^{2/n}} \text{ สำหรับกริดที่ไม่มีแท่งตัวนำหรือมีน้อยภายในกริด}$$

โดยไม่มีที่ส่วนรอบ ๆ และตามมุมของกริด

$$K_i = \sqrt{1 + \frac{h}{h_o}} \text{ โดย } h_o = 1 \text{ เมตร (ความลึกอ้างอิงของกริด)}$$

$K_i$  = Current Irregularity corrective factor เป็นแฟกเตอร์ที่คิดผลของกระแสต่อความยาวตัวนำที่ไหลจากระยะกริดลงดินที่มีค่าไม่เท่ากัน กระแสที่ตัวนำรอบนอกไหลลงดินมากกว่าตัวนำที่อยู่ภายใน และบริเวณมุมมีกระแสไหลออกจากกริดลงดินมากที่สุด

$$K_i = 0.656 + 0.172 n \dots\dots\dots(3.24)$$

กรณีระบบต่อลงดินประกอบด้วยตัวนำต่อเป็นสี่เหลี่ยม โดยไม่มีตัวนำภายในเลย  $n = 2$  จะได้  $K_s$  มีค่าเท่ากับ 1

$K_s$  = Step Voltage factor

$$K_s = \frac{1}{\pi} \left[ \frac{1}{2h} + \frac{1}{D+h} + \frac{1}{D} (1 - 0.5^{n-2}) \right] \text{ สำหรับ } 0.25 < h < 2.5 \text{ เมตร} \dots\dots\dots(3.25)$$

$$K_s = \frac{1}{\pi} \left[ \frac{1}{2h} + \frac{1}{D+h} + \frac{1}{D} W \right] \text{ สำหรับ } h < 0.25 \text{ เมตร} \dots\dots\dots(3.26)$$

$$w = \frac{1}{2} + \frac{1}{3} + \frac{1}{4} + \dots + \frac{1}{n-1} \dots\dots\dots(3.27)$$

$$w \approx \frac{1}{2(n-1)} + \ln(n-1) - 0.423 \text{ สำหรับ } n \geq 6 \dots\dots\dots(3.28)$$

สังเกตได้ว่า  $K_s$  นี้จะขึ้นอยู่กับค่าความลึกกริด ซึ่งเป็นความจริงที่ว่าแรงดันไฟฟ้าช่วงก้ำจะลดลงอย่างรวดเร็วเมื่อความลึกของกริดเพิ่มขึ้น

เมื่อ	$\rho$	=	ความต้านทานจำเพาะของดิน (โอห์ม - เมตร)
	$n$	=	จำนวนของตัวนำที่ใช้ทำกริดที่วางขนานกันในแต่ละทิศทาง
	$n$	=	$\sqrt{n_A \cdot n_B}$ สำหรับการคำนวณ $E_m$
	$n$	=	ค่าสูงสุดของ $n_A$ หรือ $n_B$ สำหรับการคำนวณ $E_s$
	$n_A, n_B$	=	จำนวนตัวนำด้าน A และด้าน B ของกราวด์กริด
	$D$	=	ระยะห่างระหว่างตัวนำที่ใช้ทำกริดวางขนานกัน (เมตร)
	$h$	=	ความลึกของกราวด์กริดใต้ผิวดิน (เมตร)
	$d$	=	เส้นผ่านศูนย์กลางของตัวนำที่ใช้ทำกราวด์กริด (เมตร)
	$L$	=	ความยาวของตัวนำของกริด
	$L$	=	$L_c + L_r$ สำหรับกราวด์กริดที่ไม่มีหรือมีกราวด์รีดเพียงเล็กน้อยอยู่ กลางๆ กริด(เมตร)
	$L$	=	$L_c + 1.15 L_r$ สำหรับกราวด์กริดที่มีกราวด์รีดส่วนมากอยู่รอบๆ กราวด์กริด(เมตร)
	$L_c$	=	ความยาวของตัวนำรวมที่ใช้ทำกราวด์กริด (เมตร)
	$L_r$	=	ความยาวรวมของกราวด์รีด (เมตร)

เอกสารนี้เป็นเอกสารที่สงวนไว้สำหรับใช้เฉพาะในโครงการศึกษาเท่านั้น ไม่อนุญาตให้นำไปใช้ประโยชน์ด้านการค้า  
ไม่ว่ากรณีใดๆทั้งสิ้น อีกทั้งห้ามมิให้ดัดแปลงเนื้อหา และต้องอ้างอิงถึงเจ้าของเอกสารทุกครั้งที่มีการนำไปใช้

ขีดจำกัดในการใช้สมการ  $E_m$  และ  $E_s$

1.  $n \leq 25$
2.  $0.25 < h < 2.5$
3.  $D > 2.5$
4.  $d < 0.25 h$
5. กว้าง : ยาวของเมช  $> 1 : 2.5$

### 3.3 การประมาณค่าความยาวของตัวนำที่ใช้อย่างน้อยที่สุด

ในการออกแบบระบบต่อลงดินที่ดี ควรจะต้องให้มีความปลอดภัยต่อชีวิตมนุษย์ที่มีการกึ่งในสถานีไฟฟ้าย่อยให้มากที่สุดเมื่อเกิดกระแสไหลลงดินและควรคำนึงถึงการนำตัวนำให้มีความยาวที่เหมาะสมและมีจำนวนน้อยที่สุด

อนึ่งเกณฑ์ความปลอดภัยของมนุษย์ที่สามารถรับได้โดยไม่เป็นอันตรายถึงชีวิต คือ ศักดาไฟฟ้าเมฆของสถานีไฟฟ้าย่อยต้องมีค่าน้อยกว่าศักดาไฟฟ้าสัมผัสสูงสุด เขียนเป็นสมการได้ว่า

$E_m < E_{touch50}$  สำหรับคนหนัก 50 ก.ก.

$$K_m K_i \rho \frac{I_G}{L} < \left[ (R_B + 1.5C_s)(h_s, K) \rho_s \left( 1 + \frac{1.3a}{H} \right) \right] \frac{0.116}{\sqrt{t_s}} \dots\dots\dots(3.29)$$

จัดรูปสมการใหม่จะได้ว่า

$$L > \frac{K_m K_i \rho I_G \sqrt{t_s}}{(116 + 0.174C_p s) \left( 1 + \frac{1.3a}{H} \right)} \dots\dots\dots(3.30)$$

และเช่นเดียวกับ

$E_m < E_{TOUCH70}$  สำหรับคนหนัก 70 ก.ก.

$$K_m K_i \rho \frac{I_G}{L} < \left[ (R_B + 1.5C_p s) \left( 1 + \frac{1.3a}{H} \right) \right] \frac{0.157}{\sqrt{t_s}} \dots\dots\dots(3.31)$$

จัดรูปสมการใหม่จะได้ว่า

$$L > \frac{K_m K_i \rho I_G \sqrt{t_s}}{(157 + 0.235C_p s) \left( 1 + \frac{1.3a}{H} \right)} \dots\dots\dots(3.32)$$

เอกสารนี้เป็นเอกสารที่สงวนไว้สำหรับการใช้งานเพื่อการศึกษาเท่านั้น ไม่อนุญาตให้นำไปใช้ประโยชน์ด้านการค้า  
ไม่ว่ากรณีใดๆทั้งสิ้น อีกทั้งห้ามมิให้ดัดแปลงเนื้อหา และต้องอ้างอิงถึงเจ้าของเอกสารทุกครั้งที่มีการนำไปใช้

### 3.4 การหาความต้านทานของระบบต่อลงดิน (Ground Resistance)

ในทางอุดมคติค่าความต้านทานของระบบต่อลงดินควรจะมีค่าใกล้เคียงกับศูนย์ แต่ในทางปฏิบัติแล้วเป็นไปได้ยาก ดังนั้นการออกแบบระบบต่อลงดินของสถานีไฟฟ้าย่อยจะกำหนดให้มีค่าความต้านทานของระบบต่อลงดินไม่เกิน 1 โอห์ม การเริ่มทำระบบต่อลงดินอาจจะทราบเพียงข้อมูลของพื้นที่สถานีไฟฟ้าย่อยที่จะสร้างและค่าความต้านทานจำเพาะของดินที่ได้จากการวัดเท่านั้น ซึ่งก็ยังไม่ทราบว่ากริดจะมีเมฆกว้างใหญ่เพียงใด ดังนั้นการหาความต้านทานรวมของระบบต่อลงดิน ขั้นตอนแรกจะต้องทราบขนาดและการวางรูปแบบของระบบเสียก่อน การประมาณค่าความต้านทานได้จากทดลอง โดยวางแผนโลหะทรงกลมภายในสถานีไฟฟ้าย่อย จะได้สมการว่า

$$R_g = \frac{\rho}{4} \sqrt{\frac{\pi}{A}} \dots\dots\dots(3.33)$$

กรณีทีคิดระบบกริดต่อลงดินประกอบด้วยตัวนำความยาว  $L$  และถ้า  $L$  มีค่าสูงมากทำให้ความต้านทานของระบบเท่ากับของแผ่นโลหะกลม โดยกริดต่อลงดินฝังลึกน้อยกว่า 0.25 เมตร จะทำให้ความต้านทานของระบบต่อลงดินมีความถูกต้องพอสมควร จะได้สมการดังนี้

$$R_g = \frac{\rho}{4} \sqrt{\frac{\pi}{A}} + \frac{\rho}{L} \dots\dots\dots(3.34)$$

ต่อมาได้มีการพัฒนาสมการในการหาค่าความต้านทานของระบบต่อลงดินโดยวิธีหา SVERAK'S approximation ใช้กับระบบต่อลงดินที่มีพื้นที่รูปทรงสี่เหลี่ยมจัตุรัส หรือสี่เหลี่ยมผืนผ้าที่ปรากฏอยู่ในมาตรฐาน IEEE 80 - 1986 ซึ่งกริดที่ต่อลงดินจะฝังลึกระหว่าง 0.25 - 2.5 เมตร ความต้านทานของระบบจะได้จากสมการ

$$R_g = \rho \left[ \frac{1}{L} + \frac{1}{\sqrt{20A}} \left( 1 + \frac{1}{1+h\sqrt{20/A}} \right) \right] \dots\dots\dots(3.35)$$

ในกรณีที่พื้นที่ของสถานีไฟฟ้าย่อยมีรูปทรงอื่น ๆ เช่น รูปทรงตัวแอล, รูปทรงตัวที และรูปทรงสามเหลี่ยม Thapar ได้เสนอสมการที่ใช้ในการหาค่าความต้านทานของระบบต่อลงดินได้ดังนี้

เอกสารนี้เป็นเอกสารที่สงวนไว้สำหรับการใช้งานเพื่อการศึกษาเท่านั้น ไม่อนุญาตให้นำไปใช้ประโยชน์ด้านการค้า ไม่ว่าจะกรณีใดทั้งสิ้น อีกทั้งห้ามมิให้ดัดแปลงเนื้อหา และต้องอ้างอิงถึงเจ้าของเอกสารทุกครั้งที่มีการนำไปใช้

$$R_g = \rho \left[ \frac{1}{L} + \frac{1}{\sqrt{20A}} \left( 1 + \frac{1}{1+h\sqrt{20/A}} \right) \right] \times 1.52 [2 \ln(Lp\sqrt{2/A}) - 1] \sqrt{A} / Lp \dots(3.36)$$

- เมื่อ  $R_g$  = ความต้านทานของระบบต่อลงดิน (โอห์ม )  
 $\rho$  = ความต้านทานจำเพาะของดิน (โอห์ม - เมตร)  
 $A$  = พื้นที่ซึ่งถูกครอบคลุมโดยกริด (ตารางเมตร)  
 $L_p$  = ความยาวของเส้นรอบรูปของกริด (เมตร)  
 $L$  = ความยาวของตัวนำทั้งหมดของระบบต่อลงดิน (เมตร)

### 3.5 การหาค่าความต้านทานจำเพาะของดิน

ความต้านทานจำเพาะของดินภายในสถานีไฟฟ้าย่อมมีผลต่อการกระจายของกระแสลัดวงจรลงสู่ดินกล่าวคือ ถ้าความต้านทานจำเพาะของดินต่ำกระแสลัดวงจรจะสามารถกระจายลงสู่ดินได้มาก ในทางตรงข้ามถ้าความต้านทานจำเพาะของดินมีค่ามากจะทำให้กระแสลัดวงจรไหลสู่ลงดินได้ปริมาณน้อยทำให้ศักดาไฟฟ้าจุดต่าง ๆ ที่พื้นดินมีค่าสูง ค่าความต้านทานจำเพาะของดินในแต่ละพื้นที่จะมีค่าต่างกัน ทั้งนี้ขึ้นอยู่กับระดับความลึกของชั้นดิน สภาพภูมิประเทศ สภาพภูมิอากาศ ความชื้นของดิน อุณหภูมิ สารเคมีที่มีอยู่ในดิน เป็นต้น สำหรับตารางข้างล่างนี้แสดงถึงค่าเฉลี่ยโดยประมาณของดินและหินชนิดต่าง ๆ

ตารางที่ 1

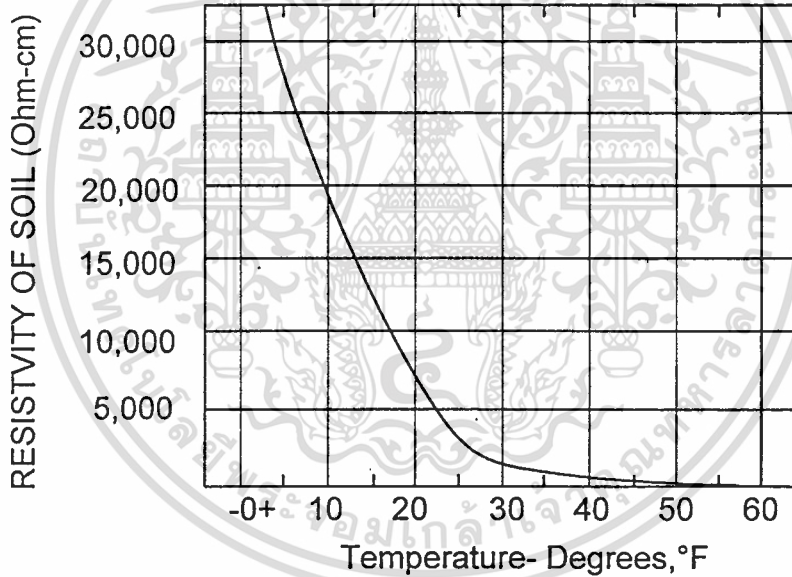
ชนิดของดิน (Type of Soil)	ความต้านทานจำเพาะ (Resistivity in ohm-meters)
ดินมีวัชพืชเปียกชื้น (wet organic soil)	10
ดินทั่วไปที่มีความชื้น (moist soil)	$10^2$
ดินทั่วไปแห้ง (dry soil)	$10^3$
หิน (Bed rock)	$10^4$
ทราย (sand)	500-1000

ตารางที่ 1 แสดงค่าเฉลี่ยของ Soil Resistivity

เอกสารนี้เป็นเอกสารที่สงวนไว้สำหรับการใช้งานเพื่อการศึกษาเท่านั้น ไม่อนุญาตให้นำไปใช้ประโยชน์ด้านการค้า ไม่ว่าจะกรณีใดๆทั้งสิ้น อีกทั้งห้ามมิให้ดัดแปลงเนื้อหา และต้องอ้างอิงถึงเจ้าของเอกสารทุกครั้งที่มีการนำไปใช้

โดยทั่วไปสำหรับการคำนวณและการออกแบบมักจะถือว่าพื้นดินเป็นเนื้อเดียวกันตลอด กล่าวคือ ความต้านทานจำเพาะของดินจะมีค่าเดียวกันตลอดพื้นดิน ทั้งนี้เพราะคุณสมบัติของพื้นดินส่วนใหญ่มักมีลักษณะเป็นเนื้อเดียวกันตลอด แต่ก็มีบางพื้นที่ที่มีสภาพพื้นดินที่ไม่ใช่เนื้อเดียวกันตลอด

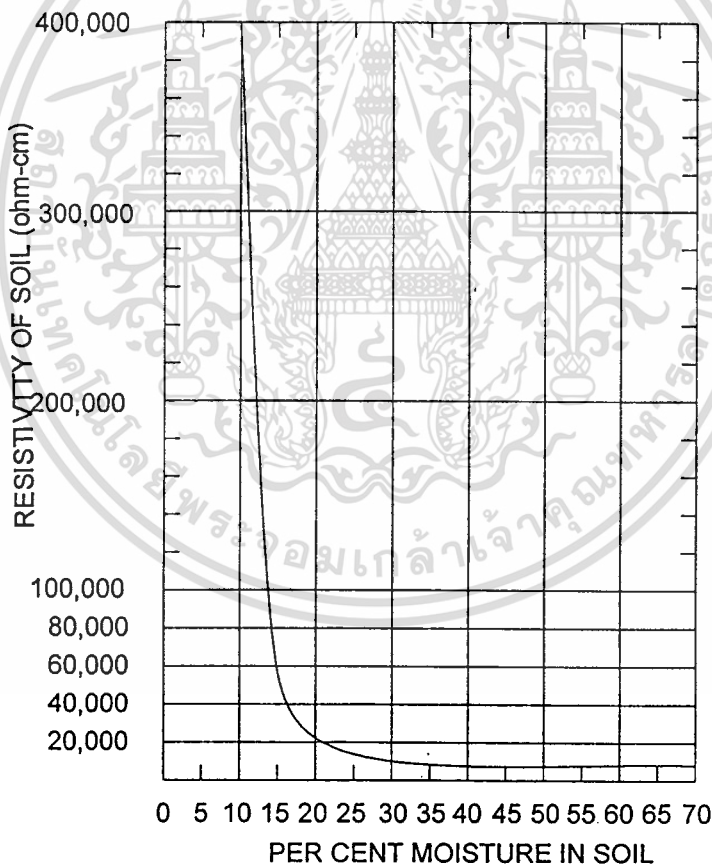
ผลของของเหลวในดิน ส่วนผสมของของเหลวในดินมีความสำคัญมาก การเปลี่ยนแปลงของของเหลวในรูปของเปอร์เซ็นต์ (%) จะมีค่ามาก ซึ่งจะเป็นจุดที่ชี้ให้เห็นถึงความแตกต่างของการต่อแท่งกราวด์ ที่มีขนาดที่แตกต่างกันไป โดยปกติแล้วส่วนประกอบของของเหลวจะเปลี่ยนแปลงไปตามสภาพของสถานที่ แต่โดยทั่วไปจะมีค่าประมาณ 10% ในช่วงฤดูแล้ง และประมาณ 35% ในช่วงฤดูฝนซึ่งผลของของเหลวทั้งหมดจะมีค่าโดยเฉลี่ยประมาณ 16-18%



รูปที่ 8 กราฟแสดงการแปรเปลี่ยนของค่าความต้านทานจำเพาะของดินเมื่อมีความชื้น

ความชื้น เมื่อความชื้นเพิ่มความต้านทานของดินก็จะลดลง ดังรูปที่ 8 ดังนั้นอาจกล่าวได้ว่า ดินที่เป็นสื่อไฟฟ้าที่ดีที่สุดคือ ดินเหนียว และ ดินซึ่งมีปุ๋ยอินทรีย์และปริมาณความชื้นจะช่วยให้ค่าความต้านทานของดินลดลง แท่งกราวด์จะต้องไม่วางแช่ไว้ในน้ำโดยตรง เพราะน้ำมีความต้านทานสูงมาก ควรจะฝังอยู่ในชั้นดินที่ชื้น โดยทั่วไปดินที่ใช้ในการเพาะปลูกได้ดีมักจะมีสภาพนำไฟฟ้าดีด้วย และบริเวณรอบ ๆ ตำแหน่งที่จะฝังแท่งกราวด์นั้นควรจะมีน้ำซึมอยู่เสมอ เช่น ปลูกหญ้าคลุมให้ทึบ หรือทำเป็นแอ่งเก็บน้ำฝนเพื่อให้เกิดความชื้น

ผลของอุณหภูมิต่อความต้านทานของดิน ในสภาวะปกติ อุณหภูมิมีผลน้อยมากต่อค่าความต้านทานจำเพาะของดิน แต่เมื่ออุณหภูมิลดลงจากจุดเยือกแข็งต่ำกว่า 32 องศาฟาเรนไฮด์ ความต้านทานจำเพาะของดินจะสูงขึ้นอย่างรวดเร็ว ดังรูปที่ 8

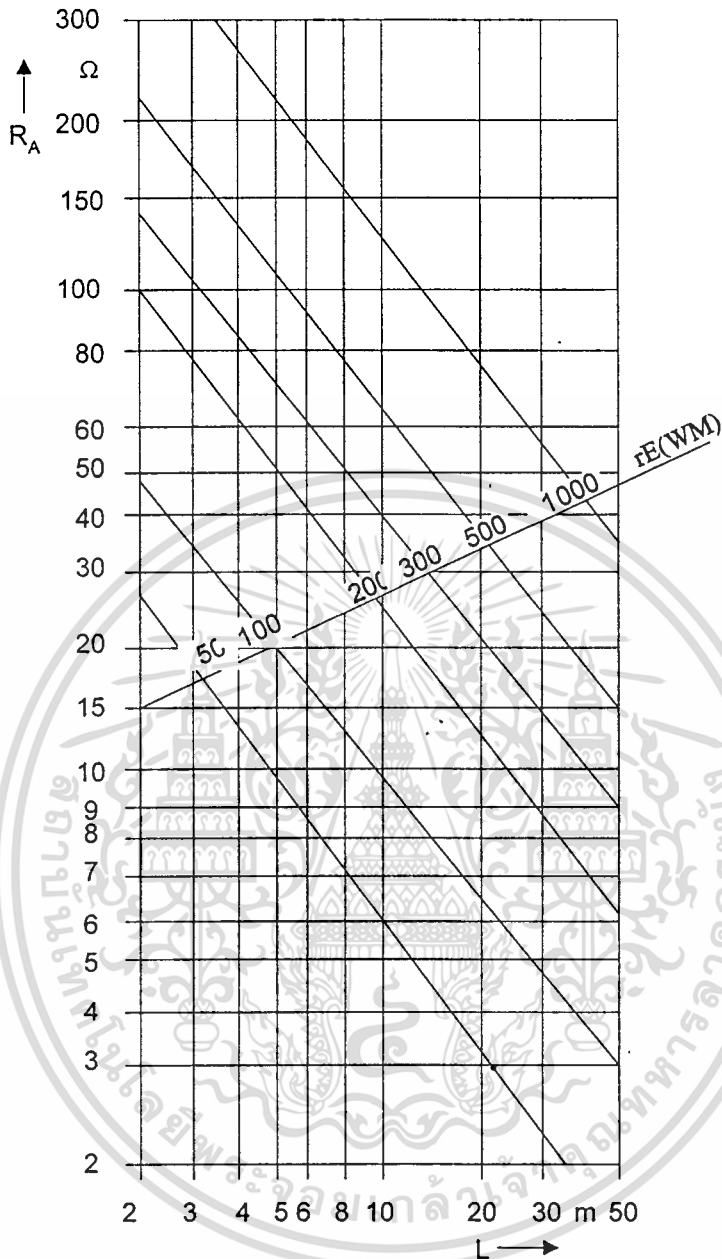


รูปที่ 9 กราฟแสดงการแปรเปลี่ยนของค่าความต้านทานจำเพาะของดิน กับอุณหภูมิต่อความชื้นในดิน 18.6%

ข้อได้เปรียบของความลึกของแท่งกราวด์ จะเป็นองค์ประกอบที่สำคัญมากในการปฏิบัติ การณ์ทางไฟฟ้าการปักแท่งกราวด์ (Ground rod) สามารถปักได้ตามความยาวที่ต้องการว่าจะให้ยาว เพียงใดในระดับของของเหลวในดิน ซึ่งผลลัพธ์ของของเหลวอาจไม่เป็นไปตามความคาดหมายคือ ทำให้ค่าความต้านทานสูง แต่ก็จะทำให้มีการเปลี่ยนแปลงค่าความต้านทานตามฤดู ซึ่งลักษณะของ ค่าความต้านทานยังขึ้นอยู่กับแท่งกราวด์ชนิดต่าง ๆ ด้วย

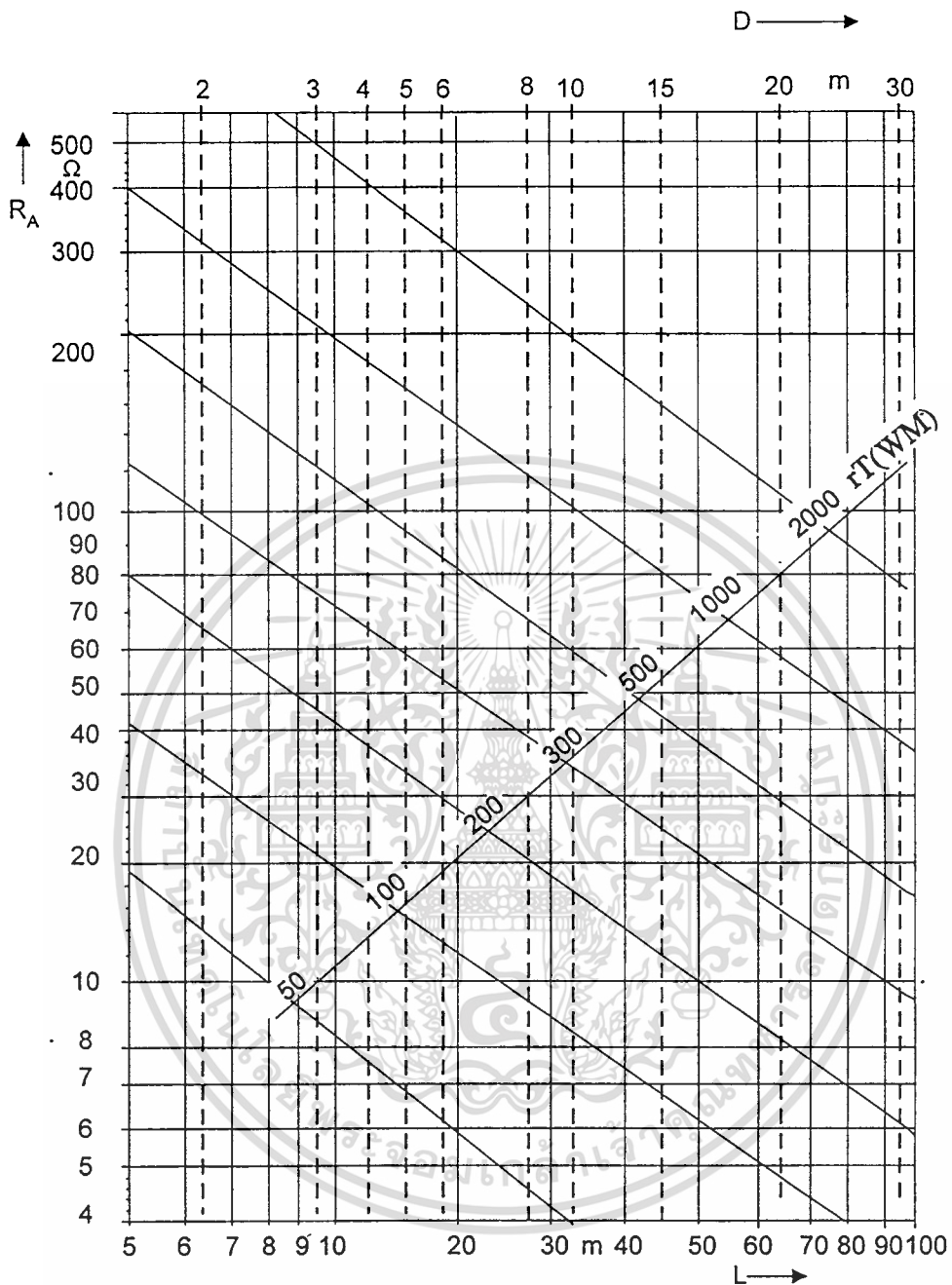
- แท่งกราวด์แบบแท่ง ซึ่งมีลักษณะเป็นแท่งตันไม่มีรูตรงกลางจะมีค่าความต้านทานแผ่ กระจาย ( $R_d$ ) ของแท่งกราวด์แบบเส้นที่ขึ้นอยู่กับค่าความต้านทานจำเพาะของดิน ( $\rho$ ) และความ ยาวของแท่งกราวด์ ( $L$ ) ดังแสดงในรูปที่ 9





รูปที่ 10 แสดงค่าความต้านทานแผ่กระจายของดิน  $R_d$  เมื่อใช้แท่งกราวด์แบบแท่ง ขึ้นอยู่กับความลึกของแท่งกราวด์ ( $L$ ) และค่าความต้านทานจำเพาะของดิน ( $\rho$ ) คงตัว

- แท่งกราวด์แบบเส้นเป็นแท่งกราวด์ที่มีลักษณะเป็นเส้นแบน หรือเส้นลวดฝังอยู่ใต้พื้นดิน ดังนั้นค่าความต้านทาน ( $R_d$ ) ของแท่งกราวด์แบบเส้นนี้ยังขึ้นอยู่กับค่าความต้านทานจำเพาะของดิน ( $\rho$ ) และความยาวของแท่งกราวด์ ( $L$ ) ดังแสดงในรูปที่ 10



รูปที่ 11 แสดงค่าความต้านทานแผ่กระจายของแท่งกราวด์แบบเส้น

- แท่งกราวด์แบบแฉก เป็นการใช้แท่งกราวด์แบบเส้น หรือแบบท่อเชื่อมติดกันเป็นแฉก โดยที่มุมระหว่างแฉกอย่างน้อย 60 องศา เพื่อจะได้มีผลของค่าความต้านทานแผ่กระจายของดิน ลดลงไปได้ ค่าความต้านทานแผ่กระจายของดินนั้นจะขึ้นอยู่กับผลรวมของความยาวของแท่งกราวด์แต่ละแฉก ( $L_m$ ) ซึ่งความยาวของแต่ละแฉกอย่างน้อย 3 เมตร ดังแสดงในรูปที่ 11 เมื่อ  $d$  เท่ากับเส้นผ่าศูนย์กลางของแท่งกราวด์แบบท่อ หรืออาจจะเท่ากับครึ่งหนึ่งของความหนาของแท่งกราวด์แบบเส้นแบน

ขอสงวนสิทธิ์ในการใช้งานเพื่อการศึกษาเท่านั้น ไม่อนุญาตให้นำไปใช้ประโยชน์ด้านการค้า  
ไม่ว่ากรณีใดๆทั้งสิ้น อีกทั้งห้ามมิให้ดัดแปลงเนื้อหา และต้องอ้างอิงถึงเจ้าของเอกสารทุกครั้งที่มีการนำไปใช้

ในการออกแบบระบบกราวด์นั้น การทดสอบหาค่าความต้านทานจำเพาะของดินโดยการวัดค่าความต้านทานจำเพาะของดินนี้จะป็นองค์ประกอบสำคัญในการกำหนดค่าความต้านทานของระบบกราวด์ว่าจะต้องใช้ตัวนำมากหรือน้อย ค่าที่ได้จึงจะทำให้ระบบปลอดภัยจากศักดาไฟฟ้าที่เพิ่มขึ้นบนกราวด์

อย่างไรก็ตามความต้านทานดินที่การเปลี่ยนแปลงในขณะที่เกิดการลัดวงจรลงดินในสถานีไฟฟ้าย่อยพิจารณาได้จากศักดาไฟฟ้าเกรเดียนท์ที่ไม่มีผลต่อความต้านทานดิน ยกเว้นจะมีค่าสูงมากจนทำให้เกิดอาร์คจากผิวของอิเล็กโตรดมีขนาดใหญ่ขึ้น ความต้านทานดินก็ลดลงในขณะนั้น ส่วนขนาดกระแส และระยะเวลาที่ไม่มีผลทำให้ความต้านทานดินเปลี่ยนคือไม่เกิน  $200 A/m^2$  ในเวลา 1 วินาที

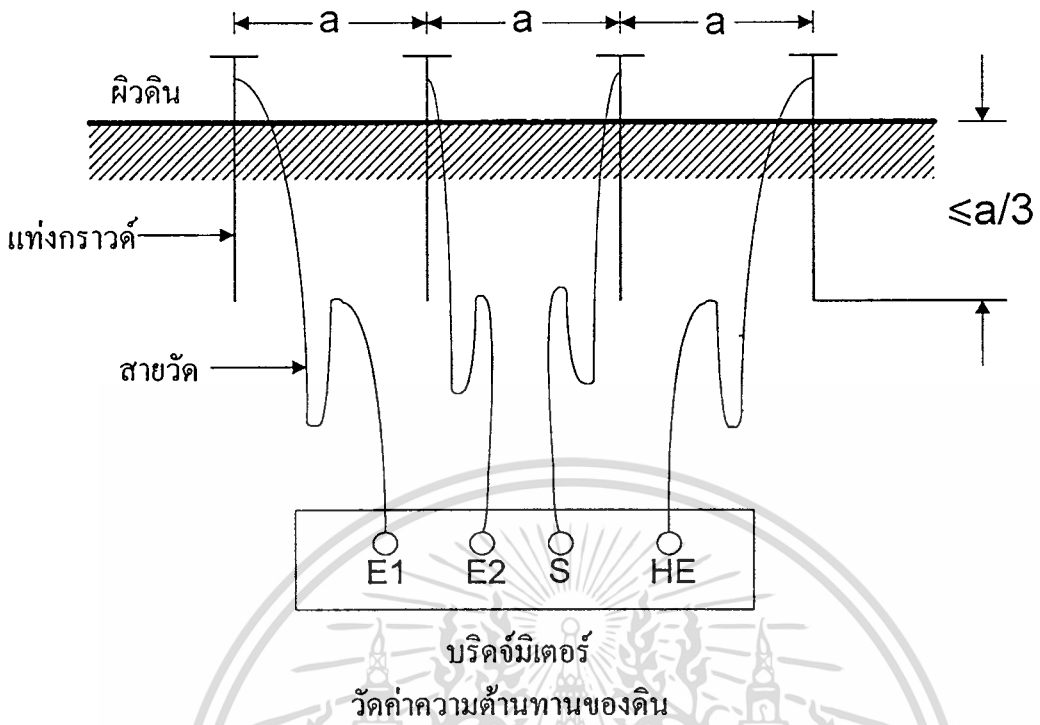
การวัดความต้านทานดินเพื่อหาค่าความต้านทานจำเพาะของดินมีด้วยกันหลายแบบ คือ วิธีวัดแบบ 3 จุด (driven rod three point method) และวิธีการวัดแบบ 4 จุด (driven rod or four point method) ซึ่งจะให้โอห์มมิเตอร์มีระยะห่างเท่ากันจำนวน 4 จุด ไปปักไว้บนพื้นดินที่ต้องการและวัดหาค่าความต้านทานจำเพาะของดินโดยปักให้อยู่ในแนวเดียวกัน มีระยะห่าง  $a$  ระหว่างแท่งกราวด์ทั้ง 4 เท่ากัน และปักลงที่ความลึกไม่เกิน  $a/3$  แท่งกราวด์ทั้ง 4 จะต่อเข้ากับบริดจ์มิเตอร์วัดค่าความต้านทานของดิน ซึ่งมีจุดต่อสาย 4 จุดเช่นเดียวกัน และมีแหล่งจ่ายไฟฟ้าในตัวที่มีความถี่ของแรงดันไฟฟ้าอยู่ระหว่าง 90-100 Hz สายวัดที่ใช้เชื่อมต่อถึงกันระหว่างกราวด์กับจุดต่อของตัวบริดจ์มิเตอร์ ปกติจะถูกม้วนเก็บเป็นขดไว้ เพราะฉะนั้นเวลาใช้จะต้องคายออกให้เป็นเส้นทั้งหมดเพื่อไม่ให้เกิดการเหนี่ยวนำใดๆขึ้นที่สายวัด ได้ดังแสดงในรูปที่ 12 การวัดแบบ 3 จุด ควรทำการวัดอย่างน้อย 3-4 แห่ง ภายในบริเวณ ส่วนการวัดแบบ 4 จุด ควรวัดอย่างน้อย 3-4 ทิศทาง เพื่อให้ได้ค่าเฉลี่ยที่เหมาะสม

แท่งกราวด์ที่อยู่ด้านนอกสุดทั้งสองจะถูกจ่ายไฟฟ้ากระแสสลับ  $I$  จากบริดจ์มิเตอร์ไหลลงสู่ได้ดินและทำให้มีแรงดันไฟฟ้าตกคร่อมระหว่างแท่งกราวด์ด้านในทั้งสอง ซึ่งภายในตัวบริดจ์มิเตอร์จะแสดงสัดส่วนของ  $\frac{V}{I}$  ซึ่งเท่ากับค่าความต้านทาน  $R$  และค่าความต้านทานจำเพาะของดินปรากฏจากการวัด  $\rho$  ขึ้นอยู่กับค่าความต้านทานของดินที่วัดได้

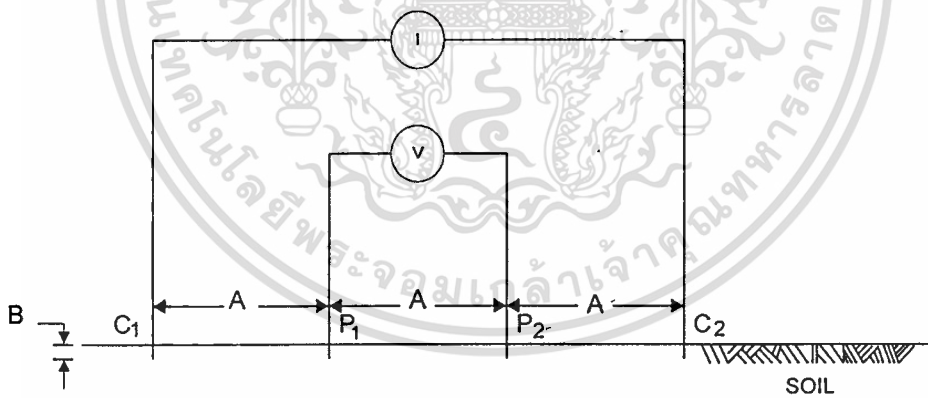
การวัดแบบ Wenner นี้เป็นการจัดวางอิเล็กโตรด 4 แท่งระยะห่างเท่า ๆ กัน จะทำให้มีความถูกต้องมากกว่า ลงทุนต่ำ โดยไม่ต้องใช้กราวด์รีดแท่งยาว ๆ และสะดวกต่อการปฏิบัติงานเพื่อให้ระยะห่างของอิเล็กโตรดแบบเพิ่มขึ้นค่าความต้านทานของดินที่ได้จากการวัดแรงดันและกระแสก็จะเปลี่ยนแปลงไปโดยในขณะที่ระยะห่างของอิเล็กโตรดใกล้ ๆ กัน กระแสส่วนมากไหลในดินก็จะไหลใกล้ๆ ผิวดินเมื่อระยะเพิ่มขึ้นกระแสที่ไหลในดินก็จะกระจายการไหลให้ลึกขึ้นเมื่อคิดกลับจากค่าความต้านทานของดินก็จะได้เป็นค่าความต้านทานจำเพาะปรากฏโดยใช้สมการที่ 3.38

เอกสารนี้เป็นเอกสารที่สงวนไว้สำหรับการใช้งานเพื่อการศึกษาค้นคว้าเท่านั้น ไม่อนุญาตให้นำไปใช้ประโยชน์ด้านการค้า

ไม่ว่ากรณีใดๆทั้งสิ้น อีกทั้งห้ามมิให้ดัดแปลงเนื้อหา และต้องอ้างอิงถึงเจ้าของเอกสารทุกครั้งที่มีการนำไปใช้



รูปที่ 12 แสดงลักษณะของการปักแท่งกราวด์ในการวัดค่าความต้านทานของดินของ Wenner



รูปที่ 13 แสดงการวัดความต้านทานของดินแบบ 4 จุด

ค่าความต้านทานที่ได้จากการวัดแบบ 3 จุด หรือ 4 จุด สามารถหาค่าความต้านทานจำเพาะได้ดังสมการ

วัดแบบ 3 จุด  $\rho = \frac{2\pi R}{\ln \frac{8B}{d} - 1}$  .....(3.37)

วัดแบบ 4 จุด  $\rho = \frac{4\pi AR}{1 + \frac{2A}{\sqrt{A^2 + 4B^2}} - \frac{A}{\sqrt{A^2 + B^2}}}$  .....(3.38)

หรือ  $\rho = 2\pi AR$  เมื่อ  $(B < \lambda / 20)$

ในกรณีที่  $B \ll A$  จะได้ว่า

$\rho = 2\pi AR$  .....(3.39)

- เมื่อ  $\rho$  = ค่าความต้านทานจำเพาะ (Soil resistivity) (โอห์ม - เมตร)
- $R$  = ค่าความต้านทาน (โอห์ม)
- $A$  = ระยะห่างระหว่างอิเล็กโตรดข้างเคียงที่อยู่ติดกัน (เมตร)
- $B$  = ความลึกของ อิเล็กโตรด (เมตร)
- $d$  = เส้นผ่านศูนย์กลางของกราวด์ร็อด (เมตร)

**วิธีการแก้ไขให้ค่าความต้านทานดีขึ้น**

- การใช้สารประกอบเกลือเข้าช่วย วิธีนี้จะใช้ในกรณีที่จะเป็นจริง ๆ เมื่อไม่สามารถที่จะทำให้ค่าความต้านทานของระบบสายดินลดลงไปอยู่ในค่าที่ต้องการซึ่งทำได้โดยใช้สารประกอบเกลือมีเกลือแอง หรือ พวกแมกนีเซียมซัลเฟต โดยฝังลงใกล้ ๆ บริเวณหลักดินเพื่อให้เกิดความชื้นของดินสูงขึ้น แต่ข้อเสียของวิธีนี้คือจะต้องการเติมสารประกอบเกลือลงดินบ่อย ๆ และนอกจากนั้นเกลือจะทำให้หลักดินเกิดสนิมและผุกร่อนได้เร็วกว่าปกติ

- ปักแท่งกราวด์ให้ลึกสามารถใช้ขั้วต่อของแท่งกราวด์ เพื่อต่อแท่งกราวด์เข้าด้วยกันจะทำให้ได้แท่งกราวด์ที่มีความยาวมาก ทำให้ค่าความต้านทานน้อยลง

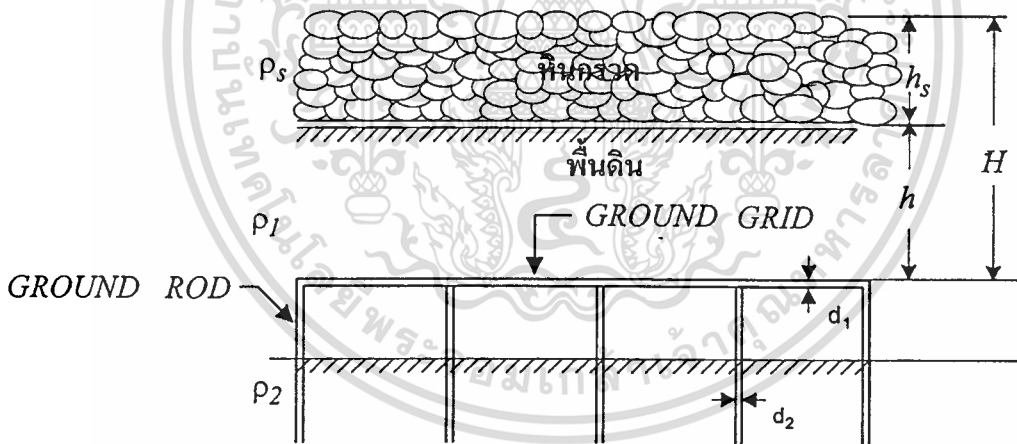
- ปักแท่งกราวด์หลาย ๆ ตัว โดยใช้แท่งกราวด์ตั้งแต่ 2 แท่งขึ้นไป

### การต่อกรวดรีดร่วมกับกรวดกริด

โดยส่วนมากแล้วการออกแบบระบบกรวดของสถานีไฟฟ้าย่อย มักจะเริ่มต้นด้วยการทำเป็นกรวดกริดที่มีระยะห่างของเส้นตัวนำกริดเท่ากัน แต่เนื่องจากศักดาไฟฟ้าสัมผัสสูงสุดหรือศักดาไฟฟ้าเมซมัมจะเกิดขึ้นที่เมซที่อยู่มุมของระบบกรวดกริด (coner mesh) การลดศักดาไฟฟ้าดังกล่าวสามารถที่จะทำได้โดยการเพิ่มเส้นตัวนำกริด หรือให้ระยะห่างของเส้นตัวนำกริดแคบลง นอกจากนั้นการนำเอากรวดรีดมาต่อร่วมกับกรวดกริด ก็สามารที่จะช่วยลดศักดาไฟฟ้าดังกล่าวนี้ได้ ซึ่งอาจจะให้ค่าใช้จ่ายน้อยกว่า แทนที่จะเพิ่มเส้นตัวนำกริดก็เป็นได้

การหาค่าความต้านทานของกรวดรีดแบ่งเป็น 2 กรณีคือ กรณีที่ดินเป็นดินชั้นเดียว และดินสองชั้น ซึ่งในกรณีดินเป็นดินสองชั้นนั้น ก็จะแบ่งเป็น 2 กรณีเช่นกัน ซึ่งขึ้นอยู่กับช่วงความยาวของกรวดรีดว่าอยู่ในดินชั้นใดบ้าง

นอกจากนั้นการที่จะหาค่าความต้านทานของระบบกรวดประกอบด้วยกรวดกริด และกรวดรีดนั้น ค่าความต้านทานอีกค่าหนึ่งที่จะต้องใช้คือ ค่าความต้านทานร่วม (Mutual resistance) ระหว่างกรวดกริดกับกรวดรีด



รูปที่ 14 แสดงการต่อกรวดรีดร่วมกับกรวดกริด

- $\rho_s$  = ความต้านทานจำเพาะของหินกรวด ( $\Omega\text{-}m$ )
- $\rho_1$  = ความต้านทานจำเพาะของดินชั้นบน ซึ่งฝังกรวดกริดลึก  $h < H$
- $\rho_2$  = ความต้านทานจำเพาะของดินชั้นล่าง ( $\Omega\text{-}m$ )
- $H$  = ความลึกของกรวดกริดใต้ระดับผิวบนสุด ( $m$ )
- $h_s$  = ความหนาของหินกรวด ( $m$ )
- $h$  = ความลึกของกรวดกริดจากผิวดิน ( $m$ )

เอกสารนี้เป็นเอกสารที่สงวนไว้สำหรับการใช้งานเพื่อการศึกษาเท่านั้น ไม่อนุญาตให้นำไปใช้ประโยชน์ด้านการค้า ไม่ว่าจะกรณีใดทั้งสิ้น อีกทั้งห้ามมิให้ดัดแปลงเนื้อหา และต้องอ้างอิงถึงเจ้าของเอกสารทุกครั้งที่มีการนำไปใช้

ดังนั้นปัญหาที่จะต้องพิจารณาก็คือ การหาค่าความต้านทานของกราวด์ร็อดทั้งหมดที่ต้องร่วมกับกราวด์กริด เพื่อจะได้นำความต้านทานนั้นไปใช้ในการคำนวณหาค่าความต้านทานของระบบกราวด์ที่ประกอบด้วยกราวด์กริดและกราวด์ร็อด

กราวด์ร็อดมักจะถูกปักลงในตำแหน่งที่สายตัวนำกริดวางพาดขวางกัน ดังรูปที่ 14 ในกรณีที่ปักทุก ๆ ตำแหน่งปม (node) ของกราวด์กริด ก็จะเรียกว่า Solid square และในกรณีที่ปักเฉพาะตำแหน่งที่อยู่รอบ ๆ เส้นรอบรูปของกราวด์กริด ก็จะเรียกว่า Hollow square ค่าความต้านทานของกราวด์ร็อดจะประกอบด้วยค่าความต้านทานของ 3 ส่วนรวมกันก็คือ ค่าความต้านทานของสายตัวนำที่ต่อไปถึงกราวด์ร็อด ค่าความต้านทานสัมผัส (contact resistance) ระหว่างกราวด์ร็อดกับดิน และค่าความต้านทานของดินรอบ ๆ กราวด์ร็อด ดังรูป ปกติแล้วค่าความต้านทานของสายตัวนำจะมีค่าต่ำ ส่วนค่าความต้านทานสัมผัสก็จะค่อนข้างน้อยมาก ดังนั้นค่าความต้านทาน ของกราวด์ร็อดก็จะขึ้นอยู่กับค่าความต้านทานของดินรอบ ๆ เป็นสำคัญ ซึ่งก็คือค่าความต้านทานจำเพาะของดินนั่นเอง

### 3.6 การหาขนาดของตัวนำกริด

การเลือกตัวนำกริดนั้นต้องอาศัยการพิจารณาคุณสมบัติต่าง ๆ เหล่านี้คือ ต้องมีสภาพการนำไฟฟ้าที่ดี ทนอุณหภูมิสูง แข็งแรงทนทาน เป็นตัวนำไฟฟ้าที่ดี เพื่อไม่ให้เกิดความต่างศักย์สูงเมื่อกระแสลัดวงจรไหลผ่าน ต้องไม่หลอมละลายเมื่อมีกระแสลัดวงจรไหลเป็นระยะเวลาหนึ่ง วัสดุที่มีคุณสมบัติเหล่านี้ เช่น ทองแดง, โลหะชุบทองแดง, อลูมิเนียม, เหล็กอาบสังกะสี แต่ที่นิยมใช้กันมาก คือทองแดง เพราะทองแดงมีค่าความนำจำเพาะสูง ทนต่อความชื้น ทนความเป็นกรดต่าง และทนต่อการผุกร่อนได้ดี เนื่องจากทองแดงจะเปรียบเสมือนขั้ว คาโทด (Cathodic) เมื่อเทียบกับวัสดุอื่นแต่ทองแดงมีราคาแพง ดังนั้นบางสถานการณ์จะใช้โลหะชุบทองแดง (Copper - Clad Steel) แทนทองแดงและยังใช้โลหะชุบทองแดงเป็นกราวด์ร็อดได้ด้วยสำหรับอลูมิเนียมนั้นไม่นิยมใช้เนื่องจากอลูมิเนียมไม่แข็งแรงผุกร่อนได้ง่ายทั้งในกรดและด่าง เกิดสนิมง่ายทำให้สภาพการนำไฟฟ้าเลวลง ส่วนเหล็กอาบสังกะสี (Galvanize Steel) มีผู้ใช้น้อย เพราะสังกะสีที่เคลือบจะเสื่อมสภาพหลุดออกได้เร็วกว่าปกติ เมื่อได้รับความชื้นและกรดด่าง มีอายุการใช้งานสั้นและมีสภาพการนำไฟฟ้าน้อยกว่าทองแดงถึง 6 เท่า

สมการที่จะใช้หาขนาดตัวนำกริด มีดังนี้

$$A_{mm^2} = I \sqrt{\frac{t_c \alpha_r \rho_r 10^4}{TCAP \ln \left[ 1 + \left( \frac{T_m - T_a}{K_o + T_a} \right) \right]}} \dots\dots\dots(3.40)$$

- เมื่อ  $A$  = พื้นที่หน้าตัดของตัวนำที่ใช้ทำกริด ( $mm^2$ )
- $I$  = กระแสลัดวงจรลงดินเป็นค่า *rms* ( $KA$ )
- $T_m$  = อุณหภูมิสูงสุดที่ยังไม่หลอมละลาย ( $^{\circ}C$ )
- $T_a$  = อุณหภูมิของสิ่งแวดล้อม ( $^{\circ}C$ )
- $T_r$  = อุณหภูมิอ้างอิงสำหรับค่าคงที่ของวัสดุ ( $^{\circ}C$ )
- $\alpha_o$  = สัมประสิทธิ์อุณหภูมิของความต้านทานที่อุณหภูมิ  $0^{\circ}C$
- $\alpha_r$  = สัมประสิทธิ์อุณหภูมิของความต้านทานอุณหภูมิ  $T_r$   $^{\circ}C$
- $\rho_r$  = ความต้านทานจำเพาะของตัวนำที่อุณหภูมิ  $T_r$  ( $\mu\Omega / cm^3$ )
- $t_c$  = เวลาที่กระแสไหลของกระแสลัดวงจร (วินาที)
- $TCAP$  = แฟลคเตอร์ทางความร้อน ( $J / cm^3 / ^{\circ}C$ )
- $K_o$  =  $\frac{I}{\alpha_o}$  หรือ  $\frac{I}{\alpha_r} - T_r$

ซึ่งค่าคงที่ของวัสดุชนิดต่าง ๆ จะแสดงในตารางค่าคงที่ของวัสดุตามมาตรฐาน ANSI / IEEE Std. 80-1986 และ  $t_c$  ที่ใช้ในการคำนวณ จะเป็นเวลาการตัดกระแสของอุปกรณ์ป้องกันสำรอง (Backup protection) โดยสถานีไฟฟ้าย่อยขนาดเล็กอาจใช้ 3 วินาที หรือมากกว่านี้ แต่ถ้าเป็นสถานีไฟฟ้าย่อยขนาดใหญ่ที่มีระบบป้องกันมากแล้วอาจจะใช้ 1 วินาที หรืออาจจะมากกว่านี้ก็ได้ แต่อย่างไรก็ตามอาจจะใช้ค่าเดียวกันกับ  $T_m$  ที่ใช้ในการคำนวณหาเกณฑ์กำหนดของสัปดาห์ไฟฟ้าสัมผัสและสัปดาห์ไฟฟ้าช่วงกั้วส่วนกระแสลัดวงจรลงดินนั้นจะเป็น Symmetrical current ซึ่งอาจจะมีเพื่อไว้สำหรับอนาคตก็ได้ ส่วนกรณีที่ต้องการใช้วัสดุชนิดอื่นที่นอกเหนือในตารางค่าคงที่ของวัสดุ นั้น  $TCAP$  สามารถคำนวณได้เมื่อทราบค่าความร้อนจำเพาะ และค่าความหนาแน่นได้ดังนี้

$$TCAP = 4.184 S_H S_W \dots\dots\dots(3.41)$$

- เมื่อ  $S_H$  = ค่าความร้อนจำเพาะ ( $Cal / gram / ^{\circ}C$ )
- $S_W$  = ค่าความหนาแน่น ( $gram/cm^3$ )

เอกสารนี้เป็นเอกสารที่สงวนไว้สำหรับการใช้งานเพื่อการศึกษาเท่านั้น ไม่อนุญาตให้นำไปใช้ประโยชน์ด้านการค้า ไม่ว่าจะกรณีใดๆทั้งสิ้น อีกทั้งห้ามมิให้ดัดแปลงเนื้อหา และต้องอ้างอิงถึงเจ้าของเอกสารทุกครั้งที่มีการนำไปใช้

โดยปกติในกรณีที่มีความหนาแน่นของกระแสไม่เกิน  $200 A/m^3$  จะไม่ทำให้คุณสมบัติ นำไฟฟ้าของดินเปลี่ยนแปลงสำหรับช่วงเวลา 1 วินาที ในทางปฏิบัติประมาณ 66% เลือกใช้ตัว นำทองแดงขนาด No. 4/0 AWG และประมาณ 16% เลือกตัวนำขนาด 500 MCM (ประมาณ  $250 mm^2$ ) สำหรับทองแดงแบบ hard - drawn 97% ความนำ  $\alpha_r$  ที่  $20^\circ c = 0.00381$ ,  $K_o = 242$ ,  $T_m = 1084^\circ c$ ,  $\rho_r$  ที่  $20^\circ c = 1774 \mu\Omega / cm$  TCAP = 3.422 ช่วงเวลา  $t_c$  ที่ใช้ ถ้า เป็นสถานีไฟฟ้าย่อยขนาดใหญ่ใช้ 2 - 3 วินาที กรณีของสถานีไฟฟ้าย่อยขนาดเล็กอาจใช้  $t_c$  เท่า กับ 4 วินาที โดยคิดผลการทำงานผิดพลาดของรีเลย์ และอุปกรณ์อื่น ๆ ที่เกี่ยวข้อง



## ตารางที่ 2

Description	Material Conductivity (%)	$\alpha_r$ Factor @20°C	K $1/\alpha_0$ @0°C	Fusing Temperature (°C)	$p_r$ @20°C ( $\mu\Omega/cm$ )	TCAP Factor Effective Value ( $J/cm^3/^\circ C$ )
Standard Annealed Soft Copper Wire	100	0.00393	234	1083	1.7241	3.442
Commercial Hard Drawn Copper Wire	97	0.00381	242	1048	1.7774	3.442
Copper-Clad Steel Core Wire	40	0.00378	245	1048/1300	4.379	3.846
Copper-Clad Steel Core Wire	30	0.00378	245	1048/1300	5.862	3.846
Commercial EC Aluminum Wire	61	0.00403	228	657	2.862	2.556
Aluminum Alloy Wire 5005	53.5	0.00353	263	660	3.226	2.598
Aluminum Alloy Wire 6201	52.5	0.00347	268	660	3.284	2.598
Aluminum Steel Core Wire	20.3	0.0036	258	660/1300	8.4805	2.67
Zinc-Coated Steel Core Wire	8.5	0.0032	293	419/1300	20.1	3.931
Stainless Steel No.304	2.4	0.0013	749	1400	72	4.032

ตารางที่ 2 ค่าคงที่ของวัสดุ

เอกสารนี้เป็นเอกสารที่สงวนไว้สำหรับการใช้งานเพื่อการศึกษาเท่านั้น ไม่อนุญาตให้นำไปใช้ประโยชน์ด้านการค้า  
ไม่ว่ากรณีใดๆทั้งสิ้น อีกทั้งห้ามมิให้ดัดแปลงเนื้อหา และต้องอ้างอิงถึงเจ้าของเอกสารทุกครั้งที่มีการนำไปใช้

### 3.7 การคำนวณค่ากระแสกริดสูงสุด

เนื่องจากในสถานีไฟฟ้าย่อยจะมีสายส่งเข้ามาอย่างน้อย 1 ชุด หรือมากกว่านั้น ดังนั้นในขณะที่เกิดการลัดวงจรลงดินจะทำให้มีกระแสบางส่วนไหลลงดินภายในสถานีไฟฟ้าย่อย และกระแสอีกบางส่วนจะไหลผ่านสาย Overhead Ground Wire เพื่อความถูกต้องในการหาค่ากระแสที่เกิดขึ้นบนกราวด์ที่ได้จากการคูณกันระหว่างค่าความต้านทานของระบบกราวด์กับกระแสที่ไหลผ่านกราวด์ ซึ่งการที่นำเอากระแสลัดวงจรลงดินที่คำนวณได้ อาจจะทำให้มีค่ามากกว่าความเป็นจริง เนื่องจากในกรณีระบบที่ต่อกันภายในสถานีไฟฟ้าย่อยนั้นอาจทำให้กระแสที่ไหลในกริดกับพื้นดินรอบ ๆ นั้นมีค่าต่ำกว่ากระแสลัดวงจรลงดินที่คำนวณได้ ดังนั้นเพื่อที่จะหากระแสกริดที่แท้จริงจึงต้องมีแฟกเตอร์ลดกระแสลัดวงจรลงดิน ซึ่งแฟกเตอร์นี้เรียกว่า Current Division Factor ซึ่งอาจจะทำให้กระแสกริดมีค่าเท่ากับ 50% ของกระแสลัดวงจรลงดิน

กระแสกริดเป็นกระแสที่ไหลระหว่างกริดและดินรอบ ๆ กระแสกริดนี้ควรมีค่าน้อยกว่ากระแสลัดวงจรเสมอ ทั้งนี้ขึ้นอยู่กับกระแสลัดวงจรที่เกิดขึ้นทั้งหมด มีส่วนใดที่เป็นกระแสไหลลงกริด และลงดินไป การหาค่ากระแสกริดสูงสุดทำได้ดังนี้

กระแสกริดสูงสุด

$$I_G = C_P D_f I_g \dots\dots\dots(3.42)$$

- เมื่อ  $I_G$  = กระแสกริดสูงสุด
- $C_P$  = Corective projection Factor ซึ่งสัมพันธ์กับการเพิ่มของกระแสลัดวงจร เนื่องจากการขยายระบบในอนาคต (ถ้าไม่มีการขยายระบบ  $C_P = 1$ )
- $D_f$  = Decrement Factor :  $D_f = 1$  ถ้าช่วงเวลาที่เกิดลัดวงจร  $T_f \geq 0.5$  วินาที
- $S_f$  = Current Division Factor ซึ่งเป็นแฟกเตอร์ลดทอนขนาดของกระแสลัดวงจรเนื่องจากระบบกราวด์ของสถานีไฟฟ้าย่อยต่ออยู่กับกราวด์ของระบบอื่น

โดย  $D_f$  จะหาได้จาก

$$D_f = \sqrt{1 + T_a(1 - e^{-T_f/T_a}) / T_f} \dots\dots\dots(3.43)$$

- เมื่อ  $T_f$  = ช่วงเวลาของกระแสลัดวงจรลงดิน (วินาที)
- $T_a$  = Subtransient Time Constant (วินาที)

ซึ่ง  $T_a$  จะใช้อัตราส่วน  $X/R$  ของระบบที่ตำแหน่งลัดวงจรลงดินแทน  $X''/R''$  และตารางที่ 3 จะแสดงค่า decrement factor ในกรณีความถี่ 60 Hz และมีอัตราส่วน  $X/R$  เท่ากับ 20

ตารางที่ 3

$T_f$	Cycles (60 Hz)	$D_f$
0.008	1/2	1.65
0.10	6	1.25
0.25	15	1.10
0.5 หรือมากกว่า	30 หรือมากกว่า	1.00

ตารางที่ 3 แสดงค่า Decrement Factor

Symmetrical Grid Current

$$I_g = S_f I_f \dots\dots\dots(3.44)$$

- เมื่อ  $I_g$  = กระแสที่ไหลในกริด (แอมแปร์)
- $I_f$  = กระแสลัดวงจรลงดิน (แอมแปร์)
- $S_f$  = แฟคเตอร์ลดทอนขนาดของกระแสลัดวงจร จะมีค่าประมาณ 0.5-1 หรือ

จากสมการที่ 3.42 ก็จะได้ว่า

$$I_G = D_f S_f \cdot I_f \dots\dots\dots(3.45)$$

ค่า  $D_f$  พิจารณาได้จากตารางที่ 3

Thapar และคณะ ได้เสนอวิธีการหาค่ากระแสกริดที่ใช้ในการคำนวณศักดาไฟฟ้าช่วงก๊าว และศักดาไฟฟ้าสัมผัส เป็นค่าที่เหมาะสมกว่าที่จะใช้ค่ากระแสลัดวงจร เพื่อความประหยัดในการออกแบบ โดยทำการศึกษาหากระแสกริดโดยคำนึงถึงค่าความต้านทาน กราวด์กริด, พารามิเตอร์ของสาย Overhead Ground Wire, ค่าความต้านทานของเสา (Tower Footing Resistance) ระยะห่างระหว่างเสาส่ง (Tower Span) ดังนี้

$$y' = G + jB \dots\dots\dots(3.46)$$

เมื่อ  $y'$  = Admittance of Ladder Network ที่ประกอบด้วย Overhead Ground wire & Tower footing

$$Z = \frac{1}{y'} \dots\dots\dots(3.47)$$

$$I_G = \left[ \frac{Z}{R_G + Z} \right] I_f \dots\dots\dots(3.48)$$

### 3.8 การใช้แผ่นพลาสติกใส่เพื่อเพิ่มความต้านทานที่เท้าของมนุษย์

ในสถานีไฟฟ้าย่อยสามารถใช้แผ่นพลาสติกกรองด้านล่างของชั้นหินกรวดหรือทางเดินคอนกรีตซีเมนต์ได้ เพื่อวัตถุประสงค์ให้ ณ ตำแหน่งนั้น ๆ มีความต้านทานของเท้ามนุษย์กับพื้นดินให้มีค่าสูงขึ้น (แนวทางใหม่ ขั้นตอนที่ 3)

ระดับแรงดันช่วงก้าวและแรงดันสัมผัสขึ้นอยู่กับความต้านทานของวงจรรูปวัตถุซึ่งเป็นเหตุจากกระแสไหลผ่านร่างกาย ในสถานีไฟฟ้าย่อยจะมีการปูหินกรวดเหนือบนพื้นดินมีความหนา 0.08-0.15 เมตร เพื่อเป็นการเพิ่มความต้านทานที่เท้าของมนุษย์ในพื้นที่สถานี สถานีไฟฟ้าย่อยบางแห่งที่มีทางเดินเท้าเป็นคอนกรีตซีเมนต์ ระหว่างและหลังฝนตก ทางเท้าเปียก ความต้านทานจำเพาะของคอนกรีตจะมีค่าต่ำคือ 30 โอห์ม-เมตร ผลก็จะทำให้ความต้านทานที่เท้าต่ำลงด้วย แรงดันสัมผัสจะลดลง แต่แรงดันช่วงก้าวอาจจะมีค่าสูงกว่าระดับที่ยอมรับได้

การออกแบบเพื่อความปลอดภัยของระบบกรวดจะมีความต้านทานสูงที่ยอมรับได้ การเพิ่มความต้านทานที่เท้าให้สูงขึ้นนั้นมีหลักการอย่างง่ายซึ่งสามารถนำมาใช้หาความต้านทานของเท้าที่สูงขึ้นได้คือ ใช้แผ่นพลาสติก เช่น โพลีเอทิลีน, เพอร์มาลอน, พีวีซี, นีโอพรีน โดยใส่ไว้ต่ำกว่าชั้นของหินกรวดหรือใต้ทางเดินคอนกรีตในสถานีไฟฟ้าย่อย ซึ่งจะช่วยให้ได้ความต้านทานของเท้าสูงขึ้นความต่างศักย์พื้นผิวดินขณะที่ใช้หรือไม่ใช้แผ่นพลาสติกได้ถูกประเมินด้วยโมเดลของการศึกษา ซึ่งแสดงให้เห็นว่าขึ้นอยู่กับตำแหน่งในการวางแผ่นพลาสติก อาจจะทำให้แรงดันสัมผัสเพิ่มขึ้นหรือลดลงบางเหตุการณ์ก็แยก การเพิ่มขึ้นของแรงดันสัมผัสจะน้อยมาก และไม่เป็นผลให้ความต้านทานของเท้าเพิ่มขึ้น

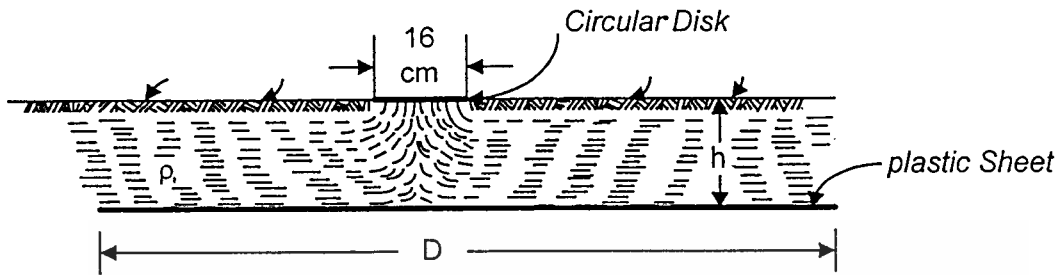
ความต้านทานของเท้ากับแผ่นพลาสติกนั้น โดยที่มนุษย์ถูกนำมาใช้แทนโดยใช้ตัวนำแผ่นโลหะที่นำไฟฟ้ารัศมี 3 ซม. ปกติจะไม่คิดความต้านทานของรองเท้าและถุงเท้า ในรูปที่ 15 ก แสดงแผ่นโลหะที่ใช้แทนเท้าบนผิวของพื้นเรียบเสมอ แผ่นพลาสติกมีเส้นผ่าศูนย์กลาง  $D$  ถูกทำให้กระจายในแนวราบที่ลึกลงไปความสูง  $h$  จากผิวของดิน ถ้ากระแสไหลผ่านแผ่นโลหะก็จะไหลผ่านดินด้วย หลังจากที่เขาแผ่นพลาสติกออกและเกิดการกระจายในเชิงรัศมีในดินหรือแผ่นพลาสติก ที่ปลายแผ่นพลาสติกกระแสสามารถไหลผ่านในทิศทางแนวตั้งด้วย

ได้นำคณิตศาสตร์มาใช้หาค่าความต้านทานของดินเหนือแผ่นพลาสติกในรูปของกระแสที่ไหลจากอิเล็กโทรด จะทำให้ง่ายขึ้นเมื่อรูปแบบอิเล็กโทรดเป็นทรงกระบอกแนวตั้งมีรัศมี  $r$  และความสูง  $h$  ถูกวางไว้ ณ จุดกึ่งกลางของแผ่นพลาสติกดังแสดงในรูปที่ 15 ข ความต้านทานของกรวด ของตัวนำทรงกระบอกจะแสดงด้วยสมการ

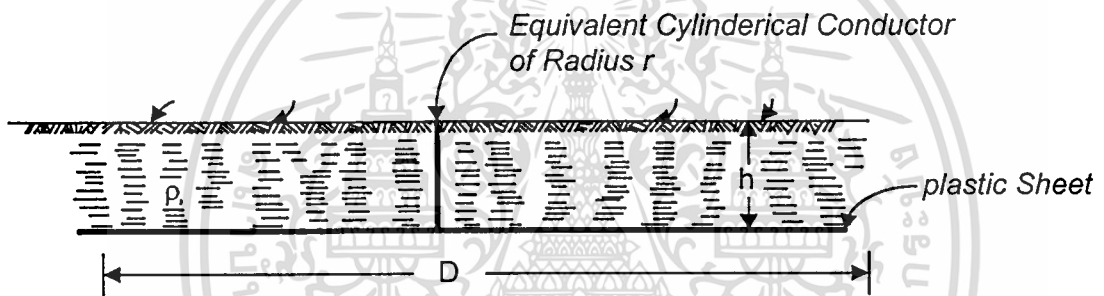
$$R = \frac{\rho l}{2\pi h} \ln \frac{D}{2r}$$

โดย  $4 \text{ cm} < h < 20 \text{ cm}$

และ  $D > 6h$



รูปที่ 15 ก แสดงแผ่นโลหะที่ใช้แทนแท่งบนผิวของพื้นเรียบ



รูปที่ 15 ข. แสดงอิเล็กโทรดรูปทรงกระบอกวางไว้จุดกึ่งกลางของพลาสติก

ตารางที่ 4

No.	$h$ (cm)	$r_{eq}$ (cm)
1	4	4.4
2	8	2.8
3	12	2.04
4	20	1.48

ตารางที่ 4 แสดงถึงรัศมีสมมูลของตัวนำรูปทรงกระบอก

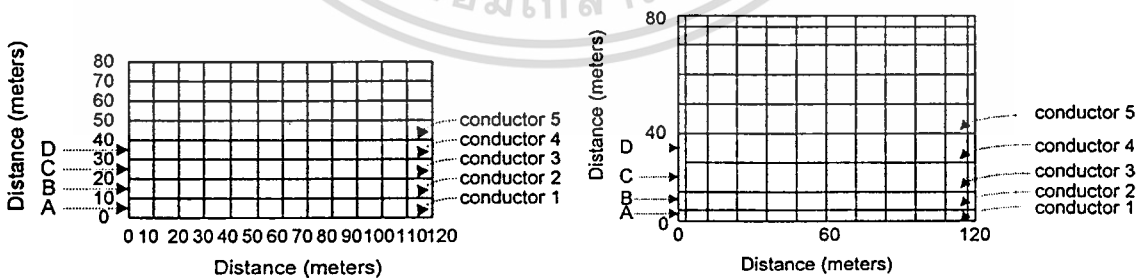
เอกสารนี้เป็นเอกสารที่สงวนไว้สำหรับการใช้งานเพื่อการศึกษาเท่านั้น ไม่อนุญาตให้นำไปใช้ประโยชน์ด้านการค้า  
ไม่ว่ากรณีใดทั้งสิ้น อีกทั้งห้ามมิให้ดัดแปลงเนื้อหา และต้องอ้างอิงถึงเจ้าของเอกสารทุกครั้งที่มีการนำไปใช้

การเลือกวัสดุเพื่อทำแผ่นพลาสติก ควรจะต้องเป็นแผ่นพลาสติกที่มีความทนต่ออุณหภูมิ, ออกซิเจน, ความชื้น, ผลทางเคมี และแบคทีเรียที่เติบโตในดินและอื่น ๆ แผ่นพลาสติกที่ใช้คลุมดิน ในสถานีไฟฟ้าย่อยควรมีอายุการใช้งานนานพอสมควร ความหนาหรือคุณภาพของแผ่นพลาสติก ควรจะมีความแข็งแรงทนต่อการแตก และแรงฉีกขาดอีกทั้งไม่ควรเลือกแผ่นพลาสติกที่มีความหนาน้อยกว่า 6 มิล (0.15 มม.)

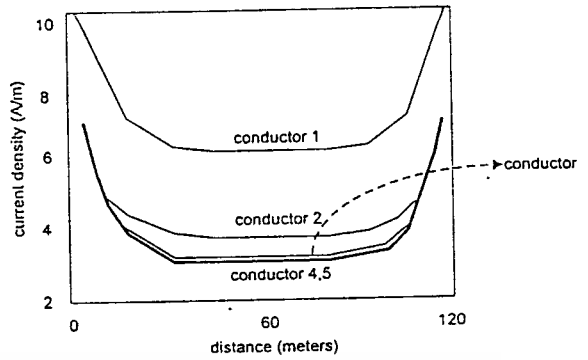
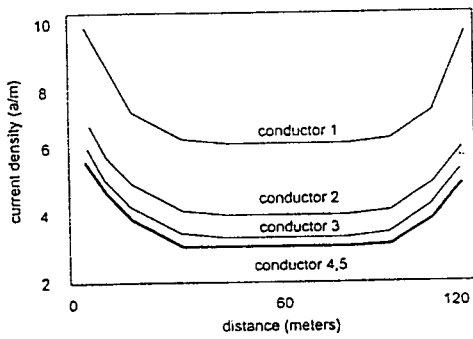
**3.9 แนวทางใหม่ของการลดจำนวนตัวนำกริด**

การออกแบบระบบต่อลงดินของสถานีไฟฟ้าย่อย โดยทั่วไปแล้วจะมีระยะห่างของตะแกรงกริดห่างเท่ากันเพื่อให้เกิดความปลอดภัยจากแรงดันช่วงก้าวและแรงดันสัมผัสโดยให้ความต้านทานของดินมีค่าน้อย ๆ อย่างไรก็ตามระยะตะแกรงกริดที่เท่ากันก็ยังมีอันตรายซึ่งขึ้นอยู่กับรูปแบบเหมือนกันเพราะการป้องกันและผลของกระแสที่อยู่รอบของเส้นรอบนอกตัวนำตะแกรงกริดเป็นผลให้แรงดันสัมผัสที่อยู่ตรงมุมของกริด มีค่ามากกว่าตรงกลางกริด ดังนั้นแนวทางใหม่ที่นำเสนอนี้เป็นการออกแบบระบบต่อลงดินของสถานีไฟฟ้าย่อย ที่มีระยะตะแกรงกริดไม่สมมาตรซึ่งวิธีการนี้สามารถทำให้ความหนาแน่นของกระแสในตัวนำแผ่กระจายในชั้นของดินได้มากและเป็นการลดความต่างศักย์ที่พื้นผิวดินด้วยอีกทั้งยังประหยัดวัสดุที่นำมาทำตะแกรงกริดอย่างน้อย 30 %

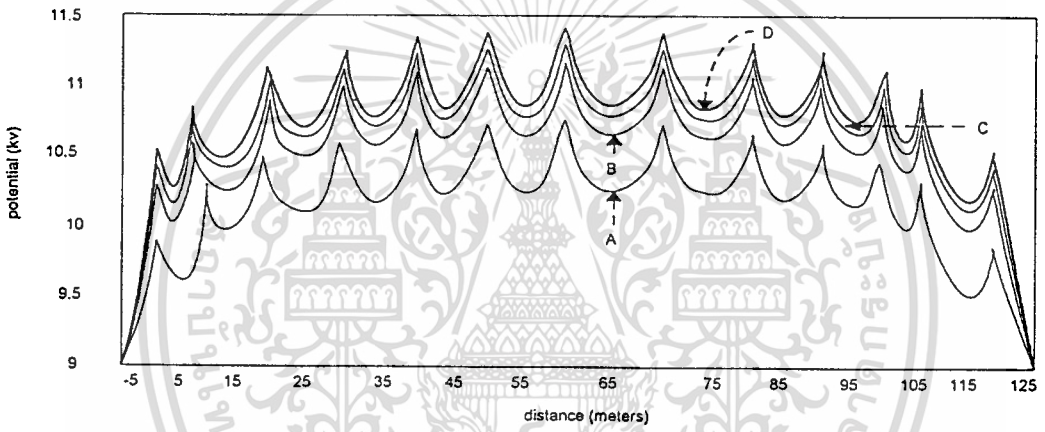
ในการพิจารณาเปรียบเทียบ ข้อแตกต่างระหว่างระยะตะแกรงกริดที่เท่ากัน กับระยะตะแกรงกริดที่ไม่สมมาตร ดังรูปที่ (16-19) รูปที่ 16 แสดงให้เห็นพื้นที่ตะแกรงกริดและจำนวนตัวนำที่ฝั่งเหมือนกัน รูปที่ 17 แสดงให้เห็นถึงการแผ่กระจายของกระแสที่ตัวนำ รูปที่ (18-19) แสดงให้เห็นถึงการเกิดความต่างศักย์ ดังนั้นระบบต่อลงดินที่มีระยะห่างของตะแกรงกริดเป็นวิธีการที่ประหยัดวัสดุได้จึงนำเอาแนวทางใหม่นี้มาพิจารณาลดจำนวนตัวนำ



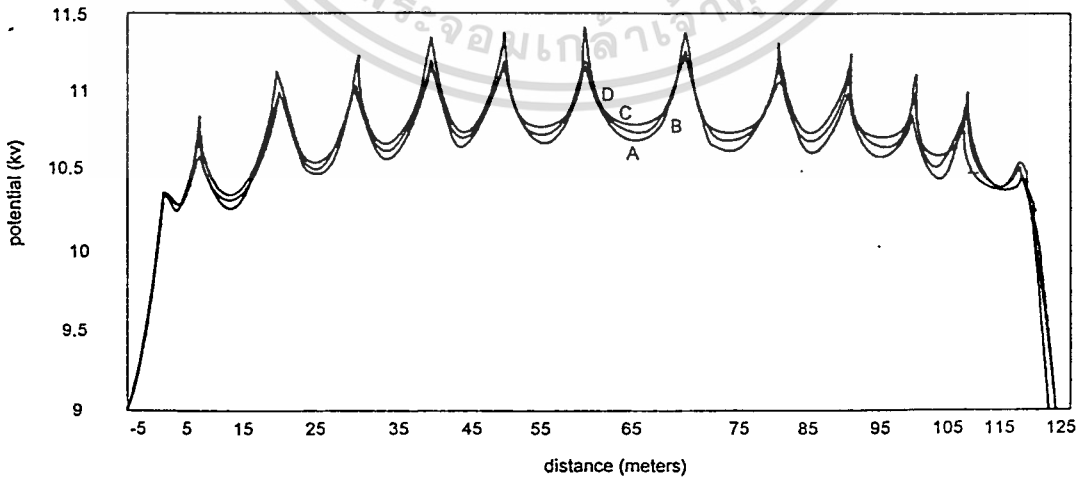
รูปที่ 16 แสดงพื้นที่ตะแกรงกริดที่มีระยะสมมาตร และไม่สมมาตร



รูปที่ 17 แสดงถึงการแผ่กระจายของกระแสที่ตัวนำ



รูปที่ 18 แสดงให้เห็นถึงการเกิดความต่างศักย์ของระยะกริดที่สมมาตร

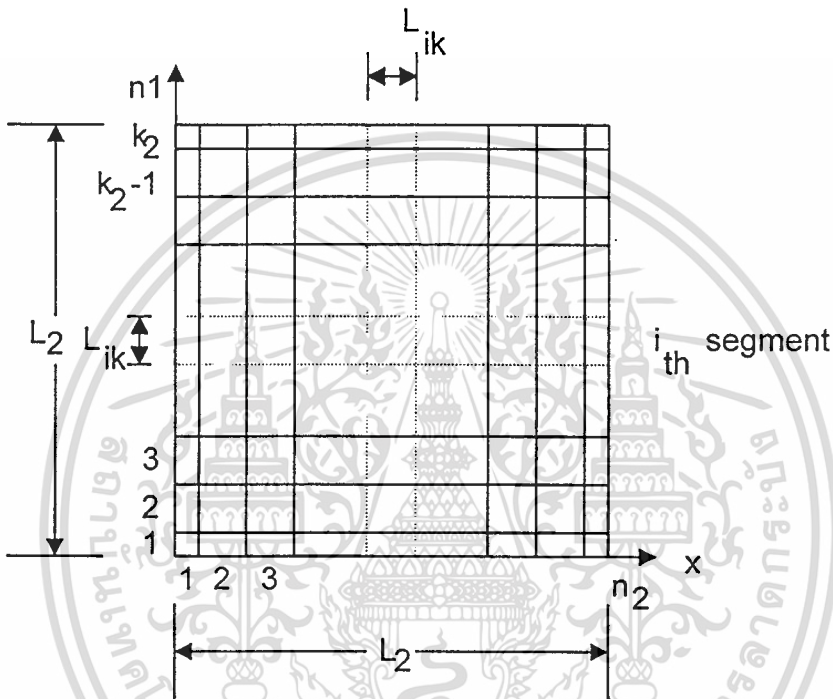


รูปที่ 19 แสดงให้เห็นถึงการเกิดความต่างศักย์ของระยะกริดที่ไม่สมมาตร

เอกสารนี้เป็นเอกสารที่สงวนไว้สำหรับการใช้งานเพื่อการศึกษาเท่านั้น เมื่อนุญาตให้นำไปใช้ประโยชน์ด้านการค้า  
ไม่ว่ากรณีใดๆทั้งสิ้น อีกทั้งห้ามมิให้ดัดแปลงเนื้อหา และต้องอ้างอิงถึงเจ้าของเอกสารทุกครั้งที่มีการนำไปใช้

### 3.9.1 สูตรของการหาระยะห่างตะแกรงกริดที่ไม่สมมาตร

ระยะห่างของระแกรงกริดที่ไม่สมมาตรนี้ไม่สามารถจะทำให้ความต่างศักย์ที่พื้นผิวดินลดลงได้ แต่พิสูจน์ได้ว่ามีความปลอดภัยและออกแบบให้ประหยัดได้ดี อย่างไรก็ตามปัญหาของช่องว่างที่ไม่สม่ำเสมอของระยะตัวนำกริด ในส่วนนี้ก็จะเป็นการกำหนดสูตรเพื่อใช้หาระยะของตัวนำ



รูปที่ 20 ระยะของกราวด์กริดที่ไม่สมมาตร

$$(k_1 = n_2 - 1; k_2 = n_2 - 1)$$

ในรูปที่ 20  $L_1$  และ  $L_2$  เป็นด้านความยาวของตะแกรงกริด;  $n_1$  คือจำนวนตัวนำที่ขนานกับแกน  $x$ , และ  $n_2$  คือจำนวนตัวนำที่ขนานกับแกน  $y$ ,  $k_1$  และ  $k_2$  เป็นผลรวมแต่ละส่วนของตัวนำ โดย  $k_1$  คือ จำนวนส่วนของตัวนำที่ขนานกับแกน  $x$  ( $k_1 = n_2 - 1$ ) ส่วน  $k_2$  คือ จำนวนส่วนของตัวนำในทิศทางอื่น ( $k_2 = n_1 - 1$ ),  $i$  คือส่วนที่เรียงลำดับ;  $L_{ik}$  คือความยาวของแต่ละส่วน

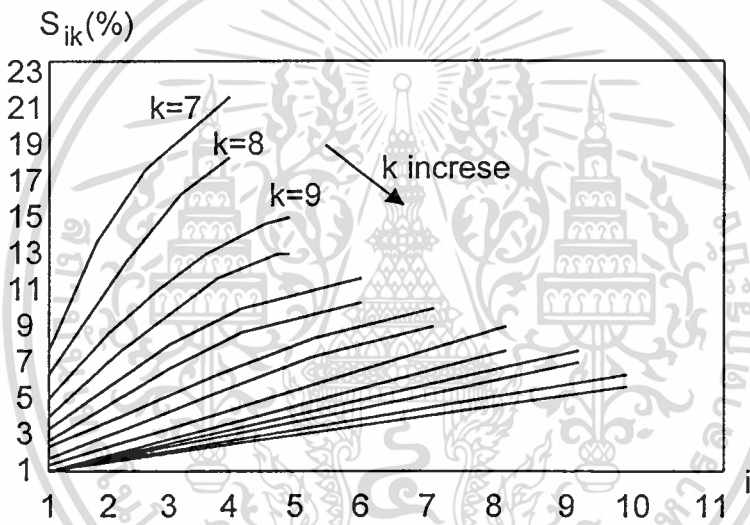
ถ้าตัวนำถูกแบ่งเป็น  $k$  ส่วนและ  $L_{ik}$  เป็นความยาวของแต่ละส่วน เปรอ์เซ็นต์ของความยาวรวมของตัวนำ  $L$  จะได้ว่า

เอกสารนี้เป็นเอกสารที่สงวนไว้สำหรับการใช้งานเพื่อการศึกษาเท่านั้น ไม่อนุญาตให้นำไปใช้ประโยชน์ด้านการค้า ไม่ว่าจะกรณีใดๆ ทั้งสิ้น อีกทั้งห้ามมิให้ดัดแปลงเนื้อหา และต้องอ้างอิงถึงเจ้าของเอกสารทุกครั้งที่มีการนำไปใช้

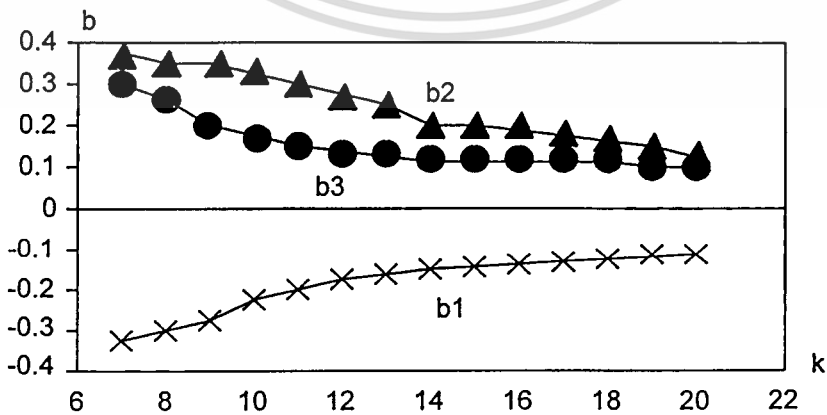
$$S_{ik} = \frac{Lik}{L} \times 100\% \quad \dots\dots\dots(3.50)$$

$$\text{โดยที่ } i \leq \begin{cases} \frac{k}{2} & \text{เมื่อ } k \text{ เป็นเลขคู่} \\ \frac{k+1}{2} & \text{เมื่อ } k \text{ เป็นเลขคี่} \end{cases}$$

เมื่อ  $L = L_1$  หรือ  $L_2$ ; และ  $k = k_1$  หรือ  $k_2$  ขึ้นอยู่กับตัวนำที่ขนานกับด้าน  $x$  และด้าน  $y$



รูปที่ 21. แสดงความสัมพันธ์ระหว่าง  $S_{ik}$  และ  $i$  กับ  $k$



รูปที่ 22. แสดงความสัมพันธ์ระหว่าง  $b$  กับ  $k$

เอกสารนี้เป็นเอกสารที่สงวนไว้สำหรับการใช้งานเพื่อการศึกษาเท่านั้น ไม่อนุญาตให้นำไปใช้ประโยชน์ด้านการค้า ไม่ว่าจะกรณีใดๆทั้งสิ้น อีกทั้งห้ามมิให้ดัดแปลงเนื้อหา และต้องอ้างอิงถึงเจ้าของเอกสารทุกครั้งที่มีการนำไปใช้

ตารางที่ 5

k	$b_1$	$b_2$	$b_3$
7	-0.312	0.369	0.287
8	-0.281	0.339	0.254
9	-0.237	0.322	0.254
10	-0.211	0.312	0.191
11	-0.185	0.304	0.165
12	-0.175	0.255	0.162
13	-0.162	0.234	0.151
14	-0.161	0.199	0.150
15	-0.158	0.167	0.149
16	-0.146	0.157	0.139
17	-0.136	0.146	0.131
18	-0.132	0.133	0.127
19	-0.126	0.127	0.121
20	-0.119	0.122	0.117

ตารางที่ 5 แสดงความสัมพันธ์ระหว่าง  $b$  กับ  $k$ 

$S_{ik}$ -i คือ ความสัมพันธ์ระหว่างผลต่างของจำนวนส่วน  $k$  เขียนแทนได้ด้วยสมการ

$$S_{ik} = b_1 \cdot 2^{-i} + b_3 \quad \dots\dots\dots(3.51)$$

สัมประสิทธิ์  $b_1, b_2$  และ  $b_3$  ขึ้นอยู่กับค่า  $k$  ในตารางที่ 5

3.9.2 วิธีการออกแบบระยะห่างของตะแกรงกริดที่ไม่สมมาตร สามารถหาได้โดยง่ายดังวิธีการต่อไปนี้ (แนวทางใหม่อยู่ในขั้นที่ 4)

1. คำนวณหาค่าแรงดันสัมผัสสูงสุด  $E_{touch}$
2. คำนวณหาผลรวมของความยาวตัวนำ  $l$  ของระยะกริดที่สมมาตร

$l$  คือผลรวมทางความยาวตัวนำกริด

$\eta$  คือ empirical coefficient เท่ากับ 1.7

$\rho$  คือค่าความต้านทานจำเพาะของดิน (โอห์ม-เมตร)

$I_s$  คือกระแสที่ลัดวงจร (แอมแปร์)

### 3. คำนวณหาจำนวนตัวนำ

#### 3.1 เมื่อพื้นที่เป็นรูปทรงสี่เหลี่ยมจัตุรัสระยะกริดสมมาตร

$$n = \frac{l}{\sqrt{A}} \quad \dots\dots\dots(3.53)$$

#### 3.2 เมื่อพื้นที่เป็นรูปทรงสี่เหลี่ยมผืนผ้าระยะกริดสมมาตร

$$n_1 = \frac{l + L_1 - L_2}{2L_1}; n_2 = \frac{l + L_2 - L_1}{2L_2} \quad \dots\dots\dots(3.54)$$

$$n = n_1 + n_2$$

$n_1$  และ  $n_2$  คือจำนวนตัวนำที่ขนานในทิศทางแกน  $x$  และ  $y$

$L_1$  และ  $L_2$  คือความยาวของกริดแต่ละด้าน

### 4. คำนวณหา percentage เพื่อประหยัดวัสดุในการทำราวด์กริดของระยะกริดที่ไม่สมมาตร

$$\lambda = \frac{\alpha \frac{\beta}{100}}{1 + \alpha \frac{\beta}{100}} \times 100 \% \quad \dots\dots\dots(3.55)$$

ค่าสัมประสิทธิ์  $\alpha, \beta$  จะมีการเปลี่ยนแปลงโดยขึ้นอยู่กับจำนวนของตัวนำ ( $n$ )

$$= \begin{cases} 121.1e^{-0.4n} + 1.4864 & 8 \leq n \leq 20 \\ 121.2e^{-0.3n} + 1.2664 & 20 \leq n \leq 30 \\ 121.2e^{-0.4n} + 1.1400 & n > 30 \end{cases} \quad \dots\dots\dots(3.56)$$

เอกสารนี้เป็นเอกสารที่สงวนไว้สำหรับการใช้งานเพื่อการศึกษาเท่านั้น ไม่อนุญาตให้นำไปใช้ประโยชน์ด้านการค้า  
ไม่ว่ากรณีใดทั้งสิ้น อีกทั้งห้ามมิให้ดัดแปลงเนื้อหา และต้องอ้างอิงถึงเจ้าของเอกสารทุกครั้งที่มีการนำไปใช้

$$\beta = -92.6e^{-0.07n} + 66.337 \quad \dots\dots\dots(3.57)$$

## 5. คำนวณหาจำนวนตัวนำเมื่อระยะกริดไม่สมมาตร

### 5.1 พื้นที่เป็นรูปทรงสี่เหลี่ยมจตุรัส

$$n' = n(1 - \lambda) \quad \dots\dots\dots(3.58)$$

### 5.2 พื้นที่เป็นรูปทรงสี่เหลี่ยมผืนผ้า

$$n'_1 = n_1(1 - \lambda), n'_2 = n_2(1 - \lambda) \quad \dots\dots\dots(3.59)$$

$$n' = n'_1 + n'_2$$

## 6. คำนวณหาระยะกริดที่ไม่สมมาตร

$$L_{ik} = \frac{S_{ik} \times L}{100} \quad \dots\dots\dots(3.60)$$

$$S_{ik} = b_1 e^{-b_2 i} + b_3 \quad \dots\dots\dots(3.61)$$

$L_{ik}$  คือ ระยะกริดในแต่ละ segment

$S_{ik}$  คือ เปอร์เซนต์ระยะกริดในแต่ละ segment

## บทที่ 4

### ขั้นตอนการคำนวณการออกแบบ

#### ข้อกำหนดการออกแบบระบบต่อลงดิน

1.  $t_f$  อยู่ในช่วงเวลา 0.25-1.0 วินาที  
(EGAT กำหนด  $t_f = t_s = 1$  วินาที)
2.  $I_G$  คำนวณจากวงจรที่เกี่ยวข้องปกติแล้ว  $I_G \leq I_f$  เสมอ เพราะว่ามีกระแสลัดวงจรบางส่วนไหลออกจากระบบกราวด์ไปทางสาย Overhead Ground Wire ของ Tower (EGAT กำหนด  $I_f = 3I_o$ , 20 KA สำหรับระบบ 115 KV และ 40 KA สำหรับระบบ 230 KV)
3.  $p$  ของดินปกติจะวัดใช้วิธี wenner (Four point method) ปกติ EGAT จะเป็นผู้กำหนดค่า  $p$  หลังจากได้พิจารณา Test report แล้ว
4. ความหนาของหินกรวดประมาณ 0.08 – 0.15 เมตร (EGAT กำหนด  $h_s = 0.15$  เมตร)
5. ค่าความต้านทานจำเพาะของหินกรวดประมาณ 1000-5000 โอห์ม เมตร (EGAT กำหนด  $p_3 = 3000$  โอห์ม-เมตร)
6. ความลึกของตะแกรงกริดประมาณ 0.5 – 1.5 เมตร (EGAT กำหนด  $h = 0.5$  เมตร)  
ขนาดตัวนำที่ใช้ทำกริด และกราวด์รีดประมาณ AWG 2/0 – 500 MCM หรือ 67-250 mm<sup>2</sup> (EGAT กำหนด Bare Copper Cable NO.4/0 AWG 19 stands) (107.2 mm<sup>2</sup>) ทำเป็นกริด และใช้ Copper covered หรือ copper clad steel ยาว 10 ฟุต (3 m) ขนาด  $\phi \frac{5}{8}$ " (198 mm<sup>2</sup>) ทำเป็นรีด

#### 4.1 สรุปขั้นตอนการออกแบบระบบต่อลงดิน

##### ขั้นตอนที่ 1 สํารวจข้อมูลพื้นที่ (Field Data)

- กำหนดพื้นที่ของสถานีไฟฟ้าย่อย (ตารางเมตร) : A
- คำนวณหาค่า Soil Resistivity (โอห์ม-เมตร) :  $p$  (เฉลี่ย)

เอกสารนี้เป็นเอกสารที่สงวนไว้สำหรับการใช้งานเพื่อการศึกษาเท่านั้น ไม่อนุญาตให้นำไปใช้ประโยชน์ด้านการค้า  
ไม่ว่ากรณีใดทั้งสิ้น อีกทั้งห้ามมิให้ดัดแปลงเนื้อหา และต้องอ้างอิงถึงเจ้าของเอกสารทุกครั้งที่มีการนำไปใช้

## ขั้นตอนที่ 2 หาขนาดของตัวนำ (Conductor size)

$$A(\text{mm}^2) = I \sqrt{\frac{t_c \alpha_r \rho_r 10^4}{TCAP \ln \left[ 1 + \frac{T_m - T_a}{K_o + T_a} \right]}}$$

เมื่อ  $A$  = พื้นที่หน้าตัดของตัวนำที่ใช้ทำกริด (Conductor cross section ;  $\text{mm}^2$ )

$I$  = กระแสลัดวงจรลงดิน (Fault current ; KA, r.m.s)

$T_m$  = อุณหภูมิสูงสุดที่ยังไม่หลอมละลาย (Maximum allowable temperature : $^{\circ}\text{C}$ )

$T_a$  = อุณหภูมิของสิ่งแวดล้อม (Ambient temperature : $^{\circ}\text{C}$ )

$T_r$  = อุณหภูมิอ้างอิงสำหรับค่าคงที่ของวัสดุ (Reference temperature of material constant :  $^{\circ}\text{C}$ )

$\alpha_o$  = สัมประสิทธิ์อุณหภูมิของความต้านทานที่อุณหภูมิ  $0^{\circ}\text{C}$  (Thermal coefficient of resistivity at  $0^{\circ}\text{C}$ )

$\alpha_r$  = สัมประสิทธิ์อุณหภูมิของความต้านทานที่อุณหภูมิ  $T_r^{\circ}\text{C}$  (Thermal coefficient of resistivity at  $T_r^{\circ}\text{C}$ )

$\rho_r$  = ความต้านทานจำเพาะของความต้านทานที่อุณหภูมิ  $T_r^{\circ}\text{C}$  (The resistivity of the ground conductor at  $T_r^{\circ}\text{C}$ :  $\mu\Omega/\text{cm}^3$ )

$t_o$  = เวลาที่กระแสไหลของกระแสลัดวงจร (Time of current flow : sec)

$TCAP$  = แฟกเตอร์ความจุทางความร้อน : $^{\circ}\text{C}$  (Thermal capacity factor ;  $\text{J}/\text{cm}^3/^{\circ}\text{C}$ )

$$TCAP = 4.184 S_H \cdot S_w$$

เมื่อ  $S_H$  = ค่าความร้อนจำเพาะ (Specific heat :  $\text{cal}/\text{g}/^{\circ}\text{C}$ )

$S_w$  = ค่าความหนาแน่น (Specific weight :  $\text{g}/\text{cm}^3$ )

## ขั้นตอนที่ 3 หา Step และ Touch voltage

เอกสารนี้เป็นเอกสารที่สงวนลิขสิทธิ์สำหรับการศึกษาเท่านั้น ไม่อนุญาตให้นำไปใช้ประโยชน์ด้านการค้า  
ไม่ว่ากรณีใดๆทั้งสิ้น อีกทั้งห้ามมิให้ดัดแปลงเนื้อหา และต้องอ้างอิงถึงเจ้าของเอกสารทุกครั้งที่มีการนำไปใช้

$$E_{step50} = (1000 + 6C_s P \rho_s) \frac{0.116}{\sqrt{t_s}}$$

$$E_{touch50} = (1000 + 1.5C_s P \rho_s) \frac{0.116}{\sqrt{t_s}}$$

เมื่อ  $\rho$  = ความต้านทานจำเพาะของดิน (Soil resistivity : ohm - m)

$\rho_s$  = ความต้านทานจำเพาะของหินกรวด (Crush rock resistivity : ohm-m)

$$P = \text{Proximity effect factor} = 1 + 1.3 \left[ \frac{a}{h + h_s} \right]$$

$a$  = Equivalent radius of a foot = 0.106 m

$h$  = ความลึกที่ฝังตัวนำ (Depth of burial conductor : m)

$h_s$  = ความหนาของชั้นหินกรวด (Surface layer thickness:m)

$C_s$  = Reduction factor

$$= 1 - a \left[ \frac{\left( 1 - \frac{\rho}{\rho_s} \right)}{(2hs + a)} \right]$$

$t_s$  = ระยะเวลาที่ clear fault

#### ขั้นตอนที่ 4 Initial Design

กำหนดค่าเริ่มต้น ดังต่อไปนี้

- ระยะห่างของการวางตัวนำขนานกัน (Spacing between parallel conductor,  $D$  : m )
- ความยาวของตัวนำ (Conductor length,  $L_c$  : m)
- ความยาวของ Ground Rod (Length of ground rod,  $L_r$  : m)
- จำนวนของ Ground Rod (Number of ground rod,  $N_r$  )
- จำนวนของตัวนำในทิศแกน X (Number of parallel conductors in X-axis direction)

เอกสารนี้เป็นเอกสารที่สงวนไว้สำหรับการใช้งานเพื่อการศึกษาเท่านั้น ไม่อนุญาตให้นำไปใช้ประโยชน์ด้านการค้า  
ไม่ว่ากรณีใดๆทั้งสิ้น อีกทั้งห้ามมิให้ดัดแปลงเนื้อหา และต้องอ้างอิงถึงเจ้าของเอกสารทุกครั้งที่มีการนำไปใช้

- จำนวนของตัวนำในทิศแกน Y (Number of parallel conductors in Y-axis direction)

### ขั้นตอนที่ 5 Grid Resistance

$$R_g = \rho \left[ \frac{I}{L} + \frac{I}{\sqrt{20A}} \left( 1 + \frac{I}{1 + h\sqrt{\frac{20}{A}}} \right) \right]$$

เมื่อ  $\rho$  = ความต้านทานจำเพาะของดิน (Soil resistivity : ohm-m)

$A$  = พื้นที่ภายในสถานีไฟฟ้าย่อย

$h$  = ความลึกที่ฝัง grid (Depth of burial grid conductor : m)

$L$  = ความยาวทั้งหมดของตัวนำ (Total length of ground conductor : m)

$$= L_c + (N_r L_r)$$

### ขั้นตอนที่ 6 Grid Current

$$I_G = S_f I_f / 1000$$

เมื่อ  $I_f$  = กระแสลัดวงจรที่เกิดขึ้น (Ampere)

$S_f$  = สัมประสิทธิ์การแผ่กระจายของกระแส (Current division factor)

$$= (\text{total impedance}) / (\text{grid resistance})$$

### ขั้นตอนที่ 7 ตรวจสอบค่า GPR (Grid Potential Rise)

$$GPR = I_G \cdot R_G$$

ถ้า  $GPR < E_{\text{touch } 50}$  ไปยัง step 12

ถ้า  $GPR > E_{\text{touch } 50}$  ไปยัง step 8

### ขั้นตอนที่ 8 คำนวณหาค่า Mesh voltage และ Step voltage

#### mesh voltage

เอกสารนี้เป็นเอกสารที่สงวนไว้สำหรับการใช้งานเพื่อการศึกษาเท่านั้น ไม่อนุญาตให้นำไปใช้ประโยชน์ด้านการค้า  
ไม่ว่ากรณีใดๆทั้งสิ้น อีกทั้งห้ามมิให้ดัดแปลงเนื้อหา และต้องอ้างอิงถึงเจ้าของเอกสารทุกครั้งที่มีการนำไปใช้

คำนวณจาก 
$$E_m = \frac{\rho \cdot K_m K_i I_G}{L}$$

$$K_m = \frac{I}{2\pi} \left[ \ln \left( \frac{D^2}{16hd} + \frac{(D+2h)^2}{8Dd} - \frac{h}{4d} \right) + \frac{K_{ii}}{K_h} \ln \frac{8}{\pi(2n-1)} \right]$$

$$K_i = 0.656 + 0.172n$$

$$L = L_c + (N_r \cdot L_r)$$

Step voltage

$$E_s = \frac{\rho K_s \cdot K_i I_G}{L}$$

$$K_s = \frac{I}{\pi} \left[ \frac{I}{2h} + \frac{I}{D+h} + \frac{(1-0.5^{n-2})}{D} \right]$$

ขั้นตอนที่ 9 ตรวจสอบค่า Mesh voltage

ถ้า  $E_m < E_{\text{touch } 50}$  ไปยังขั้นตอนที่ 10

ถ้า  $E_m > E_{\text{touch } 50}$  ไปยังขั้นตอนที่ 11

ขั้นตอนที่ 10 ตรวจสอบค่า Step voltage

ถ้า  $E_s < E_{\text{step } 50}$  ไปยังขั้นตอนที่ 12

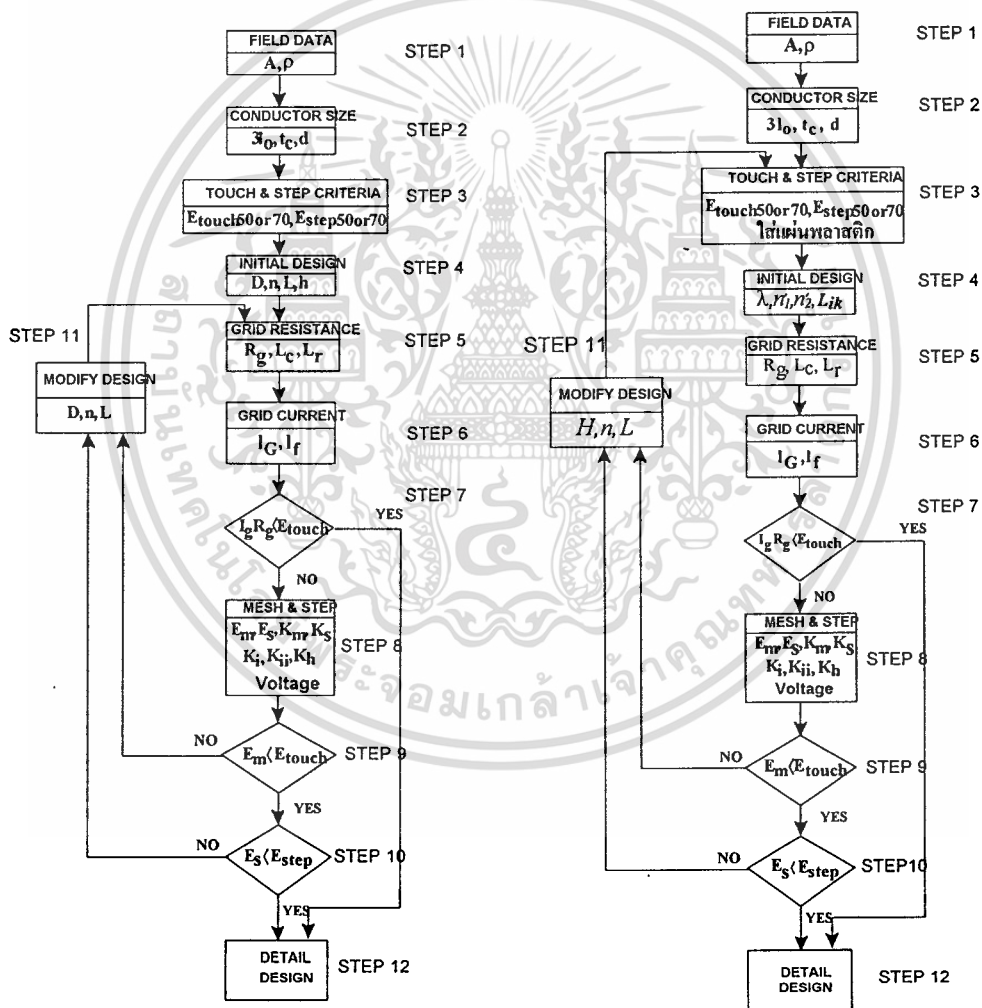
ถ้า  $E_s > E_{\text{step } 50}$  ไปยังขั้นตอนที่ 11

ขั้นตอนที่ 11 Modify Design

ขั้นตอนนี้จะทำการเปลี่ยนแปลงค่าข้อมูลที่กำหนดไว้ในตอนต้น เนื่องจากข้อมูลดังกล่าวคำนวณแล้วไม่ตรงตามเงื่อนไขที่กำหนดไว้ ตัวแปรที่จะเปลี่ยนแปลงมี  $D, n, L$  โดยที่

เอกสารนี้เป็นเอกสารที่สงวนไว้สำหรับการใช้งานเพื่อการศึกษาเท่านั้น ไม่อนุญาตให้นำไปใช้ประโยชน์ด้านการค้า ไม่ว่าจะกรณีใดๆทั้งสิ้น อีกทั้งห้ามมิให้ดัดแปลงเนื้อหา และต้องอ้างอิงถึงเจ้าของเอกสารทุกครั้งที่มีการนำไปใช้

- D จะมีการเปลี่ยนแปลงทั้งด้านแนวราบ (แกน x) และแนวตั้ง (แกน y) โดยการเปลี่ยนแปลงทั้งสองด้านจะต้องใกล้เคียงกัน
- n จะเพิ่มทั้งสองด้านทีละ 1 ก็ต่อเมื่อ D ใกล้เคียง 1
- เมื่อเปลี่ยน D, n, L จะเปลี่ยนด้วย  $(L = D_x N_y + D_y N_x)$
- การออกแบบ Ground Grid หากไม่ปลอดภัยจะมีการ เพิ่ม Ground Rod เข้าไปด้วย
- ถ้าไม่ปลอดภัยก็ให้มีการแบ่งกริดให้ถี่ขึ้น โดยยังไม่มีกริดเพิ่ม Ground Rod ซึ่งถ้ายังไม่ปลอดภัยอีกก็ให้เพิ่ม Ground Rod



รูปที่ 23 แสดงแผนภูมิเปรียบเทียบวิธีการเดิมกับแนวทางใหม่

## 4.2 ตัวอย่างในการคำนวณและการออกแบบ

ข้อมูลสำหรับการคำนวณระบบกราวด์

- พื้นที่ของสถานีไฟฟ้าย่อย (A)	= 75x120	= 9000	m <sup>2</sup>
- ความต้านทานจำเพาะของหิน ( $\rho_S$ )		= 4000	ohm-m
- ความต้านทานจำเพาะของดิน ( $\rho$ )		= 17	ohm-m
- ค่ากระแสลัดวงจรลงดิน ( $I_f$ )		= 50	KA
- เวลาที่กระแสไหลของกระแสลัดวงจร ( $t_c$ )		= 0.5	sec
- อุณหภูมิสูงสุดที่ยังไม่หลอมละลาย ( $T_m$ )		= 700	°C
- อุณหภูมิของสิ่งแวดล้อม ( $T_a$ )		= 40	°C
- สัมประสิทธิ์อุณหภูมิของความต้านทาน ( $\alpha_r$ )		= 0.00393	
- ความต้านทานจำเพาะของตัวนำที่อุณหภูมิอ้างอิง ( $\rho_r$ )		= 1.7241	$\mu\Omega/cm^3$
- TCAP (Thermal Coefficient factor)		= 3.442	J/cm <sup>3</sup> /°C
- $K_o$ (Thermal coefficient)		= $\frac{I}{\alpha_r} - T_r$	= 234
- พื้นที่หน้าตัดของสายตัวนำ	: mm <sup>2</sup>		

คำนวณหาขนาดของสายกราวด์

$$A = I \sqrt{\frac{t_c \alpha_r \rho_r 10^4}{TCAP \ln \left[ 1 + \left( \frac{T_m - T_a}{K_o + T_a} \right) \right]}}$$

$$A = 50 \sqrt{\frac{(0.5)(0.00393)(1.7241)(10^4)}{(3.422) \ln \left[ 1 + \left( \frac{700 - 40}{(234 + 40)} \right) \right]}}$$

$$A = 142.06 \text{ mm}^2$$

### การคำนวณหาค่าศักดาช่วงก้าวและศักดาไฟฟ้าสัมผัส

- ความต้านทานจำเพาะของหินกรวด ( $\rho_S$ ) = 4000 ohm-m
- ความหนาของชั้นหินกรวด ( $h_s$ ) = 0.1 m
- ความลึกของตัวนำตะแกรงกริด (h) = 0.5 m
- ระยะเวลาของกระแสลัดวงจร ( $T_s$ ) = 0.5 sec
- a (Equivalent radius of a foot) = 0.106 m

$$- P \text{ (Proximity effect factor)} = 1 + 1.3 \left[ \frac{a}{h + h_s} \right]$$

$$- C_s \text{ (Reduction factor)} = 1 - a \left[ \frac{\left(1 - \frac{\rho}{\rho_S}\right)}{(2h_s + a)} \right]$$

$$= 1 - 0.106 \left[ \frac{1 - (17 / 4000)}{(2 \times 0.1 + 0.106)} \right]$$

$$= 0.6551$$

### Touch voltage

$$E_{touch\ 50} = (1000 + 1.5 C_s \cdot P \cdot \rho_S) \frac{0.116}{\sqrt{t_s}}$$

$$= [1000 + (1.5 \times 0.655) \times (1.2297 \times 4000)] \frac{0.116}{\sqrt{0.5}}$$

$$E_{touch\ 50} = 957.11 \quad \text{volts}$$

เอกสารนี้เป็นเอกสารที่สงวนไว้สำหรับการใช้งานเพื่อการศึกษาเท่านั้น ไม่อนุญาตให้นำไปใช้ประโยชน์ด้านการค้า  
ไม่ว่ากรณีใดๆทั้งสิ้น อีกทั้งห้ามมิให้ตัดแปลงเนื้อหา และต้องอ้างอิงถึงเจ้าของเอกสารทุกครั้งที่มีการนำไปใช้

### Step voltage

$$E_{step\ 50} = (1000 + 6 \cdot C_s \cdot P \cdot \rho_s) \frac{0.116}{\sqrt{t_s}}$$

$$= [1000 + (6 \times 0.6551 \times 1.2297 \times 4000)] \frac{0.116}{\sqrt{0.5}}$$

$$E_{step\ 50} = 3336.23 \quad \text{volts}$$

### รายละเอียดของการปักกราวด์กริด

- พื้นที่ของกราวด์กริด (A)	=	9000	m <sup>2</sup>
- ระยะห่างระหว่างตัวนำ (D)	=	10	m
- ความลึกของตัวนำกริด (h)	=	0.5	m
- จำนวนแท่งกราวด์ (N <sub>r</sub> )	=	55	pcs
- ความยาวของกราวด์รีด (L <sub>r</sub> =N <sub>r</sub> ×3.048)	=	55 × 3.048	m
- ความยาวของตัวนำกริด (L <sub>c</sub> )	=	2350	m
- จำนวนตัวนำที่วางขนานในแนวแกน x (N <sub>x</sub> )	=	9	
- จำนวนตัวนำที่วางขนานในแนวแกน y (N <sub>y</sub> )	=	13	

### การคำนวณหาค่าความต้านทานของกราวด์กริด

ความยาวของตัวนำทั้งหมดที่ประกอบด้วยกราวด์กริดและกราวด์รีด

$$L = L_c + 1.15 L_r$$

$$= 2350 + 1.15 (55 \times 3.048)$$

$$= 2542.79 \text{ m}$$

$$R_g = \rho \left[ \frac{1}{L} + \frac{1}{\sqrt{20A}} \left( 1 + \frac{1}{1+h\sqrt{\frac{20}{A}}} \right) \right]$$

$$= 17 \left[ \frac{1}{2542.79} + \frac{1}{\sqrt{20 \times 9000}} \left( 1 + \frac{1}{1 + 0.50 \sqrt{20 / 9000}} \right) \right]$$

$$R_G = 0.0860 \text{ ohms}$$

การคำนวณหาค่า Grid Potential rise

$$\text{เมื่อกระแสกริด } (I_G) = 50000 \text{ A}$$

$$GPR = I_G R_G$$

$$= 50 \text{ KA} \times 0.0860$$

$$= 4300 \text{ V}$$

$$I_G R_G (4300) > E_{\text{touch } 50} (957.118)$$

การคำนวณหาค่า Mesh voltage และ Step voltage

mesh voltage

$$E_m = \frac{\rho K_m K_i I_G}{L}$$

เมื่อ  $I_G = 50000 \text{ A}$

$$N_A = 9, N_B = 13$$

$$N = \sqrt{N_A \cdot N_B} = 11, K_{ii} = 1$$

$$h = 0.5 \text{ m}$$

$$h_o = 1 \text{ m}$$

$$D = 10 \text{ m}$$

$$K_h = \sqrt{1 + h/h_o} = 1.2247$$

$$d = 0.0134 \text{ m}$$

เอกสารนี้เป็นเอกสารที่สงวนไว้สำหรับการใช้งานเพื่อการศึกษาเท่านั้น ไม่อนุญาตให้นำไปใช้ประโยชน์ด้านการค้า  
ไม่ว่ากรณีใดๆทั้งสิ้น อีกทั้งห้ามมิให้ดัดแปลงเนื้อหา และต้องอ้างอิงถึงเจ้าของเอกสารทุกครั้งที่มีการนำไปใช้

$$K_i = 0.656 + 0.172 N$$

$$= 0.656 + (0.172 \times 11) = 2.548$$

$$K_m = \frac{1}{2\pi} \left[ \ln \left( \frac{D^2}{16hd} + \frac{(D+2h)^2}{8Dd} - \frac{h}{4d} \right) + \frac{K_{ii}}{K_h} \ln \frac{8}{\pi(2n-1)} \right]$$

$$= \frac{1}{2\pi} \left[ \ln \left( \frac{10^2}{16 \times 0.5 \times 0.0134} + \frac{(10+2 \times 0.5)^2}{8 \times 10 \times 0.0134} - \frac{0.5}{4 \times 0.0134} \right) + \frac{1}{1.2247} \ln \frac{8}{\pi(2 \times 11 - 1)} \right]$$

$$K_m = 0.8309$$

$$E_m = \frac{(17)(0.8309)(2.548)(50000)}{2542.79}$$

$$E_m = 707.71 \text{ volts}$$

$$E_m (707.7v) < E_{touch50} (957.1v)$$

Step voltage

$$E_s = \frac{\rho K_s \cdot K_i \cdot I_G}{L}$$

เมื่อ  $I_G = 50000 \text{ A}$

$$L = 2542.79 \cdot m$$

$$N = \text{MAX} [N_A, N_B] = 13$$

$$K_i = 0.656 + (0.172 \times 13) = 2.892$$

$$K_s = \frac{1}{\pi} \left[ \frac{1}{2h} + \frac{1}{D+h} + \frac{1}{D} (1 - 0.5^{n-2}) \right]$$

$$= 0.3804$$

เอกสารนี้เป็นเอกสารที่สงวนไว้สำหรับการใช้งานเพื่อการศึกษาเท่านั้น ไม่อนุญาตให้นำไปใช้ประโยชน์ด้านการค้า  
ไม่ว่ากรณีใดๆทั้งสิ้น อีกทั้งห้ามมิให้ตัดแปลงเนื้อหา และต้องอ้างอิงถึงเจ้าของเอกสารทุกครั้งที่มีการนำไปใช้

$$E_s = \frac{(17)(0.3804)(2.892)(50000)}{2542.79}$$

$$E_s = 367.74 \quad \text{volts}$$

$$E_s(367.74) < E_{step50}(3336.23)$$

การตรวจสอบ Mesh voltage และ Step voltage

จากการคำนวณจะเห็นได้ว่า

$$E_m (707.71v) < E_{touch 50} (957.11v)$$

$$E_s (367.4v) < E_{step 50} (3336.23v)$$

สรุปว่า การออกแบบระบบต่อลงดินนี้เกิดความปลอดภัย

#### 4.3 ตัวอย่างการคำนวณและการออกแบบระบบการต่อลงดิน

สถานีไฟฟ้าย่อยขนาด 115/22 KV. มาตรฐานการคำนวณและการออกแบบ (IEEE Guide for Safety is Substation Grounding : IEEE 80-1986)

ข้อมูลสำหรับการคำนวณ

- ความต้านทานจำเพาะของดิน (Soil Resistivity)	=	1.015	ohm-m
- ความต้านทานจำเพาะของคอนกรีต (Concrete Resistivity)	=	51.6	ohm-m
- กระแสฟอลต์สูงสุด (Maximum r.m.s. fault current)	=	25.0	KA
- ระยะเวลาที่เกิดฟอลต์ (Fault duration time)	=	1.0	sec.
- ขนาดของกราวด์ร็อด (Ground rod size)	=	$\phi \frac{5}{8}$	$\times 3 \text{ m}$

เอกสารนี้เป็นเอกสารที่สงวนไว้สำหรับการใช้งานเพื่อการศึกษาเท่านั้น ไม่อนุญาตให้นำไปใช้ประโยชน์ด้านการค้า  
ไม่ว่ากรณีใดๆทั้งสิ้น อีกทั้งห้ามมิให้ตัดแปลงเนื้อหา และต้องอ้างอิงถึงเจ้าของเอกสารทุกครั้งที่มีการนำไปใช้

Point	Measured Values (ohm-m)			
	B(m)	15	25	35
	A(m)	3	3	7
P1	P1 X	0.05	0.01	0.03
	P1 Y	0.04	0.02	0.05
P2	P2 X	0.02	0.01	0.02
	P2 Y	0.03	0.04	0.06
R(Average)	$\sum R/N$	0.035	0.02	1.04
$\rho$ (Average)	$2\pi AR$	0.6597	0.6283	1.759
$\rho$ (Average)	$= (0.6597+0.6283+1.759)/3 = 1.015 \text{ ohm-m}$			

ตารางที่ 6 ตารางทดสอบการหาค่าความต้านทานของดิน

การคำนวณหาขนาดกราวด์กริด (Calculation for ground wire size)

$$A_{mm^2} = I \sqrt{\frac{t_c \alpha_r \rho_r 10^4}{K_o \left[ 1 + \frac{T_m - T_a}{K_o + T_a} \right]}}$$

พื้นที่หน้าตัดของสายตัวนำ (A)

- กระแสลัดวงจรลงดิน (I) = 25 KA
- ระยะเวลาที่เกิดฟลัด (T<sub>c</sub>) = 1 Sec
- อุณหภูมิรอบด้านหรืออุณหภูมิของสิ่งแวดล้อม (T<sub>a</sub>) = 40 °C
- สัมประสิทธิ์ของความต้านทานจำเพาะที่อุณหภูมิอ้างอิง (α<sub>r</sub>) = 0.00381
- ความต้านทานจำเพาะของตัวนำที่อุณหภูมิอ้างอิง (ρ<sub>r</sub>) = 1.7774 μΩ / cm<sup>3</sup>
- แฟกเตอร์ความจุทางความร้อน(TCAP) = 3.422
- Thermal Coefficient (K<sub>o</sub>) = 242

$$A = 25 \sqrt{\frac{1 \times 0.00381 \times 1.7774 \times 10^4}{3.422 \ln \left[ 1 + \left( \frac{1084 - 40}{242 + 40} \right) \right]}}$$

$$= 89.38 \text{ mm}^2$$

(เลือกขนาดตัวนำกริด 95 mm<sup>2</sup>)

### การคำนวณหาศักดาไฟฟ้าสัมผัสและศักดาไฟฟ้าช่วงก้าว (Calculation Touch Voltage and Step Voltage)

#### Touch Voltage

$$E_{touch50} = \left( 1000 + 1.5C_s \rho_s \right) \frac{0.116}{\sqrt{T_s}}$$

เมื่อ ระยะเวลาของกระแสฟอลต์ = 1 sec

ความต้านทานจำเพาะของคอนกรีต ( $\rho_s$ ) = 51.6 ohm-m

ความต้านทานจำเพาะของดิน ( $\rho_g$ ) = 1.015 ohm-m

$$\begin{aligned} \text{Reflection Factor (K)} &= \frac{\rho - \rho_s}{\rho + \rho_s} \\ &= \frac{1.015 - 51.60}{1.105 + 51.60} \\ &= -0.961 \end{aligned}$$

Reduction Factor  $C_s = 0.750$

$K = -0.961$

$h_s = 0.2$

$$\begin{aligned}
 E_{touch50} &= (1000 + (1.5 \times 0.75 \times 51.60)) \frac{0.116}{\sqrt{1}} \\
 &= (1058.05) \frac{0.116}{1} \\
 &= 122.734 \text{ Volts}
 \end{aligned}$$

### Step Voltage

$$\begin{aligned}
 E_{step50} &= (1000 + 6C_s\rho_s) \frac{0.116}{\sqrt{t_s}} \\
 &= (1000 + (6 \times 0.75 \times 51.6)) \frac{0.116}{\sqrt{1}} \\
 &= (1232.2) \frac{0.116}{1} \\
 &= 142.935 \text{ Volts}
 \end{aligned}$$

### ข้อมูลเบื้องต้น (Initial Data)

- พื้นที่ของกราวด์กริด (Ground Grid Equivalent area)  $34 \times 60 = 2040.00 \text{ m}^2$
- ความลึกของตัวนำ (h) = 0.50 m
- ระยะห่างระหว่างตัวนำ (D) = 5.00 m
- จำนวนแท่งกราวด์ ( $N_r$ ) = 48 rods
- จำนวนตัวนำที่วางขนานในแนวแกน X ( $N_x$ ) = 10
- จำนวนตัวนำที่วางขนานในแนวแกน Y ( $N_y$ ) = 7
- ความยาวของตัวนำกริด [ $L_c = (34 \times 10) + (60 \times 7)$ ] = 760 m
- ความหนาของพื้นคอนกรีต ( $h_g$ ) = 0.20 m
- ความยาวของตัวนำรีด [ $L_r = N_r \times 2.43$ ] = 116.64 m.

### การคำนวณหาความต้านทานของกราวด์ (Calculation of Grounding Resistance)

เอกสารนี้เป็นเอกสารที่สงวนไว้สำหรับการใช้งานเพื่อการศึกษาเท่านั้น ไม่อนุญาตให้นำไปใช้ประโยชน์ด้านการค้า  
ไม่ว่ากรณีใดๆทั้งสิ้น อีกทั้งห้ามมิให้ดัดแปลงเนื้อหา และต้องอ้างอิงถึงเจ้าของเอกสารทุกครั้งที่มีการนำไปใช้

$$R_g = \rho \left[ \frac{l}{L} + \frac{l}{\sqrt{20A}} \left( 1 + \frac{l}{1 + h\sqrt{\frac{20}{A}}} \right) \right]$$

- เมื่อ  $L$  = ผลรวมทั้งหมดของความยาวตัวนำ  
 = ความยาวของตัวนำกริด ( $L_g$ ) + ความยาวของตัวนำรีด ( $L_r$ )  
 = 760 + 116.64 = 876.6 m  
 $\rho$  = ความต้านทานจำเพาะของดิน

จะได้ว่า

$$\begin{aligned} R_g &= 1.015 \left[ \frac{l}{876.64} + \frac{l}{\sqrt{20 \times 2040}} \left( 1 + \frac{l}{1 + 0.50\sqrt{\frac{20}{2040}}} \right) \right] \\ &= 1.015 \left[ \frac{l}{876.64} + \frac{l}{201.99} \left( 1 + \frac{l}{1 + 0.50 \times 0.099} \right) \right] \\ &= 1.015 \left[ 0.001140 + 0.005 \left( 1 + \frac{l}{1 + 0.495} \right) \right] \\ &= 1.015 [0.001140 + 0.005(1 + 0.952)] \\ &= 1.015 [0.001140 + 0.005(1.952)] \\ &= 1.015 [0.001140 + 0.00976] \\ &= 1.015 \times 0.0109 \\ R_g &= 0.0110 \text{ Ohm} \end{aligned}$$

#### การคำนวณหากระแสกริด (Calculation of Grid Current)

$$I_G = S_f I_f 1000$$

เมื่อ Current Division Factor ( $S_f$ ) = 0.6  
 เอกสารนี้เป็นเอกสารที่สงวนไว้สำหรับการใช้งานเพื่อการศึกษาเท่านั้น ไม่อนุญาตให้นำไปใช้ประโยชน์ด้านการค้า  
 ไม่ว่ากรณีใดๆทั้งสิ้น อีกทั้งห้ามมิให้ดัดแปลงเนื้อหา และต้องอ้างอิงถึงเจ้าของเอกสารทุกครั้งที่มีการนำไปใช้

$$\text{Maximum Fault Current } (I_p) = 25 \text{ KA}$$

$$\begin{aligned} I_G &= 0.6 \times 25 \times 1000 \\ &= 15 \text{ KA} \end{aligned}$$

### การตรวจสอบค่า GPR (Grid Potential Rise)

$$\begin{aligned} GPR &= I_G R_G \\ &= 15 \times 1000 \times 0.011 \\ &= 167.2 \end{aligned}$$

$$I_G R_G (167.2V) > E_{touch50} (122.734V)$$

### การคำนวณค่า Mesh Voltage และ Step Voltage

#### Mesh Voltage

$$E_m = \frac{\rho K_m K_i I_G}{L}$$

$$K_m = \text{Spacing for Mesh Voltage}$$

$$= \frac{1}{2\pi} \left[ \ln \left( \frac{D^2}{16hd} + \frac{(D+2h)^2}{8Dd} - \frac{h}{4d} \right) + \frac{K_{ii}}{K_h} \ln \left( \frac{8}{\pi(2n-1)} \right) \right]$$

$$= \frac{1}{2\pi} \left[ \ln \left( 102.365 + \frac{16}{0.26376} - 11.374 \right) + 0.8165 \ln \left( \frac{8}{49.4273} \right) \right]$$

$$= 0.15915 [\ln(151.65) + 0.8165 \ln(0.16185)]$$

$$= 0.15915 [5.022 + 0.8165(-1.821)]$$

$$= 0.15915 [3.535]$$

$$K_m = 0.5626$$

เอกสารนี้เป็นเอกสารที่สงวนไว้สำหรับการใช้งานเพื่อการศึกษาเท่านั้น ไม่อนุญาตให้นำไปใช้ประโยชน์ด้านการค้า  
ไม่ว่ากรณีใดๆทั้งสิ้น อีกทั้งห้ามมิให้ดัดแปลงเนื้อหา และต้องอ้างอิงถึงเจ้าของเอกสารทุกครั้งที่มีการนำไปใช้

เมื่อ

$$n = \sqrt{n_A \times n_B} = \sqrt{10 \times 7} = 8.367$$

$n_A$  = จำนวนตัวนำที่วางขนานกันในแนวแกน X

$n_B$  = จำนวนตัวนำที่วางขนานกันในแนวแกน Y

$D$  = ระยะห่างระหว่างตัวนำ = 3 m

$K_{ii} = 1$

$$K_i = 0.656 + (0.172 \times n) = 0.656 + (0.172 \times 8.367) = 2.095$$

$$K_h = \sqrt{1+h} = \sqrt{1+0.5} = 1.224745$$

$h$  = ความลึกของตัวนำกริด (0.5 m)

$d$  = เส้นผ่าศูนย์กลางของตัวนำกริด (0.0110 m)

$$L = L_c + 1.15L_r = 60 + [1.15 \times 117] = 894.14$$

ดังนั้น

$$E_m = \frac{1 \times 0.5626 \times 2.095 \times 15 \times 1000}{894.14}$$

$$E_m = 20.069 \text{ volts}$$

$$E_m (20.069V) < E_{touch50} (122.73V)$$

Step Voltage

$$E_s = \frac{\rho K_s K_i I_G}{L}$$

เมื่อ

$K_s$  = Spacing for Step Voltage

$$= \frac{1}{\pi} \left[ \frac{1}{2h} + \frac{1}{D+h} + \frac{1}{D} (1 - 0.5^{n-2}) \right]$$

$$= 0.31818 [1 + 0.286 + 0.33333(0.98788)]$$

$$= 0.31818 [1.615]$$

$K_s = 0.51386$

$$L = L_c + 1.15L_r = 60 + [1.15 \times 117] = 894.136$$

$$K_i = 0.656 + (0.172 \times 10) = 2.376$$

$n$  = จำนวนตัวนำที่วางขนานกันมากที่สุดในแต่ละด้าน max. ( $n_x, n_y$ )

เอกสารนี้เป็นเอกสารที่สงวนลิขสิทธิ์สำหรับการใช้งานเพื่อการศึกษาเท่านั้น ไม่อนุญาตให้นำไปใช้ประโยชน์ด้านการค้า  
ไม่ว่ากรณีใดๆทั้งสิ้น อีกทั้งห้ามมิให้ดัดแปลงเนื้อหา และต้องอ้างอิงถึงเจ้าของเอกสารทุกครั้งที่มีการนำไปใช้

ดังนั้น

$$E_s = \frac{1 \times 0.51386618 \times 2.376 \times 15 \times 1000}{894.14}$$

$$= 20.790 \text{ Volts}$$

$$E_s(20.790V) < E_{step50}(142.94V)$$

การตรวจสอบ Mesh Voltage และ Step Voltage

จากการคำนวณจะเห็นได้ว่า

$$E_m(20.069V) < E_{touch50}(122.73V)$$

$$E_s(20.790V) < E_{step50}(142.94V)$$

สรุปได้ว่า การออกแบบระบบต่อลงดินนี้เกิดความปลอดภัย



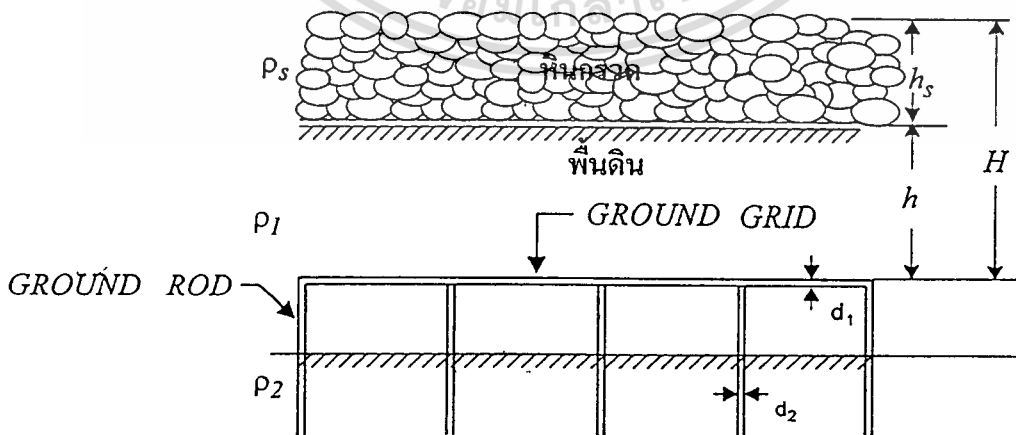
## บทที่ 5

### ผลของการออกแบบระบบต่อลงดิน

การออกแบบระบบต่อลงดินของสถานีไฟฟ้าย่อย ในงานวิจัยนี้ได้ใช้แนวทางตาม ANSI/IEEE Std.80-1986 [1] ซึ่งเป็นมาตรฐานที่ยอมรับกันโดยทั่วไป สำหรับการออกแบบโดยใช้แผ่นพลาสติกใส่เพิ่มเข้าไปเหนือตะแกรงกริดเป็นบางจุดนั้น ก็ได้มีวิธีการคำนวณให้เห็นกรณีที่ไมใส่กับใส่แผ่นพลาสติก พร้อมทั้งโปรแกรมการออกแบบอีกด้วย อีกทั้งวิธีการใหม่ซึ่งสามารถลดจำนวนตัวนำและประหยัดวัสดุตัวนำกริดได้ถึง 30-40% ได้แสดงตัวอย่างให้เห็นการคำนวณดังต่อไปนี้

ตัวอย่างสถานีไฟฟ้าย่อยขนาด 115 KV

ความต้านทานจำเพาะของหินกรวด	$(\rho_s)$	=	3000 $\Omega$ -m
ความต้านทานจำเพาะของดิน	$(\rho)$	=	11.7 $\Omega$
ความลึกของกราวด์กริดใต้ระดับผิวบนสุด	$(H)$	=	0.65 m
ความลึกของกริด	$(h)$	=	0.5 m
ความหนาของชั้นหินกรวด	$(h_s)$	=	0.15 m
เส้นผ่านศูนย์กลางของกราวด์กริด	$(d_1)$		
เส้นผ่านศูนย์กลางของกราวด์ร็อด	$(d_2)$		



รูปที่ 24 ลักษณะการฝังกราวด์กริดและกราวด์ร็อด

เอกสารนี้เป็นเอกสารที่สงวนไว้สำหรับการใช้งานเพื่อการศึกษาเท่านั้น ไม่อนุญาตให้นำไปใช้ประโยชน์ด้านการค้า ไม่ว่าจะกรณีใดๆทั้งสิ้น อีกทั้งห้ามมิให้ดัดแปลงเนื้อหา และต้องอ้างอิงถึงเจ้าของเอกสารทุกครั้งที่มีการนำไปใช้

5.1 ในกรณีที่คิดผลของการโรยหินกรวด+คิดผลเนื่องจากมีระบบกรวดฝังอยู่ในดิน

ขั้นตอนการคำนวณ

1. หาพื้นที่ของสถานีไฟฟ้าย่อย  $mm^2$  : (A)

หาพื้นที่ของสถานีไฟฟ้าย่อยเป็นลักษณะสี่เหลี่ยมผืนผ้า กว้าง 70 เมตร, ยาว 76 เมตร

$$\begin{aligned} \text{พื้นที่} &= \text{กว้าง} \times \text{ยาว} \text{ (ตารางเมตร)} \\ &= 70 \times 76 \text{ (ตารางเมตร)} \\ &= 5320 \text{ ตารางเมตร} \end{aligned}$$

2. หาคความต้านทานจำเพาะของดิน โดยเฉลี่ย  $\Omega$  : ( $\rho$ )

ข้อมูลทั้งหมดได้จาก Test of Record ด้านหลังการคำนวณ

3. หาขนาดของตัวนำ ( $mm^2$ ) : (A)

ค่ากระแสลัดวงจรจริงดิน	( $I_f$ )	= 50 KA
อุณหภูมิสูงสุดที่ยังไม่หลอมละลาย	( $T_m$ )	= 700 °C
เวลาที่กระแสไหลของกระแสลัดวงจร	( $T_c$ )	= 0.6 sec
อุณหภูมิต่อต้านหรืออุณหภูมิของสิ่งแวดล้อม	( $T_a$ )	= 40 °C
สัมประสิทธิ์อุณหภูมิของความต้านทานที่อุณหภูมิ	$T_r (\alpha_r)$	= 0.00393
ความต้านทานจำเพาะของตัวนำที่อุณหภูมิ	( $\rho_r$ )	= 1.7241 ( $\mu\Omega / cm^3$ )
แฟกเตอร์ทางความจุความร้อน (TCAP)		= 3.422 $J/cm^3 / ^\circ C$
$K_o$		= 234

$$A = I \sqrt{\frac{t_c \alpha_r \rho_r 10^4}{TCAP \ln \left[ 1 + \frac{T_m - T_a}{K_o + T_a} \right]}}$$

$$A = 50 \sqrt{\frac{(0.6)(0.00393)(1.7241)(10^4)}{(3.422) \ln [1 + (700 - 40) / (234 + 40)]}}$$

$$A = 156.62387 mm^2$$

4. หาแรงดันไฟฟ้าสัมผัส และแรงดันไฟฟ้าช่วงก้าว

เอกสารนี้ใช้โดยสิทธิ์ของกริด (h) สำหรับการใช้งานเพื่อ  $= 0.5 m$  เท่านั้น ไม่อนุญาตให้นำไปใช้ประโยชน์ด้านการค้า  
ไม่ว่ากรณีใดทั้งสิ้น อีกทั้งห้ามมิให้ดัดแปลงเนื้อหา และต้องอ้างอิงถึงเจ้าของเอกสารทุกครั้งที่มีการนำไปใช้

$$\begin{aligned}
 \text{ความหนาของชั้นหินกรวด (} h_s \text{)} &= 0.15 \text{ m} \\
 \text{ความต้านทานของหินกรวด (} \rho_s \text{)} &= 3000 \text{ } \Omega\text{-m} \\
 \text{Proximity Effect (P)} &= 1 + \frac{1.3a}{H} \\
 &= 1 + \frac{1.3(0.106)}{0.5 + 0.15} \\
 &= 1.212
 \end{aligned}$$

แฟคเตอร์ลดเนื่องจากการโรยหินกรวด (C)

$$C_S = 1 - a \left[ \frac{1 - \rho / \rho_s}{2h_s + a} \right]$$

$$C_S = 1 - 0.106 \left[ \frac{(1 - (117/3000))}{(2(0.15) + 0.106)} \right]$$

$$C_S = 0.7399$$

กรณีที่คิดผลของการโรยหินกรวด+คิดผลเนื่องจากระบบบกรวดกริดฝังอยู่ในดิน

$$R_{TS} = R_B + 6C_P \rho_S \left( 1 + \frac{1.3a}{H} \right)$$

$$R_{TS} = 1000 + \left[ (6 \times 0.7399 \times 3000) \left( 1 + \frac{1.3 \times 0.106}{0.65} \right) \right]$$

$$R_{TS} = 17141.65 \Omega$$

$$R_{TP} = R_B + 1.5C_P \rho_S \left( 1 + \frac{1.3a}{H} \right)$$

$$R_{TP} = 1000 + \left[ (1.5 \times 0.7399 \times 3000) \left( 1 + \frac{1.3 \times 0.106}{0.65} \right) \right]$$

$$R_{TP} = 5035.41 \Omega$$

เวลาที่กระแสไหลของกระแสลัดวงจร (T) = 0.6 sec

$$E_{touch50} = \left[ R_B + 1.5C_P \rho_S \left( 1 + \frac{1.3a}{H} \right) \right] \frac{0.116}{\sqrt{t}}$$

$$E_{touch50} = (1000 + [(1.5)(0.7399)(1.212)(3000)]) \frac{0.116}{\sqrt{0.6}}$$

เอกสารนี้เป็นเอกสารที่สงวนไว้สำหรับการใช้งานเพื่อการศึกษาเท่านั้น ไม่อนุญาตให้นำไปใช้ประโยชน์ด้านการค้า  
ไม่ว่ากรณีใดๆทั้งสิ้น อีกทั้งห้ามมิให้ดัดแปลงเนื้อหา และต้องอ้างอิงถึงเจ้าของเอกสารทุกครั้งที่มีการนำไปใช้

$$E_{touch50} = 754.1085V$$

$$E_{step50} = \left[ R_B 6 C p_s \left( 1 + \frac{1.3a}{H} \right) \right] \frac{0.116}{\sqrt{0.6}}$$

$$E_{step50} = (1000 + [(6)(0.7399)(1.212)(3000)]) \frac{0.116}{\sqrt{0.6}}$$

$$E_{step50} = 2567.1679V$$

### 5. หาความต้านทานของกราวด์กริด

ระยะห่างระหว่างตัวนำที่ขนานกัน (D)	= 16 m
ความยาวของตัวนำทั้งหมดที่ใช้ทำกราวด์กริด (L)	= 1918 m
ความยาวของกราวด์รีด (L <sub>r</sub> )	= 3 m
จำนวนของกราวด์รีด (N <sub>r</sub> )	= 57 pcs
จำนวนตัวนำที่ขนานกันในแนวแกน X (N <sub>A</sub> )	= 5 pcs
จำนวนตัวนำที่ขนานกันในแนวแกน Y (N <sub>B</sub> )	= 5 pcs
ความลึกของกราวด์กริด (h)	= 0.5 m
เส้นผ่านศูนย์กลางของตัวนำ (d)	= 0.011 m.

$$R_G = \rho \left[ \frac{1}{L} + \frac{1}{\sqrt{20A}} \left( 1 + \frac{1}{1 + h\sqrt{20/A}} \right) \right]$$

$$R_G = 11.7 \left[ \frac{1}{1918} + \frac{1}{\sqrt{20 \times 5320}} \left( 1 + \frac{1}{1 + (0.5\sqrt{20/5320})} \right) \right]$$

$$R_G = 0.07677\Omega$$

### 6. Check Grid Potential Rise

$$I_G = 50000A$$

$$I_G R_G = (5000)(0.07677) = 3838.5V > E_{touch50} (754.1085V)$$

### 7. Check Mesh & Step Voltage

$$I_G = 50000A$$

เอกสารนี้เป็นเอกสารที่สงวนไว้สำหรับการใช้งานเพื่อการศึกษาเท่านั้น ไม่อนุญาตให้นำไปใช้ประโยชน์ด้านการค้า  
ไม่ว่ากรณีใดๆทั้งสิ้น อีกทั้งห้ามมิให้ดัดแปลงเนื้อหา และต้องอ้างอิงถึงเจ้าของเอกสารทุกครั้งที่มีการนำไปใช้

$$K_h = (\sqrt{1+(h+h_o)}) \quad \text{เมื่อ } h = h_o$$

$$K_h = \sqrt{1+(0.5/1)}$$

$$K_h = 1.224$$

$K_{ii} = 1.0$  สำหรับมีกราวด์ร็อดอยู่ที่มุมของกริด

$$N_m \text{ for } E_m = \sqrt{(N_A N_B)} = 5 \quad (N_A = 5, N_B = 5)$$

$$N_s \text{ for } E_s = \text{MAX}(N_A, N_B) = 5$$

$$L = L_c + 1.15(N_r L_r)$$

$$L = 1747 + 1.15(57 \times 3)$$

$$L = 1943.65$$

$$K_i \text{ for } E_m = 0.656 + 0.172 N_m = 1.516$$

$$K_i \text{ for } E_s = 0.656 + 0.172 N_s = 1.516$$

$$K_i = \frac{1}{2\pi} \left[ \ln \left( \frac{16^2}{(16)(0.5)(0.011)} + \frac{(16+(2)(0.5))^2}{(8)(16)(0.011)} - \frac{0.5}{(4)(0.011)} \right) + \frac{1}{1.224} \ln \frac{8}{\pi((2)(5)-1)} \right]$$

$$K_m = 1.11556$$

$$K_s = \frac{1}{\pi} \left[ \frac{1}{2h} + \frac{1}{D+h} + \frac{(1-0.5^{n-2})}{D} \right]$$

$$K_s = \frac{1}{\pi} \left[ \frac{1}{2(0.5)} + \frac{1}{16+0.5} + \frac{1}{16} (1-0.5^{5-2}) \right]$$

$$K_s = 0.35501$$

$$E_m = \frac{\rho K_m K_i I_G}{L}$$

$$E_m = \frac{(11.7)(1.11556)(1.516)(50000)}{1943.65}$$

$$E_m = 509.0142V$$

$$E_s = \frac{\rho K_s K_i I_G}{L}$$

เอกสารนี้เป็นเอกสารที่สงวนไว้สำหรับการใช้งานเพื่อการศึกษาเท่านั้น ไม่อนุญาตให้นำไปใช้ประโยชน์ด้านการค้า  
ไม่ว่ากรณีใดๆทั้งสิ้น อีกทั้งห้ามมิให้ดัดแปลงเนื้อหา และต้องอ้างอิงถึงเจ้าของเอกสารทุกครั้งที่มีการนำไปใช้

$$E_s = \frac{(11.7)(0.35501)(1.516)(50000)}{1943.65}$$

$$E_s = 161.9860V$$

### 8. Check Mesh & Step Voltage

$$E_m(509.0142V) < E_{\text{touch}50}(754.1085V)$$

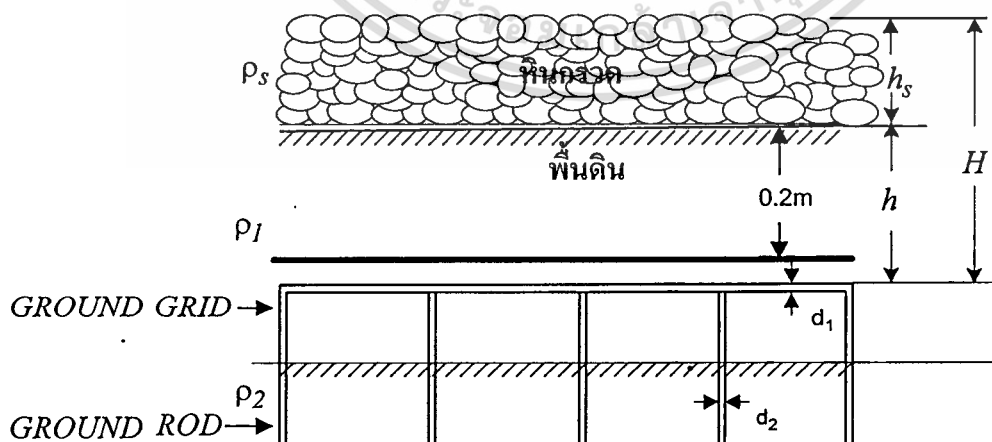
$$E_s(161.9860V) < E_{\text{touch}50}(2567.1679V)$$

### 9. Detailed Design

จากการคำนวณที่ผ่านมาได้ผลรับตามเงื่อนไข ของ Flow Chart บล็อกที่ 9,10 แสดงว่าการออกแบบนี้ปลอดภัย

#### 5.2 ในกรณีใส่แผ่นพลาสติกเพิ่ม

ความต้านทานจำเพาะของหินกรวด ( $\rho_s$ )	= 3000 $\Omega - m$
ความต้านทานจำเพาะของดิน ( $\rho$ )	= 11.7 $\Omega$
ความลึกของกรวดที่กริดได้ระดับผิวบนสุด ( $H$ )	= 0.6 m
ความลึกของกริด ( $h$ )	= 0.5 m
ความหนาของชั้นหินกรวด ( $h_s$ )	= 0.1 m
ความลึกของแผ่นพลาสติก	= 0.2 m
ความหนาของแผ่นพลาสติกควรมากกว่า 0.15 mm	



รูปที่ 25 ลักษณะการฝังแผ่นพลาสติก,กรวดที่กริดและกรวดที่ร้อย

เอกสารนี้เป็นเอกสารที่สงวนไว้สำหรับการใช้งานเพื่อการศึกษาเท่านั้น ไม่อนุญาตให้นำไปใช้ประโยชน์ด้านการค้า  
ไม่ว่ากรณีใดๆทั้งสิ้น อีกทั้งห้ามมิให้ดัดแปลงเนื้อหา และต้องอ้างอิงถึงเจ้าของเอกสารทุกครั้งที่มีการนำไปใช้

### ขั้นตอนการคำนวณ

1. หาพื้นที่ของสถานีไฟฟ้าย่อย  $\text{mm}^2$  : (A)

พื้นที่ของสถานีไฟฟ้าย่อยเป็นลักษณะสี่เหลี่ยมผืนผ้ากว้าง 70 เมตร, ยาว 76 เมตร

$$\begin{aligned}\text{พื้นที่} &= \text{กว้าง} \times \text{ยาว} \text{ (ตารางเมตร)} \\ &= 70 \times 76 \text{ (ตารางเมตร)} \\ &= 5320 \text{ ตารางเมตร}\end{aligned}$$

2. หาคความต้านทานจำเพาะของดินโดยเฉลี่ย ( $\Omega$ ): ( $\rho$ )

$$(11.0 + 12.47 + 12.71 + 11.68 + 10.64) / 5 = 11.770034 \Omega$$

ข้อมูลทั้งหมดได้จาก Test of Record ด้านหลังการคำนวณ

3. หาขนาดของตัวนำ ( $\text{mm}^2$ ) : (A)

$$\text{ค่ากระแสลัดวงจรลงดิน (I)} = 50 \text{ KA}$$

$$\text{อุณหภูมิสูงสุดที่ยังไม่หลอมละลาย (Tm)} = 700 \text{ }^\circ\text{C}$$

$$\text{เวลาที่กระแสไหลของกระแสลัดวงจร (Tc)} = 0.6 \text{ sec}$$

$$\text{อุณหภูมิรอบค้ำหรืออุณหภูมิของสิ่งแวดล้อม (Ta)} = 40 \text{ }^\circ\text{C}$$

$$\text{สัมประสิทธิ์อุณหภูมิของความต้านทานที่อุณหภูมิ Tr } (\alpha_r) = 0.00393$$

$$\text{ความต้านทานจำเพาะของตัวนำที่อุณหภูมิ Tr } (\rho_r) = 1.7241 \text{ } \mu\Omega / \text{cm}^3$$

$$\text{แฟกเตอร์ทางความจุความร้อน (TCAP)} = 3.422 \text{ J/cm}^3 \text{ }^\circ\text{C}$$

$$K_o = 234$$

$$\begin{aligned}A &= I \sqrt{\frac{\frac{t_c \alpha_r \rho_r 10^4}{TCAP}}{\ln \left[ 1 + \frac{T_m - T_a}{K_o + T_a} \right]}} \\ A &= 50 \sqrt{\frac{(0.6)(0.00393)(1.7241)(10^4)}{(3.422) \ln [1 + (700 - 40) / (234 + 40)]}} \\ A &= 155.62387 \text{ mm}^2\end{aligned}$$

เอกสารนี้เป็นเอกสารที่สงวนไว้สำหรับการใช้งานเพื่อการศึกษาเท่านั้น ไม่อนุญาตให้นำไปใช้ประโยชน์ด้านการค้า  
ไม่ว่ากรณีใดๆทั้งสิ้น อีกทั้งห้ามมิให้ดัดแปลงเนื้อหา และต้องอ้างอิงถึงเจ้าของเอกสารทุกครั้งที่มีการนำไปใช้

## 4. หาแรงดันไฟฟ้าสัมผัส และแรงดันไฟฟ้าช่วงก้ำว

$$\text{ความหนาของชั้นหिनกรวด } (h_s) = 0.10 \text{ m}$$

$$\text{ความต้านทานของหिनกรวด } (\rho_s) = 3000 \text{ } \Omega\text{-m}$$

$$\text{รัศมีของสมมูลย์ของเท้า } (b) = 0.08 \text{ m}$$

$$\text{ระยะห่างระหว่างเท้า } (d_f) = 1 \text{ m}$$

$$X = X_1 = \frac{h_s}{b} = \frac{0.1}{0.08} = 1.25$$

$$X = X_2 = \frac{h_s}{d_f} = \frac{0.1}{1} = 0.1$$

$$K = \frac{\rho - \rho_s}{\rho + \rho_s}$$

$$K = \frac{11.7 - 3000}{11.7 + 3000}$$

$$K = -0.99$$

จากกราฟ Function F (X) Versus X and Reflection Factor K

$$X_1 = 1.25 \therefore F(X_1) = 0.57$$

$$X_2 = 0.1 \therefore F(X_2) = 0.07$$

$$R_f = \frac{\rho_s}{b} F(X_1) = \frac{3000}{(4)(0.08)} (0.57) = 5343.75 \Omega$$

$$R_{mf} = \frac{\rho_s}{2\pi d_f} F(X_2) = \frac{3000}{2\pi (1)} (0.07) = 33.4225 \Omega$$

$$R_{2F} = 2(R_f - R_{mf})$$

$$R_{2F} = 2(5343.75 - 33.4225)$$

$$R_{2F} = 10620.6549 \Omega$$

$$R_{2F} = \frac{1}{2}(R_f + R_{mf})$$

เอกสารนี้เป็นเอกสารที่สงวนไว้สำหรับการใช้งานเพื่อการศึกษาเท่านั้น ไม่อนุญาตให้นำไปใช้ประโยชน์ด้านการค้า  
ไม่ว่ากรณีใดๆทั้งสิ้น อีกทั้งห้ามมิให้ดัดแปลงเนื้อหา และต้องอ้างอิงถึงเจ้าของเอกสารทุกครั้งที่มีการนำไปใช้

$$R_{2F} = 2670.1637\Omega$$

5. หาค่าความต้านทานของแผ่นพลาสติก

ความลึกของกริด (h)	= 0.5 m
ความต้านทานจำเพาะของดิน ( $\rho$ )	= 11.7 $\Omega\text{-m}$
ระยะห่างระหว่างตัวนำที่ขนานกัน (D)	= 16 m
Function of h ( $r$ )	= 0.0148

$$R = \frac{\rho}{2\pi h} \ln \frac{D}{2r}$$

$$R = \frac{11.7}{2\pi(0.2)} \ln \frac{16}{2(0.0148)}$$

$$R = 58.5874\Omega$$

$$R_T = R_f + R$$

$$R_T = 5343.75 + 58.5874$$

$$R_T = 5402.3374\Omega$$

กรณีเมื่อเพิ่มแผ่นพลาสติก

$$R_{2FS} = 2(R_f - R_{Mf})$$

$$R = 2(25402.3374 - 33.4225)$$

$$R = 10737.8298\Omega$$

$$R_{2FP} = \frac{1}{2}(R_f + R_{Mf})$$

$$R = \frac{1}{2}(5402.3374 + 33.4225)$$

$$R = 2717.8799\Omega$$

$$E_{touch50} = (R_B + R_{TP})I_c$$

$$E_{touch50} = (1000 + 2717.8799) \frac{0.116}{\sqrt{0.6}}$$

$$E_{touch50} = 556.7724V$$

$$E_{step50} = (R_B + R_{TS})I_c$$

$$E_{step50} = (1000 + 10737.8298) \frac{0.116}{\sqrt{0.6}}$$

$$E_{step50} = 1757.8029V$$

#### 6. หาคความต้านทานของกราวด์กริด

ความยาวของแผ่นพลาสติก (D)	= 16 m
ความยาวของตัวนำทั้งหมดที่ใช้ทำกราวด์กริด ( $L_c$ )	= 1747 m
ความยาวของกราวด์รีด ( $L_r$ )	= 3 m
จำนวนของกราวด์รีด ( $N_r$ )	= 57 pcs
จำนวนตัวนำที่ขนานกันในแนวแกน X ( $N_A$ )	= 5 pcs
จำนวนตัวนำที่ขนานกันในแนวแกน Y ( $N_B$ )	= 5 pcs
ความลึกของกราวด์กริด (h)	= 0.5 m
เส้นผ่านศูนย์กลางของตัวนำ (d)	= 0.011 m.

$$R_G = \rho \left[ \frac{1}{L} + \frac{1}{\sqrt{20A}} \left( 1 + \frac{1}{1 + h\sqrt{20/A}} \right) \right]$$

$$R_G = 11.7 \left[ \frac{1}{1918} + \frac{1}{\sqrt{20 \times 5320}} \left( 1 + \frac{1}{1 + (0.5\sqrt{20/5320})} \right) \right]$$

$$R_G = 0.07681\Omega$$

#### 7. Check Grid Potential Rise

$$I_G = 50000A$$

$$I_G R_G = (50000)(0.07677) = 383.5V > E_{touch50} (556.7726V)$$

#### 8. Check Mesh & Step Voltage

$$I_G = 50000A$$

เอกสารนี้เป็นเอกสารที่สงวนไว้สำหรับการใช้งานเพื่อการศึกษาเท่านั้น ไม่อนุญาตให้นำไปใช้ประโยชน์ด้านการค้า  
ไม่ว่ากรณีใดทั้งสิ้น อีกทั้งห้ามมิให้ดัดแปลงเนื้อหา และต้องอ้างอิงถึงเจ้าของเอกสารทุกครั้งที่มีการนำไปใช้

$$K_h = \left( \sqrt{1 + (h + h_0)} \right) \text{ เมื่อ } h = h_0$$

$$K_h = \sqrt{1 + (0.5/1)}$$

$$K_h = 1.224$$

$$N_m \text{ for } E_m = \sqrt{(N_A N_B)} = 5 \quad (N_A = 5, N_B = 5)$$

$$N_s \text{ for } E_s = \text{MAX}(N_A, N_B) = 5$$

$$L = L_c + 1.15(N_r L_r)$$

$$L = 1.747 + 1.15(57 \times 3)$$

$$L = 1943.65$$

$$K_i \text{ for } E_m = 0.656 + 0.172 N_m = 1.516$$

$$K_i \text{ for } E_s = 0.656 + 0.172 N_s = 1.516$$

$$K_m = \frac{1}{2\pi} \ln \left[ \left( \frac{D^2}{16hd} + \frac{(D+2h)^2}{8Dh} - \frac{h}{4d} \right) + \frac{K_{ij}}{K_h} \ln \frac{8}{\pi(2N_m - 1)} \right]$$

$$K_m = \frac{1}{2\pi} \ln \left[ \left( \frac{16^2}{(16)(0.5)(0.011)} + \frac{(16 + (2)(0.5))^2}{(8)(16)(0.011)} - \frac{0.5}{(4)(0.011)} \right) + \frac{1}{1.224} \ln \frac{8}{\pi(2N_m - 1)} \right]$$

$$K_m = 1.1155$$

$$K_s = \frac{1}{\pi} \left[ \frac{1}{2h} + \frac{1}{D+h} + \frac{(1-0.5^{n-2})}{D} \right]$$

$$K_s = \frac{1}{\pi} \left[ \frac{1}{2(0.5)} + \frac{1}{16+0.5} + \frac{1}{16} (1-0.5^{5-2}) \right]$$

$$K_s = 0.35501$$

$$E_m = \frac{\rho K_m K_i I_G}{L}$$

$$E_m = \frac{(11.7)(1.11556)(1.516)(50000)}{1943.65}$$

เอกสารนี้เป็นเอกสาร E<sub>m</sub> = 509.0142V การใช้งานเพื่อการศึกษาเท่านั้น ไม่อนุญาตให้นำไปใช้ประโยชน์ด้านการค้า  
ไม่ว่ากรณีใดทั้งสิ้น อีกทั้งห้ามมิให้ดัดแปลงเนื้อหา และต้องอ้างอิงถึงเจ้าของเอกสารทุกครั้งที่มีการนำไปใช้

$$E_s = \frac{\rho K_s K_i I_G}{L}$$

$$E_s = \frac{(11.7)(0.35501)(1.516)(50000)}{1943.65}$$

$$E_s = 161.9860V$$

#### 9. Check Mesh & Step Voltage

$$E_m (509.0142V) < E_{touch50} (556.7726V)$$

$$E_s (161.9860V) < E_{step50} (1757.7726V)$$

#### 10. Detailed Design

จากการคำนวณ ในกรณีที่ใส่แผ่นพลาสติกพบว่า ได้ผลรับตามเงื่อนไขการออกแบบระบบ  
กราวด์กริด แสดงว่าการออกแบบนี้ปลอดภัย



Test Record

SOIL RESISTIVITY TEST			Date : 24/08/94 Weather : Temperature : 25°c
PHANAT NIKHOM			
ITEM	A(m)	R(ohm)	$\rho(ohm - m)$
1	0.50	4.10	12.88
2	1.00	2.30	14.45
3	2.00	1.20	15.08
4	5.00	0.40	12.57
5	10.00	0.10	6.28
6	15.00	0.05	4.17
7	0.50	5.88	18.47
8	1.00	2.97	18.66
9	2.00	1.20	15.08
10	5.00	0.36	11.30
11	10.00	0.12	7.54
12	15.00	0.04	3.77
13	05.0	5.88	18.47
14	1.00	2.50	15.71
15	2.00	1.15	14.45
16	5.00	0.37	11.62
17	10.00	0.15	9.42
18	15.00	0.07	6.60
19	0.50	5.70	17.09
20	1.00	2.58	16.21
21	2.00	0.16	12.06
22	5.00	0.28	8.80
23	10.00	0.15	9.42
24	15.00	0.06	5.65
25	0.50	4.15	13.04
26	1.00	2.00	12.57
27	2.00	0.87	10.98
28	5.00	0.42	13.19
29	10.00	0.15	9.42
30	15.00	0.05	4.17
TOTAL Average			11.70034

ตารางที่ 7 แสดงการทดสอบหาค่าความต้านทานของดิน

เอกสารนี้เป็นเอกสารที่สงวนไว้สำหรับการใช้งานเพื่อการศึกษาเท่านั้น ไม่อนุญาตให้นำไปใช้ประโยชน์ด้านการค้า  
ไม่ว่ากรณีใดๆทั้งสิ้น อีกทั้งห้ามมิให้ดัดแปลงเนื้อหา และต้องอ้างอิงถึงเจ้าของเอกสารทุกครั้งที่มีการนำไปใช้

## 5.3 ส่วนของโปรแกรมการออกแบบต่อลงดิน

### 5.3.1 Microsoft Windows เบื้องต้น

Windows เป็นโปรแกรมหนึ่งที่ทำงานภายใต้ระบบ Dos โดยทำตัวเหมือนระบบปฏิบัติการที่มีความสามารถเหนือกว่า Dos ในหลาย ๆ ด้าน ได้แก่

- 1 สามารถทำงานได้หลายโปรแกรมพร้อม ๆ กัน (Multi-tasking)
- 2 มีการแสดงผลเป็นแบบกราฟฟิก
- 3 เพิ่มขีดความสามารถให้ผู้ใช้ใช้ประโยชน์จากความสามารถของเครื่อง ได้อย่างเต็มที่ไม่ว่าในเรื่องของ CPU การจัดการหน่วยความจำ การแสดงผลบนจอภาพ เสียง เป็นต้น
- 4 ผู้ใช้สามารถเรียนรู้การใช้งานโปรแกรมบน Windows 95 ได้ง่าย เพราะโปรแกรมที่รันบน Windows 95 แต่ละตัวจะมีลักษณะและการทำงานที่เหมือนกัน
- 5 สามารถใช้งานร่วมกับอุปกรณ์ต่าง ๆ ได้มากมาย
- 6 สามารถโอนย้ายข้อมูลระหว่างโปรแกรมได้ง่าย

### 5.3.2 ส่วนประกอบของ Windows

ส่วนประกอบของ Windows มีดังนี้

- 1 คอนโทรลเมนู (Control Menu) จะอยู่ทางมุมด้านซ้ายของแต่ละหน้าต่างคอนโทรลเมนูจะเป็นเมนูที่เก็บออปชั่นของการย่อขยายเปิดปิด และเคลื่อนย้ายหน้าต่าง ผู้ใช้สามารถใช้เมาส์คลิกเพื่อเลือกออปชั่นตามต้องการได้
- 2 ไตเติลบาร์ (Title Bar) ส่วนนี้ทำหน้าที่แสดงชื่อของแอปพลิเคชันหรือชื่อไฟล์ ถ้าหากว่าเปิดหน้าต่างขึ้นพร้อมกันหลาย ๆ หน้าต่าง แอปพลิเคชันที่ทำงาน (Active) ไตเติลบาร์ของหน้าต่างนั้นจะมีสี หรือความเข้มแตกต่างไปจากไตเติลบาร์หน้าต่างอื่น ๆ
- 3 หน้าต่างไตเติล (Window Title) เป็นรายชื่อที่ปรากฏที่ไตเติลบาร์ ชื่อที่แสดงจะขึ้นอยู่กับชนิดของหน้าต่างที่ปรากฏอยู่ในขณะนั้น หน้าต่างไตเติลสามารถเป็นได้ ทั้งชื่อของแอปพลิเคชัน ชื่อเอกสาร ชื่อกรุป ชื่อไดเรกทอรี หรือชื่อไฟล์ และหากว่าเอกสารใดที่เปิดขึ้นมาแล้วยังไม่ได้ทำการเซฟก็จะปรากฏข้อความว่า (Untitled) อยู่บนหน้าต่างไตเติล

เอกสารนี้เป็นเอกสารที่สงวนไว้สำหรับการใช้งานเพื่อการศึกษาเท่านั้น ไม่อนุญาตให้นำไปใช้ประโยชน์ด้านการค้า ไม่ว่ากรณีใดๆทั้งสิ้น อีกทั้งห้ามมิให้ดัดแปลงเนื้อหา และต้องอ้างอิงถึงเจ้าของเอกสารทุกครั้งที่มีการนำไปใช้

- 4 เมนูบาร์ (Menu Bar) ส่วนนี้จะแสดงรายการเมนูของโปรแกรม ในแต่ละเมนูจะมีรายการคำสั่งที่ผู้ใช้จะสามารถเลือกใช้กับระบบ Windows 95 ได้
- 5 สกอลล์บ็อกซ์ (Scroll Box) เป็นแท่งสี่เหลี่ยมในทกอลล์บาร์ เพื่อไว้ใช้เลื่อนบรรทัดขึ้นลงในหน้าต่าง
- 6 ปุ่มย่อขยาย (Maximize and Minimize Button) ปุ่มนี้จะอยู่ทางด้านขวาบนของหน้าต่าง ปุ่มขยายจะมีสัญลักษณ์เป็นหัวลูกศรชี้ขึ้น เมื่อคลิกที่ปุ่มนี้หน้าต่าง ๆ จะทำการขยายเต็มพื้นที่เดสก์ทอป สำหรับปุ่มย่อจะมีสัญลักษณ์เป็นลูกศรชี้ลง เมื่อคลิกที่ปุ่มนี้ หน้าต่างจะทำการลดขนาดหน้าต่างเป็นไอคอน
- 7 ขอบหน้าต่าง (Windows Bander) คือ ขอบบนสุดของหน้าต่าง ซึ่งผู้ใช้สามารถที่จะทำให้ขอบแต่ละด้านของหน้าต่างมีขนาดยาวขึ้นหรือสั้นก็ได้
- 8 มุมหน้าต่าง (Windows Corner) คือมุมทั้งสี่ของหน้าต่าง ซึ่งสามารถที่จะใช้ย่อหรือขยายของด้านสองด้านที่อยู่ติดกับมุมของหน้าต่างได้พร้อมกัน
- 9 เคอร์เซอร์เลือก (Selection Cursor) จะมีลักษณะเป็นตัว I-beam ผู้ใช้สามารถใช้เมาส์พอยน์เตอร์กำหนดจุดของเคอร์เซอร์เลือกได้ เคอร์เซอร์เลือกนี้ จะปรากฏอยู่ในโหมดอิติตของแอปพลิเคชันเท่านั้น
- 10 เมาส์พอยน์เตอร์ (Mouse Pointer) ถ้าผู้ใช้มีการติดตั้งเมาส์ใช้กับ Windows ด้วย เมื่อรัน Windows เมาส์พอยน์เตอร์จะแสดงขึ้นมาที่เดสก์ทอป ลักษณะของเมาส์พอยน์เตอร์จะเป็นหัวลูกศรสีขาว หางลูกศรเอนไปทางด้านขวาล่าง และ เมื่อผู้ใช้ทำการขยับเมาส์ ตำแหน่งของเมาส์พอยน์เตอร์บนจอภาพก็จะขยับตามไปด้วยในทิศทางเดียวกัน

### 5.3.3 ชนิดของหน้าต่าง

หน้าต่างใน Windows มีอยู่ 2 ชนิด คือ

- 1 หน้าต่างแอปพลิเคชัน ที่รันภายใต้ Windows อย่างน้อยที่สุดจะต้องมีหน้าต่างเป็นของตนเองหน้าต่างหนึ่ง แอปพลิเคชันหลาย ๆ ตัวก็มีหน้าต่างย่อยในหน้าต่างแอปพลิเคชันหลักอีก
- 2 หน้าต่างกรุป เป็นหน้าต่างที่เก็บไอคอนโปรแกรม หน้าต่างกรุปถ้าเปรียบกับระบบไฟล์ของ Dos เพื่อให้เข้าใจได้ง่ายขึ้น ก็คือ ไดรกทอรีนั่นเอง หน้าต่างกรุปนี้จะสังเกตได้ง่ายตรงที่หน้าต่างนี้จะไม่มีเมนูบาร์

### 5.3.4 ชนิดของไอคอน

ไอคอน คือ สัญลักษณ์ภาพขนาดเล็ก ซึ่งใช้แทนความหมายของแอปพลิเคชันไฟล์หรือไดเรกทอรี ไอคอนจะมีอยู่ 4 ชนิด สามารถแบ่งชนิดได้ดังนี้

- 1 แอปพลิเคชันไอคอน จะแทนถึงแอปพลิเคชันที่กำลังรันอยู่เป็นแบล็คกราวด์ โดยถูกลดรูปจากหน้าต่างเป็นไอคอน
- 2 กรุปไอคอน จะแทนถึงหน้าต่างกรุปที่เก็บไอคอนโปรแกรม แล้วถูกลดรูปมาเป็นไอคอน
- 3 โปรแกรมไอเท็มไอคอน (ไอคอนโปรแกรม) โปรแกรมไอเท็มไอคอนนี้เป็นตัวแทนของแอปพลิเคชันไอคอนที่ผู้ใช้จะเริ่มรัน ผู้ใช้สามารถทำการเคลื่อนย้าย หรือก๊อปปี้โปรแกรมไอเท็มไอคอนจากหน้าต่างกรุปหนึ่งไปยังอีกกรุปหนึ่งได้
- 4 ด็อกคิวเมนต์ไอคอน จะแทนถึงไอคอนที่เก็บข้อมูลของแอปพลิเคชันแล้วถูกลดรูปมาเป็นไอคอน ด็อกคิวเมนต์ไอคอนจะอยู่ภายในหน้าต่างของแอปพลิเคชัน

### 5.3.5 การใช้เมาส์

การใช้เมาส์จะมีฟังก์ชันใช้งานอยู่เพียง 4 แบบ คือ

- 1 การคลิกทำได้โดย กดปุ่มเมาส์หนึ่งครั้ง ผลที่ได้คือ จะเลื่อนไปโฟกัสที่ออบเจกต์ที่ถูกคลิก
- 2 ดับเบิลคลิก ทำได้โดย กดปุ่มเมาส์เร็ว ๆ สองครั้ง ผลที่ได้คือ เอ็กซีคิว คำสั่งที่ออบเจกต์นั้น
- 3 การลาก ทำได้โดย กดปุ่มเมาส์ที่ออบเจกต์ค้างไว้แล้วเลื่อนไปมาผลที่ได้คือ เลื่อนออบเจกต์ตามทิศทางของเมาส์
- 4 การลากแล้ววาง (drag and drop) ทำได้โดย ลากออบเจกต์แล้วปล่อยปุ่มเมาส์ ผลที่ได้ คือลากออบเจกต์จากที่หนึ่งไปวางยังอีกออบเจกต์หนึ่งเพื่อให้เกิดการกระทำ

### หมายเหตุ

- คำว่า “Windows” หมายถึง ระบบ Microsoft Windows ทั้งหมด
- คำว่า “หน้าต่าง” หมายถึง กรอบสี่เหลี่ยมของโปรแกรมบน Windows ที่ประกอบด้วยเมนู เป็นไตเติลบาร์ เป็นต้น
- คำว่า “แอคทีฟ” (active) หมายถึง โปรแกรมกำลังทำงานในหน้าต่างแรก(เรียกอีกอย่างหนึ่งว่า ทำงานในโฟร์กราวด์) ทุกแอปพลิเคชันที่เปิดขึ้นมาใน Windows จะ

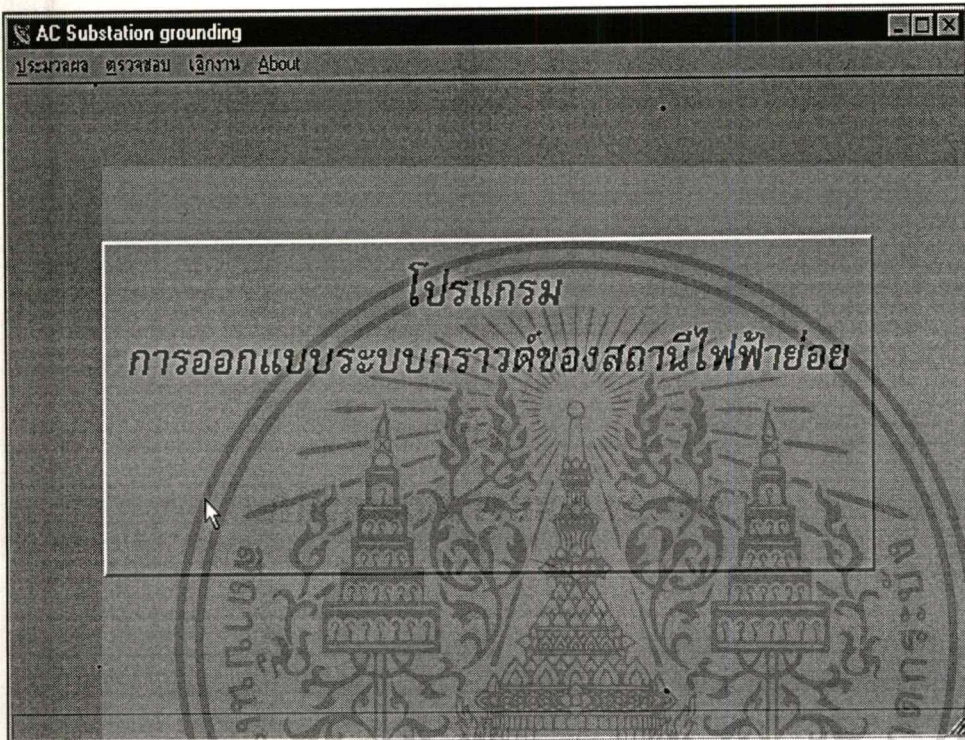
เอกสารนี้เป็นเอกสารที่สงวนไว้สำหรับการใช้งานเพื่อการศึกษาเท่านั้น ไม่อนุญาตให้นำไปใช้ประโยชน์ด้านการค้า  
ไม่ว่ากรณีใดทั้งสิ้น อีกทั้งห้ามมิให้ดัดแปลงเนื้อหา และต้องอ้างอิงถึงเจ้าของเอกสารทุกครั้งที่มีการนำไปใช้

มีเพียงแอปพลิเคชันเดียวเท่านั้นที่ทำงานในโฟว์กราวด์นอกนั้นจะทำงานในแบล็คกราวด์ทั้งหมดสิ่งที่สีของ ไตเติลบาร์ที่มีสีหรือความเข้มกว่า ไตเติลบาร์ของแอปพลิเคชัน



เอกสารนี้เป็นเอกสารที่สงวนไว้สำหรับการใช้งานเพื่อการศึกษาเท่านั้น ไม่อนุญาตให้นำไปใช้ประโยชน์ด้านการค้า  
ไม่ว่ากรณีใดๆทั้งสิ้น อีกทั้งห้ามมิให้ดัดแปลงเนื้อหา และต้องอ้างอิงถึงเจ้าของเอกสารทุกครั้งที่มีการนำไปใช้

#### 5.4 แสดงหน้าต่างการออกแบบระบบกราวด์ของสถานีไฟฟ้าย่อย เริ่มต้น Computer-Aided Design for Substation Grounding

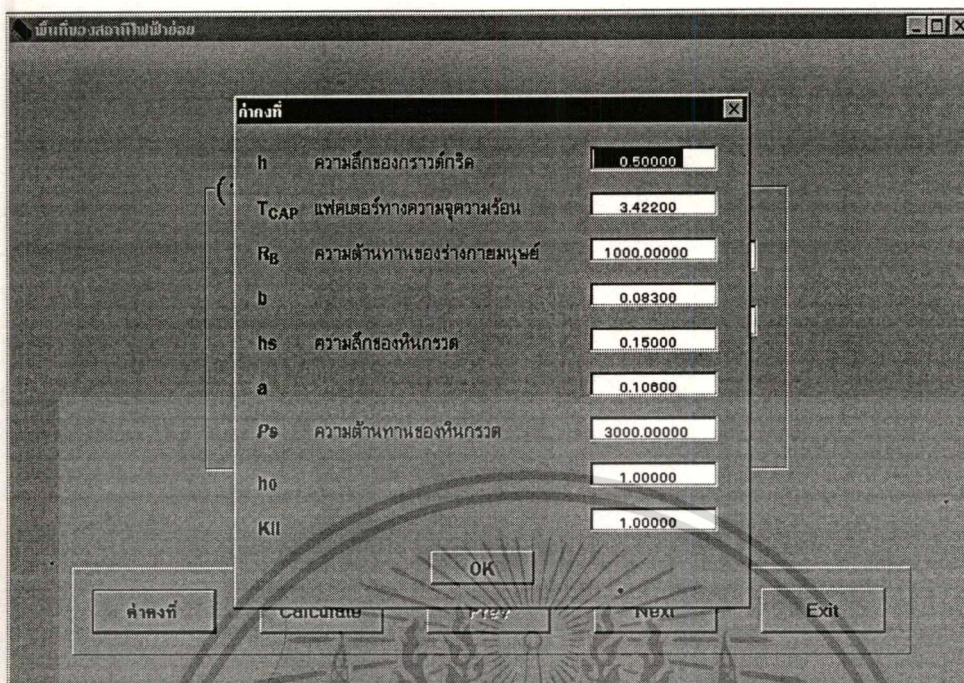


รูปที่ 26 แสดงหน้าต่างหลักของโปรแกรม

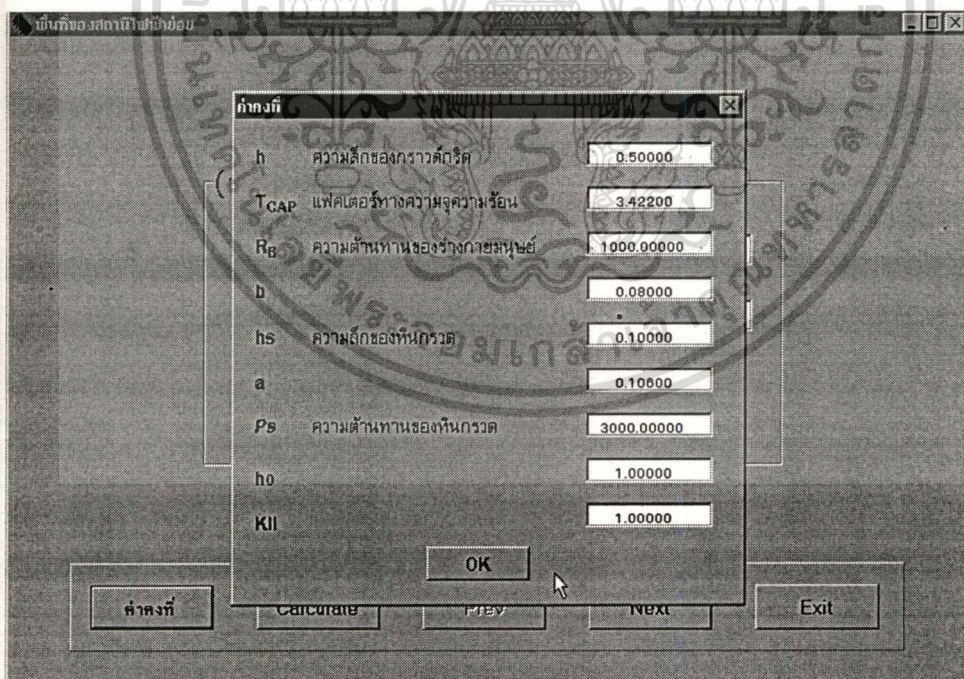
ประกอบด้วย

- ไตเติลบาร์ AC Substation Grounding
- ปุ่มประมวลผล คือปุ่มที่ต้องการเข้าสู่โปรแกรม AC Substation
- ปุ่มตรวจสอบ คือปุ่มที่ต้องการตรวจสอบโปรแกรม
- เลิกงาน คือปุ่มที่ต้องการออกจากโปรแกรม
- About คือปุ่มที่จะแสดงรายละเอียดเกี่ยวกับโปรแกรม

หมายเหตุ ทุกปุ่มจะใช้เมาส์เป็นตัวคลิก



รูปที่ 27 แสดงหน้าต่างค่าคงที่ต่าง ๆ ในกรณีคิดผลของการโรยหินกรวด



รูปที่ 28 แสดงหน้าต่างค่าคงที่ต่าง ๆ ในกรณีเพิ่มแผ่นพลาสติก

เป็นการแสดงค่าคงที่ของโปรแกรม สามารถเปลี่ยนแปลงได้ เมื่อต้องการใช้ค่า  
 เอกสารนี้เป็นเอกสารที่สงวนไว้สำหรับการใช้งานเพื่อการศึกษาเท่านั้น ไม่นุญาตให้นำไปใช้ประโยชน์ด้านการค้า  
 อื่น ที่นอก เหนือจากตาราง  
 ไม่ว่าจะกรณีใดๆทั้งสิ้น อีกทั้งห้ามมิให้ดัดแปลงเนื้อหา และต้องอ้างอิงถึงเจ้าของเอกสารทุกครั้งที่มีการนำไปใช้

พื้นที่ของสถานีไฟฟ้าย่อย

(1) พื้นที่ของสถานีไฟฟ้าย่อย

ความกว้างของสถานีไฟฟ้าย่อย (เมตร)

ความยาวของสถานีไฟฟ้าย่อย (เมตร)

พื้นที่ =  (ตารางเมตร)

รูปที่ 29 แสดงหน้าต่างการคำนวณหาพื้นที่ของสถานีไฟฟ้าย่อย

ประกอบด้วย

- ไตเติลบาร์                      ประมวลผลข้อมูล
- ข้อมูลที่ผู้ใช้ต้องเติม        คือความกว้าง และความยาวของสถานีไฟฟ้าย่อย
- ค่าคงที่                            คือปุ่มที่แสดงค่าคงที่ต่าง ๆ ที่จะต้องใช้ในการคำนวณทุก ๆ สูตรซึ่งสามารถเปลี่ยนแปลงค่าได้ ถ้าต้องการเปลี่ยนแปลงค่าให้ใช้เมาส์คลิกไปที่ ปุ่มค่าคงที่
- **Calculate**                        คือปุ่มที่ใช้ในการ      ประมวลผลเมื่อ ใช้เมาส์คลิกที่ปุ่ม Calculate ผลลัพธ์จะปรากฏที่ช่อง พื้นที่ มีหน่วยเป็นตารางเมตร
- **Prev**                                คือปุ่มย้อนการทำงานกลับไปหน้าจอต่างที่ผ่านมา
- **Next**                                คือปุ่มที่จะเข้าไปที่ การคำนวณในหน้าต่างถัดไป
- **Exit**                                 คือปุ่มออกจากการทำงานของการคำนวณ และ กลับไปที่ หน้าต่างหลักของโปรแกรม

เอกสารนี้เป็นเอกสารที่สงวนไว้สำหรับการใช้งานเพื่อการศึกษาเท่านั้น ไม่อนุญาตให้นำไปใช้ประโยชน์ด้านการค้า ไม่ว่าจะกรณีใดๆทั้งสิ้น อีกทั้งห้ามมิให้ดัดแปลงเนื้อหา และต้องอ้างอิงถึงเจ้าของเอกสารทุกครั้งที่มีการนำไปใช้

## (2) ความต้านทานจำเพาะของดิน

เลือกสูตรคำนวณ

 สูตรที่ 1 สูตรที่ 2ความลึกของอิเล็คโทรด (เมตร) 

ITEM	ระยะห่าง	ความต้านทาน	ความต้านทานจำเพาะ
1	0.50	4.10	12.8805
2	1.00	2.30	14.4513
3	2.00	1.20	15.0798
4	5.00	0.40	12.5684
ITEM	ระยะห่าง	ความต้านทาน	ความต้านทานจำเพาะ
5	10.00	0.10	6.2832
6	15.00	0.05	4.7124
7	0.50	5.88	18.4726
8	1.00	2.97	18.6611
ITEM	ระยะห่าง	ความต้านทาน	ความต้านทานจำเพาะ
9	2.00	1.20	15.0798
10	5.00	0.36	11.3097
11	10.00	0.12	7.5398
12	15.00	0.04	3.7699
ITEM	ระยะห่าง	ความต้านทาน	ความต้านทานจำเพาะ
13	0.50	5.88	18.4726
14	1.00	2.50	15.7080
15	2.00	1.15	14.4513
16	5.00	0.37	11.6239
ITEM	ระยะห่าง	ความต้านทาน	ความต้านทานจำเพาะ
17	10.00	0.15	9.4248
18	15.00	0.07	6.5973
19	0.50	5.70	17.9071
20	1.00	2.58	16.2106
ITEM	ระยะห่าง	ความต้านทาน	ความต้านทานจำเพาะ
21	2.00	0.96	12.0637
22	5.00	0.28	8.7965
23	10.00	0.15	9.4248
24	15.00	0.06	5.6549
ITEM	ระยะห่าง	ความต้านทาน	ความต้านทานจำเพาะ
25	0.50	4.15	13.0376
26	1.00	2.00	12.5684
27	2.00	0.87	10.9327
28	5.00	0.42	13.1947

เอกสารสิทธิ์สงวนไว้สำหรับครูใช้งานเพื่อการศึกษาเฉพาะ ไม่อนุญาตให้... ษณ์ด้านการค้า

ไม่ว่ากรณีใดๆทั้งสิ้น อีกทั้งห้ามมิให้ดัดแปลงเนื้อหา และต้องอ้างอิงถึงเจ้าของเอกสารทุกครั้งที่มีการนำไปใช้

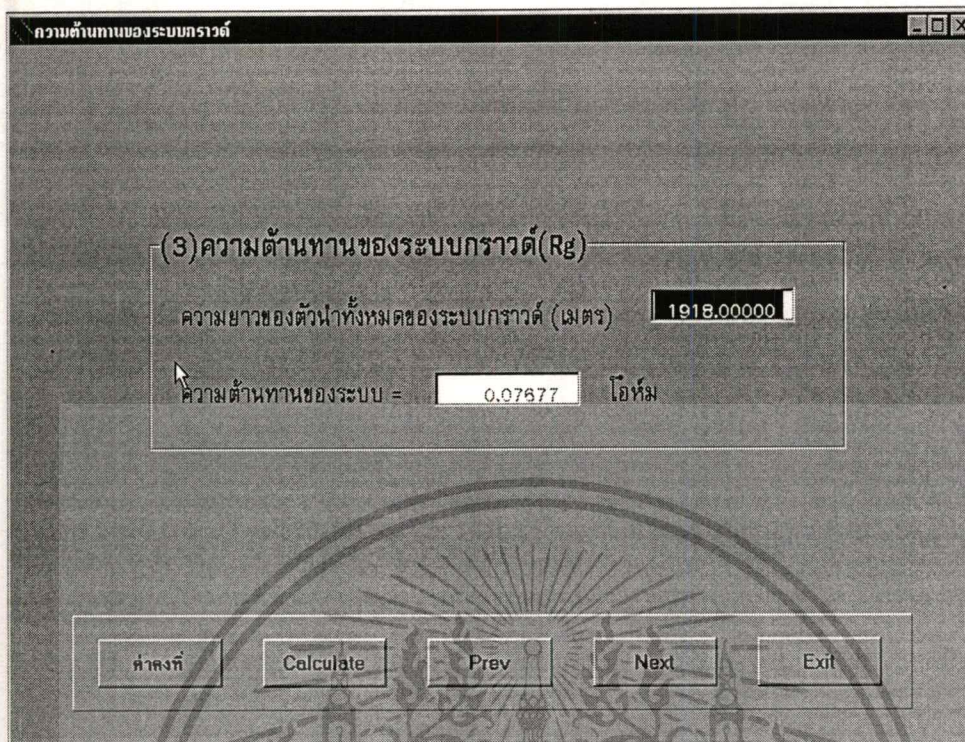
29	10.00	0.15	9.4248
30	15.00	0.05	4.7124

ค่าความต้านทานจำเพาะของดินเฉลี่ย =  (โอห์ม-เมตร)

### รูปที่ 30 แสดงหน้าต่างการคำนวณหาความต้านทานจำเพาะของดิน

ประกอบด้วย

- ไตเติลบาร์                      ความต้านทานจำเพาะของดิน
- สูตรการคำนวณ                มีอยู่ 2 สูตรให้เลือก
- เลือกสูตรการคำนวณ        คือการเลือกสูตรมาใช้ในการคำนวณซึ่งขึ้นอยู่กับผู้ออกแบบว่าจะเลือกใช้กรณีใด
- ข้อมูลที่ผู้ใช้ต้องเติม        คือช่องค่าความต้านทานที่วัดได้, ระยะห่างระหว่างอิเล็กโทรดข้างเคียงที่อยู่ติดกัน และความลึกของอิเล็กโทรด
- ค่าคงที่                            คือปุ่มที่แสดงค่าคงที่ต่าง ๆ ที่จะต้องใช้ในการคำนวณทุก ๆ สูตร ซึ่งสามารถเปลี่ยนแปลงค่าได้ ถ้าต้องการเปลี่ยนแปลงค่าให้ใช้เมาส์คลิกไปที่ ปุ่มค่าคงที่
- Calculate                        คือปุ่มที่ใช้ในการ ประมวลผล เมื่อ ใช้เมาส์คลิกที่ปุ่ม Calculate ผลลัพธ์จะปรากฏที่ช่องค่าความต้านทานจำเพาะของดิน มีหน่วยเป็น โอห์ม-เมตร
- Prev                                คือปุ่มย้อนการทำงานกลับไปหน้าจอที่ผ่านมา
- Next                                คือปุ่มที่จะเข้าไปที่ การคำนวณในหน้าต่างถัดไป
- Exit                                 คือปุ่มออกจากการทำงานของโปรแกรม และ กลับไปที่ หน้าต่างหลักของ โปรแกรม



### รูปที่ 31 แสดงหน้าต่างการคำนวณหาความต้านทานของระบบกราวด์

ประกอบด้วย

- ไรต์เทิลบาร์ ความต้านทานของระบบกราวด์
- ข้อมูลที่ผู้ใช้ต้องเติม คือช่องความยาวของตัวนำทั้งหมด
- ค่าคงที่ คือปุ่มที่แสดงค่าคงที่ต่าง ๆ ที่จะต้องใช้ในการคำนวณทุก ๆ สูตรซึ่งสามารถ เปลี่ยนแปลงค่าได้ ถ้าต้องการเปลี่ยนแปลงค่าให้ใช้เมาส์คลิกไปที่ ปุ่มค่าคงที่
- Calculate คือปุ่มที่ใช้ในการ ประมวลผล เมื่อ ใช้เมาส์คลิกที่ปุ่ม Calculate ผลลัพธ์จะปรากฏที่ช่องความต้านทานของระบบกราวด์มีหน่วยเป็นโอห์ม
- Prev คือปุ่มย้อนการทำงานกลับไปทำหน้าที่ผ่านมา
- Next คือปุ่มที่จะเข้าไปที่ การคำนวณในหน้าต่างถัดไป
- Exit คือปุ่มออกจากการทำงานของการคำนวณและกลับไป หน้าต่างหลักของโปรแกรม

ขนาดตัวนำกริด

(4) การหาขนาดตัวนำกริด

I กระแสลัดวงจรลงดินเป็นค่า rms (KA)	50.00000
T <sub>n</sub> อุณหภูมิสูงสุดที่ยังไม่หลอมละลาย (°C)	700.00000
T <sub>a</sub> อุณหภูมิรอบด้านหรืออุณหภูมิของสิ่งแวดล้อม (°C)	40.00000
α <sub>r</sub> สัมประสิทธิ์อุณหภูมิของความต้านทานที่อุณหภูมิ Tr	0.00393
P <sub>r</sub> ความต้านทานจำเพาะของตัวนำที่อุณหภูมิ Tr	1.72410
T <sub>c</sub> เวลาที่กระแสไหลของกระแสลัดวงจร (วินาที)	0.60000

Ko = 234   
 Ko = < 1/α<sub>o</sub> >   
 Ko = < 1/α<sub>o</sub> > - Tr

พื้นที่หน้าตัดของตัวนำใช้ทำกริด =  (ตารางมิลลิเมตร)

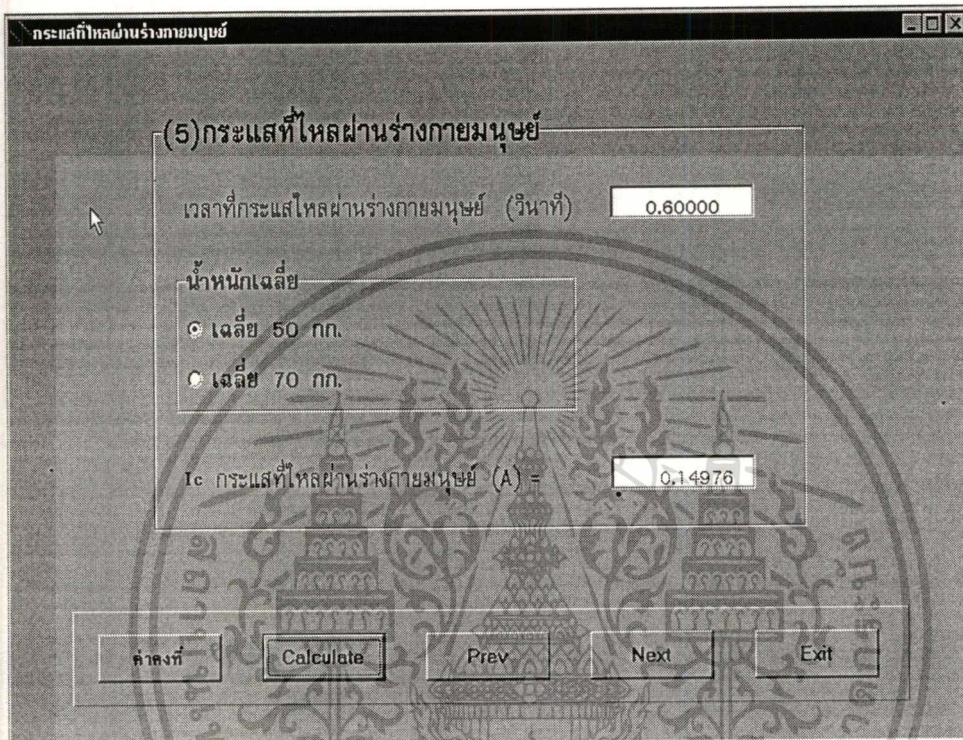
### รูปที่ 32 แสดงหน้าต่างการคำนวณหาขนาดของตัวนำกริด

ประกอบด้วย

- ไตเติลบาร์ ขนาดตัวนำกริด
- ข้อมูลที่ผู้ใช้ต้องเติม
  1. กระแสลัดวงจรลงดินเป็นค่า rms : (KA)
  2. อุณหภูมิสูงสุดที่ยังไม่หลอมละลาย : (°C)
  3. อุณหภูมิรอบด้านหรืออุณหภูมิของสิ่งแวดล้อม (°C)
  4. สัมประสิทธิ์อุณหภูมิของความต้านทานที่อุณหภูมิ Tr
  5. ความต้านทานจำเพาะของตัวนำที่อุณหภูมิ Tr
  6. เวลาที่กระแสไหลของกระแสลัดวงจร : (sec)
  7. ค่าคงที่ Ko สามารถเลือกใช้ได้ 3 กรณีแล้วแต่ผู้ออกแบบ
- ค่าคงที่ คือปุ่มที่แสดงค่าคงที่ต่าง ๆ ที่จะต้องใช้ในการคำนวณทุก ๆ สูตร ซึ่งสามารถเปลี่ยนแปลงค่าได้ ถ้าต้องการเปลี่ยนแปลงค่าให้ใช้เมาส์คลิกไปที่ ปุ่มค่าคงที่
- Calculate คือปุ่มที่ใช้ในการประมวลผล เมื่อใช้เมาส์คลิกที่ปุ่ม Calculate ผลลัพธ์

เอกสารนี้เป็นเอกสารที่สงวนจะปรากฏที่ชื่อขนาดของตัวนำกริด มีหน่วยเป็น ตารางมิลลิเมตร  
 ไม่ว่าจะกรณีใด **Prev** อีกที คือปุ่มย้อนการทำงานกลับไปที่หน้าต่างที่ผ่านมา เอกสารทุกครั้งที่มีการนำไปใช้

- **Next** คือปุ่มที่จะเข้าไปที่ การคำนวณในหน้าต่างถัดไป
- **Exit** คือปุ่มออกจากการทำงานของโปรแกรมและกลับไปหน้าต่างหลักของโปรแกรม



รูปที่ 33 แสดงหน้าต่างการคำนวณหากระแสที่ไหลผ่านร่างกายมนุษย์

ประกอบด้วย

- ไตเดิลบาร์ กระแสที่ไหลผ่านร่างกายมนุษย์
- ข้อมูลที่ผู้ใช้ต้องเติม
  1. เวลาที่กระแสลัดวงจรไหลผ่านร่างกายมนุษย์ : (วินาที)
  2. เลือกใช้น้ำหนักเฉลี่ย 50 กก. และ 70 กก. แล้วแต่ผู้ออกแบบ
- ค่าคงที่ คือปุ่มที่แสดงค่าคงที่ต่าง ๆ ที่จะต้องใช้ในการคำนวณทุก ๆ สูตร ซึ่งสามารถเปลี่ยนแปลงค่าได้ ถ้าต้องการเปลี่ยนแปลงค่าให้ใช้เมาส์คลิกไปที่ ปุ่มค่าคงที่
- **Calculate** คือปุ่มที่ใช้ในการประมวลผล เมื่อใช้เมาส์คลิกที่ปุ่ม Calculate ผลลัพธ์จะปรากฏที่ช่องกระแสที่ไหลผ่านร่างกายมนุษย์ มีหน่วยเป็น แอมแปร์

เอกสารนี้เป็นเอกสารที่สงวนลิขสิทธิ์ การนำข้อมูลไปใช้โดยไม่ได้รับอนุญาตถือว่าผิดกฎหมาย การนำข้อมูลไปใช้โดยไม่ได้รับอนุญาตถือว่าผิดกฎหมาย การนำข้อมูลไปใช้โดยไม่ได้รับอนุญาตถือว่าผิดกฎหมาย

- Next      คือปุ่มที่จะเข้าไปที่ การคำนวณ ในหน้าต่างถัดไป
- Exit      คือปุ่มออกจากการทำงานของกรคำนวณและกลับไปหน้าต่างหลัก  
ของโปรแกรม

(6) ความต้านทานรวม

กรณีปกติ  
 ค่า  $\beta = 0.083$   
 ค่า  $\beta \# 0.083$  ระยะห่างระหว่างเท้า - เท้า  เมตร

กรณีที่คิดผลของการโรยหินกรวด จะใช้แพคเตอร์ลิต (C) มาคูณด้วย

กรณีที่คิดผลของการโรยหินกรวด + คิดผลเนื่องจากมีระบบกราวด์ฝังอยู่ในดิน

กรณีที่เพิ่มแผ่นพลาสติก      ระยะห่างระหว่างเท้า - เท้า

K แพคเตอร์ลิตของ  $F(x) =$        ความยาวของแผ่นพลาสติก

$F(x1) =$        ความสูงจากผิวหน้าดินถึงแผ่นพลาสติก

$F(x2) =$        รัศมีของกราวด์ร็อด

RTS ความต้านทานรวมที่โหลระหว่างเท้า - เท้า =  โอห์ม

RTP ความต้านทานรวมที่โหลระหว่างมือ - เท้า =  โอห์ม

ค่าคงที่      Calculate      Prev      Next      Exit

รูปที่ 34 แสดงหน้าต่างการคำนวณหาค่าความต้านทานรวม ในกรณีคิดผลของการโรยหินกรวด

ความต้านทานรวม

(6) ความต้านทานรวม

กรณีปกติ  
 ค่า  $b = 0.083$   
 ค่า  $b \# 0.083$  ระยะห่างระหว่างเท้า - เท้า  เมตร

กรณีที่คิดผลของการโรยหินกรวด จะใช้แฟกเตอร์ลด (c) มาคูณด้วย

กรณีที่คิดผลของการโรยหินกรวด + คิดผลเนื่องจากมีระบบกรวดฝังอยู่ในดิน

กรณีที่เพิ่มแผ่นพลาสติก

ระยะห่างระหว่างเท้า - เท้า

K แฟกเตอร์ของ  $F(x) =$   ความยาวของแผ่นพลาสติก

$F(x1) =$   ความสูงจากผิวหน้าดินถึงแผ่นพลาสติก

$F(x2) =$   รัศมีของกรวดหรือด

RTS ความต้านทานรวมที่ไหล่ระหว่างเท้า - เท้า =  โอห์ม

RTP ความต้านทานรวมที่ไหล่ระหว่างมือ - เท้า =  โอห์ม

ค่าคงที่ Calculate Prev Next Exit

รูปที่ 35 แสดงหน้าต่างการคำนวณหาค่าความต้านทานรวม ในกรณีเพิ่มแผ่นพลาสติก

ประกอบด้วย

- ใต้เดิลบาร์ ความต้านทานรวม

- ข้อมูลที่ผู้ใช้ต้องเติม

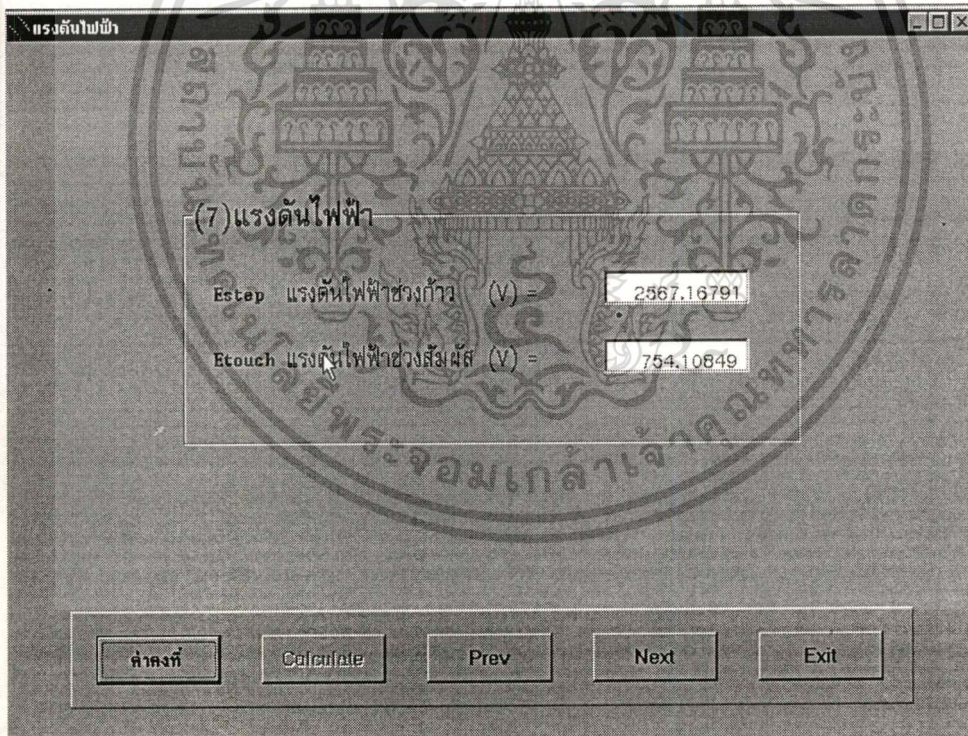
1. ในกรณีปกติ คือ ไม่คิดผลของการ โรยหินกรวด
  - 1.1 ค่ารัศมีของแผ่นโลหะกลม (b) สามารถเลือกใช้ค่า (b) เท่ากับ 0.083 หรือค่า (b) ไม่เท่ากับ 0.083
2. ในกรณีที่คิดผลของการ โรยหินกรวด จะใช้แฟกเตอร์ลด มาคูณด้วย
3. ในกรณีที่คิดผลของการ โรยหินกรวดและ คิดผลเนื่องจากมีระบบกรวดฝังอยู่ในดิน
4. กรณีที่เพิ่มแผ่นพลาสติก
  - 4.1 K แฟกเตอร์ของ  $F(X)$
  - 4.2  $F(X1)$
  - 4.3  $F(X2)$
  - 4.4 ระยะห่างระหว่างเท้า-เท้า

เอกสารนี้เป็นเอกสารที่สงวนลิขสิทธิ์ของโรงเรียนเพื่อการศึกษาเท่านั้น ไม่อนุญาตให้นำไปใช้ประโยชน์ด้านการค้า

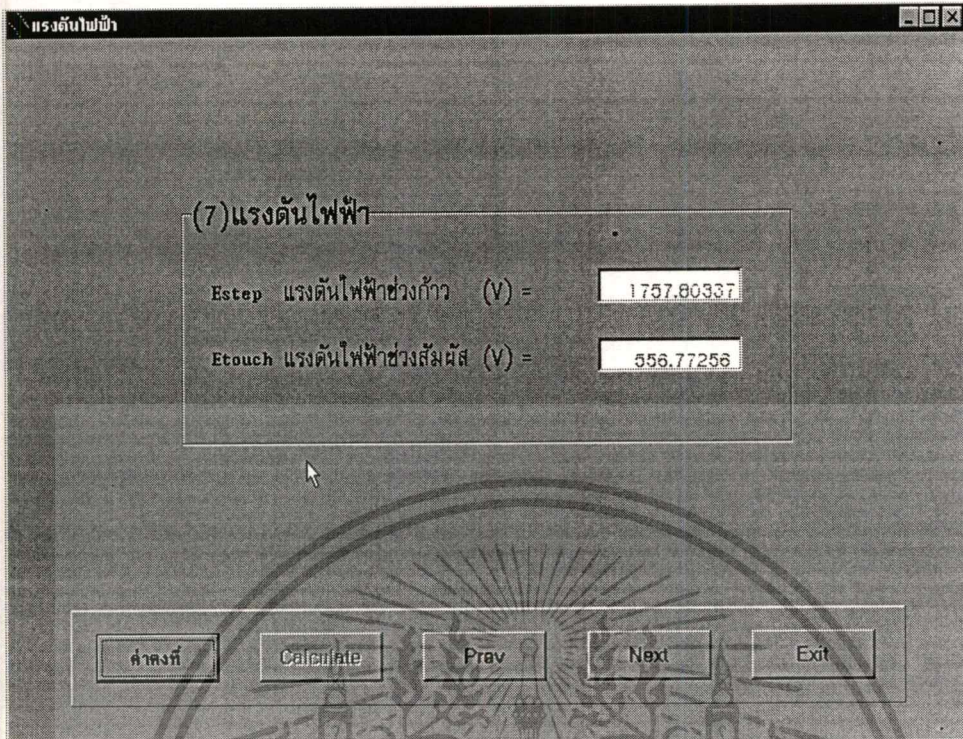
ไม่ว่ากรณีใดๆทั้งสิ้น ขอสงวนสิทธิ์ในสิ่งที่ปรากฏและไม่รับผิดชอบต่อเจ้าของเอกสารทุกครั้งที่มีการนำไปใช้

#### 4.7 รัศมีของกราวด์รีด

- **ค่าคงที่** คือปุ่มที่แสดงค่าคงที่ต่าง ๆ ที่จะต้องใช้ในการคำนวณทุก ๆ สูตร ซึ่งสามารถเปลี่ยนแปลงค่าได้ ถ้าต้องการเปลี่ยนแปลงค่าให้ใช้เมาส์คลิกไปที่ ปุ่มค่าคงที่
- **Calculate** คือปุ่มที่ใช้ในการประมวลผล เมื่อใช้เมาส์คลิกที่ปุ่ม Calculate ผลลัพธ์จะปรากฏที่ช่องความต้านทานรวมที่โหลระหว่างเท้า-เท้า และความต้านทานรวมที่โหลระหว่างเท้า-มือ มีหน่วยเป็นโอห์ม
- **Prev** คือปุ่มย้อนการทำงานกลับไปหน้าจอต่างที่ผ่านมา
- **Next** คือปุ่มที่จะเข้าไปที่ การคำนวณในหน้าต่างถัดไป
- **Exit** คือปุ่มออกจากการทำงานของกรคำนวณและกลับไปหน้าจอต่างหลักของโปรแกรม



**รูปที่ 36** แสดงหน้าต่างแรงดันไฟฟ้าในกรณีคิดผลของการรอยหินกรวด



รูปที่ 37 แสดงหน้าต่างแรงดันไฟฟ้าในกรณีเพิ่มแผ่นพลาสติก

ประกอบด้วย

- ไตเติลบาร์ แรงดันไฟฟ้า
- แสดงผล แรงดันไฟฟ้าช่วงก้าว และ แรงดันไฟฟ้าช่วงสัมผัสผลลัพธ์นี้เป็นผลต่อเนื่องที่ได้จากการคำนวณของการหาค่าความต้านทานรวมที่เท่า
- Prev คือปุ่มย้อนการทำงานกลับไปหน้าจอที่ผ่านมา
- Next คือปุ่มที่จะเข้าไปที่โปรแกรมหน้าต่างถัดไป
- Exit คือปุ่มออกจากการทำงานของโปรแกรม

กระแสกริดสูงสุด

(8) กระแสกริดสูงสุด (IG)

IG = 50000 แอมแปร์

IG = CpDfIg

Cp Corrective projection factor

Df Decrement factor for the entire duration of fault tf

(Ig) Symmetrical grid current

Ig = 50000 แอมแปร์

Ig = SIf

Sf Current division factor

If RMS. Symmetrical ground fault current

IG Maximum grid current (A) =

Grid Potential Rise (GPR) =

ค่าคงที่ Calculate Prev Next Exit

รูปที่ 38 แสดงหน้าต่างกระแสกริดสูงสุด

ประกอบด้วย

- ไตเติลบาร์ กระแสกริดสูงสุด
- ข้อมูลที่ผู้ใช้ต้องเติม
  1. Cp Corrective projection factor
  2. Df Decrement factor for the entire duration of fault tf
  3. Sf Current division factor
  4. If RMS. Symmetrical ground fault current
- Prev คือปุ่มย้อนการทำงานกลับไปหน้าจอที่ผ่านมา
- Next คือปุ่มที่จะเข้าไปที่ การคำนวณในหน้าต่างถัดไป
- Exit คือปุ่มออกจากการทำงานของการคำนวณและกลับไปหน้าจอหลักของโปรแกรม

Mash Voltage Factor / Step Voltage Factor

(9) Mesh Voltage Factor (Km)/Step Voltage Factor (Ks)

ก จำนวนตัวนำที่ขนานกันในทิศทางเดียวกัน  
 ไม่นับจำนวนตัวนำในภาคตัดขวาง

ด ระยะห่างระหว่างตัวนำที่ขนานกัน (เมตร)

ล เส้นผ่านศูนย์กลางของตัวนำ (เมตร)

Km Mesh Voltage Factor =

Ks Step Voltage Factor =

ค่าคงที่ Calculate Prev Next Exit

รูปที่ 39 แสดงหน้าต่างการหาค่าแฟคเตอร์

ประกอบด้วย

- ไคเดิลบาร์ Mesh Voltage / Step Voltage Factor
- ข้อมูลที่ผู้ใช้ต้องเติม
  1. จำนวนตัวนำที่ขนานกันในทิศทางเดียวกัน ไม่นับจำนวนในภาคตัดขวาง
  2. ระยะห่างระหว่างตัวนำที่ขนานกัน
  3. เส้นผ่านศูนย์กลางของตัวนำ
- ค่าคงที่ คือปุ่มที่แสดงค่าคงที่ต่าง ๆ ที่จะต้องใช้ในการคำนวณทุก ๆ สูตร ซึ่งสามารถ เปลี่ยนแปลงค่าได้ ถ้าต้องการเปลี่ยนแปลงค่าให้ใช้เมาส์คลิกไปที่ ปุ่มค่าคงที่
- Calculate คือปุ่มที่ใช้ในการประมวลผล เมื่อใช้เมาส์คลิกที่ปุ่ม Calculate ผลลัพธ์จะปรากฏที่ช่อง Mesh Voltage factor และ Step Voltage factor
- Prev คือปุ่มย้อนการทำงานกลับไปหน้าจอที่ผ่านมา
- Next คือปุ่มที่จะเข้าไปที่ การคำนวณในหน้าถัดถัดไป
- Exit คือปุ่มออกจากการทำงานของการคำนวณและกลับไปหน้าจอต่าง

เอกสารนี้เป็นเอกสารที่สงวนไว้สำหรับการใช้งานเพื่อการศึกษาเท่านั้น ไม่อนุญาตให้นำไปใช้ประโยชน์ด้านการค้า  
 หลักของโปรแกรม

ไม่ว่ากรณีใดๆทั้งสิ้น อีกทั้งห้ามมิให้คัดแปลงเนื้อหา และต้องอ้างอิงถึงเจ้าของเอกสารทุกครั้งที่มีการนำไปใช้

แรงดันไฟฟ้าแบบ / แรงดันไฟฟ้าช่วงก้าว

(10)แรงดันไฟฟ้าเมฆ/แรงดันไฟฟ้าช่วงก้าว

Nr จำนวนของของกราวด์รีด	57.00000
Lr ความยาวของกราวด์รีด	3.00000
Lc ความยาวของตัวนำที่ใช้ทำกริด	1747.00000
Em แรงดันไฟฟ้าเมฆ =	509.02980
Es แรงดันไฟฟ้าช่วงก้าว =	161.99025

ค่าคงที่    Calculate    Prev    Finish    Exit

รูปที่ 40 แสดงหน้าต่างการหาค่าแรงดันไฟฟ้าเมฆและแรงดันไฟฟ้าช่วงก้าว

ประกอบด้วย

- ไอคอนบาร์ แรงดันไฟฟ้าเมฆ/แรงดันไฟฟ้าช่วงก้าว
- ข้อมูลที่ผู้ใช้ต้องเติม
  1. จำนวนของกราวด์รีด
  2. ความยาวของกราวด์รีด
  3. ความยาวของตัวนำที่ใช้ทำกริด
- ค่าคงที่    คือปุ่มที่แสดงค่าคงที่ต่าง ๆ    ที่จะต้องใช้ในการคำนวณทุก ๆ สูตร ซึ่งสามารถเปลี่ยนแปลงค่าได้    ถ้าต้องการเปลี่ยนแปลงค่าให้ใช้เมาส์คลิกไปที่ ปุ่มค่าคงที่
- Calculate    คือปุ่มที่ใช้ในการประมวลผล    เมื่อใช้เมาส์คลิกที่ปุ่ม Calculate ผลลัพธ์จะปรากฏที่ช่องแรงดันไฟฟ้าเมฆ และ แรงดันไฟฟ้าช่วงก้าว
- Prev    คือปุ่มย้อนการทำงานกลับไปหน้าจอที่ผ่านมา
- Next    คือปุ่มที่จะเข้าไปที่ การคำนวณในหน้าต่างถัดไป

เอกสารนี้เป็นเอกสารที่สงวนไว้สำหรับการใช้งานเพื่อการศึกษาเท่านั้น ไม่อนุญาตให้นำไปใช้ประโยชน์ด้านการค้า ไม่ว่าจะกรณีใดๆทั้งสิ้น อีกทั้งห้ามมิให้ดัดแปลงเนื้อหา และต้องอ้างอิงถึงเจ้าของเอกสารทุกครั้งที่มีการนำไปใช้

- **Exit** คือปุ่มออกจากการทำงานของการคำนวณและกลับไปหน้าจอหลักของโปรแกรม

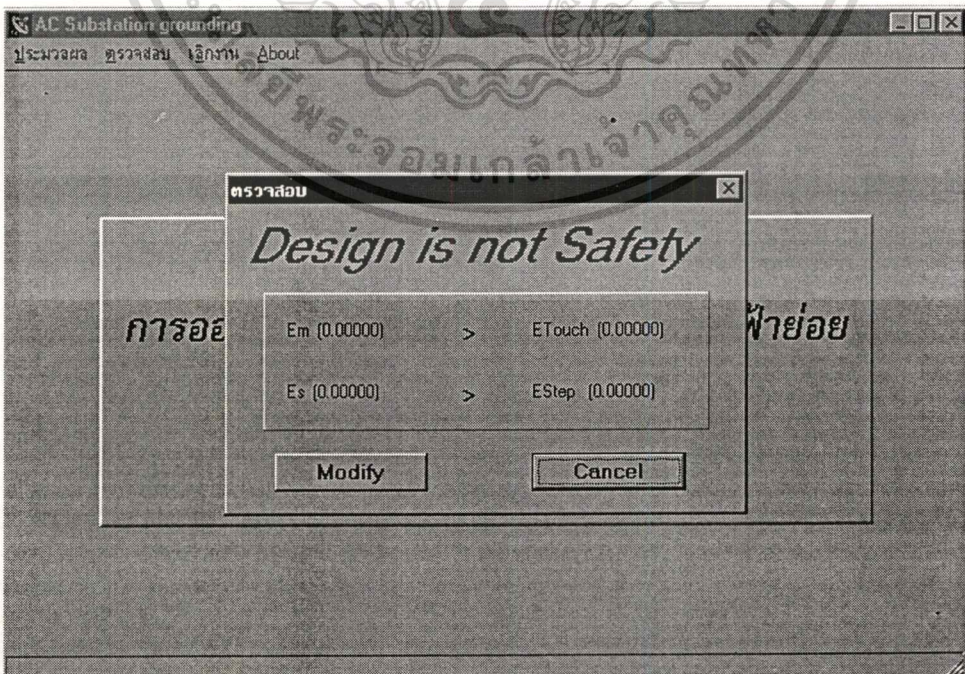


รูปที่ 41 แสดงหน้าต่างการตรวจสอบค่าสุดท้ายว่าปลอดภัย  
(ในกรณีคิดผลของการโรยหินกรวด)



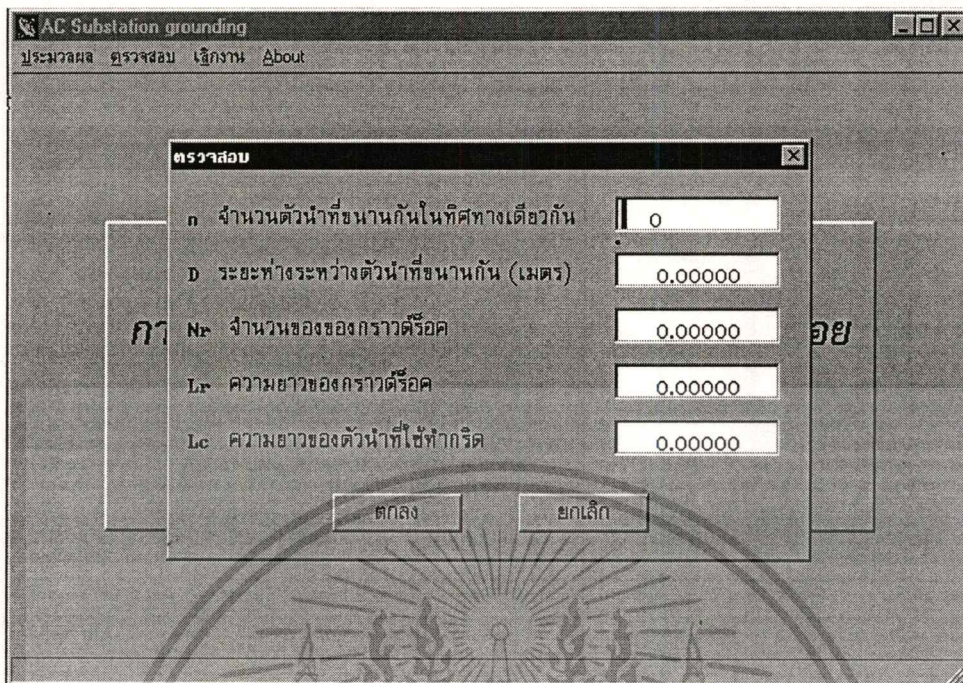
รูปที่ 42 แสดงหน้าต่างการตรวจสอบค่าสุดท้ายว่าปลอดภัย  
(ในกรณีเพิ่มแผ่นพลาสติก)

หน้าต่างนี้จะเป็นตัวตรวจสอบความถูกต้องของการออกแบบ ถ้าหากว่าการออกแบบที่ผ่านมาไม่ถูกต้อง หน้าต่างนี้จะปรากฏข้อความ “Design is not Safety” ดังรูปที่ 43



รูปที่ 43 แสดงหน้าต่างการตรวจสอบค่าสุดท้ายว่าไม่ปลอดภัย

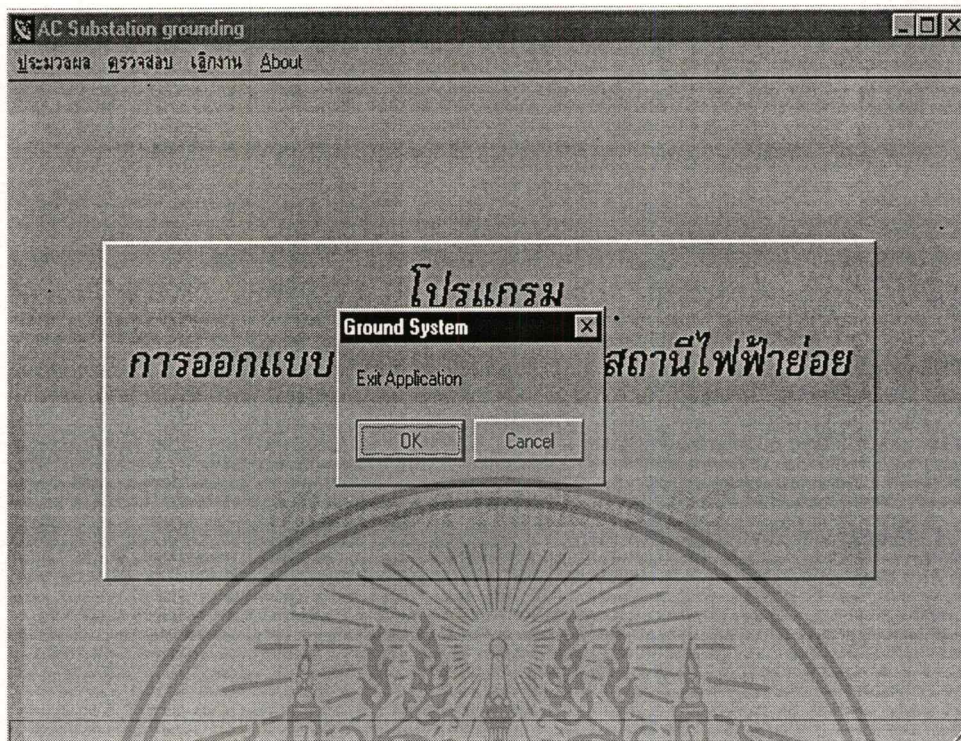
เอกสารนี้เป็นเอกสารที่สงวนไว้สำหรับการใช้งานเพื่อการศึกษาเท่านั้น ไม่อนุญาตให้นำไปใช้ประโยชน์ด้านการค้า  
ไม่ว่ากรณีใดๆทั้งสิ้น อีกทั้งห้ามมิให้ดัดแปลงเนื้อหา และต้องอ้างอิงถึงเจ้าของเอกสารทุกครั้งที่มีการนำไปใช้



**รูปที่ 44** แสดงหน้าต่างให้ใส่ค่าที่ต้องการเปลี่ยนแปลง  
(ในกรณีผลลัพธ์ที่ได้ไม่ปลอดภัย)

เมื่อการออกแบบข้างต้น ไม่มีความปลอดภัยจะมีการเปลี่ยนแปลงค่าต่างๆ เหล่านี้คือ

1. จำนวนตัวนำที่ขนานกันในทิศทางเดียวกัน
2. ระยะห่างระหว่างตัวนำที่ขนานกัน
3. จำนวนของกราวด์รีด
4. ความยาวของตัวนำที่ใช้ทำกริด



รูปที่ 45 แสดงหน้าต่างการออกจากโปรแกรม

ถ้าต้องการออกจากโปรแกรมใช้เมาส์คลิกไปที่ ปุ่มเลิกงาน หน้าที่แสดงหน้าย่อย คือ Ground System เมื่อต้องการออกจากโปรแกรมให้ใช้เมาส์คลิกที่ปุ่ม OK เป็นการเลิกใช้งานอย่างถาวร

## 5.5 ตัวอย่างการคำนวณและออกแบบ ระบบการต่อลงดิน

substation grounding grid ขนาด 220 KV

มาตรฐานการคำนวณและออกแบบ (IEEE Guide for Safety in Substation Grounding ; IEEE 80-1986)

### ข้อมูลสำหรับการคำนวณ

พื้นที่กราวด์กริดของสถานีไฟฟ้าย่อย	$107 \times 72m$	=	$7704 m^2$
ความต้านทานจำเพาะของดิน ( $\rho$ )		=	$500 \Omega - m$
ความต้านทานจำเพาะของหิน ( $\rho_S$ )		=	$3000 \Omega - m$
ความหนาของชั้นหินกรวด ( $h_S$ )		=	$0.1 m$
ความลึกของกราวด์กริด ( $h$ )		=	$0.5 m$

การคำนวณหาขนาดกราวด์กริด

$$A_{mm^2} = I \sqrt{\frac{t_c \alpha_r \rho_r 10^4}{TCAP \ln \left[ 1 + \frac{T_m - T_a}{K_o + T_a} \right]}}$$

ค่ากระแสลัดวงจรลงดิน ( $I_f$ )	=	$5280 A$
ระยะเวลาที่เกิดกระแสลัดวงจร ( $t_f$ )	=	$0.6 sec$
อุณหภูมิสูงสุดที่ยังไม่หลอมละลาย ( $T_m$ )	=	$700 ^\circ C$
อุณหภูมิของสิ่งแวดล้อม ( $T_a$ )	=	$40 ^\circ C$
สัมประสิทธิ์อุณหภูมิของความต้านทาน ( $\alpha_r$ )	=	$0.00378$
ความต้านทานจำเพาะของตัวนำที่อุณหภูมิอ้างอิง ( $\rho_r$ )	=	$5.862 \mu\Omega / cm^3$
Thermal coefficient	=	$245$
แฟกเตอร์ความจุทางความร้อน (TCAP)	=	$3.846 J / cm^3 / ^\circ c$

$$A = 5.28 \sqrt{\frac{0.6 \times 0.00378 \times 5.862 \times 10^4}{3.846 \ln [1 + (700 - 40) / (245 + 40)]}}$$

เอกสารนี้เป็นเอกสารที่สงวนลิขสิทธิ์ไว้สำหรับใช้งานเพื่อการศึกษาเท่านั้น ไม่อนุญาตให้นำไปใช้ประโยชน์ด้านการค้า  
ไม่ว่ากรณีใดๆทั้งสิ้น อีกทั้งห้ามมิให้ดัดแปลงเนื้อหา และต้องอ้างอิงถึงเจ้าของเอกสารทุกครั้งที่มีการนำไปใช้

$$= 35 \text{ mm}^2$$

หาค่า Reduction Factor ( $C_S$ )

$$\begin{aligned} \text{จาก Reflection Factor } (k) &= \frac{\rho - \rho_s}{\rho + \rho_s} \\ &= \frac{500 - 3000}{500 + 3000} \\ &= -\frac{2500}{3500} \\ &= -0.7 \end{aligned}$$

เมื่อค่า  $k = -0.71$ ,  $C_S = 0.665$

การคำนวณหาศักดาไฟฟ้าสัมผัสและช่วงก้าว

Touch voltage (70 ก.ก)

$$\begin{aligned} E_{touch70} &= [1000 + 1.5(C_S)\rho_s] \frac{0.157}{\sqrt{t_f}} \\ &= [1000 + 1.5(0.665)3000] \frac{0.157}{\sqrt{0.6}} \end{aligned}$$

$$E_{touch70} = 810V$$

Step voltage (70 ก.ก)

$$\begin{aligned} E_{step70} &= [1000 + 6(C_S)\rho_s] \frac{0.157}{\sqrt{t_f}} \\ &= [1000 + 6(0.665)3000] \frac{0.157}{\sqrt{0.6}} \end{aligned}$$

$$E_{step70} = 2630.31V$$

ข้อมูลเบื้องต้น (Initial data)

$$\text{พื้นที่ของกราวด์กริด} \quad 107 \times 72m \quad = \quad 7704 \text{ m}^2$$

$$\text{ความลึกของตัวนำกริด} \quad (h) \quad = \quad 0.5 \text{ m}$$

เอกสารนี้เป็นเอกสารที่สงวนไว้สำหรับการใช้งานเพื่อการศึกษาเท่านั้น ไม่อนุญาตให้นำไปใช้ประโยชน์ด้านการค้า  
ไม่ว่ากรณีใดๆทั้งสิ้น อีกทั้งห้ามมิให้ดัดแปลงเนื้อหา และต้องอ้างอิงถึงเจ้าของเอกสารทุกครั้งที่มีการนำไปใช้

$$\text{ความหนาของชั้นหินกรวด } (h_S) = 0.1 \text{ m}$$

หาความยาวของกรวดกริด

$$l = \frac{\eta \rho l_f}{E_{\text{touch}70}}; \quad \eta = 1.7$$

$$= \frac{1.7 \times 500 \times 5280}{810}$$

$$l = 5540 \text{ m}$$

หาจำนวนตัวนำที่วางขนานในแนวแกน x ( $N_1$ ) และแกน y ( $N_2$ )

$$n_1 = \frac{l + L_1 - L_2}{2L_1} = \frac{5540 + 107 - 72}{2 \times 107} = 26$$

$$n_2 = \frac{l + L_2 - L_1}{2L_2} = \frac{5540 + 72 - 107}{2 \times 72} = 38$$

$$n = n_1 + n_2 = 26 + 38 = 64$$

การคำนวณหาความต้านทานของกรวด

$$R_g = \rho \left[ \frac{l}{L} + \frac{l}{\sqrt{20A}} \left( 1 + \frac{l}{1 + h\sqrt{20/A}} \right) \right]$$

$L$  = ความยาวรวมทั้งหมดของตัวนำกริด

$\rho$  = ความต้านทานจำเพาะของดิน

$A$  = พื้นที่ของกรวดกริด

จะได้ว่า

$$R_g = 500 \left[ \frac{l}{5540} + \frac{l}{\sqrt{20 \times 7704}} \left( 1 + \frac{l}{1 + 0.5\sqrt{20/7704}} \right) \right]$$

$$= 0.09 + 2.505$$

$$R_g = 2.59 \Omega$$

เอกสารนี้เป็นเอกสารที่สงวนไว้สำหรับการใช้งานเพื่อการศึกษาเท่านั้น ไม่อนุญาตให้นำไปใช้ประโยชน์ด้านการค้า  
ไม่ว่ากรณีใดๆทั้งสิ้น อีกทั้งห้ามมิให้ดัดแปลงเนื้อหา และต้องอ้างอิงถึงเจ้าของเอกสารทุกครั้งที่มีการนำไปใช้

การคำนวณหากระแสกริด

$$\begin{aligned} I_G &= D_f \cdot S_f \cdot I_f \\ &= 1 \times 0.6 \times 5280 \\ &= 3168 A \end{aligned}$$

การตรวจสอบหาค่า GPR (Grid Potential Rise)

$$\begin{aligned} GPR &= I_G R_g \\ &= 3168 \times 2.59 \\ &= 8205.12V \end{aligned}$$

$$I_G R_g (8205.12V) > E_{touch70} (810V)$$

การคำนวณหาค่า Mesh voltage และ Step voltage

mesh voltage

$$E_m = \frac{\rho K_m K_i I_G}{L}$$

เมื่อ  $n = \sqrt{n_1 \times n_2} = \sqrt{26 \times 38} = 31.43$

$$D = \text{ระยะห่างระหว่างตัวนำ} = 3 \text{ m}$$

กริดไม่มีแท่งตัวนำ

$$K_{ii} = \frac{1}{(2n)^{2/n}} = \frac{1}{(2 \times 31.43)^{2/31.43}} = 1.28$$

$$K_i = 0.656 + 0.172N$$

$$= 0.656 + (0.172 \times 31.4) = 6.056$$

$$K_h = \sqrt{1 + h/h_o} = 1.2247$$

$h$  = ความลึกตัวนำกริด

$d$  = เส้นผ่าศูนย์กลางกลางตัวนำกริด

$$L = 5540m$$

$K_m$  = Spacing for mesh voltage

เอกสารนี้เป็นเอกสารที่สงวนไว้สำหรับการใช้งานเพื่อการศึกษาเท่านั้น ไม่อนุญาตให้นำไปใช้ประโยชน์ด้านการค้า  
ไม่ว่ากรณีใดๆทั้งสิ้น อีกทั้งห้ามมิให้ตัดแปลงเนื้อหา และต้องอ้างอิงถึงเจ้าของเอกสารทุกครั้งที่มีการนำไปใช้

$$K_m = \frac{1}{2\pi} \left[ \ln \left( \frac{D^2}{16hd} + \frac{(D+2h)^2}{8Dd} - \frac{h}{4d} \right) + \frac{K_{ij}}{K_h} \ln \left( \frac{8}{\pi(2n-1)} \right) \right]$$

$$K_m = \frac{1}{6.28} \left[ \ln \left( \frac{3^2}{16 \times 0.5 \times 0.00667} + \frac{(3+2 \times 0.5)^2}{8 \times 3 \times 0.00667} - \frac{0.5}{4 \times 0.00667} \right) + \frac{1.28}{1.2247} \ln \left( \frac{8}{3.14(2 \times 31.43 - 1)} \right) \right]$$

$$K_m = 0.159 [\ln(168.66 + 100 - 18.79) + 1.045 \ln(0.041)]$$

$$= 0.159 [\ln(249.87) + 1.045(-3.194)]$$

$$= 0.159 [5.52 - 3.33]$$

$$K_m = 0.348$$

$$E_m = \frac{500 \times 0.348 \times 6.056 \times 3168}{5540}$$

$$E_m = 602.93$$

$$E_m (602.93V) < E_{touch70} (810V)$$

Step voltage

$$E_s = \frac{\rho K_s K_i I_g}{L}$$

เมื่อ  $N = \text{MAX}[N_A, N_B] = 38$

$$K_i = 0.656 + (0.172 \times N)$$

$$= 0.656 + (0.172 \times 38) = 7.192$$

$$L = 5540 \text{ m}$$

$K_s$  = Spacing for step voltage

$$K_s = \frac{1}{\pi} \left[ \frac{1}{2h} + \frac{1}{D+h} + \frac{1}{D} (1 - 0.5^{n-2}) \right]$$

$$K_s = \frac{1}{3.14} \left[ \frac{1}{2+0.5} + \frac{1}{(3+0.5)} + \frac{1}{3} (1 - 0.5^{38-2}) \right]$$

$$= 0.318 [1 + 0.285 + 0.33(1)]$$

เอกสารนี้เป็นเอกสารที่สงวนลิขสิทธิ์ไว้กับการใช้งานเพื่อการศึกษาเท่านั้น ไม่อนุญาตให้นำไปใช้ประโยชน์ด้านการค้า  
ไม่ว่ากรณีใดๆทั้งสิ้น อีกทั้งห้ามมิให้ดัดแปลงเนื้อหา และต้องอ้างอิงถึงเจ้าของเอกสารทุกครั้งที่มีการนำไปใช้

$$= 0.318 \times 1.615$$

$$K_s = 0.513$$

ดังนั้น

$$E_s = \frac{500 \times 0.513 \times 7.192 \times 3162}{5540}$$

$$E_s = 1054.90V$$

$$E_s(1054.90V) < E_{step70}(2630.31V)$$

สรุปผลการคำนวณและออกแบบจะได้ว่า

$$E_m(602.93) < E_{touch70}(810V)$$

$$E_s(1054.90V) < E_{step70}(2630.31V)$$

การออกแบบระบบต่อลงดินนี้เกิดความปลอดภัย

5.6 การคำนวณและออกแบบ ระบบการต่อลงดินของ  
substation grounding grid ขนาด 220 KV

เมื่อต้องการใส่แผ่นพลาสติก เพื่อเพิ่มความต้านทานที่เท่า

ก่อนใส่แผ่นพลาสติก

$$\text{ความหนาของชั้นหินกรวด} (h_g) = 0.1 \text{ m.}$$

$$\text{ความลึกตัวนำกริด} (h) = 0.5 \text{ m.}$$

$$\text{ความต้านทานจำเพาะของดิน} (\rho) = 500 \Omega.m$$

$$\text{ความต้านทานจำเพาะของหิน} (\rho_g) = 3000 \Omega.m$$

เมื่อใส่แผ่นพลาสติก

$$\text{ความหนาของชั้นหินกรวด}(h_g) = 0.08 \text{ m}$$

$$\text{ความลึกตัวนำกริด} (h) = 0.5 \text{ m.}$$

$$\text{ความต้านทานจำเพาะของดิน} (\rho) = 500 \Omega.m.$$

เอกสารนี้เป็นเอกสารที่สงวนไว้สำหรับการใช้งานเพื่อการศึกษาเท่านั้น ไม่อนุญาตให้นำไปใช้ประโยชน์ด้านการค้า  
ไม่ว่ากรณีใดๆทั้งสิ้น อีกทั้งห้ามมิให้ดัดแปลงเนื้อหา และต้องอ้างอิงถึงเจ้าของเอกสารทุกครั้งที่มีการนำไปใช้

ความต้านทานจำเพาะของหิน ( $\rho_s$ ) = 3000  $\Omega \cdot m$ .

ความลึกแผ่นพลาสติก = 0.2 m.

หา  $R_{2FS}$  และ  $R_{2FP}$  ก่อนใส่แผ่นพลาสติก

$$X = X_1 = \frac{h_s}{b} = \frac{0.08}{0.08} = 1$$

$$X = X_2 = \frac{h_s}{d_{foot}} = \frac{0.08}{1} = 0.08$$

$$K = \frac{\rho - \rho_s}{\rho + \rho_s} = \frac{500 - 3000}{500 + 3000} = -0.71$$

จากกราฟ Function  $F(X)$  Versus  $X$  And Reflection Factor  $K$ .

$$X_1 = 1, \therefore F(X_1) = 0.53$$

$$X_2 = 0.08, \therefore F(X_2) = 0.18$$

$$\text{หา } R_{foot} = \frac{\rho_s}{4b} F(X_1) = \frac{3000}{4 \times 0.08} \times 0.53 = 4968.75 \Omega$$

$$\text{หา } R_{Mfoot} = \frac{\rho_s}{2\pi d_{foot}} F(X_2) = \frac{3000}{6.28 \times 1} \times 0.18 = 85.98 \Omega$$

$$\begin{aligned} \text{จะได้ } R_{2FS} &= 2(R_{foot} - R_{Mfoot}) \\ &= 2(4968.75 - 85.98) \end{aligned}$$

$$R_{2FS} = 9765.54 \Omega$$

$$\begin{aligned} \text{จะได้ } R_{2FP} &= \frac{1}{2}(R_{foot} + R_{Mfoot}) \\ &= \frac{1}{2}(4968.75 + 85.98) \end{aligned}$$

$$R_{2FP} = 2527.36 \Omega$$

เอกสารนี้เป็นเอกสารที่สงวนไว้สำหรับการใช้งานเพื่อการศึกษาเท่านั้น ไม่อนุญาตให้นำไปใช้ประโยชน์ด้านการค้า  
ไม่ว่ากรณีใดๆทั้งสิ้น อีกทั้งห้ามมิให้ตัดแปลงเนื้อหา และต้องอ้างอิงถึงเจ้าของเอกสารทุกครั้งที่มีการนำไปใช้

เมื่อใส่แผ่นพลาสติก

$$D = 2.8m.$$

$$\rho = 500\Omega.m$$

ความลึกของแผ่นพลาสติก = 0.2 m.

$$r = 0.0148m$$

$$\begin{aligned} R_{pl} &= \frac{\rho}{2\pi h} \ln \frac{D}{2r} \\ &= \frac{500}{6.28 \times 0.2} \ln \frac{2.8}{2 \times 0.0148} = 1811\Omega \end{aligned}$$

$$R_{pl} = 1811\Omega$$

$$\begin{aligned} R_{foot} \text{ รวม} &= R_{pl} + R_{foot} = 1811 + 4968.75\Omega \\ &= 6779.75\Omega \end{aligned}$$

เมื่อใส่แผ่นพลาสติก

หา  $R_{2FS}$  และ  $R_{2FP}$

$$\begin{aligned} \text{จะได้ว่า } R_{2FS} &= 2(R_{foot} - R_{Mfoot}) \\ &= 2(6779.75 - 85.98) \end{aligned}$$

$$R_{2FS} = 13387.54\Omega$$

$$R_{2FP} = \frac{1}{2}(R_{foot} + R_{Mfoot})$$

$$= \frac{1}{2}(6779.75 + 85.98)$$

$$R_{2FP} = 3432.86\Omega$$

$$\begin{aligned} \text{หา } E_{Step70} &= [R_B + R_{2FS}]_B \\ &= [1000 + 13387.54] \frac{0.157}{\sqrt{0.6}} \end{aligned}$$

$$= 14387.54 \times 0.2028$$

เอกสารนี้เป็นเอกสารที่สงวนไว้สำหรับการใช้งานเพื่อการศึกษาเท่านั้น ไม่อนุญาตให้นำไปใช้ประโยชน์ด้านการค้า  
ไม่ว่ากรณีใดๆทั้งสิ้น อีกทั้งห้ามมิให้ตัดแปลงเนื้อหา และต้องอ้างอิงถึงเจ้าของเอกสารทุกครั้งที่มีการนำไปใช้

$$E_{Step70} = 2917.79v$$

$$\begin{aligned} \text{หา } E_{touch70} &= [R_B + R_{2FP}] I_B \\ &= [1000 + 3432.86] \frac{0.157}{\sqrt{0.6}} \\ &= 4432.86 \times 0.2028 \\ E_{touch70} &= 898.98v \end{aligned}$$

สรุปได้ว่า เมื่อใส่แผ่นพลาสติกแล้ว

$$\begin{aligned} E_{m(602.93v)} &< E_{touch70} (898.98v) \\ E_S (1054.90V) &< E_{step70} (2917.79V) \end{aligned}$$

## 5.7 แนวทางใหม่ลดจำนวนตัวนำตะแกรงกริด

ขั้นตอนที่ 4 เป็นแนวทางใหม่เพื่อลดจำนวนตัวนำกริด

จากการออกแบบระบบบดลงดินของสถานีไฟฟ้าย่อย ตาม ANSI/IEEE Std. 80-1986 [1] แล้ว และได้ทำการใส่แผ่นพลาสติกเพิ่มเติมลงไปบนตะแกรงกริดตรงตำแหน่งที่สำคัญของสถานีไฟฟ้าย่อย เช่น ทางเดิน ที่ตำแหน่งของอุปกรณ์ไฟฟ้าต่าง ๆ ซึ่งจะทำให้ค่าความต้านทานที่เท้าของผู้ปฏิบัติการในสถานีไฟฟ้าย่อยเพิ่มขึ้น อีกทั้งยังทำให้ระบบเกิดความปลอดภัยเพิ่มขึ้น

แนวทางใหม่ที่ทำการศึกษานี้ เป็นวิธีการลดจำนวนตัวนำกริดโดยระยะห่างระหว่างกริดไม่สมมาตร ซึ่งทำให้ลดวัสดุตัวนำกริดได้ประมาณ 40% และยังมีความปลอดภัยเหมือนเดิม โดยมีขั้นตอนดังนี้

1. นำค่าศักดาไฟฟ้าสัมผัส (Touch voltage) มาคำนวณหาความยาวของตัวนำกริด

$$E_{touch70} = 810V$$

2. หาความยาวของตัวนำกริดที่มีระยะเท่ากัน (equally spaced grid)

$$L = \frac{\eta \rho l f}{E_{touch}} = \frac{1.7 \times 500 \times 5280}{810} = 5540m$$

$\eta$  คือ Empirical Coefficient = 1.7

เอกสารนี้ 3. หากจำนวนตัวนำที่ขนานกับด้าน X และ Y ศึกษานี้เท่านั้น ไม่อนุญาตให้นำไปใช้ประโยชน์ด้านการค้า ไม่ว่าจะกรณีใดทั้งสิ้น อีกทั้งห้ามมิให้ดัดแปลงเนื้อหา และต้องอ้างอิงถึงเจ้าของเอกสารทุกครั้งที่มีการนำไปใช้

$$n_1 = \frac{l + L_1 - L_2}{2L_1} = \frac{5540 + 107 - 72}{2 + 107} = 26$$

$$n_2 = \frac{l + L_2 - L_1}{2L_2} = \frac{5540 + 72 - 107}{2 + 72} = 38$$

$$n = n_1 + n_2 = 26 + 38 = 64$$

4. หา percentage  $\lambda$  ของวัสดุที่ทำกรวดกริด

$$\alpha = 121.2e^{-0.4n} + 1.1 = 121.2e^{-0.4 \times 64} + 1.1 = 1.14$$

$$\beta = -92.6e^{-0.07n} + 66.337 = -92.6e^{-0.07 \times 64} + 66.337 = 65$$

$$\lambda = \frac{\alpha \frac{\beta}{100}}{1 + \alpha \frac{\beta}{100}} = 100\%$$

$$= \frac{1.14 \times 0.65}{1 + 1.14 \times 0.65} \times 100\%$$

$$\lambda = 43\%$$

5. หาจำนวนตัวนำกริดระยะไม่สมมาตรเมื่อกรวดกริดมีลักษณะเป็นสี่เหลี่ยมผืนผ้า

$$n'_1 = n_1(1 - 0.43) = 26(1 - 0.43) = 14$$

$$n'_2 = n_2(1 - 0.43) = 38(1 - 0.43) = 21$$

$$n' = n'_1 + n'_2 = 35$$

6. หาระยะตัวนำที่ขนานกับด้าน X และ Y ตามลำดับระยะตัวนำในทิศทางแนวแกน X

$$k_1 = n'_2 - 1 = 20$$

$$\text{โดย } i \leq \begin{cases} \frac{k}{2} & \text{เมื่อ } k \text{ เป็นเลขคู่} \\ \frac{k+1}{2} & \text{เมื่อ } k \text{ เป็นเลขคี่} \end{cases}$$

$$\text{จาก } Sik = \frac{Lik}{L} \times 100$$

$$\text{และ } Sik = b_1 e^{-b_2 i} + b_3$$

เมื่อ  $k_1=k=20$ ; จากกราฟความสัมพันธ์ระหว่าง  $b$  และ  $k$  จะได้ว่าเมื่อ  $k=20$  ดังนั้น

$$b_1=-0.119, b_2=0.112, b_3=0.117$$

$$S_{1k_1} = -0.119e^{-0.112 \times 1} = 1.06\%$$

$$L_{1k_1} = S_{1k_1} \times L_1 = \frac{1.06}{100} \times 107 = 1.13m$$

$$S_{2k_1} = -0.119e^{-0.112 \times 2} + 0.117 = 2.1\%$$

$$L_{2k_1} = S_{2k_1} \times L_1 = \frac{2.1}{100} \times 107 = 2.44m$$

$$S_{3k_1} = -0.119e^{-0.112 \times 3} + 0.117 = 3.19\%$$

$$L_{3k_1} = S_{3k_1} \times L_1 = \frac{3.19}{100} \times 107 = 3.41m$$

$$S_{4k_1} = -0.119e^{-0.112 \times 4} + 0.117 = 4.09\%$$

$$L_{4k_1} = S_{4k_1} \times L_1 = \frac{4.09}{100} \times 107 = 4.4m$$

$$S_{5k_1} = -0.119e^{-0.112 \times 5} + 0.117 = 4.9\%$$

$$L_{5k_1} = S_{5k_1} \times L_1 = \frac{4.9}{100} \times 107 = 5.3m$$

$$S_{6k_1} = -0.119e^{-0.112 \times 6} + 0.117 = 5.6\%$$

$$L_{6k_1} = S_{6k_1} \times L_1 = \frac{5.6}{100} \times 107 = 6.1m$$

$$S_{7k_1} = -0.119e^{-0.112 \times 7} + 0.117 = 6.2\%$$

$$L_{7k_1} = S_{7k_1} \times L_1 = \frac{6.2}{100} \times 107 = 6.7m$$

$$S_{8k_1} = -0.119e^{-0.112 \times 8} + 0.117 = 6.8\%$$

$$L_{8k_1} = S_{8k_1} \times L_1 = \frac{6.8}{100} \times 107 = 7.4m$$

$$S_{9k_1} = -0.119e^{-0.112 \times 9} + 0.117 = 7.3\%$$

$$L_{9k_1} = S_{9k_1} \times L_1 = \frac{7.3}{100} \times 107 = 7.9m$$

$$S_{10k_1} = -0.119e^{-0.112 \times 10} + 0.117 = 7.8\%$$

$$L_{10k_1} = S_{10k_1} \times L_1 = \frac{7.8}{100} \times 107 = 8.4m$$

ระยะตะแกรงกริดที่เหลือนจะสมมาตรกันระยะตัวนำในทิศทางแนวแกน Y

$$k_2 = n_1 - 1 = 13$$

เมื่อ  $k_2 = k$  จากกราฟความสัมพันธ์ระหว่าง  $b$  และ  $k$  จะได้ว่า  $k = 13$  ดังนั้น  $b_1=-0.162$ ,

$$b_2=0.234, b_3=0.151$$

$$S_{1k_2} = -0.162e^{0.234 \times 1} + 0.151 = 2.27\%$$

$$L_{1k_2} = S_{1k_2} \times L_2 = \frac{2.27}{100} \times 72 = 1.64m$$

$$S_{2k_2} = -0.162e^{-0.234 \times 2} + 0.151 = 5\%$$

เอกสารนี้เป็นเอกสารที่สงวนไว้สำหรับการใช้งานเพื่อการศึกษาเท่านั้น ไม่อนุญาตให้นำไปใช้ประโยชน์ด้านการค้า

ไม่ว่ากรณีใดๆทั้งสิ้น อีกทั้งห้ามมิให้ดัดแปลงเนื้อหา และต้องอ้างอิงถึงเจ้าของเอกสารทุกครั้งที่มีการนำไปใช้

$$L_{2k2} = S_{2k2} \times L_2 = \frac{5}{100} \times 72 = 3.6m$$

$$S_{3k2} = -0.162e^{0.234 \times 3} + 0.151 = 7\%$$

$$L_{3k2} = S_{3k2} \times L_2 = \frac{7}{100} \times 72 = 5.1m$$

$$S_{4k2} = -0.162e^{-0.234 \times 4} + 0.151 = 8.7\%$$

$$L_{4k2} = S_{4k2} \times L_2 = \frac{8.7}{100} \times 72 = 6.3m$$

$$S_{5k2} = -0.162e^{-0.234 \times 5} + 0.151 = 10\%$$

$$L_{5k2} = S_{5k2} \times L_2 = \frac{10}{100} \times 72 = 7.2m$$

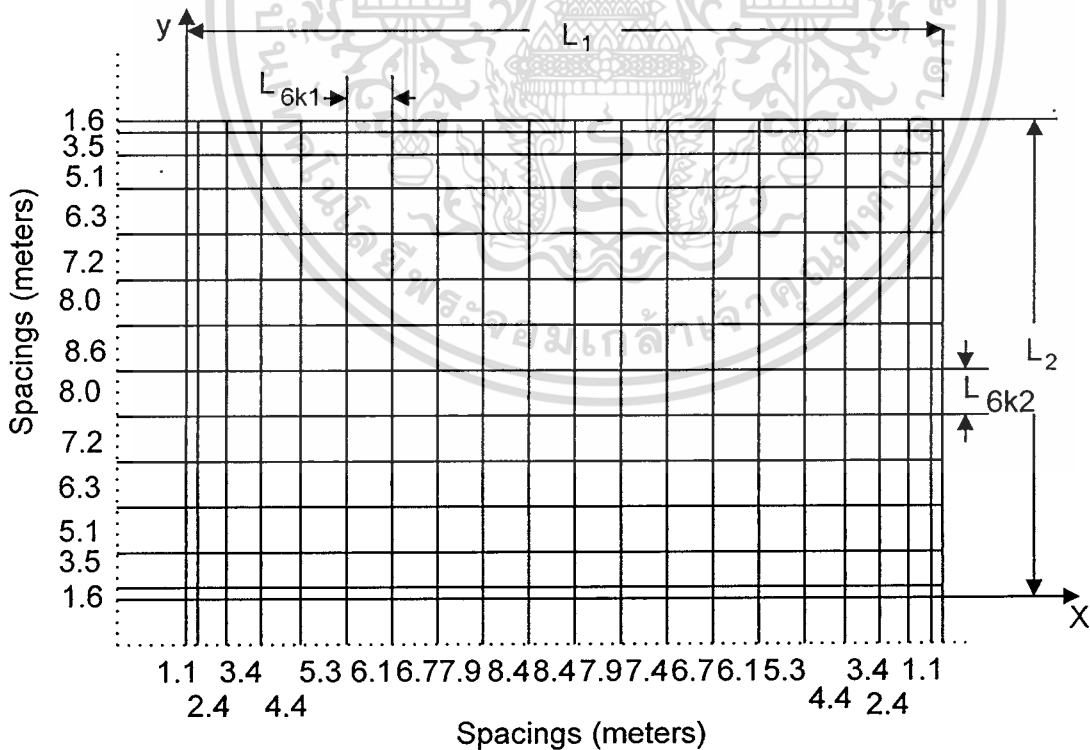
$$S_{6k2} = -0.162e^{-0.234 \times 6} + 0.151 = 11.1\%$$

$$L_{6k2} = S_{6k2} \times L_2 = \frac{11.1}{100} \times 72 = 8m$$

$$S_{7k2} = -0.162e^{-0.234 \times 7} + 0.151 = 11.95\%$$

$$L_{7k2} = S_{7k2} \times L_2 = \frac{12}{100} \times 72 = 8.6m$$

ระยะตะแกรงกริดที่เหลือนจะสมมาตรกัน

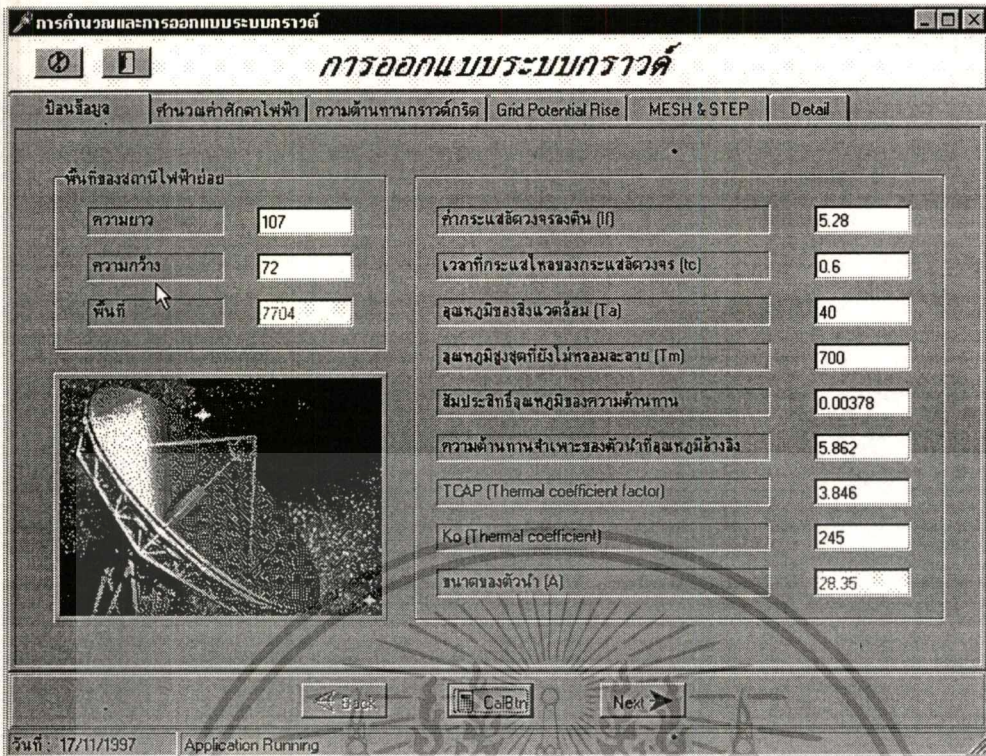


รูปที่ 46 แสดงผลการออกแบบตะแกรงกริด

เอกสารนี้เป็นเอกสารที่สงวนไว้สำหรับการใช้งานเพื่อการศึกษาเท่านั้น ไม่อนุญาตให้นำไปใช้ประโยชน์ด้านการค้า  
ไม่ว่ากรณีใดทั้งสิ้น อีกทั้งห้ามมิให้ดัดแปลงเนื้อหา และต้องอ้างอิงถึงเจ้าของเอกสารทุกครั้งที่มีการนำไปใช้

## 5.8 รูปแบบทั่วไปของโปรแกรม

- ไตเติลบาร์
  1. ปุ่มป้อนข้อมูล ปุ่มนี้จะเป็นหน้าแรกของโปรแกรมการคำนวณ ผู้ใช้ต้องเติมค่าต่าง ๆ ลงไป
  2. ปุ่มคำนวณค่าศักดาไฟฟ้า ถ้ากดที่ปุ่มนี้จะเป็นการเปิดหน้าที่ 2 ของโปรแกรม
  3. ปุ่มความต้านทานกราวด์กริด ถ้ากดที่ปุ่มนี้จะเป็นการเปิดหน้าที่ 3 ของโปรแกรม
  4. ปุ่ม Grid Potential Rise ถ้ากดที่ปุ่มนี้จะเป็นการเปิดหน้าที่ 4 ของโปรแกรม
  5. ปุ่ม Mesh & Step ถ้ากดที่ปุ่มนี้จะเป็นการเปิดหน้าที่ 5 ของโปรแกรม
  6. ปุ่ม Detail ถ้ากดที่ปุ่มนี้จะเป็นการเปิดหน้าที่ 6 ของโปรแกรม



#### รูปที่ 47 แสดงหน้าต่างการคำนวณหาพื้นที่และขนาดของตัวนำ

ประกอบด้วย

- ข้อมูลที่ผู้ใช้ต้องเติม

1. ความกว้างและความยาวของพื้นที่ ที่ใช้ในการคำนวณ
2. ค่ากระแสแอสต์วงจรงดิน
3. เวลาที่กระแสไหลของกระแสแอสต์วงจรง
4. อุณหภูมิของสิ่งแวดล้อม
5. อุณหภูมิสูงสุดที่ยังไม่หลอมละลาย
6. สัมประสิทธิ์อุณหภูมิของความต้านทาน
7. ความต้านทานจำเพาะของตัวนำที่อุณหภูมิอ้างอิง
8. TCAP (Thermal coefficient factor)
9. Ko (Thermal coefficient)

- ช่องผลลัพธ์

1. พื้นที่ (ตารางเมตร)
2. ขนาดของตัวนำ (ตารางมิลลิเมตร)

- ปุ่ม Calculate

เมื่อใช้เมาส์คลิกที่ปุ่ม Calculate นี้จะปรากฏ ผลลัพธ์ ขึ้นที่ช่องผลลัพธ์

- ปุ่ม Next

เมื่อใช้เมาส์คลิกที่ปุ่มนี้จะเป็นการเปิดหน้าต่างถัดไปของโปรแกรม

เอกสารนี้เป็นเอกสารที่สงวนไว้สำหรับการใช้งานเพื่อการศึกษาเท่านั้น ไม่อนุญาตให้นำไปใช้ประโยชน์ด้านการค้า  
ไม่ว่ากรณีใดๆทั้งสิ้น อีกทั้งห้ามมิให้ดัดแปลงเนื้อหา และต้องอ้างอิงถึงเจ้าของเอกสารทุกครั้งที่มีการนำไปใช้

การคำนวณและการออกแบบระบบกราวด์

**การออกแบบระบบกราวด์**

ปีงบประมาณ    จำนวนค่าศักดาไฟฟ้า    ความต้านทานกราวด์กริด    Grid Potential Rise    MESH & STEP    Detail

น้ำหนักเฉลี่ย  
 50 Kg     70 Kg     แผ่นพลาสติก

ใช้แผ่นพลาสติก

ความหนาของชั้นหินกรวด (Hr)  
 ความลึกของชั้นพื้นพลาสติก  
 ขนาดของแผ่นพลาสติก  
 ปริมาณดิน

ความต้านทานจำเพาะของดิน    500  
 ความต้านทานจำเพาะของหินกรวด    3000  
 ความลึกของตัวนำกริด (h)    0.5  
 ความหนาของชั้นหินกรวด (Hr)    0.1  
 ระยะเวลาของกระแสลัดวงจร (Tg)    0.6

Function (Fx)

x1    F(x1)  
 x2    F(x2)

K    Reduction factor(Cs)  
 0.71    0.665

ค่าศักดาไฟฟ้า

Etouch    Estep  
 809.22    2628.84

ป้อนใส่แผ่นพลาสติก    ป้อนใส่แผ่นพลาสติก

R2FS    R2FS  
 R2FP    R2FP

Back    CalBtri    Next

วันที่ : 17/11/1997    Application Running

### รูปที่ 48 แสดงหน้าต่างการคำนวณหาศักดาไฟฟ้า ในกรณีไม่ใส่แผ่นพลาสติก

ประกอบด้วย

- ข้อมูลที่ผู้ใช้ต้องเลือก
  1. น้ำหนักเฉลี่ย ประเภท 50 Kg. และ 70 Kg.
  2. แผ่นพลาสติก
- ข้อมูลที่ผู้ใช้ต้องเติม
  1. ความต้านทานจำเพาะของดิน
  2. ความต้านทานจำเพาะของหินกรวด
  3. ความลึกของตัวนำกริด
  4. ความหนาของชั้นหินกรวด
  5. ระยะเวลาของกระแสลัดวงจร
  6. ค่า Reduction (Cs)
- ช่องผลลัพธ์    1. ค่าศักดาไฟฟ้า ประกอบด้วย ค่า Etouch และ Estep
- ปุ่ม Back    เมื่อใช้เมาส์คลิกที่ปุ่มนี้จะเป็นการย้อนกลับหน้าถัดไปของโปรแกรมการคำนวณ
- ปุ่ม Calculate    เมื่อใช้เมาส์คลิกที่ปุ่ม Calculate นี้จะปรากฏ ผลลัพธ์ ขึ้นที่ช่องผลลัพธ์
- ปุ่ม Next    เมื่อใช้เมาส์คลิกที่ปุ่มนี้จะเป็นการเปิดหน้าถัดไปของโปรแกรมการ

เอกสารนี้เป็นเอกสารที่สงวนไว้สำหรับใช้งานเพื่อการศึกษาเท่านั้น ไม่อนุญาตให้นำไปใช้ประโยชน์ด้านการค้า ไม่ว่าจะกรณีใดๆทั้งสิ้น อีกทั้งห้ามมิให้ตัดแปลงเนื้อหา และต้องอ้างอิงถึงเจ้าของเอกสารทุกครั้งที่มีการนำไปใช้

การคำนวณและการออกแบบระบบกราวด์

**การออกแบบระบบกราวด์**

ป้อนข้อมูล | ค่าตัวเลขค่าศึกษาไฟฟ้า | ความต้านทานกราวด์กริด | Grid Potential Rise | MESH & STEP | Detail

รายละเอียดการป้อนกราวด์กริด

ประสิทธิภาพ

ระยะห่างระหว่างตัวนำ [D]

ความยาวของตัวนำกริด [L]

ลดจำนวนตัวนำ

การลดจำนวนตัวนำ

เปลี่ยนชนิดประกอบวัสดุ

จำนวนตัวนำที่วางขนานแกน X (Nx)

จำนวนตัวนำที่วางขนานแกน Y (Ny)

ระยะของตัวนำกริด

ความต้านทานของกราวด์กริด (R<sub>G</sub>)

Back | CalBtn | Next

วันที่ : 17/11/1997 | Application Running

### รูปที่ 49 แสดงหน้าต่างการคำนวณหาความต้านทานกราวด์กริด

ประกอบด้วย

- ข้อมูลที่ผู้ใช้ต้องเลือก
  1. ลดจำนวนตัวนำ และ ไม่เลือก ลดจำนวนตัวนำ
- ข้อมูลที่ผู้ใช้ต้องเติม
  1. ประสิทธิภาพ
  2. ระยะห่างระหว่างตัวนำ
  3. ความยาวของตัวนำกริด
  4. ความยาวของตัวนำกริด
- ช่องผลลัพธ์
  1. จำนวนตัวนำที่วางขนานแกน X
  2. จำนวนตัวนำที่วางขนานแกน Y
  3. ความต้านทานของกราวด์กริด
- ปุ่ม Back เมื่อใช้เมาส์คลิกที่ปุ่มนี้จะเป็นการย้อนกลับหน้าถัดไปของโปรแกรมการคำนวณ
- ปุ่ม Calculate เมื่อใช้เมาส์คลิกที่ปุ่ม Calculate นี้จะปรากฏ ผลลัพธ์ ขึ้นที่ช่องผลลัพธ์
- ปุ่ม Next เมื่อใช้เมาส์คลิกที่ปุ่มนี้จะเป็นการเปิดหน้าถัดไปของโปรแกรมการคำนวณ

เอกสารนี้เป็นเอกสารที่สงวนไว้สำหรับการใช้งานเพื่อการศึกษาเท่านั้น ไม่อนุญาตให้นำไปใช้ประโยชน์ด้านการค้า ไม่ว่ากรณีใดๆทั้งสิ้น อีกทั้งห้ามมิให้ดัดแปลงเนื้อหา และต้องอ้างอิงถึงเจ้าของเอกสารทุกครั้งที่มีการนำไปใช้

การคำนวณและการออกแบบระบบกราวด์

**การออกแบบระบบกราวด์**

ป้อนข้อมูล | ค่าพารามิเตอร์ค่าตัวไฟฟ้า | ความต้านทานกราวด์กริด | Grid Potential Rise | MESH & STEP | Detail

กระแสกริด (IG)

50000 แอมป์

CpDfg

[Cp] Correation pojection factor: 1

[Df] Decrement factor the entire duration of fault lf: 1

(I<sub>g</sub>) Symmetrical grid current

50000

Siff

[Sf] Current division factor: 0.6

[If] Symmetrical ground fault current: 5280

กระแสกริด (IG): 3168

Grid Potential Rise (GPR): 8256

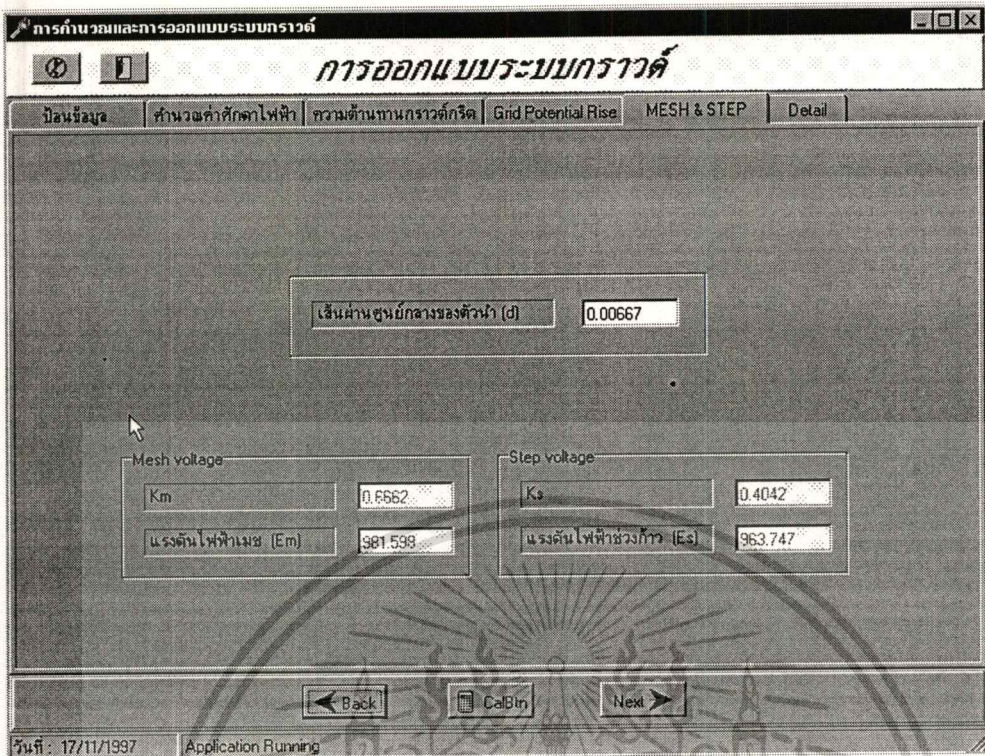
Back | Calculate | Next

วันที่: 17/11/1997 Application Running

### รูปที่ 50 แสดงหน้าต่างการคำนวณหา Grid Potential Rise

ประกอบด้วย

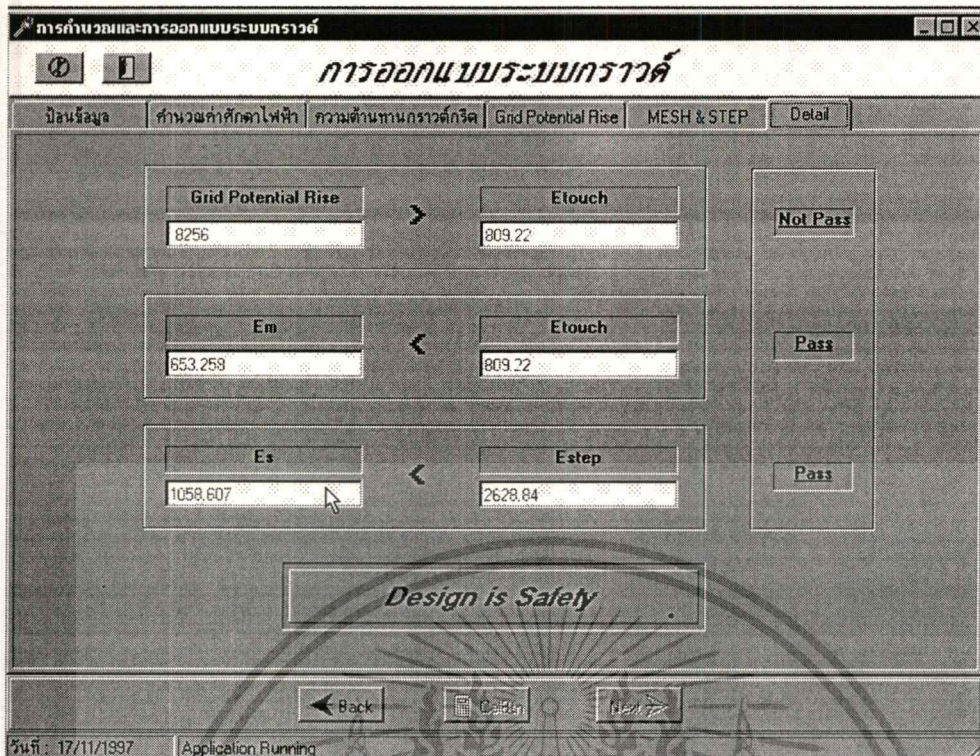
- ข้อมูลที่ผู้ใช้ต้องเลือก
  1. กระแสกริด ประกอบด้วย 5000 A. และ CpDfg
  2. Symmetrical grid current
- ข้อมูลที่ผู้ใช้ต้องเติม
  1. Correation pojection factor
  2. Decrement factor the entire duration of fault lf
  3. Current division factor
  4. Symmetrical ground fault current
- ช่องผลลัพธ์
  1. กระแสกริด
  2. Grid Potential Rise
- ปุ่ม Back เมื่อใช้เมาส์คลิกที่ปุ่มนี้จะเป็นการย้อนกลับหน้าถัดไปของโปรแกรมการคำนวณ
- ปุ่ม Calculate เมื่อใช้เมาส์คลิกที่ปุ่ม Calculate นี้จะปรากฏ ผลลัพธ์ ขึ้นที่ช่องผลลัพธ์
- ปุ่ม Next เมื่อใช้เมาส์คลิกที่ปุ่มนี้จะเป็นการเปิดหน้าถัดไปของโปรแกรมการ



รูปที่ 51 แสดงหน้าต่างการคำนวณหา Mesh & Step

ประกอบด้วย

- ข้อมูลที่ผู้ใช้ต้องเติม
  1. เส้นผ่านศูนย์กลางของตัวนำ
- ช่องผลลัพธ์
  1. ค่า Km
  2. แรงดันไฟฟ้าเมช (Em)
  3. ค่า Ks
  4. แรงดันไฟฟ้าช่วงก้าว (Es)
- ปุ่ม Back เมื่อใช้เมาส์คลิกที่ปุ่มนี้จะเป็นการย้อนกลับหน้าถัดไปของโปรแกรมการคำนวณ
- ปุ่ม Calculate เมื่อใช้เมาส์คลิกที่ปุ่ม Calculate นี้จะปรากฏ ผลลัพธ์ ขึ้นที่ช่องผลลัพธ์
- ปุ่ม Next เมื่อใช้เมาส์คลิกที่ปุ่มนี้จะเป็นการเปิดหน้าถัดไปของโปรแกรมการคำนวณ



รูปที่ 52 แสดงหน้าต่างการเช็ค ค่าความปลอดภัย หรือ ไม่ปลอดภัย

ประกอบด้วย

- ช่องการเช็คผลลัพธ์
  1. Grid Potential Rise, Etouch
  2. Em, Etouch
  3. Es, Estep
- ปุ่ม Back เมื่อใช้เมาส์คลิกที่ปุ่มนี้ จะเป็นการย้อนกลับหน้าถัดไปของโปรแกรมการคำนวณ

การคำนวณและการออกแบบระบบกราวด์

**การออกแบบระบบกราวด์**

ปีนริ้วสูง    ค่าความต้านทานไฟฟ้า    ความต้านทานกราวด์กริด    Grid Potential Rise    MESH & STEP    Detail

น้ำหนักเฉลี่ย  
 50 Kg     70 Kg     แผ่นพลาสติก

ใส่แผ่นพลาสติก

ความหนาของชั้นหินกรวด (hrs)	0.08
ความลึกของแผ่นพลาสติก	0.2
ขนาดของแผ่นพลาสติก	2.8
รัศมีของตัวนำ	0.0148

ความต้านทานจำเพาะของดิน	500
ความต้านทานจำเพาะของหินกรวด	3000
ความลึกของตัวนำกริด (h)	0.5
ความหนาของชั้นหินกรวด (hrs)	0.1
ระยะเวลาของกระแสลัดวงจร (Ts)	0.6

K	Reduction factor(Cs)
0.71	0.665

ค่าศักดาไฟฟ้า

Etouch	Estep
1173.53	4016.58

ก่อนใส่แผ่นพลาสติก    หลังใส่แผ่นพลาสติก

R2FS	9765.61	R2FS	16816.75
R2FP	2527.35	R2FP	4790.13

Function (Fx)

x1	F(x1)
1.00	0.53
x2	F(x2)
0.08	0.18

Back    CalBtn    Next

วันที่ : 17/11/1997    Application Running

### รูปที่ 53 แสดงหน้าต่างการคำนวณหาศักดาไฟฟ้า ในกรณีใส่แผ่นพลาสติก

ประกอบด้วย

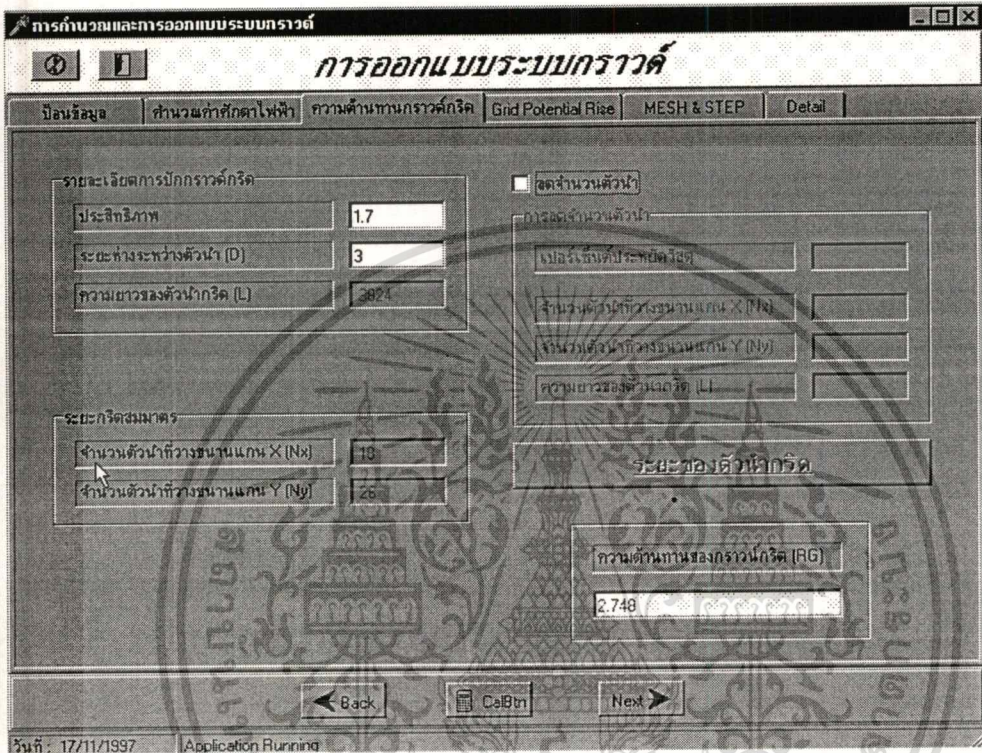
- ข้อมูลที่ผู้ใช้ต้องเลือก
  1. น้ำหนักเฉลี่ย ประเภท 50 Kg. และ 70 Kg.
  2. แผ่นพลาสติก
- ข้อมูลที่ผู้ใช้ต้องเติม
  1. ความต้านทานจำเพาะของดิน
  2. ความต้านทานจำเพาะของหินกรวด
  3. ความลึกของตัวนำกริด
  4. ความหนาของชั้นหินกรวด
  5. ระยะเวลาของกระแสลัดวงจร
  6. ค่า Reduction (Cs)
  7. ความหนาของชั้นหินกรวด
  8. ความลึกของแผ่นพลาสติก
  9. ขนาดของแผ่นพลาสติก
  10. รัศมีของตัวนำ

- ช่องผลลัพธ์ 1. ค่าศักดาไฟฟ้า ประกอบด้วย ค่า Etouch และ Estep

เอกสารนี้เป็น ปุ่ม Back วนเมื่อใช้เมาส์คลิกที่ปุ่มนี้จะเป็นการย้อนกลับหน้าถัดไปของโปรแกรม

ไม่ว่ากรณีใดๆทั้งสิ้น อีกทั้งห้ามมิให้ดัดแปลงเนื้อหา และต้องอ้างอิงถึงเจ้าของเอกสารทุกครั้งที่มีการนำไปใช้

- ปุ่ม Calculate เมื่อใช้เมาส์คลิกที่ปุ่ม Calculate นี้จะปรากฏ ผลลัพธ์ ขึ้นที่ช่องผล  
- ลัพท์
- ปุ่ม Next เมื่อใช้เมาส์คลิกที่ปุ่มนี้จะเป็นการเปิดหน้าต่างไปของโปรแกรมการ  
คำนวณ



รูปที่ 54 แสดงหน้าต่างการคำนวณหาความต้านทานกราวด์กริด

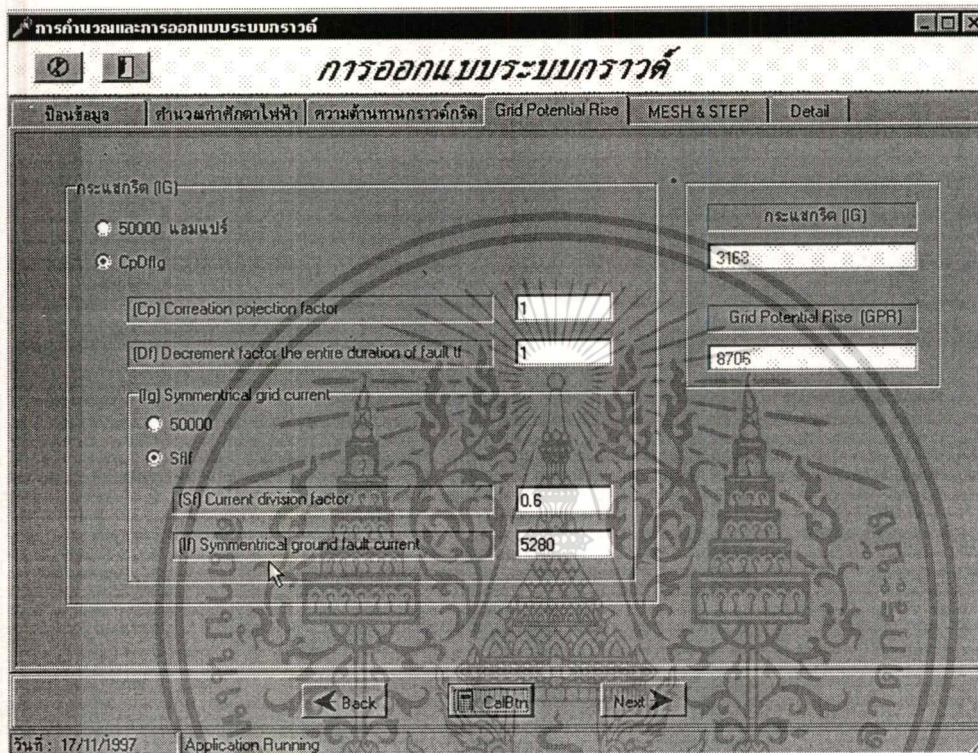
ประกอบด้วย

- ข้อมูลที่ผู้ใช้ต้องเลือก
  1. ลดจำนวนตัวนำ
  2. ไม่ลดจำนวนตัวนำ
- ข้อมูลที่ผู้ใช้ต้องเติม
  1. ประสิทธิภาพ
  2. ระยะห่างระหว่างตัวนำ
- ช่องผลลัพธ์
  1. จำนวนตัวนำที่วางขนานแกน X (Nx)
  2. จำนวนตัวนำที่วางขนานแกน Y (Ny)
  3. ความต้านทานของกราวด์กริด (RG)
- ปุ่ม Back เมื่อใช้เมาส์คลิกที่ปุ่มนี้จะเป็นการย้อนกลับหน้าต่างไปของ

โปรแกรม

เอกสารนี้เป็นเอกสารที่สงวนไว้สำหรับการใช้งานเพื่อการศึกษาเท่านั้น ไม่อนุญาตให้นำไปใช้ประโยชน์ด้านการค้า  
ไม่ว่ากรณีใดๆทั้งสิ้น อีกทั้งห้ามมิให้ดัดแปลงเนื้อหา และต้องอ้างอิงถึงเจ้าของเอกสารทุกครั้งที่มีการนำไปใช้

- ปุ่ม Calculate เมื่อใช้เมาส์คลิกที่ปุ่ม Calculate นี้จะปรากฏ ผลลัพธ์ ขึ้นที่ช่องผล
  - ลัพธ์
- ปุ่ม Next เมื่อใช้เมาส์คลิกที่ปุ่มนี้จะเป็นการเปิดหน้าต่างไปของโปรแกรมการคำนวณ

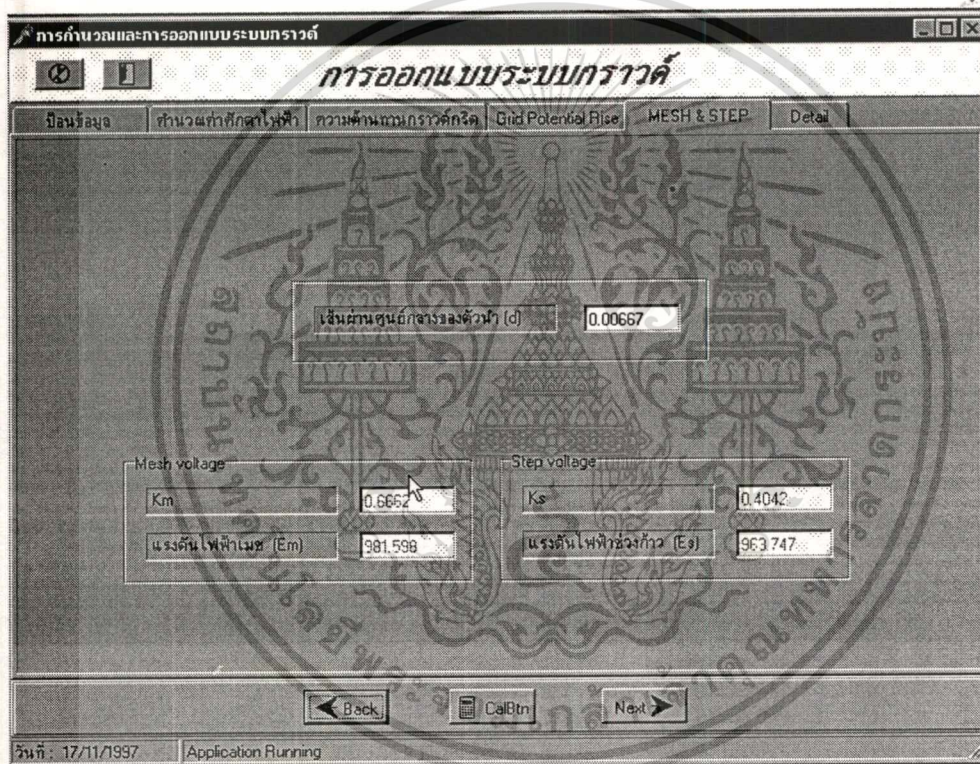


รูปที่ 55 แสดงหน้าต่างการคำนวณหา Grid Potential Rise

ประกอบด้วย

- ข้อมูลที่ผู้ใช้ต้องเลือก
  1. กระแสกริด ประกอบด้วย 5000 A. และ CpDflg
  2. Symmetrical grid current
- ข้อมูลที่ผู้ใช้ต้องเติม
  1. Correation pojection factor
  2. Decrement factor the entire duration of fault if
  3. Current division factor
  4. Symmetrical ground fault current

- ช่องผลลัพธ์
  1. กระแสกริด
  2. Grid Potential Rise
- ปุ่ม Back เมื่อใช้เมาส์คลิกที่ปุ่มนี้จะเป็นการย้อนกลับหน้าถัดไปของโปรแกรมการคำนวณ
- ปุ่ม Calculate เมื่อใช้เมาส์คลิกที่ปุ่ม Calculate นี้จะปรากฏ ผลลัพธ์ ขึ้นที่ช่องผลลัพธ์
- ปุ่ม Next เมื่อใช้เมาส์คลิกที่ปุ่มนี้จะเป็นการเปิดหน้าถัดไปของโปรแกรมการคำนวณ



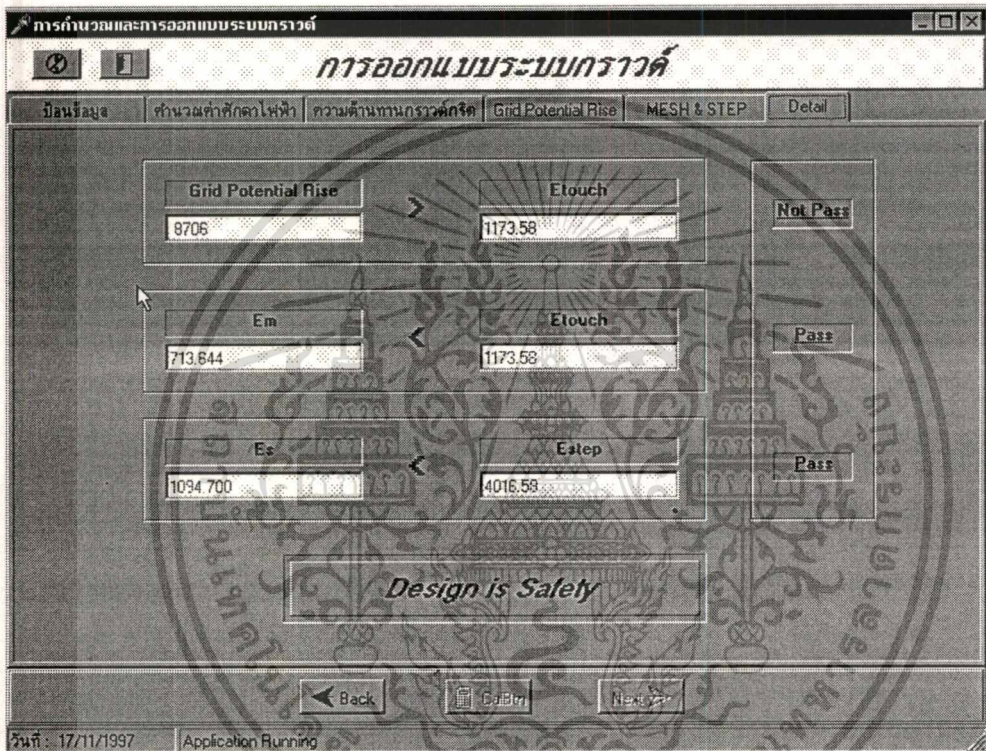
รูปที่ 56 แสดงหน้าต่างการคำนวณหา Mesh & Step

ประกอบด้วย

- ข้อมูลที่ผู้ใช้ต้องเติม
  1. เส้นผ่านศูนย์กลางของตัวนำ
- ช่องผลลัพธ์
  1. ค่า Km
  2. แรงดันไฟฟ้าเมช (Em)
  3. ค่า Ks
  4. แรงดันไฟฟ้าช่วงก้าว (Es)

เอกสารนี้เป็นเอกสารที่สงวนไว้สำหรับการใช้งานเพื่อการศึกษาเท่านั้น ไม่อนุญาตให้นำไปใช้ประโยชน์ด้านการค้า ไม่ว่าจะกรณีใดๆ ทั้งสิ้น อีกทั้งห้ามมิให้ดัดแปลงเนื้อหา และต้องอ้างอิงถึงเจ้าของเอกสารทุกครั้งที่มีการนำไปใช้

- ปุ่ม **Back** เมื่อใช้เมาส์คลิกที่ปุ่มนี้จะเป็นการย้อนกลับหน้าถัดไปของโปรแกรมการคำนวณ
- ปุ่ม **Calculate** เมื่อใช้เมาส์คลิกที่ปุ่ม Calculate นี้จะปรากฏ ผลลัพธ์ ขึ้นที่ช่องผลลัพธ์
- ปุ่ม **Next** เมื่อใช้เมาส์คลิกที่ปุ่มนี้จะเป็นการเปิดหน้าถัดไปของโปรแกรมการคำนวณ



รูปที่ 57 แสดงหน้าต่างการเช็ค ค่าความปลอดภัย หรือ ไม่ปลอดภัย

ประกอบด้วย

- ช่องการเช็คผลลัพธ์
  1. Grid Potential Rise, Etouch
  2. Em, Etouch
  3. Es, Estep
- ปุ่ม **Back** เมื่อใช้เมาส์คลิกที่ปุ่มนี้จะเป็นการย้อนกลับหน้าถัดไปของโปรแกรมการคำนวณ

การคำนวณและการออกแบบระบบกราวด์

**การออกแบบระบบกราวด์**

ข้อมูลเบื้องต้น    ค่าความต้านทานค่าศักดาไฟฟ้า    ความต้านทานกราวด์กริด    Grid Potential Rise    MESH & STEP    Detail

น้ำหนักเฉลี่ย  
 50 Kg.     70 Kg.

แผ่นพลาสติก

ใส่แผ่นพลาสติก

ความหนาของชั้นหินกรวด (hs)	0.08
ความลึกของแผ่นพลาสติก	0.2
ขนาดของแผ่นพลาสติก	2.8
รัศมีของตัวนำ	0.0148

ความต้านทานจำเพาะของดิน	500
ความต้านทานจำเพาะของหินกรวด	3000
ความลึกของตัวนำกริด (h)	0.5
ความหนาของชั้นหินกรวด (hs)	0.1
ระยะเวลาของกระแสลัดวงจร (Ts)	0.6

K	Reduction factor(Cs)
0.71	0.665

ค่าศักดาไฟฟ้า

Etouch	Estep
1173.58	4016.58

ก่อนใส่แผ่นพลาสติก

R2FS	9765.61
R2FP	2527.35

หลังใส่แผ่นพลาสติก

R2FS	16316.75
R2FP	4790.13

Function (Fx)

x1	F(x1)
1.00	0.53
x2	F(x2)
0.08	0.18

Back    CalBtn    Next

วันที่: 17/11/1997    Application Running

### รูปที่ 58 แสดงหน้าต่างการคำนวณหาศักดาไฟฟ้า ในกรณีใส่แผ่นพลาสติก

ประกอบด้วย

- ข้อมูลที่ผู้ใช้ต้องเลือก
  1. น้ำหนักเฉลี่ย ประเภท 50 Kg. และ 70 Kg.
  2. แผ่นพลาสติก
- ข้อมูลที่ผู้ใช้ต้องเติม
  1. ความต้านทานจำเพาะของดิน
  2. ความต้านทานจำเพาะของหินกรวด
  3. ความลึกของตัวนำกริด
  4. ความหนาของชั้นหินกรวด
  5. ระยะเวลาของกระแสลัดวงจร
  6. ค่า Reduction (Cs)
  7. ความหนาของชั้นหินกรวด
  8. ความลึกของแผ่นพลาสติก
  9. ขนาดของแผ่นพลาสติก
  10. รัศมีของตัวนำ

- **ช่องผลลัพธ์** 1. ค่าศักดาไฟฟ้า ประกอบด้วย ค่า Etouch และ Estep

เอกสารนี้เป็นเอกสารที่สงวนไว้สำหรับการใช้งานเพื่อการศึกษาเท่านั้น ไม่อนุญาตให้นำไปใช้ประโยชน์ด้านการค้า  
 ไม่ว่ากรณีใดๆทั้งสิ้น อีกทั้งห้ามมิให้ดัดแปลงเนื้อหา และต้องอ้างอิงถึงเจ้าของเอกสารทุกครั้งที่มีการนำไปใช้

- ปุ่ม Back เมื่อใช้เมาส์คลิกที่ปุ่มนี้จะเป็นการย้อนกลับหน้าถัดไปของโปรแกรม
- ปุ่ม Calculate เมื่อใช้เมาส์คลิกที่ปุ่ม Calculate นี้จะปรากฏ ผลลัพธ์ ขึ้นที่ช่องผล
  - ลัพธ์
- ปุ่ม Next เมื่อใช้เมาส์คลิกที่ปุ่มนี้จะเป็นการเปิดหน้าถัดไปของโปรแกรมการคำนวณ

รูปที่ 59 แสดงหน้าต่างการคำนวณหาความต้านทานกรวดกรวด

ประกอบด้วย

- ข้อมูลที่ผู้ใช้ต้องเลือก
  1. ลดจำนวนตัวนำ และ ไม่เลือก ลดจำนวนตัวนำ
- ข้อมูลที่ผู้ใช้ต้องเติม
  1. ประสิทธิภาพ
  2. ระยะห่างระหว่างตัวนำ
  3. ความยาวของตัวนำกรวด
  4. ความยาวของตัวนำกรวด
- ช่องผลลัพธ์
  1. จำนวนตัวนำที่วางขนานแกน X
  2. จำนวนตัวนำที่วางขนานแกน Y
  3. ความต้านทานของกรวดกรวด

เอกสารนี้เป็นเอกสารที่สงวนไว้สำหรับการใช้งานเพื่อการศึกษาเท่านั้น เมื่อนุญาตให้นำไปใช้ประโยชน์ด้านการค้า ไม่ว่าจะกรณีใดๆทั้งสิ้น อีกทั้งห้ามมิให้ดัดแปลงเนื้อหา และต้องอ้างอิงถึงเจ้าของเอกสารทุกครั้งที่มีการนำไปใช้

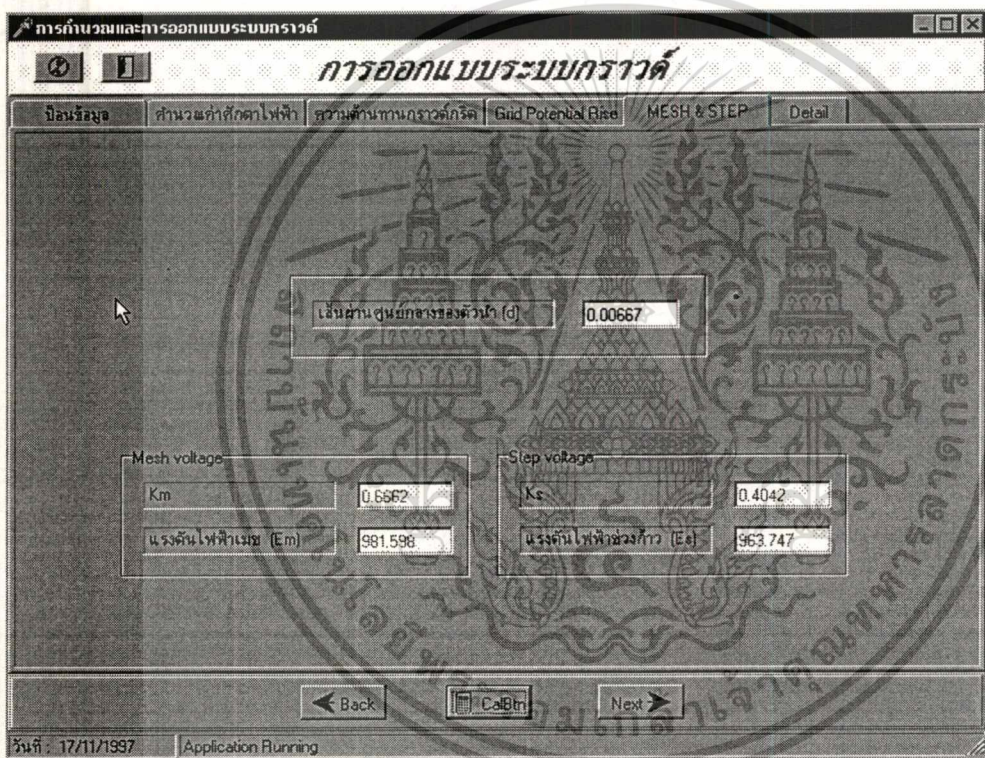
- ปุ่ม Back เมื่อใช้เมาส์คลิกที่ปุ่มนี้จะเป็นการย้อนกลับหน้าถัดไปของโปรแกรมการคำนวณ
- ปุ่ม Calculate เมื่อใช้เมาส์คลิกที่ปุ่ม Calculate นี้จะปรากฏ ผลลัพธ์ ขึ้นที่ช่องผล -  
- ลิฟท์

รูปที่ 60 แสดงหน้าต่างการคำนวณหา Grid Potential Rise

ประกอบด้วย

- ข้อมูลที่ผู้ใช้ต้องเลือก
  1. กระแสกริด ประกอบด้วย 5000 A. และ CpDflg
  2. Symmetrical grid current
- ข้อมูลที่ผู้ใช้ต้องเติม
  1. Correation pojection factor
  2. Decrement factor the entire duration of fault if
  3. Current division factor
  4. Symmetrical ground fault current

- ช่องผลลัพธ์
  1. กระแสกริด
  2. Grid Potential Rise
- ปุ่ม Back เมื่อใช้เมาส์คลิกที่ปุ่มนี้จะเป็นการย้อนกลับหน้าถัดไปของโปรแกรมการคำนวณ
- ปุ่ม Calculate เมื่อใช้เมาส์คลิกที่ปุ่ม Calculate นี้จะปรากฏ ผลลัพธ์ ขึ้นที่ช่องผลลัพธ์
- ลัพธ์
- ปุ่ม Next เมื่อใช้เมาส์คลิกที่ปุ่มนี้จะเป็นการเปิดหน้าถัดไปของโปรแกรมการคำนวณ



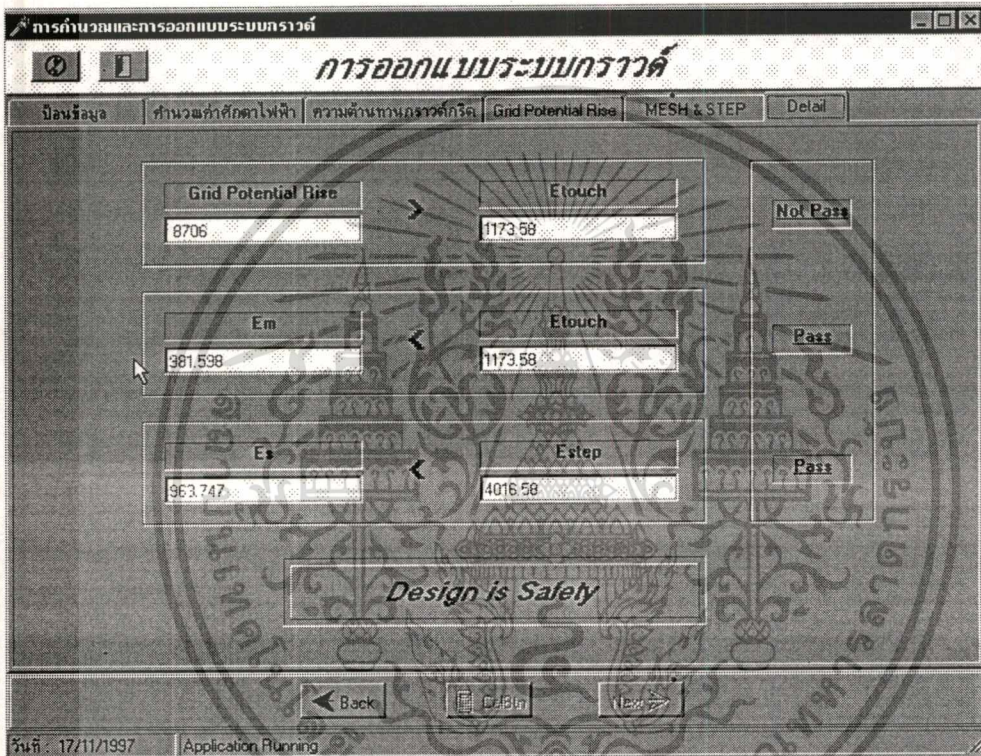
รูปที่ 61 แสดงหน้าต่างการคำนวณหา Mesh & Step

ประกอบด้วย

- ข้อมูลที่ผู้ใช้งานต้องเติม
  1. เส้นผ่านศูนย์กลางของตัวนำ
- ช่องผลลัพธ์
  1. ค่า Km
  2. แรงดันไฟฟ้าเมช (Em)
  3. ค่า Ks
  4. แรงดันไฟฟ้าช่วงก้าว (Es)

เอกสารนี้เป็นเอกสารที่สงวนไว้สำหรับการใช้งานเพื่อการศึกษาเท่านั้น ไม่อนุญาตให้นำไปใช้ประโยชน์ด้านการค้า ไม่ว่ากรณีใดๆทั้งสิ้น อีกทั้งห้ามมิให้ดัดแปลงเนื้อหา และต้องอ้างอิงถึงเจ้าของเอกสารทุกครั้งที่มีการนำไปใช้

- ปุ่ม Back เมื่อใช้เมาส์คลิกที่ปุ่มนี้จะเป็นการย้อนกลับหน้าถัดไปของโปรแกรมการคำนวณ
- ปุ่ม Calculate เมื่อใช้เมาส์คลิกที่ปุ่ม Calculate นี้จะปรากฏ ผลลัพธ์ ขึ้นที่ช่องผล - ลัพท์
- ปุ่ม Next เมื่อใช้เมาส์คลิกที่ปุ่มนี้จะเป็นการเปิดหน้าถัดไปของโปรแกรมการคำนวณ



รูปที่ 62 แสดงหน้าต่างการเช็ค ค่าความปลอดภัย หรือ ไม่ปลอดภัย

ประกอบด้วย

- ช่องการเช็คผลลัพธ์
  1. Grid Potential Rise, Etouch
  2. Em, Etouch
  3. Es, Estep
- ปุ่ม Back เมื่อใช้เมาส์คลิกที่ปุ่มนี้จะเป็นการย้อนกลับหน้าถัดไปของโปรแกรมการคำนวณ

การออกแบบระบบกริดที่ไม่สมมาตร

รับข้อมูล | จำนวนของตัวนำกริด | ระยะของตัวนำกริด

พื้นที่ของสถานีไฟฟ้า

ความยาวของพื้นที่

ความกว้างของพื้นที่

Calculate

Next

ประสิทธิภาพ

ความต้านทานจำเพาะของดิน

Ground fault current

ETouch

ความยาวของกริด

รูปที่ 63 แสดงหน้าต่างการหาระยะระหว่างตัวนำกริด

การออกแบบระบบกริดที่ไม่สมมาตร

รับข้อมูล | จำนวนของตัวนำกริด | ระยะของตัวนำกริด

ระยะกริดสมมาตร

จำนวนตัวนำที่ขนานกัน ในทิศทางขนานแกน X

จำนวนตัวนำที่ขนานกัน ในทิศทางขนานแกน Y

จำนวนของตัวนำทั้งหมดของระยะกริดที่สมมาตร

เปอร์เซ็นต์ของการประหยัดวัสดุ

ระยะกริดไม่สมมาตร

จำนวนตัวนำที่ขนานกัน ในทิศทางขนานแกน X

จำนวนตัวนำที่ขนานกัน ในทิศทางขนานแกน Y

จำนวนของตัวนำทั้งหมดของระยะกริดที่สมมาตร

Prev

Next

รูปที่ 64 แสดงหน้าต่างการหาระยะระหว่างตัวนำกริด

เอกสารนี้เป็นเอกสารที่สงวนไว้สำหรับการใช้งานเพื่อการศึกษาเท่านั้น ไม่อนุญาตให้นำไปใช้ประโยชน์ด้านการค้า ไม่ว่าจะกรณีใดๆทั้งสิ้น อีกทั้งห้ามมิให้ดัดแปลงเนื้อหา และต้องอ้างอิงถึงเจ้าของเอกสารทุกครั้งที่มีการนำไปใช้

การออกแบบระบบกริดที่ไม่สมมาตร

การวางระบบวางสายเคเบิล

รับข้อมูล จำนวนของตัวนำกริด ระยะของตัวนำกริด

ตารางความสัมพันธ์ค่า b และ K Calculate Exit

ระยะของตัวนำในทิศทางขนานแกน X

K1	b1	b2	b3

ระยะของตัวนำในทิศทางขนานแกน Y

K2	b1	b2	b3

ระยะกริด	SK1 (%)	LK1 (m)

ระยะกริด	SK2 (%)	LK2 (m)

รูปที่ 65 แสดงหน้าต่างการหาระยะระหว่างตัวนำกริด

ตารางความสัมพันธ์ระหว่างค่า b และ K

K	b1	b2	b3
7	-0.312	0.369	0.287
8	-0.281	0.339	0.264
9	-0.237	0.322	0.214
10	-0.211	0.312	0.191
11	-0.185	0.304	0.165
12	-0.175	0.265	0.162
13	-0.162	0.234	0.161
14	-0.161	0.199	0.160
16	-0.158	0.167	0.149
16	-0.146	0.167	0.139
17	-0.136	0.146	0.131
18	-0.132	0.133	0.127
19	-0.136	0.127	0.121
20	-0.119	0.122	0.117

OK

รูปที่ 66 แสดงหน้าต่างความสัมพันธ์ระหว่างค่า b และ k

เอกสารนี้เป็นเอกสารที่สงวนไว้สำหรับการใช้งานเพื่อการศึกษาเท่านั้น ไม่อนุญาตให้นำไปใช้ประโยชน์ด้านการค้า ไม่ว่าจะกรณีใดๆทั้งสิ้น อีกทั้งห้ามมิให้ดัดแปลงเนื้อหา และต้องอ้างอิงถึงเจ้าของเอกสารทุกครั้งที่มีการนำไปใช้

## บทที่ 6

### สรุปผลของการวิจัย และข้อเสนอแนะ

การออกแบบระบบต่อลงดินของสถานีไฟฟ้าช้อยนั้น โดยการใส่แผ่นพลาสติกเพิ่มเข้าไปเหนือตะแกรงกริดเป็นบางจุด โดยจะใส่ไว้ระหว่างร่องตาข่าย ณ ตำแหน่งที่คาดว่ามีความอันตรายมาก เช่น ทางเดิน ตำแหน่งที่ตั้งอุปกรณ์ เป็นต้น ซึ่งมันเป็นการเพิ่มค่าความต้านทานที่ทำให้สูงขึ้นได้ในบางจุดของสถานีไฟฟ้าช้อย ดังตัวแปรต่าง ๆ ที่สำคัญในการวิจัย คือ ความหนาของชั้นหินกรวด ความต้านทานจำเพาะของดินขึ้นอยู่กับสภาพของที่ตั้งสถานีไฟฟ้าช้อย, ระยะเวลาถือของแผ่นพลาสติก, ความลึกของการฝังตะแกรงกริด, ความยาวของตัวนำ, กราวด์รีด, ระยะห่างระหว่างตัวนำที่ขนานกัน, จำนวนร่องตาข่าย การวิจัยที่น่าเสนอนี้เป็นการออกแบบระบบต่อลงดินที่ใช้โปรแกรมคอมพิวเตอร์เพื่อนำไปใช้งานได้จริงเพราะมีการแสดงผลผ่านทางหน้าจอคอมพิวเตอร์ อีกทั้งในกรณีที่ค่าของศักดาไฟฟ้าต่าง ๆ ถ้าไม่เป็นไปตามเงื่อนไข โปรแกรมก็ยังสามารถที่จะทำการออกแบบปรับปรุงได้ ตามตัวแปรที่สำคัญ ๆ ในเบื้องต้น การวิจัยระบบต่อลงดินโดยนำแผ่นพลาสติกใส่เพิ่มเข้าไปนั้นจะทำให้เกิดความปลอดภัยมากขึ้น ซึ่งจะได้ ค่าศักดาไฟฟ้าตามข้อกำหนดด้วย

อนึ่งแนวทางใหม่ของการออกแบบระบบต่อลงดินของสถานีไฟฟ้าช้อยซึ่งเป็นวิธีการที่เพิ่มเติมหลังจากใส่แผ่นพลาสติกแล้ว โดยเป็นวิธีการลดจำนวนตัวนำของตะแกรงกริดที่มีระยะไม่สมมาตร ซึ่งวิธีนี้สามารถลดจำนวนตัวนำได้ถึง 30-40 เปอร์เซ็นต์ ทำให้เกิดการประหยัดและมีความปลอดภัยมากขึ้น ระยะตะแกรงกริดที่ไม่สมมาตรทำให้กระแสที่ไหลผ่านตัวนำแผ่กระจายในชั้นดินได้ดี และยังทำให้ลดศักดาไฟฟ้าที่พื้นผิวหน้าของดินด้วย อีกทั้งยังทำให้เกิดความปลอดภัยในชีวิตและอุปกรณ์ต่าง ๆ

บทสรุปในวิทยานิพนธ์ฉบับนี้ แสดงให้เห็นถึงความคิดเพิ่มเติมทางการออกแบบระบบต่อลงดินของสถานีไฟฟ้าช้อยตาม ANSI/IEEE Std.80-1986 ซึ่งเป็นมาตรฐานที่ยอมรับกันโดยทั่วไป โดยการใส่แผ่นพลาสติกเพื่อเพิ่มความต้านทานที่เท้าของผู้ปฏิบัติการ อีกทั้งวิธีลดจำนวนตัวนำของตะแกรงกริดที่มีระยะไม่สมมาตรแสดงให้เห็นทั้งวิธีคำนวณและการประมวลผลของโปรแกรมการประมวลผลจะมีความสะดวกและรวดเร็ว แต่ก็มีข้อเสียอยู่หลายประการด้วยกัน เพราะโปรแกรมไม่สามารถทราบได้เลยว่า ข้อมูล ที่ผู้ใช้ป้อนเข้าสู่โปรแกรมถูกต้องหรือไม่ ดังนั้นเมื่อผู้ใช้งานต้องการที่จะทำการประมวลผลต่าง ๆ ที่กำหนดด้วยโปรแกรมการประมวลผลแล้ว ผู้ใช้ต้องทำการตรวจสอบความถูกต้องของข้อมูล ก่อนที่จะป้อนข้อมูลเข้าสู่โปรแกรม แต่ถ้ากรณีที่ใช้ป้อนข้อมูลถูกต้องแล้ว

โปรแกรมจะทำการประมวลผลและแสดงค่าที่ถูกต้องต่อไป นั่น ไม่อนุญาตให้นำไปใช้ประโยชน์ด้านการค้า ไม่ว่าจะกรณีใดๆทั้งสิ้น อีกทั้งห้ามมิให้ดัดแปลงเนื้อหา และต้องอ้างอิงถึงเจ้าของเอกสารทุกครั้งที่มีการนำไปใช้

### บรรณานุกรม

- [1] ANSI-IEEE Standard 80-1986, "IEEE Guide for Safety in AC Substation Grounding" Institute of Electrical and Electronics Engineers, Inc., New York 1986
- [2] B. Thapar, and Z.A Alaywan, "Increasing of Ground Resistance of Human Foot in Substation Yards" IEEE Trans. on Power Delivery, vol. RWRD-4 1989, PP45-59
- [3] L. Huang, and X. Chen "Study of unequally spaced grounding grids" IEEE Trans. on power delivery, vol. 10, 2, April 1995
- [4] B. Thapar and Victor Gerez. "Ground Resistance of the foot in Substation yards" IEEE Transactions on Power Delivery, vol. 8, No. 1, 1993
- [5] Y.L. chow and m. m. A Salama, "Simplified method for calculating the Substation Grounding Grid Resistance" IEEE Trans. on Power Delivery, vol 9, No.2 April 1994
- [6] A.P. meliopoulos, F. Xia, E.B. Joy and G.J. Ckkinides "An advanced computer model for grounding system analysis" IEEE Transactions on Power delivery, vol. 8, No.1, January 1993
- [7] F. Dawalibi and D. mukhedkar, "Influence of Ground Rod on Grounding Grids", IEEE Transactions on Power Apparatus and Systems, vol. PAS-98, No.-6, PP.2098, Nov/Dec 1979
- [8] B. Thapar, V. Gerez and V Singh, "Effective ground resistance of the human feet in high voltage switchyards," IEEE Transactions on Power Delivery, vol.8, No.1, January 1993.
- [9] B. Thapar, V. Gerez and P.Emmanuel, "Ground Resistance of the human feet in Substation Yards," IEEE/PES Winter 1992 Meeting
- [10] J.G. Sverak, "Simplified Analysis of Electrical Gradients Above a Grounding Grids, Part I: How Good is The Present IEEE Method? IEEE Transactions on Power Apparatus, vol. PAS-103, PP.7-25, January 1984
- [11] F. Dawalibi, W.Xiong and J. Ma, "Effects of Deteriorated and Contaminated Substation surface covering Layers on foot Resistance Calculations" IEEE Transactions on power Delivery, vol.8, No. 1, January 1993.

- [12] B. Thapar , V. Gerez and H.Kejriwal, “Reduction Factor For The Ground Resistance of Foot in Substation yards” IEEE Transactions on Power Delivery, vol. 9, No. 1 January 1994
- [13] C.X. CHEN and D.G. KASTEN, “An Expression for the Calculation of Grounding Resistance in Uniform Soil” Electric Power Systems Research, 9 (1985) 193-200.
- [14] J. Lazzara, and N. Barbeito, “Simplified Two Layer Model Substation Ground Grid Design Methodology” IEEE Transactions on Power Delivery, vol. 5, No. 4, November 1990.
- [15] ชำนาญ ห่อเกียรติ. 2532.” การต่อลงดินของสถานีไฟฟ้าย่อย” มหาวิทยาลัยเกษตรศาสตร์, กรุงเทพฯ. 21 น.
- [16] “เอกสารการออกแบบระบบกราวด์” Sri-u-thong Company Limited.
- [17] วิชาส เฉลยสัตย์. “เอกสารการออกแบบระบบกราวด์ในสถานีไฟฟ้าย่อย” แผนกออกแบบการจ่ายใช้ให้ผู้ใช้ไฟฟ้าขนาดใหญ่. การไฟฟ้านครหลวง
- [18] สราวุธ พงษ์เพชร. 2532 “การออกแบบระบบกราวด์ของสถานีไฟฟ้าย่อย” วิทยานิพนธ์ปริญญาโท. มหาวิทยาลัยเกษตรศาสตร์, กรุงเทพฯ
- [19] บัณฑูร พิทักษ์วงษ์, ศุติ บรรจงจิตร “แนวทางใหม่ของการออกแบบระบบต่อลงดินของสถานีไฟฟ้าย่อยโดยใช้คอมพิวเตอร์” การประชุมวิชาการทางวิศวกรรมไฟฟ้าครั้งที่ 20 13-14 พฤศจิกายน 2540



ภาคผนวก

เอกสารนี้เป็นเอกสารที่สงวนไว้สำหรับการใช้งานเพื่อการศึกษาเท่านั้น ไม่อนุญาตให้นำไปใช้ประโยชน์ด้านการค้า  
ไม่ว่ากรณีใดๆทั้งสิ้น อีกทั้งห้ามมิให้ดัดแปลงเนื้อหา และต้องอ้างอิงถึงเจ้าของเอกสารทุกครั้งที่มีการนำไปใช้

## 1. มาตรฐานการต่อลงดินและค่าความต้านทานของการต่อลงดิน

1. National Electrical Safety Code 1977 ถ้าในระบบมีจุดต่อลงดินเพียงจุดเดียว (Single grounded system) ความต้านทานของสายดินต้องมีค่าไม่เกิน 25 โอห์ม (ถ้าสามารถทำได้) และในกรณีของระบบที่มีจุดต่อลงดินหลายจุด (multiple grounded system) สายนิวทรัลจะต้องต่อลงดินที่ตำแหน่งหม้อแปลง และเพิ่มขึ้นอีกไม่น้อยกว่า 4 จุด

2. National Electrical Code 1975 ถ้าตอกแท่งหลักสายดิน 1 ท่อนแล้ววัดค่าความต้านทานของการต่อลงดินได้เกิน 25 โอห์ม ให้ตอกแท่งหลักสายดินเพิ่มอีก 1 ท่อน

3. VDE 0100/11-58 กำหนดให้สายนิวทรัลต้องต่อลงดินใกล้หม้อแปลงและเพิ่มจุดต่อลงดินในไลน์ซึ่งอย่างน้อยที่ตำแหน่งปลายของสายแยกที่ยาวกว่า 200 เมตร ค่าความต้านทานรวมของจุดต่อลงดินใกล้หม้อแปลงและภายในระยะ 200 เมตรที่ห่างจากปลายสายแยกไม่ควรเกิน 5 โอห์ม (แต่ละจุดอาจมีค่าความต้านทานเกินกว่า 5 โอห์มได้) เช่นนิวทรัลต่อลงดิน 4 จุดในระยะ 200 เมตร วัดค่าความต้านทานของแต่ละจุดได้ 60, 30, 15 และ 12 โอห์มตามลำดับ (แต่เมื่อวัดค่าความต้านทานรวมแล้วจะต้องไม่เกิน 5 โอห์ม) ในบางแห่ง เช่น บริเวณที่เต็มไปด้วยหิน (rocky ground) มาตรฐาน VDE ย่อมให้ค่าความต้านทานของสายดินของสายดินสูงถึง 800 โอห์ม แต่ทั้งนี้ค่าแรงดันสัมผัส (Contact voltage) ของสายดินจะต้องไม่เกิน 65 โวลท์

4. VDE 0675/9.57 ความต้านทานสายดินของล่อฟ้า (Lightning arrester) ที่มีพิคัดแรงดันเกิน 1 KV ควรมีค่าไม่เกิน 5 โอห์ม

5. Code of Practice, Protective Earthing ของการไฟฟ้าแห่ง รัฐนิวเซาท์เวลส์ ประเทศออสเตรเลีย กำหนดค่าความต้านทานสายดินของระบบแรงสูงไว้ไม่เกิน 30 โอห์ม และระบบแรงต่ำไม่เกิน 10 โอห์ม (สำหรับระบบแรงต่ำที่มีจุดต่อลงดินหลายจุด)

สำหรับประเทศไทย เนื่องจากพื้นที่บางแห่งแห้งแล้ง บางแห่งเป็นหินและบางแห่งชุ่มชื้น การต่อลงดินในพื้นที่ที่เป็นหินและพื้นที่แห้งแล้ว ให้แต่ละจุดมีค่าความต้านทานไม่เกิน 5 โอห์มนั้นทำได้ยาก ถึงแม้ในทางทฤษฎีจะสามารถทำได้ก็ตาม แต่ก็จะต้องลงทุนสูงและเสียเวลามาก ดังนั้นมาตรฐานของการไฟฟ้าบางแห่ง เช่น มาตรฐานของ กฟผ. ซึ่งเดิมกำหนดค่าความต้านทานทางสายดินแต่ละจุดจะต้องไม่เกิน 5 โอห์ม ก็ได้กำหนดใหม่ว่าควรมีค่าไม่เกิน 5 โอห์ม และในพื้นที่ที่ยากต่อการต่อลงดิน ค่าความต้านทานของสายดินแต่ละจุดยอมให้สูงสุด 25 โอห์ม

## 2. วิธีลดค่าความต้านทานดิน

เมื่อฝังหรือตอกแท่งหลักสายดินตามวิธีการดังกล่าวมาแล้ว ให้ใช้หมอกเกอร์วัดค่าความต้านทาน ณ จุดต่อลงดินซึ่งจะต้องมีค่าไม่เกินกว่า 5 โอห์มหากว่าความต้านทานที่วัดได้เกินกว่าที่กำหนดดังกล่าวมาก จะต้องทำการแก้ไขด้วยวิธีใดวิธีหนึ่ง ดังนี้

### 1. โดยวิธีเพิ่มจำนวนแท่งหลักดิน

การตอกแท่งหลักสายดิน เป็นวิธีที่นิยมใช้กันมากในปัจจุบันหากสามารถตอกแท่งหลักสายดินได้ลึกถึงชั้นของดินที่มีความชื้นถาวร (permanent moisture) แล้วความต้านทานดินจะต่ำมาก ในบางแห่งการตอกแท่งหลักสายดินลงไปลึกเพียง 2 เมตร ก็ถึงชั้นของดินที่มีความชื้นถาวรได้ ดังนั้นการตอกแท่งหลักสายดินให้ลึกลงไปได้มากก็จะยิ่งเป็นผลดี

### 2. โดยการฝังตัวนำตามแนวระดับ

ในกรณีที่ชั้นหิน (Bed rock) อยู่ใกล้ผิวดิน ทำให้ไม่สามารถตอกแท่งหลักสายดินลงไปได้ลึกตามที่กำหนดหรือการตอกลงไปทำให้ได้ค่าความต้านทานดินที่สูงมาก วิธีการฝังตัวนำตามแนวระดับ (Strip electrode) จะช่วยแก้ปัญหาและจะช่วยลดค่าความต้านทานดินให้ลดลงไปได้

วิธีนี้ทำได้โดยการขุดดินให้เป็นร่องลึกประมาณ 50 ซม. และฝังเหล็กแบนยาวไม่น้อยกว่า 10 เมตร (แต่ไม่เกินกว่า 25 เมตร) ในแต่ละแนวส่วนการวัดค่าความต้านทานดินต้องวัดในแนวตั้งฉากกับ Strip electrode เพื่อให้ความต้านทานดินต่ำพออาจจะฝัง strip electrode เพิ่มเป็นหลายแนวตามแนวรัศมีจากจุดทำการวัด วิธีนี้มีข้อเสียคือ เนื่องจาก strip electrode ฝังลึกไม่ถึงชั้นดินที่มีความชื้นถาวร ทำให้ค่าความต้านทานดินเปลี่ยนแปลงได้มากตามฤดูกาล

### 3. โดยการใส่เกลือฝังรอบแท่งหลักสายดิน

วิธีนี้บางทีเรียกว่า Soil Treatment ทำได้โดยขุดหลุมลึกและกว้างประมาณ 30 ซม. เป็นรูปวงแหวนรอบแท่งหลักสายดิน โดยให้ห่างจากแท่งหลักสายดินประมาณ 30 ซม. เพื่อมิให้เกลือไปสัมผัสกับแท่งหลักสายดินโดยตรง โดยใช้เกลือผสมถ่านป่นลงไปประมาณ 20-40 กก. แล้วเอาดินกลบให้พูนสูงกว่าระดับเดิมเล็กน้อย เอาดินซึ่งมีหญ้าขึ้นวางทับอีกทีหนึ่ง แล้วใช้น้ำราดรอบบริเวณนั้นเพื่อให้เกลือละลายและทำปฏิกิริยาได้เร็วขึ้น วิธีนี้จะสามารถลดความต้านทานดินลงได้ประมาณ 15-90 เปอร์เซ็นต์แต่ถ้าดินบริเวณใกล้แท่งหลักสายดินมีความต้านทานจำเพาะต่ำอยู่แล้วก็จะได้ผลน้อย ขณะทำ Soil treatment เสร็จใหม่ ๆ ค่าความต้านทานดินอาจจะสูงขึ้นกว่าเดิม ทั้งนี้อาจเป็นเพราะปฏิกิริยาทางเคมียังไม่ซึมซาบไปทั่วเนื้อดินและดินยังไม่อัดแน่น ดังนั้นจึงพอสรุปได้ว่าการทำ Soil treatment ต้องใช้เวลารอพอสมควรจึงจะทำการวัดได้ อย่างน้อยประมาณ 3-4 ชั่วโมงค่าความต้านทานดินจึงจะลดลง

เนื่องจากการทำ Soil treatment เป็นวิธีการที่ไม่ถาวร เพราะเกลือที่ใช้จะเจือจางไปตามกาลเวลาทำให้ความต้านทานดินกลับสูงขึ้นมาได้อีกจึงต้องมีการทำ Soil treatment ใหม่ ๆ 2-3 ปี นอก

เอกสารนี้เป็นเอกสารที่สงวนไว้สำหรับการใช้งานเพื่อการศึกษาเท่านั้น ไม่อนุญาตให้นำไปใช้ประโยชน์ด้านการค้า

ไม่ว่ากรณีใดๆทั้งสิ้น อีกทั้งห้ามมิให้ดัดแปลงเนื้อหา และต้องอ้างอิงถึงเจ้าของเอกสารทุกครั้งที่มีการนำไปใช้

หากนี้แห่งหลักสายดินยังเป็นสนิมเร็วกว่าปกติอีก ดังนั้นวิธีนี้ควรใช้ในบริเวณที่ดินมีค่าความต้านทานจำเพาะสูง

### 1. Standard Coefficient of Conversion

#### 1.1 ความยาว

$$1 \text{ mil} = 0.0254 \text{ mm.} = 0.001 \text{ in.}$$

$$1 \text{ mm.} = 39.37 \text{ mils.} = 0.03937 \text{ in}$$

$$1 \text{ cm.} = 0.3927 \text{ in.} = 0.0328 \text{ ft.}$$

$$1 \text{ inch} = 25.4 \text{ mm.} = 0.083 \text{ ft.} = 0.0278 \text{ yd.} = 2.54 \text{ cm.}$$

$$1 \text{ feet} = 0.305 \text{ m.} = 0.333 \text{ yd.}$$

$$1 \text{ yard} = 3281 \text{ ft.} = 1094 \text{ yd.} = 0.6123 \text{ mile.}$$

$$1 \text{ mile} = 5280 \text{ ft.} = 1760 \text{ yd} = 1906 \text{ m} = 1.609 \text{ km.}$$

#### 1.2 พื้นที่

$$1 \text{ MCM} = 1000 \text{ CM (Circular Mile)} = 0.5067 \text{ mm}^2 = 1/1000 \text{ in}^2$$

$$1 \text{ CM} = 0.0005067 \text{ mm}^2 = 0.0000007854 \text{ in}^2 = 0.7854 \text{ sq.mi.}$$

$$1 \text{ mm}^2 = 1973 \text{ CM} = 0.00155 \text{ in}^2 = 1550 \text{ sq.mi.}$$

$$1 \text{ in}^2 = 1273240 \text{ CM} = 645.1 \text{ mm}^2 = 0.0067 \text{ ft}^2$$

$$1 \text{ yd}^2 = 1296 \text{ in}^2 = 0.83613 \text{ m}^2$$

$$1 \text{ m}^2 = 1550 \text{ in}^2 = 10.7 \text{ ft}^2 = 1.195 \text{ yd}^2$$

$$1 \text{ km}^2 = 0.001562 \text{ sq.mile}$$

$$1 \text{ sq.mile} = 27880000 \text{ ft}^2 = 3098000 \text{ yd}^2 = 2590000 \text{ m}^2 = 2.59 \text{ km}^2$$

### 3. Index of Design Parameters

Symbol	Description
3/0	Symmetrical fault current in substation for conductor sizing A
$I_G$	Maximum grid current that flows between ground grid and surrounding earth (including do offset) in A
$\rho$	Soil resistivity in $\Omega$ -m
$\rho_s$	Surface layer resistivity $\Omega$ -m
$h_s$	Surface layer thickness
$C_p$	Current projection factor for future system growth

เอกสารนี้เป็นเอกสารของบริษัทฯ ไม่อนุญาตให้นำไปใช้ประโยชน์ด้านการค้า  
ไม่ว่ากรณีใดๆทั้งสิ้น อีกทั้งห้ามมิให้ตัดแปลงเนื้อหา และต้องอ้างอิงถึงเจ้าของเอกสารทุกครั้งที่มีการนำไปใช้

$C_s$	Surface layer resistivity derating factor
$t_c$	Duration of fault current for sizing ground conductor in S
$t_f$	Duration of fault current for determining decrement factor in S
$t_s$	Duration of shock for determining allowable body current in S
$h$	Depth of ground grid conductors in m
$d$	Diameter of grid conductor in m
$A$	Total area enclosed by ground grid in $m^2$
$D$	Spacing between parallel conductors in m
$D_f$	Decrement factor for determining
$n$	Number of parallel conductors in one direction
$K_m$	Spacing factor for mesh voltage, simplified method
$K_s$	Spacing factor for step voltage, simplified method
$K_i$	Corrected factor for grid geometry, simplified method
$K_{ii}$	Corrective weighting factor that adjusts the effects of inner conductors on the corner mesh, simplified method
$K_h$	Corrective weighting factor that emphasizes the effects of grid depth, simplified method
$L$	Total length of grounding system conductor, including grid and ground rods in m
$R_g$	Resistance of grounding system in $\Omega$
$E_m$	Mesh voltage at the center-of the corner mesh for simplified method in V
$E_s$	Step voltage between a point above the outer corner of the grid and a point $l_m$ diagonally outside the grid for simplified method in V
$E_{touch50}$	Tolerable touch voltage for human with 50 kg body weight in V
$E$	Tolerable touch voltage for human with 70 kg body weight in V
$E_{step50}$	Tolerable step voltage for human with 50 kg body weight in V
$E_{step70}$	Tolerable step voltage for human with 70 kg body weight in V

เอกสารนี้เป็นเอกสารที่สงวนไว้สำหรับการใช้งานเพื่อการศึกษาเท่านั้น ไม่อนุญาตให้นำไปใช้ประโยชน์ด้านการค้า  
ไม่ว่ากรณีใดๆทั้งสิ้น อีกทั้งห้ามมิให้ดัดแปลงเนื้อหา และต้องอ้างอิงถึงเจ้าของเอกสารทุกครั้งที่มีการนำไปใช้

## 4. งานวิจัยที่ผ่านมา

งานวิจัยที่เกี่ยวข้องกับระบบกราวด์ของสถานีไฟฟ้านั้นมีอยู่มาก และได้มีการพัฒนาวิธีการให้มีความเหมาะสมในการนำไปใช้งานในทางปฏิบัติ ซึ่งแต่ละงานวิจัยก็จะมีการตั้งข้อสมมุติฐานและเสนอวิธีการต่างกันไป บางงานวิจัยอาจจะเสนอเฉพาะวิธีการหาพารามิเตอร์ตัวใดตัวหนึ่ง บางงานวิจัยอาจจะเสนอวิธีการออกแบบอย่างสมบูรณ์ แต่อย่างไรก็ตามงานวิจัยเหล่านั้นก็ยังมีขีดจำกัดในการนำไปใช้งานจริง ซึ่งแต่ละงานวิจัยพอจะแยกได้ดังนี้

### 4.1 การหาค่าความต้านทานระบบกราวด์

ค่าความต้านทานระบบกราวด์เป็นพารามิเตอร์ที่สำคัญในการหาระดับศักดาไฟฟ้าที่เพิ่มขึ้นบนกราวด์ (Ground Potential Rise - GPR) อันเนื่องมาจากมีกระแสลัดวงจรลงดิน เพื่อให้ทราบว่าศักดาไฟฟ้าที่เพิ่มขึ้นบนกราวด์อยู่ในช่วงที่มนุษย์จะทนได้หรือไม่ ซึ่งจะเห็นได้ว่าถ้าค่าความต้านทานระบบกราวด์มีค่าต่ำศักดาไฟฟ้าที่เพิ่มขึ้นก็จะมีค่าต่ำด้วยแต่ก็ไม่ได้ประกันว่าศักดาไฟฟ้าที่เพิ่มขึ้นบนกราวด์หรือค่าความต้านทานของกราวด์จะเป็นตัวกำหนดถึงความปลอดภัยได้อย่างแน่นอน

สมการที่ใช้หาค่าความต้านทานกราวด์พื้นฐานที่ใช้กันอย่างแพร่หลายคือสมการของ Schwarz (1954) ซึ่งได้เสนอสมการหาค่าความต้านทานของกริด ค่าความต้านทาน กราวด์รีด และค่าความต้านทานรวมระหว่างกราวด์กริดกับกราวด์รีดเพื่อนำไปหาค่าความต้านทาน

กราวด์ทั้งหมดใช้ได้กับกรณีที่ดินเป็นดินชั้นเดียว ซึ่ง Kerel (1981) ได้นำสมการที่ Schwarz เสนอไว้มาใช้เพื่อหาความยาวของตัวนำกริดทั้งหมดที่น้อยที่สุด ที่จะทำให้ได้ค่าความต้านทานของกราวด์ที่ต้องการ โดยจะแบ่งการคำนวณออกเป็น Loop) และสมมุติให้ตัวนำกริดฝังอยู่ในดินชั้นเดียวที่มีค่าความต้านทานต่ำกว่าผิวดินและไม่คำนึงถึงกราวด์รีด

Chow และ Salama (1994) ได้เสนอวิธีการคำนวณหาค่าความต้านทานกราวด์ด้วยวิธีการที่เรียกว่าอิมเมจของกระแส (Current Image) โดยสูตรที่ใช้ในการคำนวณความต้านทานกราวด์จะ ขึ้นอยู่กับความลึกของกริด, ขนาดของกริด, จำนวนเมฆและขนาดของเส้นผ่านศูนย์กลางของตัวนำ ที่ใช้ทำกริด โดยถือว่าดินที่ใช้เป็นดินชั้นเดียว การคำนวณค่าความต้านทานกราวด์ด้วยวิธีนี้ เมื่อ ทำการเปลี่ยนขนาดเส้นผ่านศูนย์กลางตัวนำ จะมีผลต่อค่าความต้านทานกราวด์มาก

Thapar และ คณะ (1991) ได้เสนอวิธีการหาค่าความต้านทานกราวด์ของสถานีไฟฟ้ารูปทรงต่าง ๆ ที่นอกเหนือไปจากสี่เหลี่ยมผืนผ้าและสี่เหลี่ยมจตุรัส เช่น รูปทรงตัวแอล, ตัวที และทรงสามเหลี่ยม โดยถือว่าดินที่ใช้เป็นแบบดินชั้นเดียว (Uniform Soil) สมการที่ใช้หาค่าความต้านทาน กราวด์ใช้ได้กับการแบ่งเมฆเป็นส่วนตัดตรงยาวประมาณ 5 เมตร โดยที่ไม่มีกราวด์หรือค้ำร่วมอยู่ด้วย สมการที่ใช้ในการหาความต้านทานตัวมันเองและความต้านทานร่วม (Self and Ground Resistance) อยู่บนพื้นฐานของศักดาไฟฟ้าเฉลี่ยในแต่ละส่วน

#### 4.2 การหาค่าความต้านทานจำเพาะของดิน

ประโยชน์ของดินนั้นมีมากมายหลายอย่างด้วยกัน เช่นในการป้องกันอันตรายจากกระแสไฟฟ้าลัดวงจรและฟ้าผ่าได้ ซึ่งในสถานะที่ดินมีค่าความชื้นน้อย จะทำให้ดินนั้นมีค่าความต้านทานสูง แต่ถ้าหากดินมีความชื้นมาก ก็จะทำให้ค่าความต้านทานของดินมีค่าความต้านทานต่ำ ซึ่งความชื้นในดินจะขึ้นอยู่กับชนิดของดิน คือ ถ้าเป็นดินที่มีลักษณะเป็นดินทรายจะมีความชื้นน้อย เพราะที่ดินชนิดนี้อุ้มน้ำได้ไม่ดี แต่ถ้าหากเป็นดินเหนียวจะมีความชื้นมาก เพราะสามารถอุ้มน้ำได้ดี นอกจากนั้นค่าความชื้นของดินยังขึ้นอยู่กับฤดูกาลอีกด้วย คือ ถ้าเป็นฤดูแล้งดินจะมีความชื้นน้อย จึงทำให้ดินในฤดูฝนนี้มีความต้านทานต่ำ

ในการคำนวณเพื่อออกแบบระบบกราวด์ของสถานีไฟฟ้าอยู่นั้น ค่าที่สำคัญที่จะต้องนำมาใช้ในการคำนวณคือค่าความต้านทานจำเพาะของดิน ซึ่งโครงสร้างของดินนั้นอาจจะเป็นดินชั้นเดียว (Single-Layer) ที่มีค่าความต้านทานจำเพาะอย่างสม่ำเสมอ หรืออาจจะมีค่าต่างกันเป็นชั้น ๆ เรียกว่าเป็นดินหลายชั้น (Multi-Layer) แต่อย่างไรก็ตามในทางปฏิบัติแล้วการกำหนดโครงสร้างของดินเป็นชั้นเดียวนั้นก็เพื่อให้การคำนวณง่ายแต่ก็อาจจะทำให้การออกแบบนั้นผิดพลาดไปได้ ดังนั้นเพื่อให้การคำนวณนั้นถูกต้องยิ่งขึ้นอาจจะกำหนดให้ดินเป็นดินสองชั้น (Two-Layer) ก็ได้ จึงต้องมีการประมาณค่าพารามิเตอร์ทั้งสามของดินที่เป็นดินสองชั้น ซึ่งจะประกอบด้วยค่าความต้านทานจำเพาะของดินชั้นบน ชั้นล่างและความลึกของดินชั้นบน

Blatner (1980) ได้เสนอวิธีการคาดการณ์ค่าความต้านทานจำเพาะของดินและค่าความต้านทานของกราวด์หรือค้ำ ที่ระดับความลึกต่าง ๆ โดยวิธี Extrapolate จากค่าที่ได้จากการวัดโดยวิธีปักกราวด์หรือค้ำ (Driven Rod Method) ซึ่งค่าที่ได้จะเป็นค่าความต้านทานจำเพาะปรากฏ (Apparent Resistivity) ค่าที่ได้จากการ Extrapolate จะถูกต้องที่สุดที่อัตราการเปลี่ยนแปลงของค่าความต้านทานจำเพาะของดินต่อเมตรมีค่าเกือบคงที่และ อยู่ในช่วงไม่เกินสิบเท่าของความลึกสูงสุดที่วัดได้ แต่วิธีดังกล่าวนี้ไม่สามารถที่จะหาค่าพารามิเตอร์ของดินได้

วิธีดังกล่าวความต้านทานจำเพาะของดินนั้นจะมีอยู่ด้วยกันหลายวิธี แต่วิธีที่มีการนำมาศึกษาและนำมาใช้ในการออกแบบระบบกราวด์จะมีอยู่ด้วยกันสองวิธีคือวิธีปักกราวด์หรือค้ำ

เอกสารนี้เป็นเอกสารที่สงวนไว้สำหรับการใช้งานเพื่อการศึกษาเท่านั้น ไม่อนุญาตให้นำไปใช้ประโยชน์ด้านการค้า ไม่ว่าจะกรณีใดๆ ทั้งสิ้น อีกทั้งห้ามมิให้ดัดแปลงเนื้อหา และต้องอ้างอิงถึงเจ้าของเอกสารทุกครั้งที่มีการนำไปใช้

(Driven Rod Method) หรือเรียกอีกอย่างหนึ่งว่า วิธีเปลี่ยนความลึก (Variation of Depth Method) และ วิธีวัดแบบ 4 จุด (Four-point Method) ซึ่งปกติแล้วจะใช้วิธีที่สองมากกว่าเนื่องจากสะดวกต่อการปฏิบัติงานและให้ความถูกต้องมากกว่า โดยเฉพาะอย่างยิ่งจะใช้หลักการวางอิเล็กโทรดแบบเวนเนอร์ (Wenner Method) ส่วนวิธีแรกนั้นจะต้องลงทุนสูงและใช้เวลาในการปฏิบัติงานนาน แต่ก็สามารถที่จะใช้กราวด์ร็อดนั้นเป็นส่วนหนึ่งของระบบกราวด์ได้เลย ค่าที่วัดได้จากทั้งสองวิธีจะเป็นกระแสและแรงดัน ซึ่งก็คือค่าความต้านทานนั่นเอง แล้วนำเอาค่าความต้านทานนี้ไปแทนค่าเพื่อหาค่าความต้านทานจำเพาะของดินต่อไป Blatner (1982) ได้นำเอาวิธีการวัดทั้งสองมาเปรียบเทียบกันแล้วนำไปเปรียบเทียบกับค่าที่วัดได้ โดยวิธีปักกราวด์ร็อดนั้นจะสมมุติให้การกระจายของกระแสที่ไหลออกจากกราวด์ร็อดไปสู่ดินนั้นมีลักษณะขนานกับผิวดินและสมการที่ใช้กับการวัดทั้งสองวิธีนั้นไม่ได้ไปในสมการ โดยสมการที่ใช้ในการหาค่าความต้านทานจำเพาะปรากฏของดินที่ใช้กับวิธีปักกราวด์ร็อดมีความยาวน้อยกว่า ความลึกของดินชั้นบนและสมการที่ใช้ในกรณีที่กราวด์ร็อดมีความยาวมากกว่าความลึกของดินชั้นบน

การกำหนดโครงสร้างของดินที่อยู่ภายในสถานีไฟฟ้าย่อยผิดไปหรือการกำหนดค่าพารามิเตอร์ของดินผิดไป อาจจะทำให้การคำนวณหาค่าความต้านทานของระบบกราวด์ผิดไปด้วย ถึงแม้วิธีการคำนวณที่นำมาใช้หาค่าความต้านทานของระบบกราวด์นั้นจะเป็นระบบที่ดีที่สุดแล้วก็ตาม ดังนั้นจึงสมควรจะมีวิธีการที่จะหาค่าพารามิเตอร์ของดินได้อย่างถูกต้อง Dawalibi และ Blatner (1984) ได้เสนอเทคนิคในการแปลความหมายของข้อมูลที่ได้จากการวัดแบบเวนเนอร์เพื่อหาค่าพารามิเตอร์ทั้งสามของดินสองชั้น ซึ่งจะใช้วิธี Steepest-Descent Algorithm โดยวิธีการนี้จะกำหนดระยะห่างเริ่มต้นของอิเล็กโทรดที่ 2.5 เมตร ต่อมา Meliopoulos และคณะ (1984) ได้เสนอวิธีการอีกแบบหนึ่งที่ใช้ในการประมาณค่าพารามิเตอร์ ทั้งสามของดินที่เป็นดินสองชั้น ที่ได้ข้อมูลจากการวัดด้วยวิธีปักกราวด์ร็อด โดยจะใช้วิธี Weighted Least Square Estimation คือการทำให้ค่าผิดพลาดระหว่างค่าจริงที่ได้จากการคำนวณกับค่าที่วัดได้น้อยที่สุดและมีการชี้ถึงคุณภาพของค่าพารามิเตอร์แต่ละตัวด้วย โดยจะกำหนดเป็นระดับความเชื่อมั่น (Confidence Level) และในปี 1986 Meliopoulos และคณะก็ได้้นำเอาวิธีการประมาณค่าพารามิเตอร์ดังกล่าวมาพัฒนาและนำมาใช้กับวิธีการวัดค่าความต้านทานจำเพาะของดินทั้งสองวิธีที่ได้กล่าวมาแล้วและได้ชี้ถึงแหล่งที่ทำให้เกิดข้อผิดพลาดในการประมาณค่าพารามิเตอร์ว่าจะประกอบด้วยข้อผิดพลาดที่เกิดจากเครื่องมือวัดและการเปลี่ยนแปลงค่าความต้านทานจำเพาะของดินตามธรรมชาติ เช่น จากความชื้น อุณหภูมิและปริมาณของเกลือที่มีอยู่ในดิน เป็นต้น

การวัดค่าความต้านทานจำเพาะของดินนั้นจะเป็นส่วนหนึ่งของมาตรฐาน IEEE - 81 ซึ่งจะอธิบายวิธีการวัดและการแปลความหมายจากข้อมูลที่ได้จากการวัด นอกจากนั้นยังกล่าวถึงเครื่องมือที่ใช้ในแต่ละวิธีกล่าวถึงแต่อย่างไรก็ตามเนื้อหาในมาตรฐานนี้ก็ไม่ได้ให้รายละเอียดมากนัก

เอกสารนี้เป็นเอกสารที่สงวนไว้สำหรับการใช้งานเพื่อการศึกษาเท่านั้น ไม่อนุญาตให้นำไปใช้ประโยชน์ด้านการค้า

ไม่ว่ากรณีใดๆ ทั้งสิ้น อีกทั้งห้ามมิให้ดัดแปลงเนื้อหา และต้องอ้างอิงถึงเจ้าของเอกสารทุกครั้งที่มีการนำไปใช้

#### 4.3 การหาค่าความต้านทานที่เท้า (Footing Resistance)

เป็นค่าความต้านทานที่อยู่ใต้ฝ่าเท้าทั้งสองของมนุษย์ เป็นองค์ประกอบที่สำคัญในการหาค่าความต้านทานไฟฟ้าสัมผัสและศักดาไฟฟ้าช่วงก้าวที่ปลอดภัยสำหรับมนุษย์ ค่าความต้านทานที่เท้ามักถูกแทนแทนด้วยตัวนำวงกลมที่มีรัศมี 8 เซนติเมตร และวางอยู่ในแนวระนาบบนผิวดิน ในสถานีไฟฟ้าย่อยมักโรยด้วยหินกรวดให้มีความหนา 8-20 เซนติเมตร เพื่อเป็นการทำให้ความต้านทานจำเพาะที่ใต้ฝ่าเท้าคนที่มีค่าสูงขึ้น

Thapar และคณะ (1993) ได้แสดงให้เห็นว่าการคำนวณค่าความต้านทานที่เท้าตามมาตรฐาน IEEE-80 (1986) ยังมีข้อผิดพลาดและข้อจำกัดอยู่และได้เสนอสมการ, กราฟและแบบจำลองขึ้นใหม่เพื่อคำนวณหาค่าความต้านทานที่เท้าไว้ 2 วิธีคือ แบบจำลองแผ่นตัวนำวงกลมแบบจำลองแผ่นรูปสี่เหลี่ยมผืนผ้า

Thapar และ Ziad (1989) ได้เสนอวิธีการเพิ่มความต้านทานที่เท้าในบางจุดของสถานีไฟฟ้า เพื่อเป็นการลดความต้านทานกราวด์ โดยการใช้แผ่นพลาสติกที่ทำมาจากวัสดุประเภทโพลีเอธิลีน, เพอร์มาลอน, พีวีซี หรือนีโอพรีน ผังใต้ชั้นหินกรวดโดยทำการทดสอบกับแผ่นพลาสติกทั้งที่เจาะรู การใช้แผ่นพลาสติกสามารถช่วยลดค่าศักดาไฟฟ้าสัมผัสได้

Thapar และคณะ (1992) ได้เสนอสมการและแบบจำลองในการหาค่าความต้านทานที่เท้าเนื่องจากการสะสมของดินในชั้นหินกรวดที่อยู่ลึกลงไป เมื่อดินสะสมในช่องว่างระหว่างหินที่อยู่ต่ำลงไป จะมีชั้นของความต้านทานจำเพาะที่แตกต่างกันอยู่ 3 ชั้นคือ ชั้นของหินที่ไม่มีดินสะสม ชั้นของหินที่มีดินสะสม และชั้นของดินเพียงอย่างเดียว ในการหาค่าความต้านทานที่เท้าจึงต้องใช้แบบจำลองของความต้านทานจำเพาะที่ต่างกัน 3 ชั้นในการคำนวณการหาค่ากระแสกริด

กระแสกริดเป็นกระแสที่ไหลระหว่างกริดและดินรอบ ๆ กระแสกริดนี้ควรมีค่าน้อยกว่ากระแสลัดวงจรเสมอทั้งนี้ขึ้นอยู่กับกระแสลัดวงจรที่เกิดขึ้นทั้งหมดมีส่วนใดที่เป็นกระแสไหลลงกริดและลงดินไป

Thapar และ Madan (1984) ได้เสนอวิธีการหาค่ากระแสกริดที่ใช้ในการคำนวณหาค่าความต้านทานไฟฟ้าช่วงก้าวและศักดาไฟฟ้าสัมผัส เป็นค่าที่เหมาะสมกว่าที่จะใช้ค่ากระแสลัดวงจรเพื่อความประหยัดในการออกแบบโดยทำการศึกษากระแสกริด โดยคำนึงถึงค่าความต้านทานกราวด์กริด, พารามิเตอร์ของสาย Overhead Ground Wire, ค่าความต้านทานของเสา (Tower Footing Resistance), ระยะห่างระหว่างเสาส่ง (Tower Span)

#### 4.4 งานวิจัยอื่น ๆ ที่เกี่ยวข้องกับระบบกราวด์ของสถานีไฟฟ้า

Machias และคณะ (1989) ได้เสนอวิธีการที่เรียกว่า ระบบชำนาญงาน (Expert System) ในการออกแบบและทดสอบระบบกราวด์ของสถานีไฟฟ้าย่อย โดยใช้ลักษณะการถาม - ตอบ ข้อมูลและกราฟพิกผ่านหน้าจอคอมพิวเตอร์ ระบบฐานข้อมูลและสูตรที่ใช้ในการคำนวณจะบรรจุอยู่ในฐานความรู้ โดยฐานความรู้จะถูกแบ่งออกเป็น 3 ส่วนคือ ส่วนแรกประกอบด้วยกฎเกณฑ์ที่ใช้ในการหาชนิดของตัวนำ, ชนิดของการเชื่อมต่อและความลึกในการตอกกราวด์รีด ส่วนที่สองประกอบด้วยกฎเกณฑ์ที่ใช้ในการหาคุณลักษณะของกราวด์กริด, ตำแหน่งที่ตอกกราวด์รีด, การหาจำนวนเส้นกริดในแนวตั้งและแนวนอนและระยะห่างระหว่างเส้นกริดเพื่อคำนวณหาค่าศักดาไฟฟ้าสัมผัสและศักดาไฟฟ้าช่วงก้าวที่มนุษย์จะทนได้ส่วนที่สามประกอบกฎเกณฑ์ในการก่อสร้างและทดสอบระบบกราวด์ของสถานีไฟฟ้า ปัจจุบันได้มีการพัฒนาระบบชำนาญงาน (Expert System) ในการออกแบบและการก่อสร้างระบบกราวด์เพื่อความประหยัดและความปลอดภัยยิ่งขึ้น

Lazzara และ Barbeito (1990) ได้เสนอวิธีการออกแบบระบบกราวด์ของสถานีไฟฟ้าย่อยในแบบจำลองของดินสองชั้น (Non-Uniform Soil) ซึ่งสมการตามมาตรฐาน IEEE - 80 (1986) ตั้งสมมุติฐานว่าดินเป็นแบบดินชั้นเดียว แต่ในทางปฏิบัติแล้วค่าความต้านทานจำเพาะของดินมักเปลี่ยนแปลงตามความลึก โดยได้ทำการศึกษาที่ Florida Power Corporation เป็นเวลา 2 ปี โดยพื้นที่ทำการทดลองมีความต้านทานจำเพาะที่ผิวดินบนอยู่ในช่วง 1000-2000 โอห์ม-เมตร ได้ทำการศึกษาหาค่าความต้านทานระบบกราวด์, ค่าศักดาไฟฟ้าสัมผัสและศักดาไฟฟ้าช่วงก้าว รวมทั้งศึกษาผลกระทบต่าง ๆ ของพารามิเตอร์ที่มีผลต่อการคำนวณ

Meliopoulos และคณะ (1993) ได้เสนอวิธีการ และ คอมพิวเตอร์โมเดล ในการวิเคราะห์ระบบกราวด์ด้วยวิธีการที่เรียกว่า Method of Moment โดยวิเคราะห์ระบบกราวด์ที่ประกอบด้วยกราวด์กริด, กราวด์รีด, รั้ว, ท่อโลหะ, กราวด์อิลคโตรูปร่างสี่เหลี่ยม, แผ่นโลหะเรียบ, ฯลฯ ที่ฝังอยู่ใต้ดินหรือวางอยู่บนผิวดิน โดยถือว่าดินเป็นแบบดินชั้นเดียว (Uniform Soil) หรือดินสองชั้น (Two-Layer Soil) แล้วทำการคำนวณหาค่าศักดาไฟฟ้าสัมผัส, ศักดาไฟฟ้าช่วงก้าว, กระแสที่ไหลผ่านร่างกายคนในขณะที่เกิดกระแสไหลผิดปกติ, ความต้านทานระบบกราวด์ และ โวลต์เตจโพรไฟล์ (Voltage Profile)

Thapar และคณะ (1992) ได้ทำการศึกษาเกี่ยวกับการเชื่อมโยงระบบกราวด์ของสถานีไฟฟ้าย่อย 2 สถานี ด้วยสายตัวนำที่ฝังอยู่ใต้ดิน เมื่อเกิดกระแสผิดปกติไหลลงดินที่ใดที่หนึ่งจะทำให้นำกระแสผ่านไปยังสถานีย่อยอีกแห่งหนึ่งโดยผ่านตัวนำที่ฝังดินอยู่ โดยได้ทำการศึกษาหาค่าความต้านทานกราวด์ที่ประกอบด้วยกราวด์กริด 2 แห่ง, ค่าศักดาไฟฟ้าที่เพิ่มขึ้นบนกราวด์ (Ground Potential Rise) ที่เกิดขึ้นในสถานีไฟฟ้าย่อยแต่ละแห่ง และค่า Voltage Profile ตามแนวความยาวของตัวนำที่เชื่อมต่อภายในสถานีไฟฟ้าย่อยมีฐานรากคอนกรีตเสริมเหล็กของอุปกรณ์ต่าง ๆ อยู่เป็นจำนวนมาก ซึ่ง Thapar และคณะ (1989) ก็ได้ทำการศึกษาหาค่าความต้านทานของฐาน

ไม่ว่ากรณีใดทั้งสิ้น อีกทั้งห้ามมิให้ตัดแปลงเนื้อหา และต้องอ้างอิงถึงเจ้าของเอกสารทุกครั้งที่มีการนำไปใช้

รากคอนกรีตเสริมเหล็กของอุปกรณ์ที่ใช้ในสถานีไฟฟ้าเช่น สวิตช์, เบรกเกอร์, ฯลฯ โดยทำการแบ่งฐานรากคอนกรีตเสริมเหล็กออกเป็น 4 รูปแบบคือ

1. ฐานรากทรงสี่เหลี่ยมผืนผ้าแผ่นเรียบ (Mat Foundation)
2. ฐานรากทรงสี่เหลี่ยมตัน (Direct Vertical Footing)
3. ฐานรากรูปทรงปิระมิด (Pyramidal Spread Footing)
4. ฐานรากทรงฐานยื่น (Spread Footing with Slab)

การหาความต้านทานของฐานรากเพื่อศึกษาว่าในขณะที่เกิดภาวะกระแสไหลผิดปกติหรือกระแสรั่วไหล ฐานรากเหล่านี้จะสามารถรับไว้ได้เพียงใด

การเพิ่มความต้านทานสัมผัสของมนุษย์โดยการ โรยหินกรวดในสถานีไฟฟ้าด้วยความหนาประมาณ 8-15 ซม. เป็นการลดกระแสที่จะไหลผ่านร่างกายมนุษย์ไม่ให้มีค่ามากเกินไป ซึ่งค่าความต้านทานจำเพาะของหินเป็นตัวกำหนดค่าศักดาไฟฟ้าสัมผัสและศักดาไฟฟ้าช่วงก้าวที่ปลอดภัยของมนุษย์ โดย Abledu และ Donald (1992) ได้นำเสนอวิธีการวัดค่าความต้านทานของหินกรวดที่เปียก ซึ่งเป็นค่าความต้านทานจำเพาะที่ต่ำที่สุดและได้เสนอสมการและกราฟแสดงความสัมพันธ์ระหว่างความต้านทานจำเพาะของหินและน้ำที่ใช้ในการรดหิน โดยน้ำที่ใช้ในการทดลองอาจเป็นน้ำฝนหรือน้ำประปาก็ได้ ในทางปฏิบัติแล้วน้ำฝนที่ใช้ในการรดหิน โดยน้ำที่ใช้ในการทดลองอาจเป็นน้ำฝนหรือน้ำประปาก็ได้ ในทางปฏิบัติแล้วน้ำฝนซึ่งมีความต้านทานจำเพาะประมาณ 100 โอห์ม - เมตร เป็นตัวทำให้หินมีสภาพเปียกมากที่สุด

Picken (1993) ได้ทำการทบทวนมาตรฐานในการออกแบบระบบกราวด์กริดคือ มาตรฐาน BS7354 (1990) มาตรฐาน IEEE-80 (1986) มาตรฐาน DIN VED 0141 (1989) และมาตรฐาน CENELEC (1993) แล้วทำการเปรียบเทียบผลจากพารามิเตอร์ต่าง ๆ

มาตรฐาน BS7354 ได้มีการคิดผลของความต้านทานของรองเท้า ในขณะที่มาตรฐานอื่นไม่ได้นำมาพิจารณา มีผลทำให้ค่าศักดาไฟฟ้าสัมผัสและศักดาไฟฟ้าช่วงก้าวที่มนุษย์ทนได้มีค่าสูงขึ้น แต่ทุกมาตรฐานจำเป็นต้องหาค่าศักดาไฟฟ้าสัมผัสและศักดาไฟฟ้าช่วงก้าวมนุษย์จะทนได้ และต้องออกแบบให้ศักดาไฟฟ้าสัมผัสที่เกิดขึ้นมีค่าน้อยกว่าค่าที่มนุษย์จะทนได้ภายใต้ภาวะต่าง ๆ นอกจากนี้ได้แสดงความแตกต่างของมาตรฐานต่าง ๆ เพื่อนำไปเป็นข้อพิจารณาในการออกแบบระบบกราวด์ของสถานีไฟฟ้าย่อยต่อไป

#### 4.5 การพิจารณาการออกแบบระบบกราวด์ของสถานีไฟฟ้า

การออกแบบระบบกราวด์ของสถานีไฟฟ้ามีวัตถุประสงค์เพื่อความปลอดภัยของมนุษย์ที่ทำงานเกี่ยวข้องกับอุปกรณ์ไฟฟ้าหรือยืนอยู่ในบริเวณสถานีไฟฟ้าที่มีการติดตั้งโครงสร้างหรืออุปกรณ์ไฟฟ้าชนิดต่าง ๆ ที่จะได้รับผลจากกระแสฟ้าผ่าหรือกระแสลัดวงจรลงดิน ซึ่งจะทำให้เกิดเกรเดียนท์ของศักดาไฟฟ้า (Potential Gradient) สูง ที่จะเป็นอันตรายต่อมนุษย์ นอกจากนี้จะเป็นทางผ่านให้อุปกรณ์กับดักฟ้าผ่าและอุปกรณ์ป้องกันแรงดันเกินคายประจุลงดิน หรือเป็นทางผ่านการไหลกลับของกระแสหม้อแปลงและเครื่องกำเนิดไฟฟ้าที่มีการติดขดลวดแบบวาย

โดยปกติแล้วกระแสลัดวงจรลงดินของสถานีไฟฟ้าจะมีค่าสูง ในการออกแบบระบบกราวด์ของสถานีไฟฟ้าจึงนิยมทำเป็นแบบกริด (Grid) เพื่อให้กระแสลัดวงจรลงดินไหลผ่านได้อย่างรวดเร็ว ถ้าความต้านทานระบบกราวด์ของสถานีไฟฟ้ามีค่าสูงเมื่อเกิดกระแสลัดวงจรลงดินทำให้เกิดศักดาไฟฟ้าสูงจนเป็นอันตรายต่อชีวิตมนุษย์ ศักดาไฟฟ้านี้เป็นศักดาไฟฟ้าที่เพิ่มขึ้นบนกราวด์ (Ground Potential Rise) และศักดาไฟฟ้าที่มนุษย์ได้รับโดยตรงประกอบด้วย ศักดาไฟฟ้าสัมผัส (Touch Voltage) และ ศักดาไฟฟ้าช่วงก้าว (Step Voltage) เพื่อลดอันตรายจากศักดาไฟฟ้าทั้งสองจึงต้องมีการควบคุมหรือแก้ไขไม่ให้ศักดาทั้งสองดังกล่าวมีค่าเกินกว่าที่มนุษย์จะทนได้โดยไม่เป็นอันตราย และต้องพยายามลดค่าความต้านทานของระบบกราวด์ให้มีค่าต่ำที่สุด ซึ่งตามมาตรฐานจะกำหนดไว้ไม่เกิน 1 โอห์ม สำหรับสถานีไฟฟ้าขนาดใหญ่และไม่เกิน 5 โอห์ม สำหรับสถานีไฟฟ้าย่อยขนาดเล็ก แต่อย่างไรก็ตามการพิจารณาเฉพาะค่าความต้านทานของระบบกราวด์เพียงอย่างเดียวไม่ได้ประกันว่าระบบกราวด์นั้นจะปลอดภัย สิ่งที่สำคัญคือต้องมีการพิจารณาศักดาไฟฟ้าสัมผัสสูงสุดที่เกิดขึ้นกับระบบกราวด์จะต้องมีค่าต่ำกว่าศักดาไฟฟ้าสัมผัสที่มนุษย์ทนได้ และศักดาไฟฟ้าช่วงก้าวจะต้องมีค่าต่ำกว่าศักดาไฟฟ้าช่วงก้าวที่มนุษย์ทนได้

ระบบกราวด์กริดทำเป็นรูป (Loop) ล้อมรอบบริเวณพื้นที่ทั้งหมดของสถานีไฟฟ้า และบางครั้งอาจจะออกนอกแนวรั้วก็ได้ ซึ่งการล้อมรอบพื้นที่มากขึ้นจะเป็นการลดค่าความต้านทานของระบบกราวด์และศักดาไฟฟ้าที่เพิ่มขึ้นบนกราวด์ ตัวนำกริดจะวางขนานกันและตัดขวางกัน โดยให้ใกล้กับโครงสร้างหรือแนวการติดตั้งอุปกรณ์เพื่อให้สะดวกในการต่อสายกราวด์และอุปกรณ์ให้สั้นที่สุด ตัวนำกริดจะต้องต่อถึงกันหมดอย่างมั่นคง โดยเฉพาะอย่างยิ่งในจุดที่ตัวนำวางขวางกัน เพื่อป้องกันไม่ให้กระแสลัดวงจรลงดินไหลไปรวมกันเพียงจุดเดียว เช่น ที่ตำแหน่งของจุดนิวตรอลของเครื่องกำเนิดไฟฟ้า คาปาซิเตอร์หรือหม้อแปลง เป็นต้น การเชื่อมต่อตัวนำกริดส่วนมากจะใช้วิธี Exothermic ซึ่งเป็นวิธีการเชื่อมตัวนำด้วยการให้ความร้อนสูงเฉียบพลัน โดยจะให้ความสะดวกและง่ายต่อการปฏิบัติงาน

ขนาดของตัวนำกริดที่ใช้จะต้องมีคุณสมบัติดังนี้คือ มีสภาพความนำสูง แข็งแรง ทนทานต่อการผุกร่อน ทนทานต่อความเสียหายที่เกิดขึ้นทางกลหรือถูกทำลายโดยง่าย ซึ่งคุณสมบัติเหล่านี้ตัวนำทองแดงมีคุณสมบัติครบถ้วน ขนาดตัวนำที่เล็กที่สุดที่ยอมให้ใช้งานตามมาตรฐาน

ไม่ว่ากรณีใดทั้งสิ้น อีกทั้งห้ามมิให้ดัดแปลงเนื้อหา และต้องอ้างอิงถึงเจ้าของเอกสารทุกครั้งที่มีการนำไปใช้

ฐานโดยทั่วไปจะใช้สายทองแดงขนาด 1/0 และ 2/0 AWG แต่ทางบริษัทผู้ผลิตได้ตั้งมาตรฐานสำหรับสายทองแดงที่ใช้ทำสายกราวด์คือ สายทองแดงขนาด 4/0 AWG เป็นสายขนาดเล็กที่สุดเป็นขนาดมาตรฐาน เพื่อความแข็งแรงทางกล (Mechanical Strength) แต่อย่างไรก็ตามการกำหนดขนาดสายนั้นต้องพิจารณาถึงความทนทานต่อกระแสลัดวงจรลงดิน ช่วงเวลาการไหลของกระแสความร้อนที่จะเกิดขึ้นโดยไม่ทำให้สายหลอมละลาย ตัวนำกริดจะถูกฝังลึกจากผิวดินประมาณ 0.15 - 0.5 เมตร และมีระยะห่างของตัวนำประมาณ 3-15 เมตร ซึ่งในกรณีตัวนำกริดมีระยะห่างกัน ศักดาไฟฟ้าสัมผัสแรงสูงก็จะมีค่าเพิ่มขึ้นจากจุดกึ่งกลางของระบบกราวด์กริดไปจนถึงเมฆที่อยู่รอบนอก ซึ่งอัตราการเพิ่มขึ้นจะอยู่กับขนาดของระบบกราวด์ ขนาดและความลึกของตัวนำและค่าความต้านทานจำเพาะของดิน แต่อย่างไรก็ตามการออกแบบด้วยวิธีนี้อาจจะเป็นการเปลี่ยนแปลงในการใช้ตัวกริดเพิ่มขึ้นเพื่อจะลดศักดาไฟฟ้าสัมผัสสูงสุด ดังนั้นในบริเวณเมฆรอบ ๆ เส้นรอบรูปของระบบกราวด์กริดอาจจะให้ตัวนำกริดมีระยะชิดกันมากกว่าในบริเวณใกล้ ๆ จุดกึ่งกลางของระบบ ซึ่งเป็นการลดต้นทุนในการติดตั้งระบบกราวด์ได้

การออกแบบกราวด์ได้มีการนำเอากราวด์รีดมาต่อกับกราวด์กริดเนื่องจากกราวด์รีดเป็นตัวนำ ให้กระแสไหลลงดินได้ดีกว่า โดยเฉพาะอย่างยิ่งกรณีที่โครงสร้างดินเป็นดินสองชั้นและดินชั้นบนมีค่าความต้านทานสูงกว่าดินชั้นล่าง การใช้กราวด์รีดสามารถลดความต้านทานของระบบกราวด์ได้ โดยกราวด์รีดมักจะได้รับการต่อกับกริดที่ตำแหน่งที่ตัวนำกริดตัดขวางกัน โดยเฉพาะอย่างยิ่งในบริเวณเส้นรอบรูปของระบบกราวด์กริดหรือตำแหน่งที่มีการติดตั้งอุปกรณ์ขนาดใหญ่เช่น หม้อแปลง โดยทั่วไปตามมาตรฐานที่ใช้ขนาดของกราวด์รีดที่ใช้มีเส้นผ่านศูนย์กลาง 5/8 นิ้ว (16 มิลลิเมตร) และมีความยาว 8-10 ฟุต (2.44-3.05 เมตร)

ในบริเวณสถานีไฟฟ้าได้มีการโรยหินกรวด (Crushed Rock) ด้วยความหนาประมาณ 0.08-0.15 เมตร เพื่อเพิ่มค่าความต้านทานสัมผัสของมนุษย์กับพื้นดินได้ ซึ่งเป็นการลดกระแสที่จะไหลผ่านร่างกายมนุษย์ไม่ให้มีค่ามากเกินไป ค่าความต้านทานจำเพาะของหินกรวดมีค่าประมาณ 1000-5000 โอห์ม-เมตร รั้วที่เป็นโลหะที่ล้อมรอบบริเวณพื้นที่ของสถานีไฟฟ้าอาจเป็นจุดหนึ่งที่ทำให้เกิดอันตรายกับมนุษย์ที่ไปสัมผัสได้ เสารั้วแต่ละต้นจึงควรจะต้องได้รับการเชื่อมต่อกับระบบกราวด์กริดเพื่อป้องกันอันตราย ดังนั้นพื้นที่ของระบบกราวด์กริดจึงควรครอบคลุม โดยรอบของรั้วทั้งหมดโดยเส้นรอบรูปของระบบกราวด์กริดควรห่างจากแนวรั้วประมาณ 0.15-0.5 เมตร

## ประวัติผู้เขียน

นายบัณฑิต พิทักษ์วงศ์ เกิดวันที่ 13 พฤษภาคม 2502 ที่ตำบลมหาชัย อำเภอเมือง จังหวัดสมุทรสาคร สำเร็จการศึกษาระดับปริญญาตรี สาขาวิศวกรรมไฟฟ้า จากสถาบันเทคโนโลยีราชมงคล วิทยาเขต เทเวศร์ ปีการศึกษา 2526 ผลงานทางวิชาการ “แนวทางใหม่ของการออกแบบต่อลงดินของสถานี ไฟฟ้าย่อยโดยใช้คอมพิวเตอร์” การประชุมวิชาการทางวิศวกรรมไฟฟ้า ครั้งที่ 20, 13-14 พฤศจิกายน 2540 และเป็นอาจารย์สอนโรงเรียนเซนต์จอห์น โปลีเทคนิค ตั้งแต่ พ.ศ. 2523 - 2535 ปัจจุบัน ดำรงตำแหน่ง ผู้ช่วยหัวหน้าสาขาวิศวกรรมไฟฟ้า คณะวิศวกรรมศาสตร์ มหาวิทยาลัยเซนต์จอห์น ทบวงมหาวิทยาลัย

